

การพัฒนาคิวอาร์โค้ดร่วมกับลายน้ำดิจิทัลเพื่อซ่อนข้อมูล

นางสาวสุพัต รุ่งเรืองศิลป์

วิทยานิพนธ์นี้เป็นส่วนหนึ่งของการศึกษาตามหลักสูตรปริญญาวิทยาศาสตรมหาบัณฑิต

สาขาวิชาวิศวกรรมคอมพิวเตอร์ ภาควิชาวิศวกรรมคอมพิวเตอร์

คณะวิศวกรรมศาสตร์ จุฬาลงกรณ์มหาวิทยาลัย

ปีการศึกษา 2554

ลิขสิทธิ์ของจุฬาลงกรณ์มหาวิทยาลัย

บทคัดย่อและแฟ้มข้อมูลฉบับเต็มของวิทยานิพนธ์ตั้งแต่ปีการศึกษา 2554 ที่ให้บริการในคลังปัญญาจุฬาฯ (CUIR)

เป็นแฟ้มข้อมูลของนิสิตเจ้าของวิทยานิพนธ์ที่ส่งผ่านทางบัณฑิตวิทยาลัย

The abstract and full text of theses from the academic year 2011 in Chulalongkorn University Intellectual Repository(CUIR) are the thesis authors' files submitted through the Graduate School.



DEVELOPMENT OF QR CODE WITH WATERMARK FOR HIDING DATA

Miss Suppat Rungrungsilp

A Thesis Submitted in Partial Fulfillment of the Requirements  
for the Degree of Master of Engineering Program in Computer Engineering

Department of Computer Engineering

Faculty of Engineering

Chulalongkorn University

Academic Year 2011

Copyright of Chulalongkorn University

หัวข้อวิทยานิพนธ์	การพัฒนาคิวอาร์โค้ดร่วมกับลายน้ำดิจิทัลเพื่อซ่อนข้อมูล
โดย	นางสาวสุพัต รุ่งเรืองศิลป์
สาขาวิชา	วิศวกรรมคอมพิวเตอร์
อาจารย์ที่ปรึกษาวิทยานิพนธ์หลัก	รองศาสตราจารย์ ดร.สาธิต วงศ์ประทีป

---

คณะวิศวกรรมศาสตร์ จุฬาลงกรณ์มหาวิทยาลัย อนุมัติให้รับวิทยานิพนธ์ฉบับนี้  
เป็นส่วนหนึ่งของการศึกษาตามหลักสูตรปริญญาวิทยาศาสตรบัณฑิต

..... คณบดีคณะวิศวกรรมศาสตร์  
(รองศาสตราจารย์ ดร.บุญสม เลิศธีรวัณวงศ์)

คณะกรรมการสอบวิทยานิพนธ์

..... ประธานกรรมการ  
(ศาสตราจารย์ ดร.ประภาส จงสถิตย์วัฒนา)

..... อาจารย์ที่ปรึกษาวิทยานิพนธ์หลัก  
(รองศาสตราจารย์ ดร.สาธิต วงศ์ประทีป)

..... กรรมการ  
(ผู้ช่วยศาสตราจารย์ ดร.อาทิตย์ ทองทักษ์)

..... กรรมการภายนอกมหาวิทยาลัย  
(ผู้ช่วยศาสตราจารย์ ดร.วิไลพร แซ่ลิ้)

สุพัต รุ่งเรืองศิลป์ : การพัฒนาคิวอาร์โค้ดร่วมกับลายน้ำดิจิทัลเพื่อซ่อนข้อมูล  
(DEVELOPMENT OF QR CODE WITH WATERMARK FOR HIDING DATA).

อ.ที่ปรึกษาวิทยานิพนธ์หลัก : รศ. ดร.สาธิต วงศ์ประทีป, 169 หน้า.

วิทยานิพนธ์ฉบับนี้เป็นการนำเสนอวิธีการฝังลายน้ำดิจิทัลและการถอดลายน้ำดิจิทัลบนคิวอาร์โค้ด ซึ่งผ่านการทรานฟอร์ม 3 แบบ ได้แก่ Discrete Cosine Transform, Discrete Fourier Transform และ Discrete Wavelet Transform ทำให้สามารถซ่อนข้อมูลในคิวอาร์โค้ดได้ โดยผลการทดลองแสดงให้เห็นว่าการฝังลายน้ำดิจิทัลและการถอดลายน้ำดิจิทัลบนคิวอาร์โค้ด แบบใดที่ทำให้ถอดลายน้ำดิจิทัลออกมาได้สมบูรณ์มากที่สุด แบบใดใช้เวลาในการฝังและถอดลายน้ำดิจิทัลน้อยสุด ทำให้เห็นข้อดี-ข้อเสียของแต่ละแบบ โดยการฝังลายน้ำดิจิทัลและการถอดลายน้ำดิจิทัลต้องผ่านการเข้ารหัส-ถอดรหัสข้อมูลตามมาตรฐานของคิวอาร์โค้ดด้วย

ภาควิชา วิศวกรรมคอมพิวเตอร์ ลายมือชื่อนิสิต.....  
สาขาวิชา วิศวกรรมคอมพิวเตอร์ ลายมือชื่อ อ.ที่ปรึกษาวิทยานิพนธ์หลัก .....

ปีการศึกษา..... 2554 .....

# # 5370368121 : MAJOR COMPUTER ENGINEERING

KEYWORDS : QR CODE / WATERMARK / HIDING DATA

SUPPAT RUNGRAUNGSILP : DEVELOPMENT OF QR CODE WITH  
WATERMARK FOR HIDING DATA. ADVISOR :

ASSOC. PROF. SARTID VONGPRADHIP, Ph.D., 169 pp.

In this thesis we proposed embedding and extracting a watermark on QR Code based on Discrete Cosine Transform, Discrete Fourier Transform and Discrete Wavelet Transform that preserve an information hiding text on QR Code. The experimental results shown which one is the best extracting, use the least time in embedding a watermark and use the least time in extracting a watermark. For each transform we obtained advantages and disadvantages by embedding and extracting a watermark through a standard encode and decode QR Code method.

Department: Computer Engineering Student's Signature.....

Field of Study: Computer Engineering Advisor's Signature.....

Academic Year: 2011.....

## กิตติกรรมประกาศ

วิทยานิพนธ์ฉบับนี้สำเร็จลุล่วงไปได้ด้วยดี ขอกราบขอบพระคุณรองศาสตราจารย์ ดร. สาธิต วงศ์ประทีป ซึ่งเป็นอาจารย์ที่ปรึกษาวิทยานิพนธ์ ท่านได้กรุณาใช้เวลาและดูแลการวิจัย ให้คำแนะนำเกี่ยวกับการทำวิจัย และช่วยชี้แนะการแก้ไขปัญหาต่างๆ ที่เกิดขึ้นระหว่างการทำวิจัย

ขอกราบขอบพระคุณคณะกรรมการสอบวิทยานิพนธ์ทุกท่านเป็นอย่างสูง ได้แก่ ศาสตราจารย์ ดร. ประภาส จงสถิตย์วัฒนา ผู้ช่วยศาสตราจารย์ ดร. อาทิตย์ ทองทักษ์ และ ผู้ช่วยศาสตราจารย์ ดร. วิไลพร แซ่ลิ้ ในการตรวจแก้ไขข้อคิดและคำแนะนำอันเป็นประโยชน์ยิ่ง ต่องานวิจัย

ขอขอบพระคุณอาจารย์ประจำภาควิชาวิศวกรรมคอมพิวเตอร์ จุฬาลงกรณ์มหาวิทยาลัยทุกท่านเป็นอย่างสูงที่ให้ข้อคิดและแนวทางในการวิจัย ขอขอบคุณเจ้าหน้าที่ประจำภาควิชาวิศวกรรมคอมพิวเตอร์ทุกท่าน รวมถึงเพื่อนๆ และพี่น้องทุกคนในห้องวิจัย ISEL Lab, MIND Lab, SPACE Lab โดยเฉพาะ Digital System Engineering Laboratory (DSEL) ที่ให้ความช่วยเหลือ คำแนะนำ และยังให้กำลังใจตลอดมา ขอขอบคุณ นายมหศักดิ์ เกตุฉ่ำ ที่เสียสละเวลาในการตรวจและแก้ไขงานฟรีเซนต์หลายครั้ง พร้อมทั้งให้คำแนะนำมากมาย นายนิศ หนูหอม และนายประทาน โชติพันธุ์บัณฑิตย์ ที่ให้ไฟล์งานและเอกสารมาศึกษางานวิจัย

ขอกราบขอบพระคุณ ดร.สุรสิทธิ์ รุ่งเรืองศิลป์ นางสมทรง รุ่งเรืองศิลป์ รวมถึงขอขอบคุณนางสาวพนีย์ พาหุรัตน์ บิดามารดาและคุณป้าของผู้วิจัยซึ่งให้การสนับสนุน คอยเป็นห่วงเป็นใย และให้กำลังใจแก่ผู้วิจัยเสมอมา รวมถึงนางสาวณัฐภวิญ พาหุรัตน์ ที่ช่วยเหลือในงานฟรีเซนต์และนางสาวอรอนิญา ชัยชลทรัพย์ ที่คอยช่วยเหลือแก้ไขไฟล์งานเอกสารให้ลุล่วงไปได้ด้วยดี

ท้ายนี้ผู้วิจัยขอขอบคุณเพื่อนๆ ที่มหาวิทยาลัยเทคโนโลยีพระจอมเกล้าพระนครเหนือ โดยเฉพาะนายพีรณัฐ ตูวพันธ์พัฒน์ และนายสุเมธ สิริเรืองอำไพ ที่สละเวลารับฟังปัญหาต่างๆ พร้อมถกเถียงทำให้เกิดไอเดียซึ่งเป็นประโยชน์ต่อวิทยานิพนธ์ฉบับนี้ด้วย นอกจากนี้ผู้วิจัยขอขอบคุณทุกท่านที่มีส่วนช่วยเหลือทำให้วิทยานิพนธ์ฉบับนี้สำเร็จเรียบร้อยลงได้ด้วยดีทุกประการ

## สารบัญ

	หน้า
บทคัดย่อภาษาไทย .....	ง
บทคัดย่อภาษาอังกฤษ .....	จ
กิตติกรรมประกาศ.....	ฉ
สารบัญ .....	ช
สารบัญตาราง.....	ฎ
สารบัญภาพ .....	ฏ

### บทที่

1 บทนำ.....	1
1.1 ความเป็นมาและความสำคัญของปัญหา .....	1
1.2 วัตถุประสงค์ของการวิจัย .....	3
1.3 ขอบเขตของการวิจัย .....	3
1.4 ข้อตกลงเบื้องต้น .....	4
1.5 ประโยชน์ที่คาดว่าจะได้รับ .....	5
1.6 ลำดับขั้นตอนในการเสนอผลการวิจัย.....	5
2 ทฤษฎีและงานวิจัยที่เกี่ยวข้อง.....	6
2.1 โครงสร้างของ QR Code (Structure of QR Code) .....	6
2.1.1 Finder Patterns .....	9
2.1.2 Separator .....	10
2.1.3 Timing Pattern.....	10
2.1.4 Alignment Patterns .....	10
2.1.5 Encoding Region .....	10
2.1.6 Quiet Zone .....	10
2.2 ขั้นตอนการเข้ารหัส (Encode Procedure Overview) .....	10

2.2.1	วิเคราะห์ข้อมูล (Data analysis) .....	10
2.2.2	การเข้ารหัสข้อมูล (Data encoding) .....	11
2.2.3	พิจารณา Error Correcting Codewords (Error correction coding) .....	16
2.2.4	Finally codewords (Structure final message).....	21
2.2.5	การวาง Codewords (Module placement in matrix).....	22
2.2.6	การวาง Data Masking (Data masking).....	25
2.2.7	Format and version information.....	28
2.3	ขั้นตอนการถอดรหัส (Decode Procedure Overview).....	32
2.3.1	Recognize Black/White Modules .....	32
2.3.2	Decode Format Information .....	32
2.3.3	Determine Version .....	32
2.3.4	Release Masking .....	32
2.3.5	Restore Data and RS Codewords .....	32
2.3.6	Error Detection.....	32
2.3.7	Error Correction .....	32
2.3.8	Decode Data Codewords.....	32
2.4	พื้นฐานเบื้องต้นเกี่ยวกับภาพ (Principle of image) .....	41
2.4.1	แบบจำลองสี RGB.....	41
2.4.2	แบบจำลองสี CMY หรือ CMYK .....	42
2.4.3	แบบจำลองสี HSV .....	43
2.5	ลายน้ำดิจิทัล (Digital Watermark) .....	44
2.5.1	นิยามของลายน้ำดิจิทัล .....	44
2.5.2	หลักการในการทำลายน้ำดิจิทัล .....	45
2.5.3	วิธีการฝังลายน้ำดิจิทัล .....	45
2.5.4	การฝังลายน้ำดิจิทัล (Watermark embedding) .....	47
2.5.5	การตรวจหาลายน้ำดิจิทัล (Watermark detection) .....	47
2.5.6	การถอดลายน้ำดิจิทัล (Watermark Extraction) .....	48



บทที่	หน้า
2.5.7	เกณฑ์การวัดประสิทธิภาพของลายน้ำดิจิทัล..... 48
2.6	เทคนิคการกระบวนกรฝังและถอดลายน้ำในโดเมนความถี่..... 50
2.6.1	การแปลงโคไซน์แบบไม่ต่อเนื่อง (Discrete cosine transform, DCT) ..... 51
2.6.2	การแปลงฟูเรียร์แบบไม่ต่อเนื่อง (Discrete fourier transform, DFT) ..... 54
2.6.3	การแปลงเวฟเล็ตแบบไม่ต่อเนื่อง (Discrete wavelet transform, DWT) ..... 55
2.7	เอกสารและงานวิจัยที่เกี่ยวข้อง ..... 58
3	วิธีดำเนินการวิจัย..... 63
3.1	ภาพรวมทั้งหมดของงานวิจัย..... 63
3.1.1	การเข้ารหัสข้อมูล QR Code..... 63
3.1.2	กระบวนกรฝังลายน้ำดิจิทัล..... 63
3.1.3	กระบวนกรถอดลายน้ำดิจิทัล ..... 64
3.1.4	การถอดรหัสข้อมูล QR Code ..... 64
3.2	การเข้ารหัสข้อมูล QR Code (Encode QR Code Procedure)..... 66
3.3	กระบวนกรฝังลายน้ำดิจิทัล (Embed Watermark in QR Code Procedure) ..... 66
3.4	การถอดลายน้ำดิจิทัล (Extract Watermark in QR Code Procedure Overview) 77
3.5	การถอดรหัสข้อมูล QR Code (Decode QR Code Procedure)..... 79
3.6	การวัดค่าประสิทธิภาพ ..... 79
4	การทดลองและผลการทดลอง..... 81
4.1	เครื่องมือที่ใช้ในการทดลอง ..... 81
4.1.1	ซอฟต์แวร์ที่ใช้ในการเขียนโปรแกรมคอมพิวเตอร์..... 81
4.1.2	ฮาร์ดแวร์ที่ใช้ในการทดสอบ ..... 81
4.1.3	รูปภาพที่ใช้ในการทดลอง ..... 81
4.2	ผลการทดลอง ..... 82
5	สรุปผลการวิจัย..... 121
5.1	บทสรุป..... 121
5.2	ข้อเสนอแนะ..... 122
รายการอ้างอิง.....	123

ภาคผนวก.....	130
ประวัติผู้เขียนวิทยานิพนธ์.....	169

## สารบัญตาราง

ตารางที่	หน้า
2-1 แสดงความจุในแต่ละชนิดของอักขระ.....	8
2-2 Mode Indicators ของ QR Code .....	11
2-3 จำนวนบิต Character Count Indicator ของ QR Code .....	12
2-4 แสดงค่า Encoding และ Decoding ของ Alphanumeric Mode.....	13
2-5 แสดงระดับของ Error Correcting .....	16
2-6 เงื่อนไขการเลือก Data mask pattern.....	26
2-7 คะแนนของผล Data Masking .....	28
2-8 Indicators ของ Error Correction Level ใน QR Code .....	29
4-1 แสดงผลลัพธ์ในกระบวนการก่อนและหลังฝังลายน้ำดิจิทัล.....	82
4-2 แสดงผลลัพธ์ในกระบวนการก่อนและหลังฝังลายน้ำดิจิทัล .....	91

## สารบัญภาพ

ภาพที่	หน้า
2-1 ขั้นตอนการถอดรหัสภาพบาร์โค้ดแบบ 1D Barcode .....	7
2-2 ขั้นตอนการถอดรหัสภาพบาร์โค้ดแบบ QR Code (2D Barcode).....	7
2-3 แสดงให้เห็นข้อความมากมายกลายเป็นแค่ 1 สัญลักษณ์.....	8
2-4 โครงสร้างของ QR Code .....	9
2-5 อัตราส่วนโมดูลดำ-ขาวของ Finder Patterns .....	9
2-6 รูปแบบการวาง Codewords จากตัวอย่าง .....	22
2-7 การวางบิตในรูปแบบปกติในทิศทางขึ้นและลง .....	23
2-8 ทิศทางการวางบิต (i) เป็นแบบปกติและ (ii) แบบไม่ปกติมีการเปลี่ยนทิศการวาง.....	24
2-9 การวางพื้นที่ที่จะวางถูกรอบครองโดยข้อมูลอื่น.....	24
2-10 ตัวอย่างการจัดเตรียมการวางในเวอร์ชัน 2 ที่ Error Correcting Level ระดับ M .....	25
2-11 รูปแบบ Data Mask Pattern ทั้งหมด .....	27
2-12 การแสดงขั้นตอนเลือก Data Masking ใน QR Code .....	27
2-13 ตำแหน่งของ Format Information.....	30
2-14 ตำแหน่ง Version Information .....	31
2-15 การเก็บค่าไบนารีของ Version Information ฝั่งซ้ายล่าง.....	31
2-16 การเก็บค่าไบนารีของ Version Information ฝั่งขวาบน .....	31
2-17 แสกนเส้นใน Finder Pattern.....	33
2-18 ความกว้างของ Finder Pattern ข้ายบนและขวาบน.....	34
2-19 ตำแหน่ง AC และ AB จากจุด A, B และ C .....	35
2-20 ตำแหน่ง Finder Patterns และ Alignment Pattern .....	36
2-21 คู่อันดับกึ่งกลางของ Alignment Pattern .....	37
2-22 พื้นที่ฝั่งซ้ายบนของ QR Code.....	39
2-23 แสดงพื้นที่ล่างขวาของ QR Code .....	40
2-24 โครงสร้างของสีหลัก RGB.....	42
2-25 โครงสร้างของสีหลักของ CMY หรือ CMYK.....	43

ภาพที่	หน้า
2-26 โครงสร้างของสีหลักของ HSV .....	44
2-27 โครงสร้างของวิธีซ่อนข้อมูล .....	46
2-28 การฝังลายน้ำดิจิทัลลงในข้อมูล QR Code .....	47
2-29 การตรวจหาลายน้ำดิจิทัลหรือข้อมูลลับที่อาจฝังอยู่ในข้อมูลที่ผ่านการฝังลายน้ำ .....	48
2-30 การถอดลายน้ำดิจิทัลออกจากข้อมูลที่มีลายน้ำดิจิทัลฝังอยู่ .....	48
2-31 ความหมายของขอบเขต DCT ช่วงความถี่กลาง .....	51
2-32 ความหมายของขอบเขต DFT ช่วงความถี่ต่ำ .....	55
2-33 การแยกส่วนประกอบโดยใช้การแปลงเวฟเล็ต 3 ระดับ .....	57
2-34 การแปลงแบบ Forward Wavelet Transform .....	57
3-1 โครงสร้างทั้งหมดของงานวิจัย .....	65
3-2 กระบวนการเข้ารหัสของ QR Code .....	66
3-3 โครงร่างของเทคนิคการทำลายน้ำดิจิทัลแบบ DCT ในกระบวนการฝังลายน้ำดิจิทัล .....	67
3-4 โครงร่างของเทคนิคการทำลายน้ำดิจิทัลแบบ DCT ในกระบวนการถอดลายน้ำดิจิทัล .....	67
3-5 การแบ่งข้อมูล QR Code ต้นฉบับออกเป็นบริเวณไม่ซ้อนทับกัน .....	68
3-6 การเลือกค่าสัมประสิทธิ์ของความถี่กลางด้วยวิธี Zigzag .....	69
3-7 โครงร่างของเทคนิคการทำลายน้ำดิจิทัลแบบ DFT ในกระบวนการฝังลายน้ำดิจิทัล .....	70
3-8 โครงร่างของเทคนิคการทำลายน้ำดิจิทัลแบบ DFT ในกระบวนการถอดลายน้ำดิจิทัล .....	70
3-9 การแบ่งข้อมูล QR Code ต้นฉบับออกเป็นบริเวณไม่ซ้อนทับกัน .....	71
3-10 การเลือกค่าสัมประสิทธิ์ของความถี่กลางด้วยวิธี Zigzag .....	72
3-11 โครงร่างของเทคนิคการทำลายน้ำดิจิทัลแบบ DWT ในกระบวนการฝังลายน้ำดิจิทัล .....	73
3-12 โครงร่างของเทคนิคการทำลายน้ำดิจิทัลแบบ DWT ในกระบวนการถอดลายน้ำดิจิทัล .....	68
3-13 การแบ่งข้อมูล QR Code ต้นฉบับออกเป็นบริเวณละ $16 \times 16$ จุดภาพ .....	74
3-14 เวฟเล็ตแบบไม่ต่อเนื่องระดับที่ 1 และ 2 ของข้อมูล QR Code ต้นฉบับ .....	75
3-15 การแบ่งภาพลายน้ำดิจิทัลเป็นบริเวณขนาด $4 \times 4$ จุดภาพ .....	75
3-16 แทรกบิตลายน้ำลงในสัมประสิทธิ์ข้อมูล QR Code ต้นฉบับผ่านตารางเทียบค่าไบนารี .....	77
3-17 การถอดบิตลายน้ำออกจากสัมประสิทธิ์ภาพทดสอบโดยผ่านตารางเทียบค่าไบนารี .....	78
3-18 กระบวนการถอดรหัสของ QR Code .....	79

ภาพที่	หน้า
4-1 แผนภาพค่า PSNR ของทุกภาพ .....	88
4-2 แผนภาพค่า NC ของทุกภาพ .....	89
4-3 แผนภาพค่า Time แต่ละ PSNR ของทุกภาพ.....	89
4-4 แผนภาพค่า Time แต่ละ PSNR ของทุกภาพ.....	90
4-5 แผนภาพค่า PSNR ของทุกภาพ .....	119
4-6 แผนภาพค่า NC ของทุกภาพ .....	119
4-7 แผนภาพค่า Time แต่ละ PSNR ของทุกภาพ.....	120
4-8 แผนภาพค่า Time แต่ละ NC ของทุกภาพ.....	120

## บทที่ 1

### บทนำ

#### 1.1 ความเป็นมาและความสำคัญของปัญหา

QR Code ย่อมาจาก Quick Response Code ซึ่งเป็นที่รู้จักกันดีในวงการบาร์โค้ด เพราะความสามารถในการอ่านได้อย่างถูกต้องและรวดเร็ว ซึ่งกลายเป็นที่รู้จักในกลุ่มคนทั่วไปในประเทศไทยมากขึ้นเมื่อบริษัท Blackberry ให้ผู้ใช้สามารถสร้าง QR Code ได้ด้วยตนเองเพื่อแสดง PIN BB ของเครื่องผู้ใช้งาน นอกจากนั้น QR Code ยังได้รับการยอมรับในระดับสากลดังที่เห็นได้จากการมีมาตรฐานมารองรับในปัจจุบัน [1] QR Code ถูกพัฒนาเรื่อยมาโดยบริษัท Denso Wave [2] โดยครั้งแรกถูกพัฒนาขึ้นเพื่อให้เป็นสัญลักษณ์ที่ง่ายต่อการตีความหมายด้วยสแกนเนอร์ ต่อมาถูกพัฒนาให้ใช้ในสายการผลิตในวงการอุตสาหกรรม [3] จนทำให้เกิดการแข่งขันทางการตลาดที่นำเสนอโดยการอ่าน QR Code ผ่านอุปกรณ์เครื่องมือสื่อสาร [4],[5],[6],[7] หรือกระทั่งการที่ผู้ใช้สามารถสร้าง QR Code ได้เองผ่านเว็บไซต์ผู้ให้บริการ [3] จนปัจจุบันได้มีการพัฒนาให้สามารถเก็บตัวอักษรได้มากขึ้นกว่าสมัยก่อนโดยในปัจจุบันสามารถเก็บอักขระที่เป็นเฉพาะตัวเลขได้มากที่สุดถึง 7,089 ตัว นอกจากนั้น QR Code ยังสามารถบรรจุข้อมูลได้หลายรูปแบบ เช่น Numeric Characters, Alphabetic Characters, Kanji Characters, Kana Characters, Hiragana Characters, Symbols, Binary และ Control Code [8] ด้วยความสามารถของ QR Code ซึ่งถือว่าเป็น 2D Barcode (Two Dimension Barcode) ที่บรรจุข้อมูลได้มาก ราคาถูกและสามารถลดทอนความเสียหายนั้นทำให้มีศักยภาพในการพัฒนาได้หลากหลายแอปพลิเคชัน ประโยชน์ของ QR Code มีประโยชน์มากมาย เช่น การบริหารจัดการจัดการด้านโลจิสติก ความสามารถในการแลกเปลี่ยนและการระบุข้อมูล [9] เมื่อไม่กี่ปีมานี้รัฐบาลได้หันและในส่วนของภาคอุตสาหกรรมได้พยายามอย่างมากเพื่อโปรโมท 2D Barcode ในงานวิจัยที่เกี่ยวข้อง ด้วยเหตุนี้เองทำให้เกิดผลตามมาดังนี้ อุตสาหกรรมผลิตถูกประยุกต์ใช้กับเทคโนโลยี 2D Barcode ในวงการธุรกิจของการจัดการ โรงงานอุตสาหกรรมและการให้คำตอบแทนต่างๆ เหล่านี้เพิ่มมากขึ้น [10] ลักษณะโดยทั่วไปของ 2D Barcode มีลักษณะความปลอดภัยที่เฉพาะตัวและยากต่อการปลอมแปลง เพราะจากการฝังข้อมูลที่ไม่สามารถถอดความออกมาได้โดยง่ายนักจากการดูด้วยสายตามนุษย์ ถึงอย่างนั้นก็ตามหากมีบุคคลที่คุ้นเคยในเทคโนโลยี 2D Barcode ความปลอดภัยของข้อมูลก็จะไม่สมบูรณ์นัก ดังที่เห็น ZXing Decoder Online [11] เพียงแค่เราอัพ

โหลดไฟล์ภาพ QR Code ผู้ใช้ก็สามารถถอดความหมายของ QR Code ได้ จึงเห็นได้ว่า QR Code มีจุดอ่อนในเรื่องความปลอดภัยดังที่มีงานวิจัยฉบับหนึ่งของ Manabu Hirakawa และ Junichi Iijima ในปี 2009 [12] ได้กล่าวไว้ว่ามีความปลอดภัยหลายด้านตระหนักถึง QR Code ว่ามีจุดอ่อนในด้านการรักษาความลับ ดังนั้นงานวิจัยชิ้นนี้จึงทำการศึกษาด้านความปลอดภัยในการรักษาความลับของ QR Code [13] โดยอาศัยวิธีบางประการเพื่อป้องกันไม่ไห้บุคคลที่สามที่ไม่มีส่วนเกี่ยวข้องสามารถเข้าถึงข้อมูลที่ต้องการซ่อนได้ โดยจากการศึกษาพบว่ามัลแวร์ที่สร้างขึ้นสามารถนำมาประยุกต์ใช้ในงานวิจัยนี้ได้ จากการเติบโตของเทคโนโลยีทางการสื่อสารทางอินเทอร์เน็ตอย่างรวดเร็ว ทำให้เกิดการแพร่กระจายของข้อมูลไปทั่วโลกจากเพียงแหล่งข้อมูลแห่งเดียว ซึ่งหากข้อมูลดังกล่าวไม่ได้รับอนุญาตจากเจ้าของผลงานหรือข้อมูลก่อนที่จะถูกคัดลอกหรือเผยแพร่ นั่น ผลกระทบทางตรงก็คือเจ้าของผลงานหรือข้อมูลก็จะเกิดการเสียผลประโยชน์ในส่วนที่ควรจะได้รับ ผลกระทบทางอ้อมก็คือ ระบบเศรษฐกิจ เพื่อหยุดหรือลดปัญหาดังกล่าวจึงเกิดการจดลิขสิทธิ์ (Copyright) เพื่อยืนยันความเป็นเจ้าของของผลงานหรือข้อมูลนั้นๆ นอกจากการจดลิขสิทธิ์แล้วยังมีวิธีอื่นๆ ที่ใช้ป้องกันการละเมิดลิขสิทธิ์ เช่น การเข้ารหัสลับข้อมูล (Encryption) ที่อนุญาตให้เฉพาะผู้ที่มีกุญแจรหัสรับเท่านั้นจึงจะสามารถเข้าถึงข้อมูลได้หรือการใส่เลขทะเบียน (Serial Numbers) ตราสัญลักษณ์ (Logo) ไว้เสมือนเป็นคำหยา (Label) ไว้ที่ตัวของข้อมูลเพื่อบ่งบอกให้บุคคลทั่วไปทราบว่าข้อมูลมีเจ้าของ แต่ถึงกระนั้นก็ยังไม่สามารถหยุดหรือลดปัญหาดังกล่าวได้ เช่น ข้อมูลที่ผ่านการเข้ารหัสแล้วสามารถนำมาคัดลอกหรือทำซ้ำ ดังนั้นเพื่อหยุดหรือลดปัญหาดังกล่าวจึงเกิดการพัฒนาระบบเทคโนโลยีการทำภาพพิมพ์ลายน้ำดิจิทัล (Digital Watermarking) ซึ่งต่างจากการเข้ารหัสทั่วไปที่การเข้าถึงข้อมูลสามารถเข้าถึงได้เฉพาะผู้ที่ถือกุญแจเท่านั้น แต่เทคโนโลยีการทำภาพพิมพ์ลายน้ำดิจิทัลมีการซ่อนสัญญาณลายน้ำ (Watermark Signal) ลงไปในข้อมูลมัลติมีเดีย ซึ่งหากเกิดการคัดลอกสัญญาณลายน้ำจะติดไปกับข้อมูลมัลติมีเดียที่ถูกคัดลอกไปด้วย ซึ่งส่วนนี้สามารถนำไปใช้ในการสืบหาแหล่งกำเนิดของการคัดลอกข้อมูลหรือใช้แสดงความเป็นเจ้าของได้ด้วย โดยหลักการแล้วกระบวนการฝังลายน้ำดิจิทัลเป็นหลักการที่ทำให้มนุษย์ไม่สามารถรับรู้ได้ทันทีด้วยประสาทสัมผัสทางตาของมนุษย์ หรือไม่สามารถสังเกตความแตกต่างระหว่างข้อมูลต้นฉบับกับข้อมูลที่ผ่านกระบวนการฝังลายน้ำดิจิทัลได้ โดยข้อมูลที่เราใช้ในการฝังเรียกว่า “ลายน้ำดิจิทัล” การทำลายน้ำดิจิทัลบน QR Code ถือว่าเป็นทางเลือกหนึ่งที่ใช้ในการแก้ปัญหาดังกล่าว โดยใช้ข้อมูลที่มีข้อความเป็นลายน้ำดิจิทัลแทรกลงไปบนข้อมูล QR Code เพื่อซ่อนข้อมูล โดยจะทำการรวมลายน้ำดิจิทัลเข้ากับข้อมูล QR Code ที่เกิดจากการเข้ารหัสข้อมูลเข้าด้วยกันซึ่งจะทำให้แนวทางการวิจัยชิ้นนี้บรรลุผล



ได้ จากที่กล่าวมาข้างต้นเราทำการศึกษาต่อว่าเมื่อเกิดกระบวนการฝังลายน้ำดิจิทัลลงในข้อมูล QR Code การแทรกและถอดลายน้ำดิจิทัลลงในโดเมนความถี่ (Frequency Domain) โดยใช้วิธีการแปลง 3 วิธี คือ Discrete Cosine Transform(DCT), Discrete Fourier Transform(DFT) และ Discrete Wavelet Transform(DWT) นั้นแบบใดที่ทำให้ข้อมูลที่ผ่านการฝังแล้วได้ผลที่ดีกว่ากัน

## 1.2 วัตถุประสงค์ของการวิจัย

เพื่อศึกษา ออกแบบและนำเสนอวิธีการฝังลายน้ำดิจิทัลลงในข้อมูล QR Code เพื่อซ่อนข้อมูลในโดเมนความถี่โดยใช้วิธีการแปลง 3 วิธี อันได้แก่ การแปลงโคไซน์แบบไม่ต่อเนื่อง (Discrete cosine transform, DCT), การแปลงฟูเรียร์แบบไม่ต่อเนื่อง (Discrete fourier transform, DFT) และ การแปลงเวฟเล็ตแบบไม่ต่อเนื่อง (Discrete wavelet transform, DWT) เปรียบเทียบกัน

## 1.3 ขอบเขตของการวิจัย

1. เป็นการฝังลายน้ำดิจิทัลลงในข้อมูล QR Code เพื่อซ่อนข้อมูล
2. ในงานวิจัยนี้สนใจการเข้ารหัส Numeric และ Alphanumeric
3. ข้อมูล QR Code ที่เข้ารหัสใช้ Error Correction ที่ระดับ L
4. การแทรกและถอดลายน้ำดิจิทัลลงในโดเมนความถี่ (Frequency Domain) โดยใช้วิธีการแปลง 3 วิธี คือ Discrete Cosine Transform (DCT), Discrete Fourier Transform (DFT) และ Discrete Wavelet Transform (DWT)
5. เกณฑ์การวัดคุณภาพในการแปลง 2 แบบ คือ
  - 5.1 การใช้เกณฑ์การวัดคุณภาพของภาพด้วย PSNR และ NC
  - 5.2 เกณฑ์การวัดประสิทธิภาพการคำนวณของเครื่องคอมพิวเตอร์โดยวัดเวลาการทำงานของโปรแกรมประมวลผลของ Clock cycle
6. ข้อมูล QR Code ที่ผ่านการเข้ารหัสขนาด สกุล .bmp

7. รูปภาพลายน้ำดิจิทัลที่ใช้เป็นลายน้ำขนาด สกุล .bmp
8. รหัสลับ (Key) ที่ใช้แสดงความเป็นเจ้าของ คือ รหัสลับที่ใช้เพื่อเข้าสู่การแทรกและการถอดลายน้ำดิจิทัลที่ผ่านการแปลงโคซายน์แบบไม่ต่อเนื่อง การแปลงฟูริเยร์เต็มหน่วยและการแปลงเวฟเล็ตแบบไม่ต่อเนื่อง
9. การแทรกและถอดลายน้ำดิจิทัลแบบ DCT กระทำใน Frequency Domain โดยใช้ฟังก์ชันการแปลง DCT และ IDCT
10. การแทรกและถอดลายน้ำดิจิทัลแบบ DFT กระทำใน Frequency Domain โดยใช้ฟังก์ชันการแปลง FFT และ IFFT
11. การแทรกและถอดลายน้ำดิจิทัลแบบ DWT กระทำใน Frequency Domain โดยใช้ฟังก์ชันการแปลง DWT และ IDWT
12. ขั้นตอนการแทรกและถอดลายน้ำดิจิทัลบน QR Code ใช้โปรแกรม MATLAB Version 7.11.0(R2010b) ในการพัฒนา

#### 1.4 ข้อตกลงเบื้องต้น

1. ภาพต้นฉบับ (Original Image) / ข้อมูล QR Code หมายถึง ภาพหลัก สกุล .bmp ใช้เพื่อการแทรกลายน้ำดิจิทัล มีขนาดตามที่ขอบเขตของการวิจัยกำหนด
2. ลายน้ำดิจิทัล (Digital Watermarking) หมายถึง ภาพลายน้ำที่ใช้เพื่อการแทรกลงในข้อมูล QR Code สกุล .bmp มีขนาดตามที่ขอบเขตของการวิจัยกำหนด
3. ภาพลายน้ำดิจิทัล (Watermarked Image) หมายถึง ข้อมูล QR Code ที่ผ่านกระบวนการแทรกลายน้ำดิจิทัล
4. วิธีการแปลงโคซายน์แบบไม่ต่อเนื่อง หมายถึง วิธีการทางคณิตศาสตร์ที่ใช้ในการแปลงภาพจากโดเมนพื้นที่ (Spatial Domain) ไปเป็นโดเมนความถี่ (Frequency Domain) และนำค่าที่ได้มาใช้ในการคำนวณต่อไป

5. วิธีการแปลงฟูเรียร์แบบไม่ต่อเนื่อง หมายถึง วิธีการทางคณิตศาสตร์ที่ใช้ในการแปลงภาพจากโดเมนพื้นที่ (Spatial Domain) ไปเป็นโดเมนความถี่ (Frequency Domain) และนำค่าที่ได้มาใช้ในการคำนวณต่อไป
6. วิธีการแปลงเวฟเล็ตแบบไม่ต่อเนื่อง หมายถึง วิธีการทางคณิตศาสตร์ที่ใช้ในการแปลงภาพจากโดเมนพื้นที่ (Spatial Domain) ไปเป็นโดเมนความถี่ (Frequency Domain) และนำค่าที่ได้มาใช้ในการคำนวณต่อไป

### 1.5 ประโยชน์ที่คาดว่าจะได้รับ

1. ทำให้สามารถพัฒนาการซ่อนข้อมูลใน QR Code ได้
2. ทำให้เกิดแนวทางการวิจัยด้าน การพัฒนา QR Code ร่วมกับลายน้ำดิจิทัลอล ซึ่งกำลังเริ่มเป็นที่สนใจมากขึ้นในขณะนี้
3. ทำให้ได้แนวทางการวิจัยด้านการฝังลายน้ำบนโดเมนความถี่โดยใช้วิธีการแปลง 3 วิธี คือ Discrete Cosine Transform (DCT), Discrete Fourier Transform (DFT) และ Discrete Wavelet Transform (DWT) นั้นได้ผลแตกต่างกันอย่างไร

### 1.6 ลำดับขั้นตอนในการเสนอผลการวิจัย

1. ศึกษาทฤษฎี หลักการพื้นฐานที่ใช้ในการวิจัยและงานวิจัยที่เกี่ยวข้อง
2. ศึกษาเทคนิคต่างๆที่มีอยู่ถึงแนวคิด หลักการ ข้อดี และข้อบกพร่องของแต่ละเทคนิค
3. ออกแบบและนำเสนอกระบวนการฝังและการถอดลายน้ำดิจิทัลอลร่วมกับ QR Code โดยใช้วิธีการแปลง 3 วิธี คือ Discrete Cosine Transform (DCT), Discrete Fourier Transform (DFT) และ Discrete Wavelet Transform (DWT)
4. ทดสอบวิธีการที่นำเสนอ
5. วิเคราะห์ผลการทดลอง
6. สรุปผลและเรียบเรียงวิทยานิพนธ์

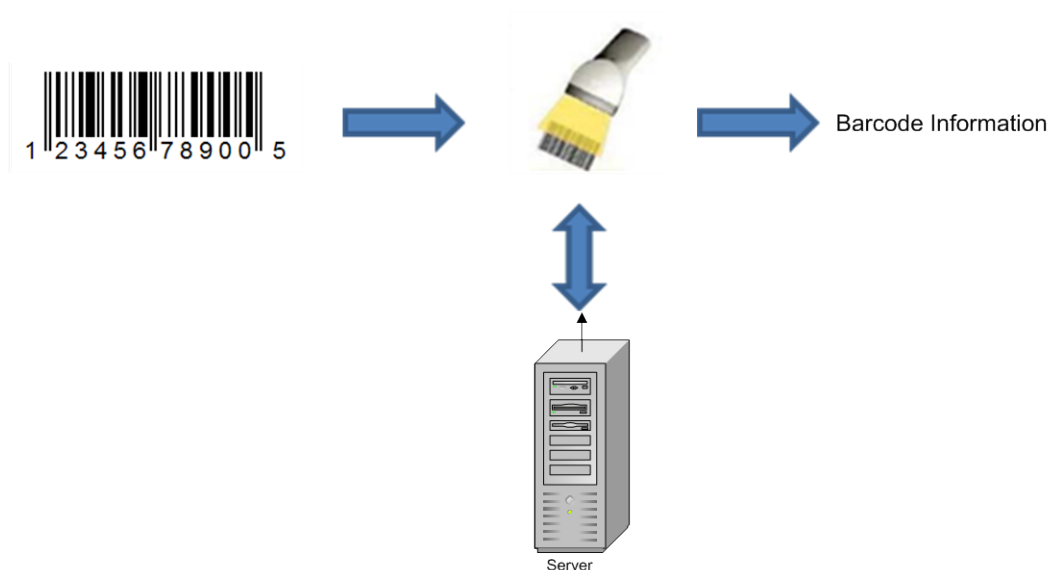
## บทที่ 2

### ทฤษฎีและงานวิจัยที่เกี่ยวข้อง

ในส่วนนี้เป็นแนวคิดและทฤษฎีเกี่ยวกับโครงสร้างของ QR Code และการทำลายน้ำดิจิทัล ซึ่งจะการกล่าวถึงโครงสร้างของ QR Code ขั้นตอนการเข้ารหัส ขั้นตอนการถอดรหัส พื้นฐานการประมวลผลภาพดิจิทัล แนวคิดในการทำลายน้ำดิจิทัล ประวัติการทำลายน้ำดิจิทัล ลักษณะการแปลงโคไซน์แบบไม่ต่อเนื่อง (Discrete cosine transform, DCT), การแปลงฟูริเยร์เต็มหน่วย (Discrete fourier transform, DFT) และการแปลงเวฟเล็ต (Discrete wavelet transform, DWT) ตามลำดับ

#### 2.1 โครงสร้างของ QR Code (Structure of QR Code)

บาร์โค้ดถูกนำไปใช้อย่างกว้างขวางในโฆษณาสื่อต่างๆ การบริการด้านไปรษณีย์ การจัดการเกี่ยวกับหนังสือ โกดังสินค้า การผลิตที่มี Process Control ในอุตสาหกรรมและอื่นๆ บาร์โค้ดมีประโยชน์หลายอย่าง เช่น High Input Speed, High Accuracy, Low Cost และ High Reliability ปัจจุบันบาร์โค้ดถูกประยุกต์ใช้ในเทคโนโลยีด้าน Automatic Recognition [14],[15] ด้วยการบรรจุข้อมูลลงไป บาร์โค้ดมีอยู่ทั่วไปในชีวิตประจำวันดังที่เห็นได้จากสินค้าต่างๆ ก็จะมีบาร์โค้ดเป็นของตัวเองในร้านสะดวกซื้อต่างๆและร้านซูเปอร์มาร์เก็ต ร้านขายหนังสือก็จะมีเลข ISBN (International Standard Book Number) ที่จะเห็นอยู่ด้านหลังหนังสือ โดยบาร์โค้ดพวกนี้จะมีลักษณะแถบขาว-ดำซึ่งเราจะเรียกว่าเป็น 1D Barcode (One Dimension Barcode) ดังภาพที่ 2-1 แต่บาร์โค้ดพวกนี้สามารถบรรจุได้แค่ตัวเลขเท่านั้น บาร์โค้ดชนิดนี้มีความจุไม่มากนักและถ้าเกิดการต้องการข้อมูลจากบาร์โค้ดใช้การถอดรหัสกลับโดยใช้อุปกรณ์ที่ทำขึ้นเป็นพิเศษเพื่อแสกนแล้วได้ข้อมูลออกมา นอกจากนั้นเราต้องใช้คีย์บอร์ดเพื่อเก็บข้อมูลของบาร์โค้ด เพื่อเก็บข้อมูลได้มากกว่าและสะดวกสบายกว่าเดิมจึงเกิด 2D Barcode (Two Dimension Barcode) ซึ่งไม่ต้องใช้ อุปกรณ์ที่ทำขึ้นเป็นพิเศษเพื่อแสกนแล้วยังสามารถเข้ารหัสข้อมูลได้หลายชนิดมากมายดังที่กล่าวไปแล้วข้างต้น ดังภาพที่ 2-2



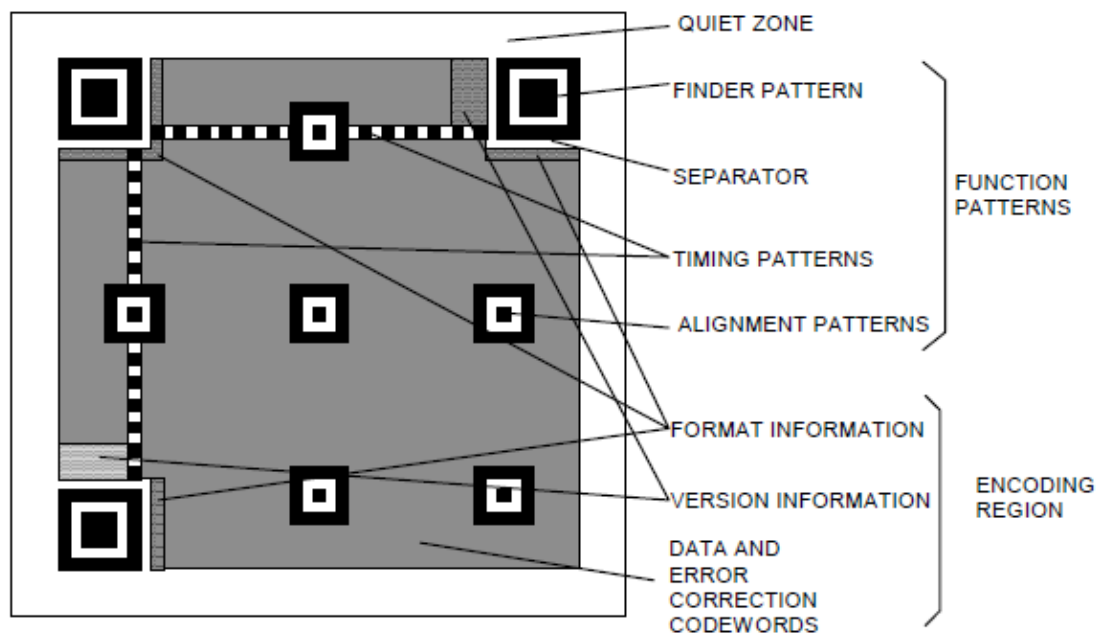
ภาพที่ 2-1 ขั้นตอนการถอดรหัสภาพบาร์โค้ดแบบ 1D Barcode



ภาพที่ 2-2 ขั้นตอนการถอดรหัสภาพบาร์โค้ดแบบ QR Code (2D Barcode)

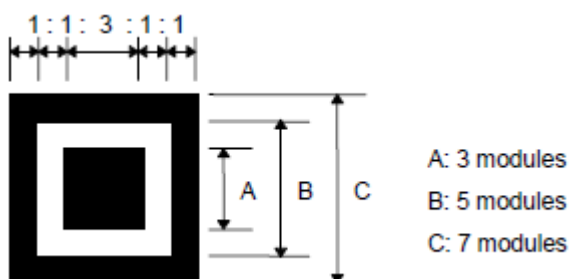
จากภาพที่ 2-1 และ 2-2 จะเห็นว่า QR Code ซึ่งเป็น 2D Barcode นั้นผู้ใช้สามารถรับข้อมูลได้ง่ายกว่ามากเพียงแค่ถ่ายภาพ QR Code โดยผ่านแอปพลิเคชันที่สามารถอ่าน QR Code ได้ [15] ก็สามารถลิงก์ไปหน้าเว็บไซต์อินเทอร์เน็ตได้ทันทีเมื่อ Content นั้นๆ เป็น URL (Uniform Resource Locators) ด้วยเหตุนี้เองทำให้เราพบ 2D Barcode ตามที่ต่างๆ มากมาย ในขณะที่บาร์โค้ดทั่วไปสามารถเก็บได้มากที่สุด 20 ดิจิตแต่ QR Code สามารถเก็บได้มากกว่าหลายเท่าทำให้ได้ข้อมูลที่มากกว่า QR Code สามารถจุข้อมูลได้ทุกรูปแบบ เช่น Numeric, Alphanumeric, Kanji, Kana, Hiragana, Symbols, Binary และ Control Code สูงถึง 7,089 อักขระต่อกาเข้ารหัสเป็น 1 ภาพของ QR Code ดังตารางต่อไปนี้ [2]





ภาพที่ 2-4 แสดงโครงสร้างของ QR Code

2.1.1 Finder Patterns คือ QR Code มีการระบุ Finder Patterns 3 ตำแหน่ง ได้แก่ ตำแหน่งมุมบนซ้าย, มุมบนขวาและมุมล่างซ้าย ซึ่งแต่ละ Finder Patterns มีลักษณะเป็นสี่เหลี่ยมที่ซ้อนทับตรงกลางกันและถูกสร้างจากโมดูลสีดำขนาด  $7 \times 7$  หน่วย โมดูลสีขาวขนาด  $5 \times 5$  หน่วย และโมดูลสีดำขนาด  $3 \times 3$  หน่วยทำให้ได้อัตราส่วนความกว้างของแต่ละ Finder Patterns เป็น  $1:1:3:1:1$  ดังภาพที่ 2-5 [1]



ภาพที่ 2-5 อัตราส่วนโมดูลดำ-ขาวของ Finder Patterns

2.1.2 Separator คือ ถูกสร้างด้วยโมดูลขาวทั้งหมด ซึ่งถูกวางระหว่างแต่ละ Finder Patterns กับส่วนที่เข้ารหัส ดังภาพที่ 2-4

2.1.3 Timing Pattern ใน QR Code มีทั้งแนวนอนและแนวตั้งที่ประกอบด้วยโมดูลดำ-ขาวสลับกัน โดยเป็นโมดูลดำในช่วงต้นและท้าย ตำแหน่งของ Timing Pattern จะอยู่แถวที่ 6 ของ QR Code ซึ่งอยู่ระหว่าง Separator ดังภาพที่ 2-4

2.1.4 Alignment Patterns ถูกแสดงในเวอร์ชัน 2 ขึ้นไป ซึ่งแต่ละ Alignment Patterns เป็นสี่เหลี่ยม 3 รูปที่ซ้อนทับศูนย์กลางกันโดยถูกสร้างจากโมดูลดำขนาด  $5 \times 5$  หน่วย โมดูลขาวขนาด  $3 \times 3$  หน่วยและโมดูลดำตรงกลางขนาด 1 หน่วย โดยจำนวนของ Alignment Patterns จะขึ้นกับเวอร์ชัน

2.1.5 Encoding Region เป็นการแสดงถึง Error Correcting Codewords, Format Information และ Version Information

2.1.6 Quiet Zone เป็นส่วนที่เป็นอิสระ โดยจะอยู่รอบๆ QR Code ทั้งสี่ด้าน

## 2.2 ขั้นตอนการเข้ารหัส (Encode Procedure Overview)

ในส่วนนี้เป็นภาพรวมของขั้นตอนที่จำเป็นในการแปลง Input Data เป็น QR Code โดยมีขั้นตอนดังต่อไปนี้

2.2.1 วิเคราะห์ข้อมูล (Data analysis) คือ วิเคราะห์กระแสของ Input Data เพื่อระบุความแตกต่างของ Characters ที่จะเข้ารหัส โดย QR Code มี Extended Channel Interpretation ทำให้ Data ที่มี Character ต่างกันสามารถทำการเข้ารหัสได้ ซึ่งให้คำจำกัดความไว้ใน AIM Inc. International Technical Specification Extended Channel Interpretations จะทำการเลือกเวอร์ชันที่น้อยที่สุดที่สามารถบรรจุข้อมูลได้ รายชื่อของเวอร์ชันและความจุ โดยที่ทุก Codewords ยาว 8 บิต



โดยในงานวิจัยชิ้นนี้ สนใจการเข้ารหัส 2 Modes คือ Numeric Mode และ Alphanumeric Mode ซึ่งมีรายละเอียด ดังต่อไปนี้ [1]

2.2.1.1 Numeric Mode คือ มีการเข้ารหัสจากกลุ่มตัวเลข (0-9) โดยปกติ 3 Data Characters ถูกแสดงเป็น 10 บิต

2.2.1.2 Alphanumeric Mode คือ มีการเข้ารหัสจากกลุ่มของ 45 Characters เช่น ตัวเลข 10 ตัว (0-9), ตัวอักษร 26 ตัว (A-Z) และ สัญลักษณ์ 9 ตัว (SP, \$, %, \*, +, -, ., /, :) โดยปกติ 2 Input Characters ถูกแสดงเป็น 11 บิต

2.2.2 การเข้ารหัสข้อมูล (Data encoding) คือ แปลงข้อมูลที่เป็น Characters เป็นกระแสบิตที่สอดคล้องกับโหมดที่บังคับ โดยแทรก Mode Indicators เพื่อเปลี่ยนโหมด และ Terminator เป็นท้ายสุดของ Data หลังจากนั้นทำการแบ่งเป็นกระแสบิตเป็น Codewords โดยแต่ละ Codewords มี 8 บิต แล้วทำการเติม Codewords ให้ครบตามแต่ละเวอร์ชันที่กำหนด โดยเริ่มแรก Input Data จะเริ่มเข้าสู่ Mode Indicators เพื่อระบุว่าเป็นกระแสบิตของข้อมูลแบบใด ดังตารางต่อไปนี้ [1]

ตารางที่ 2-2 Mode Indicators ของ QR Code

Mode	Representation
Numeric	0001
Alphanumeric	0010
Terminator (สิ้นสุดข้อความ)	0000

ตัวอย่างเช่น ถ้าประเภทของอักขระอยู่ในรูปแบบ Alphanumeric เราจะเลือกโหมด

Alphanumeric คือ 0010 ต่อไปเป็นการแสดงจำนวนบิตในการนับ Character ของ QR Code ดังตารางต่อไปนี้

ตารางที่ 2-3 จำนวนบิต Character Count Indicator ของ QR Code

Version	Numeric Mode	Alphanumeric Mode
1 ถึง 9	10	9
10 ถึง 26	12	11
27 ถึง 40	14	13

ตัวอย่างเช่น จากตัวอย่างที่แล้วมี 8 ตัว เราจะเข้ารหัสไบนารียาว 9 บิตสำหรับประเภท

Alphanumeric คือ 0010 000001000

2.2.2.1 การเข้ารหัส Numeric Mode คือ Input Data มีค่าตามตัวเลขที่เป็น Input Data ถูกแบ่งเป็นกลุ่มกลุ่มละ 3 ดิจิต เช่น ข้อมูล "123456" จะถูกแยกชุดข้อมูลเป็น "123" และ "456" โดยที่แต่ละกลุ่มถูกแปลงเป็นเลขไบนารี 10 บิตอย่างเท่าๆ กัน แต่ในกรณีที่แยกชุดข้อมูลแล้วไม่ครบ 3 ตัว เราจะใช้รหัสไบนารีที่มีความยาว 4 บิต และ 7 บิต แทนชุดข้อมูลขนาด 1 และ 2 ตัว ตามลำดับ ยกตัวอย่างเช่น ข้อมูล "9876" จะถูกแยกชุดข้อมูลออกเป็น "987" ซึ่งมีความยาวไบนารี 10 บิต และ "6" ซึ่งมีความยาวไบนารี 4 บิตเป็นผลลัพธ์คือ "1111011011 0110" ดังตารางที่ 2-4 และการจำนวนบิตแสดงไว้ในตารางที่ 2-5 สำหรับความยาวของ Data Characters ของกระแสข้อมูลใน Numeric Mode ถูกเขียนเป็นสูตรดังต่อไปนี้

$$B = M + C + 10(D \text{ DIV } 3) + R \quad (2-1)$$

โดยที่ B เป็นจำนวนบิตของกระแสข้อมูล ส่วน M เป็นจำนวนบิตของ Mode Indicator (ดังตารางที่ 2-4) ส่วน C เป็นจำนวนบิตใน Character Count Indicator ของ QR Code (ดังตารางที่ 2-5) ส่วน D เป็นจำนวน Input Data Characters โดยเลือกค่า R ตามเงื่อนไขสมการต่อไปนี้

$$R = 0 \text{ if } (D \text{ MOD } 3) = 0 \quad (2-2)$$

$$R = 4 \text{ if } (D \text{ MOD } 3) = 1 \quad (2-3)$$

$$R = 7 \text{ if } (D \text{ MOD } 3) = 2 \quad (2-4)$$

2.2.2.2 การเข้ารหัส Alphanumeric Mode ในแต่ละ Input Data Character ถูกกำหนดค่าตั้งแต่ 0 ถึง 44 ดังตารางที่ 2-6

ตารางที่ 2-4 แสดงค่า Encoding และ Decoding ของ Alphanumeric Mode

Characters	Value
0	0
1	1
2	2
3	3
4	4
5	5
6	6
7	7
8	8
9	9
A	10
B	11
C	12
D	13
E	14
F	15
G	16
H	17
I	18
J	19
K	20
L	21
M	22
N	23
O	24
P	25
Q	26

R	27
S	28
T	29
U	30
V	31
W	32
X	33
Y	34
Z	35
SP	36
\$	37
%	38
*	39
+	40
-	41
.	42
/	43
:	44

ใน Input Data Characters ถูกแบ่งเป็นกลุ่มเป็นกลุ่มละ 2 Characters ซึ่งจะถูกรหัสเป็น 11 บิต โดยค่าของ Characters ตัวแรกจะถูกคูณด้วย 45 แล้วบวกด้วยค่าของ Characters ตัวที่สอง หลักจากนั้นแปลงเป็นเลขไบนารียาว 11 บิต แต่ในกรณีที่แยกชุดข้อมูลแล้วไม่ครบ 2 เราจะใช้ ความยาวของรหัส Binary ชนิด 6 บิตแทนชุดข้อมูลขนาด 1 ตัว จากตัวอย่างชุดข้อมูล 0010 000001000 (จากตัวอย่างที่ผ่านมา) ซึ่งจะมีตัวอย่างดังต่อไปนี้

“AB”	“CD”
$45 \cdot 10 + 11$	$45 \cdot 12 + 13$
461	553
00111001101	01000101001

“E1”	“23”
$45 \cdot 14 + 1$	$45 \cdot 2 + 3$
631	93
01001110111	00001011101

สำหรับความยาวของ Data Characters ของกระแสข้อมูลใน Alphanumeric Mode โดยมีกรคำนวณดังสมการต่อไปนี้

$$B = M + C + 11(D \text{ DIV } 2) + 6(D \text{ MOD } 2) \quad (2-5)$$

โดยที่  $B$  เป็นจำนวนบิตของกระแสข้อมูล ส่วน  $M$  เป็นจำนวนบิตของ Mode Indicator (ดังตารางที่ 2-4) ส่วน  $C$  เป็นจำนวนบิตใน Character Count Indicator ของ QR Code (ดังตารางที่ 2-5) ส่วน  $D$  เป็นจำนวน Input Data Characters

2.2.2.3 Terminator คือ เมื่อทำการเข้ารหัสเสร็จ หลังจากนั้นในส่วนของ Terminator เป็นการบ่งบอกถึงการสิ้นสุดของ Data โดยมีลักษณะเป็นบิต 0 เรียงกันซึ่งจะรวมเข้ากับกระแสของข้อมูลที่ผ่านการแปลงเข้าสู่ไบนารีดังที่กล่าวถึงก่อนหน้าแต่ Terminator จะถูกละเว้นเมื่อกระแสของข้อมูลถูกใส่จนเต็มกระแสของข้อมูลจะสอดคล้องกับแต่ละ Mode ซึ่งจะถูบบังคับให้เชื่อมโยงกัน โดยที่ผลรวมของข้อมูลจะถูกแบ่งเป็น Codewords โดยที่แต่ละ Codewords ทั้งหมดจะมีความยาว 8 บิต แต่ถ้าความยาวของกระแสของข้อมูลใน Codewords สุดท้ายไม่ครบ 8 บิตให้เติมบิต 0 ต่อบิตของ Data ตัวสุดท้าย (Least Significant Bit) โดยเพิ่ม 0000 ต่อท้ายเข้าไป แต่ในกรณีที่ความยาวของบิตเต็มจำนวนแล้วก็ไม่จำเป็นต้องใช้ 0000 เพื่อชี้แจงว่าจุดสิ้นสุด ยกตัวอย่างเช่น 0010 00001000 00111001101 01000101001 01001110111 00001011101 0000 นอกจากนั้น QR Code ใช้ Reed-Solomon เพื่อควบคุม Error ทำให้สามารถกู้คืนข้อมูลได้ถูกต้อง แม้ภาพ QR Code เกิดการเปื้อนหรือฉีกขาด ซึ่งสามารถกู้คืนได้ตามระดับตามตารางที่ 2-6

ตารางที่ 2-5 แสดงระดับของ Error Correcting

Error Correcting Level	Recovery Capacity % (approx.)
L	7
M	15
Q	25
H	30

2.2.2.4 Pad Codewords คือเติม Codewords 11101100 และ 00010001 สลับกันเรื่อยๆ จนครบจำนวน Codewords โดยพิจารณา Number of Data Codewords (ภาคผนวก ค) จากนั้นจะเข้าสู่การเข้ารหัสเป็น Codewords สำหรับข้อมูลผลลัพธ์จากตัวอย่างที่ผ่านมาจะถูกแบ่งออกให้เป็นชุดๆ ชุดละ 8 บิต คือ 00100000 01000001 11001101 01000101 00101001 11011100 00101110 10000000

ในกรณีที่ข้อมูลชุดสุดท้ายไม่ครบ 8 ตัว ให้เพิ่ม 0 เข้าไปจนครบ ดังนี้ 00100000 01000001 11001101 01000101 00101001 11011100 00101110 10000000 ถ้าจำนวน Codewords น้อยกว่าความจุของจะเพิ่ม “11101100” และ “00010001” เข้าไปจนกว่าจะเต็มความจุ ดังตัวอย่างความจุของ QR Code เวอร์ชัน 1 ที่มี Error Correcting Level ระดับ H มีค่าเป็น 9 Codewords ดังนี้ 00100000 01000001 11001101 01000101 00101001 11011100 00101110 10000000 11101100 สรุปผลลัพธ์ได้เป็นจำนวนเต็ม 9 ตัว ดังนี้ 32 65 205 69 41 220 46 128 236

2.2.3 พิจารณา Error Correcting Codewords (Error correction coding) [1] คือ เราใช้ Reed-Solomon Error Correcting สำหรับ QR Code เพื่อช่วยในการวิเคราะห์หา Error Correcting Codewords โดยเริ่มจากนำข้อมูลผลลัพธ์จากในหัวข้อที่ผ่านมาเพื่อลดทอนให้เป็นข้อมูล RS block ตามมาตรฐานที่มีอยู่ เนื่องจากค่า RS Block ของ 1-H เท่ากับ 1 ดังนั้นเราไม่ต้องลดทอนข้อมูลจากตัวอย่างของเราพิจารณาค่า RS Block ของ QR Code พิจารณา Number of Error Correction Codewords (ภาคผนวก ง) โดยที่พหุนามทางคณิตศาสตร์ของ QR Code จะถูกคำนวณทางคณิตศาสตร์โดยใช้ Bit-Wise Modulo 2 และ Byte-wise modulo 2 ของ

100011101 ซึ่งพวกนี้อยู่ในเรื่อง Galois Field ของ  $2^8$  ที่มี 100011101 จะถูกเขียนเป็น Field ของ Prime Modulus Polynomial ได้ดังนี้  $x^8 + x^4 + x^3 + x^2 + 1$  ซึ่งมี Data Codewords เป็นสัมประสิทธิ์ของเงื่อนไขพหุนามที่มีสัมประสิทธิ์ของเทอมที่สูงที่สุดจะเป็น Data Codeword อันแรก ในทางกลับกันสัมประสิทธิ์ของเงื่อนไขพหุนามที่มีสัมประสิทธิ์ของเทอมที่ต่ำที่สุดจะเป็น Data Codeword อันสุดท้ายก่อนที่จะเป็น Error Correction Codeword ตัวแรก ในส่วนของ Error Correction Codewords จะเป็นส่วนที่เหลือหลังจากแบ่ง Data Codewords ด้วยพหุนาม  $g(x)$  ซึ่งใช้กับ Error Correction Codes โดยที่สัมประสิทธิ์ที่มีกำลังสูงสุดของส่วนที่เหลือ คือ Error Correction Codeword ตัวแรกและสัมประสิทธิ์ที่มีกำลังเป็น 0 คือ Error Correction Codeword ตัวสุดท้ายซึ่งเป็น Codeword ตัวสุดท้ายใน Block โดยมีพหุนามที่แตกต่างกันได้ 36 แบบ (ภาคผนวก จ) เพื่อใช้สร้าง Error Correction Codewords เช่น จากตัวอย่างใน 2.2.2.4 ที่ QR Code มีเวอร์ชัน 1 ที่มี Error Correcting Level ระดับ H จะมีจำนวน Error Correction Codewords (ภาคผนวก ง) ในช่อง Numbers of Error Correction Codewords มีค่าเท่ากับ 17 ส่งผลให้ (ภาคผนวก จ) เรากำหนดพหุนามของ Error Correction Codewords โดยเลือก Generator Polynomial จากช่องที่มี Numbers of Error Correction Codewords มีค่าเท่ากับ 17 หลังจากนั้นทำการคำนวณ Reed Solomon โดยใช้ตัวอย่างจาก 2.2.2.4 ที่มี Numbers of Error Correction Codewords มีค่าเท่ากับ 17 ดังนี้

$$\begin{aligned}
 g(x) = & x^{17} + \alpha^{43}x^{16} + \alpha^{139}x^{15} + \alpha^{206}x^{14} + \alpha^{78}x^{13} + \alpha^{43}x^{12} + \alpha^{239}x^{11} + \\
 & \alpha^{123}x^{10} + \alpha^{206}x^9 + \alpha^{214}x^8 + \alpha^{147}x^7 + \alpha^{24}x^6 + \alpha^{99}x^5 + \alpha^{150}x^4 + \alpha^{39}x^3 \\
 & + \alpha^{243}x^2 + \alpha^{163}x + \alpha^{136}
 \end{aligned} \tag{2-6}$$

สามารถเขียนสัมประสิทธิ์แบบจำนวนเต็ม (ภาคผนวก ฉ) ดังนี้

$$\begin{aligned}
 g(x) = & x^{17} + 119x^{16} + 66x^{15} + 83x^{14} + 120x^{13} + 119x^{12} + 22x^{11} + \\
 & 197x^{10} + 83x^9 + 249x^8 + 41x^7 + 143x^6 + 134x^5 + 85x^4 + 53x^3 + \\
 & 125x^2 + 99x + 79
 \end{aligned} \tag{2-7}$$

และเรามี Data Code Words ที่มีค่าในเลขฐานสิบ ดังนี้

$$32 \ 65 \ 205 \ 69 \ 41 \ 220 \ 46 \ 128 \ 236 \quad (2-8)$$

จากนั้นคำนวณหาสัมประสิทธิ์ของ  $f(x)$  โดย เริ่มพิจารณา  $g(x)$  ให้มีสัมประสิทธิ์เท่ากับ Data Code Words โดยกำหนดให้  $x$  มีกำลังมากที่สุดเท่ากับ 25 ดังนี้

$$\text{Coefficients calculation } f(x) = g(x) * (\alpha^5) * x^8 \quad (2-9)$$

$$f(x) = \alpha^5 x^{25} + \alpha^{191} x^{24} + \alpha^{12} x^{23} + \alpha^{221} x^{22} + \alpha^{147} x^{21} + \alpha^{187} x^{20} + \alpha^{130} x^{19} + \alpha^7 x^{18} + \alpha^{122} x^{17} \quad (2-10)$$

พบว่า  $f(x)$  มีสัมประสิทธิ์ (ภาคผนวก ฉ)

$$f(x)' = 32x^{25} + 65x^{24} + 205x^{23} + 69x^{22} + 41x^{21} + 220x^{20} + 46x^{19} + 128x^{18} + 236x^{17} + 0x^{16} + 0x^{15} + 0x^{14} + 0x^{13} + 0x^{12} + 0x^{11} + 0x^{10} + 0x^9 + 0x^8 + 0x^7 + 0x^6 + 0x^5 + 0x^4 + 0x^3 + 0x^2 + 0x^1 + 0x^0 \quad (2-11)$$

จากนั้นพิจารณาสมการ 2-6 และ 2-9 เปรียบเทียบสัมประสิทธิ์กัน ดังนี้

1.  $\alpha$  ตำแหน่งที่มีเลขยกกำลังของค่า  $x$  มากที่สุดทั้ง 2-6 และ 2-8 คือ 0 กับ 5 ทำการรวมกันได้ 5 ส่งผลให้ได้  $\alpha^5$  นำค่า  $\alpha^5$  เทียบสัมประสิทธิ์ (ภาคผนวก ฉ) พบว่าได้ 32 นำค่า 32 มา XOR กับค่า 32 ในสมการ 2-10 พบว่าได้ 0
2.  $\alpha$  ตำแหน่งที่มีเลขยกกำลังของค่า  $x$  รองลงมาในสมการ 2-6 และ 2-8 คือ 43 กับ 5 ทำการรวมกันได้ 48 ส่งผลให้ได้  $\alpha^{48}$  นำค่า  $\alpha^{48}$  เทียบสัมประสิทธิ์ (ภาคผนวก ฉ) พบว่าได้ 70 นำค่า 70 มา XOR กับค่า 65 ในสมการ 2-10 พบว่าได้ 7



3.  $\alpha$  ตำแหน่งที่มีเลขยกกำลังของค่า  $x$  รองลงมาในสมการ 2-6 และ 2-8 คือ 139 กับ 5 ทำการรวมกันได้ 144 ส่งผลให้ได้  $\alpha^{144}$  นำค่า  $\alpha^{144}$  เทียบสัมประสิทธิ์ (ภาคผนวก จ) พบว่าได้ 168 นำค่า 168 มา XOR กับค่า 205 ในสมการ 2-10 พบว่าได้ 101
4.  $\alpha$  ตำแหน่งที่มีเลขยกกำลังของค่า  $x$  รองลงมาในสมการ 2-6 และ 2-8 คือ 206 กับ 5 ทำการรวมกันได้ 211 ส่งผลให้ได้  $\alpha^{211}$  นำค่า  $\alpha^{211}$  เทียบสัมประสิทธิ์ (ภาคผนวก จ) พบว่าได้ 178 นำค่า 178 มา XOR กับค่า 69 ในสมการ 2-10 พบว่าได้ 247
5.  $\alpha$  ตำแหน่งที่มีเลขยกกำลังของค่า  $x$  รองลงมาในสมการ 2-6 และ 2-8 คือ 78 กับ 5 ทำการรวมกันได้ 83 ส่งผลให้ได้  $\alpha^{83}$  นำค่า  $\alpha^{83}$  เทียบสัมประสิทธิ์ (ภาคผนวก จ) พบว่าได้ 187 นำค่า 187 มา XOR กับค่า 41 ในสมการ 2-10 พบว่าได้ 146
6.  $\alpha$  ตำแหน่งที่มีเลขยกกำลังของค่า  $x$  รองลงมาในสมการ 2-6 และ 2-8 คือ 43 กับ 5 ทำการรวมกันได้ 48 ส่งผลให้ได้  $\alpha^{48}$  นำค่า  $\alpha^{48}$  เทียบสัมประสิทธิ์ (ภาคผนวก จ) พบว่าได้ 70 นำค่า 70 มา XOR กับค่า 220 ในสมการ 2-10 พบว่าได้ 154
7.  $\alpha$  ตำแหน่งที่มีเลขยกกำลังของค่า  $x$  รองลงมาในสมการ 2-6 และ 2-8 คือ 239 กับ 5 ทำการรวมกันได้ 244 ส่งผลให้ได้  $\alpha^{244}$  นำค่า  $\alpha^{244}$  เทียบสัมประสิทธิ์ (ภาคผนวก จ) พบว่าได้ 250 นำค่า 250 มา XOR กับค่า 46 ในสมการ 2-10 พบว่าได้ 212
8.  $\alpha$  ตำแหน่งที่มีเลขยกกำลังของค่า  $x$  รองลงมาในสมการ 2-6 และ 2-8 คือ 123 กับ 5 ทำการรวมกันได้ 128 ส่งผลให้ได้  $\alpha^{128}$  นำค่า  $\alpha^{128}$  เทียบสัมประสิทธิ์ (ภาคผนวก จ) พบว่าได้ 133 นำค่า 133 มา XOR กับค่า 128 ในสมการ 2-10 พบว่าได้ 5
9.  $\alpha$  ตำแหน่งที่มีเลขยกกำลังของค่า  $x$  รองลงมาในสมการ 2-6 และ 2-8 คือ 206 กับ 5 ทำการรวมกันได้ 211 ส่งผลให้ได้  $\alpha^{211}$  นำค่า  $\alpha^{211}$  เทียบสัมประสิทธิ์ (ภาคผนวก จ) พบว่าได้ 178 นำค่า 178 มา XOR กับค่า 236 ในสมการ 2-10 พบว่าได้ 94
10.  $\alpha$  ตำแหน่งที่มีเลขยกกำลังของค่า  $x$  รองลงมาในสมการ 2-6 และ 2-8 คือ 214 กับ 5 ทำการรวมกันได้ 219 ส่งผลให้ได้  $\alpha^{219}$  นำค่า  $\alpha^{219}$  เทียบสัมประสิทธิ์ (ภาคผนวก จ) พบว่าได้ 86 นำค่า 86 มา XOR กับค่า 0 ในสมการ 2-10 พบว่าได้ 86
11.  $\alpha$  ตำแหน่งที่มีเลขยกกำลังของค่า  $x$  รองลงมาในสมการ 2-6 และ 2-8 คือ 147 กับ 5 ทำการรวมกันได้ 152 ส่งผลให้ได้  $\alpha^{152}$  นำค่า  $\alpha^{152}$  เทียบสัมประสิทธิ์ (ภาคผนวก จ) พบว่าได้ 73 นำค่า 73 มา XOR กับค่า 0 ในสมการ 2-10 พบว่าได้ 73

12.  $\alpha$  ตำแหน่งที่มีเลขยกกำลังของค่า  $x$  รองลงมาในสมการ 2-6 และ 2-8 คือ 24 กับ 5 ทำการรวมกันได้ 29 ส่งผลให้ได้  $\alpha^{29}$  นำค่า  $\alpha^{29}$  เทียบสัมประสิทธิ์ (ภาคผนวก จ) พบว่าได้ 48 นำค่า 48 มา XOR กับค่า 0 ในสมการ 2-10 พบว่าได้ 48
13.  $\alpha$  ตำแหน่งที่มีเลขยกกำลังของค่า  $x$  รองลงมาในสมการ 2-6 และ 2-8 คือ 99 กับ 5 ทำการรวมกันได้ 104 ส่งผลให้ได้  $\alpha^{104}$  นำค่า  $\alpha^{104}$  เทียบสัมประสิทธิ์ (ภาคผนวก จ) พบว่าได้ 13 นำค่า 13 มา XOR กับค่า 0 ในสมการ 2-10 พบว่าได้ 13
14.  $\alpha$  ตำแหน่งที่มีเลขยกกำลังของค่า  $x$  รองลงมาในสมการ 2-6 และ 2-8 คือ 150 กับ 5 ทำการรวมกันได้ 155 ส่งผลให้ได้  $\alpha^{155}$  นำค่า  $\alpha^{155}$  เทียบสัมประสิทธิ์ (ภาคผนวก จ) พบว่าได้ 114 นำค่า 114 มา XOR กับค่า 0 ในสมการ 2-10 พบว่าได้ 114
15.  $\alpha$  ตำแหน่งที่มีเลขยกกำลังของค่า  $x$  รองลงมาในสมการ 2-6 และ 2-8 คือ 39 กับ 5 ทำการรวมกันได้ 44 ส่งผลให้ได้  $\alpha^{44}$  นำค่า  $\alpha^{44}$  เทียบสัมประสิทธิ์ (ภาคผนวก จ) พบว่าได้ 238 นำค่า 238 มา XOR กับค่า 0 ในสมการ 2-10 พบว่าได้ 238
16.  $\alpha$  ตำแหน่งที่มีเลขยกกำลังของค่า  $x$  รองลงมาในสมการ 2-6 และ 2-8 คือ 243 กับ 5 ทำการรวมกันได้ 248 ส่งผลให้ได้  $\alpha^{248}$  นำค่า  $\alpha^{248}$  เทียบสัมประสิทธิ์ (ภาคผนวก จ) พบว่าได้ 27 นำค่า 27 มา XOR กับค่า 0 ในสมการ 2-10 พบว่าได้ 27
17.  $\alpha$  ตำแหน่งที่มีเลขยกกำลังของค่า  $x$  รองลงมาในสมการ 2-6 และ 2-8 คือ 163 กับ 5 ทำการรวมกันได้ 168 ส่งผลให้ได้  $\alpha^{168}$  นำค่า  $\alpha^{168}$  เทียบสัมประสิทธิ์ (ภาคผนวก จ) พบว่าได้ 252 นำค่า 252 มา XOR กับค่า 0 ในสมการ 2-10 พบว่าได้ 252
18.  $\alpha$  ตำแหน่งที่มีเลขยกกำลังของค่า  $x$  รองลงมาในสมการ 2-6 และ 2-8 คือ 136 กับ 5 ทำการรวมกันได้ 141 ส่งผลให้ได้  $\alpha^{141}$  นำค่า  $\alpha^{141}$  เทียบสัมประสิทธิ์ (ภาคผนวก จ) พบว่าได้ 21 นำค่า 21 มา XOR กับค่า 0 ในสมการ 2-10 พบว่าได้ 21

พบว่าได้ Coefficients calculation  $f(x)$  ที่ผ่าน  $g(x) \cdot (\alpha^5) \cdot x^8$  คือ 7, 101, 247, 146, 154, 212, 5, 94, 86, 73, 48, 13, 114, 238, 27, 252 และ 21 ซึ่งนำไปสร้างเป็นสร้าง  $f(x) = g(x) \cdot (\alpha^{198}) \cdot x^7$  ได้ดังนี้  $7x^{24} + 101x^{23} + 247x^{22} + 146x^{21} + 154x^{20} + 212x^{19} + 5x^{18} + 94x^{17} + 86x^{16} + 73x^{15} + 48x^{14} + 13x^{13} + 114x^{12} + 238x^{11} + 27x^{10} + 252x^9 + 21x^8 + 0x^7 + 0x^6 + 0x^5 + 0x^4 + 0x^3 + 0x^2 + 0x^1 + 0x^0$  แล้วทำตามขั้นตอนที่ผ่านมานี้ทั้งหมด  $g(x) \cdot (\alpha^{92}) \cdot x^0$  ที่เลขยกกำลังของ  $x$  เป็น 0 เมื่อคำนวณเสร็จได้ค่า Error correcting code words in decimal notation เป็น 42. 159. 74. 221.

244. 169. 239. 150. 138. 70. 237. 85. 224. 96. 74. 219. 61. จำนวนของ Codewords จะเท่ากับจำนวนของความจุ Codewords ที่แสดงให้เห็นในภาพที่ 2-8 กับ 2-9 ซึ่งขั้นตอน

2.2.4 Finally codewords (Structure final message) คือ ต่อไปนี้เป็นการสร้างลำดับสุดท้ายของ Codeword [1] ซึ่งมีขั้นตอนดังต่อไปนี้

2.2.4.1 แบ่ง Data Codewords เป็น  $n$  Blocks ที่บอกไว้ (ภาคผนวก ง) ตามเวอร์ชันและ Error Correcting Level

2.2.4.2 ในแต่ละ Data Block คำนวณ Block ที่เกี่ยวข้องกับ Error Correction Codewords (ภาคผนวก ง)

2.2.4.3 รวบรวม Data และ Error Correction Codewords จากแต่ละ Block เช่น ถ้ามี 4 Blocks จะเป็นดังนี้ Data Block 1, Codeword 1; Data Block 2, Codeword 1; ... Data Block 4, Codeword 1; Data block 1, Codeword 2; ... เหมือนกันกับ Data Block 3, Codeword สุดท้าย; ... Data Block 4, Codeword สุดท้าย หลังจากนั้นจึงเป็น Error Correction Block 1, Codeword 1; Error Correction Block 2, Codeword 1; ... เหมือนกันกับ Error Correction Block 4, Codeword สุดท้าย ซึ่งแสดงให้เห็นดังตารางที่ 2-11 ซึ่งต่อไปจะยกตัวอย่าง QR Code เวอร์ชัน 5 ที่มี Error Correcting Level ระดับ H ที่ประกอบด้วย 4 Data Blocks และ 4 Error Correction Blocks แบ่งเป็น 2 Blocks แรกบรรจุ 11 Data Codewords และ 22 Error Correction Codewords อีก 2 Blocks ถัดมาบรรจุ 12 Data Codewords และ 22 Error Correction Codewords ซึ่งมาจากตารางที่ 2-9 โดยแต่ละ Block ของ Data Codewords เขียนด้วย  $D_n$  และ Error Correction Codewords เขียนด้วย  $E_n$  การจัดเรียงจะเป็นดังภาพที่ 2-7

|         | Data Codewords  |                 |       |                 | Error Correction Codewords |                 |                 |       |                 |
|---------|-----------------|-----------------|-------|-----------------|----------------------------|-----------------|-----------------|-------|-----------------|
| Block 1 | D <sub>1</sub>  | D <sub>2</sub>  | ..... | D <sub>11</sub> |                            | E <sub>1</sub>  | E <sub>2</sub>  | ..... | E <sub>22</sub> |
| Block 2 | D <sub>12</sub> | D <sub>13</sub> | ..... | D <sub>22</sub> |                            | E <sub>23</sub> | E <sub>24</sub> | ..... | E <sub>44</sub> |
| Block 4 | D <sub>23</sub> | D <sub>24</sub> | ..... | D <sub>33</sub> | D <sub>34</sub>            | E <sub>45</sub> | E <sub>46</sub> | ..... | E <sub>66</sub> |
| Block 5 | D <sub>35</sub> | D <sub>36</sub> | ..... | D <sub>45</sub> | D <sub>46</sub>            | E <sub>57</sub> | E <sub>68</sub> | ..... | E <sub>88</sub> |

ภาพที่ 2-6 รูปแบบการวาง Codewords จากตัวอย่าง

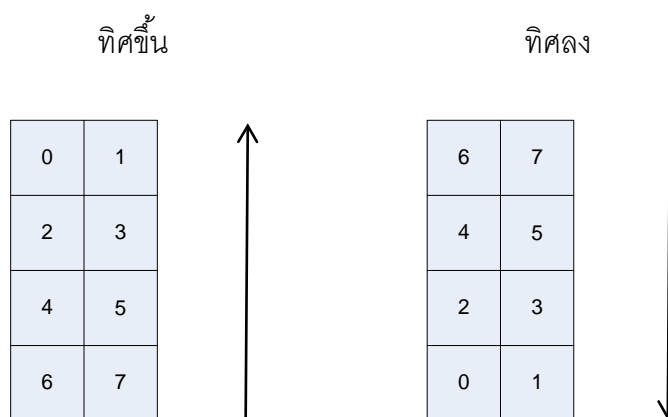
เพราะฉะนั้น Codewords สุดท้ายเรียงกันของเวอร์ชัน 5 ที่มี Error Correcting Level ระดับ H จะมีลักษณะดังนี้ D<sub>1</sub>, D<sub>12</sub>, D<sub>23</sub>, D<sub>35</sub>, D<sub>2</sub>, D<sub>13</sub>, D<sub>24</sub>, D<sub>36</sub>, ... D<sub>11</sub>, D<sub>22</sub>, D<sub>33</sub>, D<sub>45</sub>, D<sub>34</sub>, D<sub>46</sub>, E<sub>1</sub>, E<sub>23</sub>, E<sub>45</sub>, E<sub>67</sub>, E<sub>2</sub>, E<sub>24</sub>, E<sub>46</sub>, E<sub>68</sub>, ... E<sub>22</sub>, E<sub>44</sub>, E<sub>66</sub>, E<sub>88</sub>

2.2.5 การวาง Codewords (Module placement in matrix) คือ มี 2 ลักษณะด้วยกัน คือ แบบปกติจัดเรียงตามแนวตั้งและแบบไม่ปกติถูกใช้เมื่อมีการเปลี่ยนทิศทาง ดังที่แสดงในภาพที่ 2-7, 2-8 และ 2-9 โดยจำนวน Modules ในแนวตั้งและแนวนอนขึ้นอยู่กับเวอร์ชันที่ใช้ ซึ่งตำแหน่งการวางขึ้นอยู่กับ Finder Pattern, Separator, Timing Pattern และ Alignment Patterns โดยตำแหน่ง Module ของ Format Information และ Version Information จะถูกวางในตำแหน่งที่ว่างซึ่งตำแหน่งว่างนี้จะแสดงให้เห็นในภาพที่ 2-10 และ 2-11 ซึ่งเหมือนกันทุกเวอร์ชัน (ยกเว้นเวอร์ชัน 1 ถึง 6) โดยปกติจะเริ่มวางข้อมูลที่ถูกเข้ารหัสที่ตำแหน่งมุมล่างขวาและวางต่อทิศทางขึ้นและลงสลับกันจากขวาไปซ้าย การควบคุมการวางของบิตถูกแสดงให้เห็นในภาพที่ 2-10 และ 2-11 ซึ่งแสดงเวอร์ชัน 2 และ 7 โดยใช้หลักการดังนี้ [1]

2.2.5.1 ลำดับการวางของบิตในคอลัมน์จะวางจากขวาไปซ้ายและถ้าไม่วางในทิศทางขึ้น ก็จะเป็นทิศทางลงตามทิศทางการวาง

2.2.5.2 Significant Bit (แสดงเป็น 7 บิต) ของแต่ละ Codeword จะวางที่ตำแหน่ง Module แรกที่ว่าง จากนั้นก็วางในตำแหน่ง Module ถัดมา ใน Module ที่มี Significant Bit มากที่สุดจะถูกวางตำแหน่งขวาล่างในทิศทางการวางทิศทางขึ้น

และ Significant Bit มากที่สุดจะถูกวางตำแหน่งขวาบนในทิศทางการวางทิศทางลง มีความเป็นไปได้ที่ Significant Bit มากที่สุดจะวางที่ตำแหน่ง Module ซ้ายล่าง ถ้าก่อนหน้าสิ้นสุดด้วยคอล์มน์ Module ขวา ซึ่งสามารถดูได้ในภาพที่ 2-9

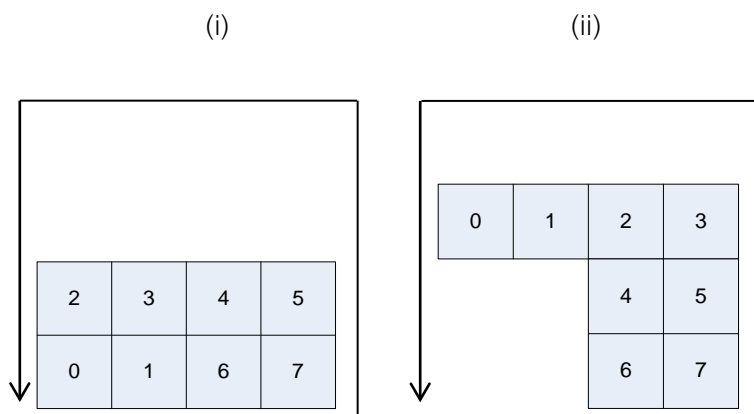


ภาพที่ 2-7 การวางบิตในรูปแบบปกติในทิศทางขึ้นและลง

2.2.5.3 เมื่อพบกับขอบเขตแนวนอนของ Alignment Pattern หรือ Timing Pattern การวางยังคงดำเนินการต่อโดยอาจวางอยู่เหนือหรือใต้ Pattern โดยให้ขอบเขตการเข้ารหัสต่อกัน

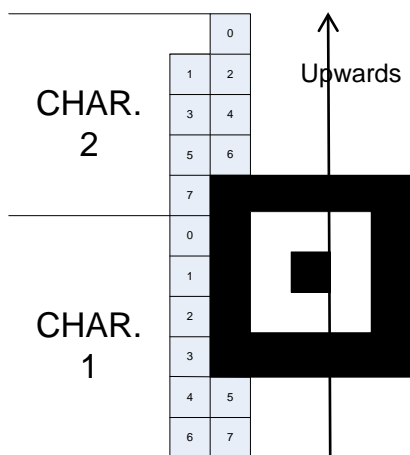
2.2.5.4 เมื่อสุดขอบบนหรือล่าง (เช่น ขอบของ QR Code หรือ Format Information หรือ Version Information หรือ Separator) บิตที่เหลือใน Codeword จะต้องวางในคอล์มน์ถัดไปทางซ้าย และทิศทางการวางจะตรงกันข้ามกับตอนก่อนสุดขอบบนหรือล่าง ดังภาพที่ 2-8

## ทิศขึ้นแล้วลง



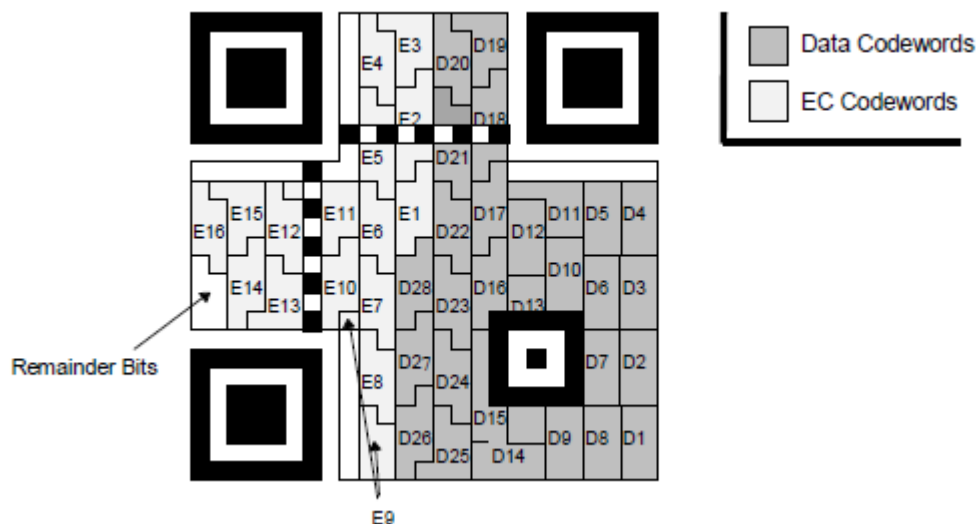
ภาพที่ 2-8 ทิศทางการวางบิต (i) เป็นแบบปกติและ (ii) แบบไม่ปกติมีการเปลี่ยนทิศการวาง

2.2.5.5 เมื่อคอลัมน์ Module ขวามือชนกับ Alignment Pattern หรือพื้นที่ที่ถูกครอบครองด้วย Version Information บิตจะวางในรูปแบบไม่ปกติโดยการขยายคอลัมน์ Module หนึ่งหลักที่ติดกับ Alignment Pattern หรือ Version Information ถ้าจบก่อนที่จะวางในสองคอลัมน์ถัดไป Significant Bit ที่สำคัญที่สุดของการวางครั้งถัดไปนั้นจะถูกวางในหนึ่งคอลัมน์ ดังภาพที่ 2-9



ภาพที่ 2-9 การวางพื้นที่ที่จะวางถูกครอบครองโดยข้อมูลอื่น

เมื่อความจุของ Data มีไม่ครบ 8 บิต จำนวนบิตที่เหลือที่เหมาะสม (3 หรือ 4 หรือ 7) ซึ่งบิตที่เหลือจะมีค่าเป็น 0 ทั้งหมด ซึ่งตำแหน่งของบิตที่เหลือจะวางที่ตำแหน่งดังภาพที่ 2-10



ภาพที่ 2-10 ตัวอย่างการจัดเตรียมการวางในเวอร์ชัน 2 ที่ Error Correcting Level ระดับ M

2.2.6 การวาง Data Masking (Data masking) คือ เป็นการช่วยปรับสมดุลของโมดูลดำและโมดูลขาว ซึ่งมีรายละเอียด [1] ดังต่อไปนี้

2.2.6.1 Data Masking ไม่ถูกนำไปคิดกับ Function Pattern

2.2.6.2 ใช้ XOR ระหว่าง Module Pattern ที่เราได้ก่อนหน้านี้กับ Data Masking ทุกแบบ ทำการสลับค่าตามผลที่ได้จาก XOR ส่งผลให้อาจมีการสลับโมดูลขาวเป็นดำหรือตรงข้ามซึ่งขึ้นอยู่กับโมดูลดำของ Data Masking Pattern

2.2.6.3 ประเมินทุกการเปลี่ยนแปลง Pattern ด้วยการให้คะแนน Penalty กับรูปแบบที่ไม่ต้องการในการเปลี่ยนแปลงผลลัพธ์แต่ละอัน

2.2.6.4 เลือก Pattern ที่ได้คะแนน Penalty น้อยสุด

ในตารางที่ 2-6 แสดงรูปแบบ Data Masking อ่างอิง (บิตอ่างอิงสำหรับใช้ใน Format Information) ที่ Data Mask Pattern ถูกสร้างด้วยการกำหนดเป็นโมดูลดำทุกโมดูลในพื้นที่ที่เข้ารหัส (แยกพื้นที่ที่กำหนดไว้สำหรับ Format Information และ Version Information) ที่มี

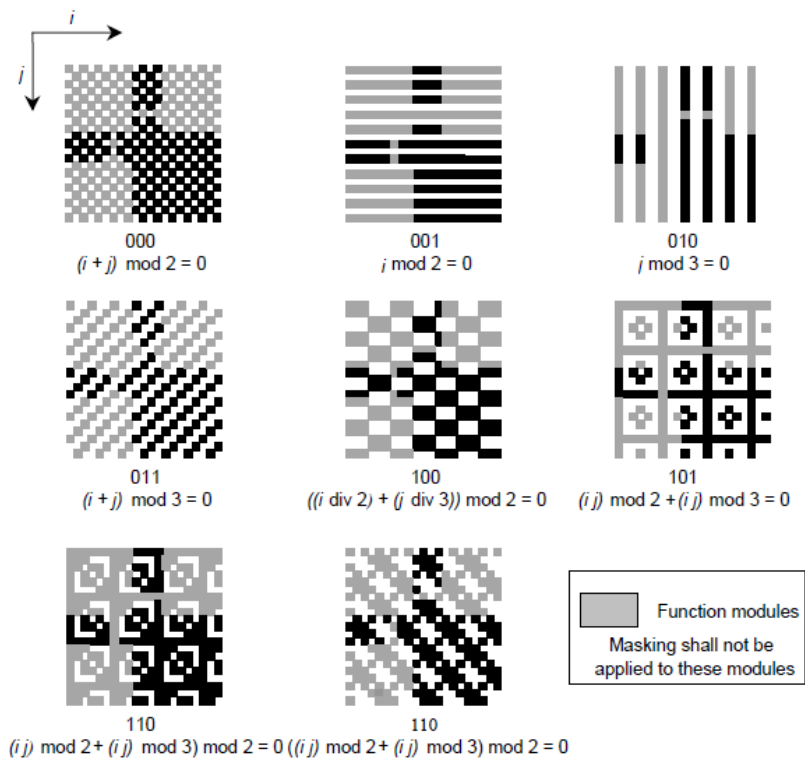
เงื่อนไขเป็นจริง ซึ่งเงื่อนไข  $i$  หมายถึง ตำแหน่งแถวของโมดูลที่ส่งสัยและ  $j$  หมายถึง ตำแหน่งคอลัมน์ของโมดูลที่ส่งสัย โดยที่  $(i, j) = (0, 0)$  คือ ตำแหน่งโมดูลซ้ายบนสุด

ตารางที่ 2-6 เงื่อนไขการเลือก Data mask pattern

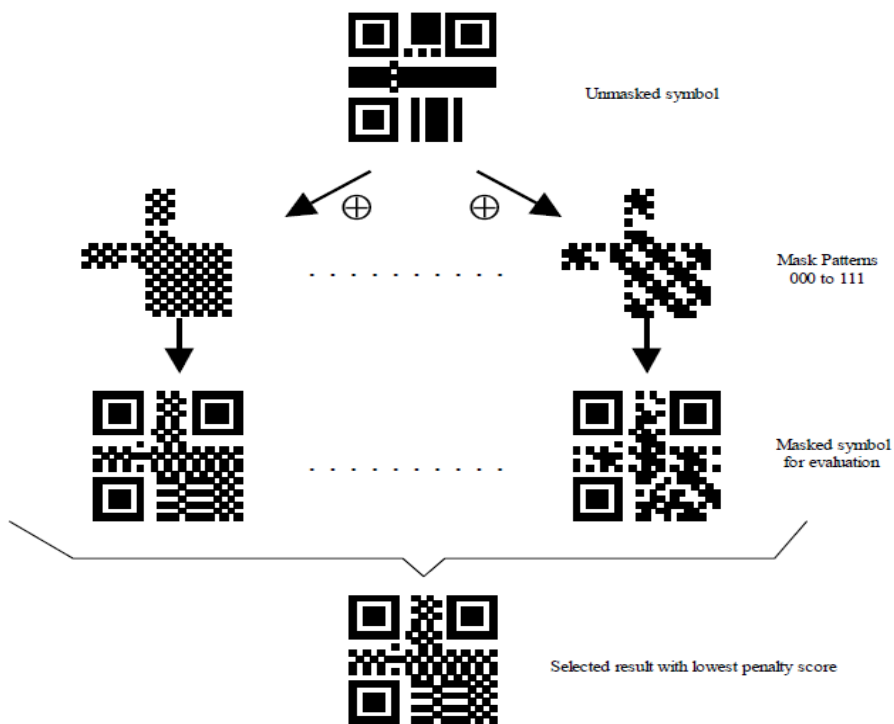
| Data mask pattern<br>reference for QR Code<br>symbols | Condition   |
|---|---|
| 000   | $(i + j) \bmod 2 = 0$                                   |
| 001   | $i \bmod 2 = 0$   |
| 010   | $j \bmod 3 = 0$   |
| 011   | $(i + j) \bmod 3 = 0$                                   |
| 100   | $((i \text{ div } 2) + (j \text{ div } 3)) \bmod 2 = 0$ |
| 101   | $(i+j) \bmod 2 + (i+j) \bmod 3 = 0$                     |
| 110   | $((i+j) \bmod 2 + (i+j) \bmod 3) \bmod 2 = 0$           |
| 111   | $((i+j) \bmod 2 + (i+j) \bmod 3) \bmod 2 = 0$           |

ตัวอย่างเช่น ใน Mask Pattern ที่ 000 : ที่ตำแหน่ง (20, 20) จะได้  $(20 + 20) \bmod 2 = 0$  แปลว่าให้สลับสีบิตจากเดิม, ที่ตำแหน่ง (19, 20) จะได้  $(19+ 20) \bmod 2 = 1$  แปลว่าบิตสีเดิม, ... ทำจนครบทุก Patternต่อไปเป็นการแสดง Data Mask Pattern ซึ่งแสดงอยู่ในเวอร์ชัน 1 ตัวเลข 3 บิตข้างล่างในแต่ละ Pattern แสดง Data Mask Pattern อ้างอิง ที่ตรงตามเงื่อนไขที่แสดงในตารางที่ 2-7





ภาพที่ 2-11 รูปแบบ Data Mask Pattern ทั้งหมด



ภาพที่ 2-12 การแสดงขั้นตอนเลือก Data Masking ใน QR Code

หลังจากทำ Data Masking กับแต่ละ Pattern ทุกอันคำนวณ Point ว่าได้เท่าไรสำหรับแต่ละ Pattern ซึ่งถ้า Pattern ใดยิ่งได้คะแนนมากจะไม่นำมาใช้ ในตารางที่ 2-8 ตัวแปร  $N_1$  ถึง  $N_4$  แสดงน้ำหนักของคะแนน Penalty เพื่อดูว่า ตัวไหนที่เราไม่ต้องการ ซึ่งกำหนดให้ค่า  $N_1 = 3$ ,  $N_2 = 3$ ,  $N_3 = 40$  และ  $N_4 = 10$  ที่มีค่า  $i$  เป็นค่าที่จำนวนของโมดูลที่ติดกันของสีเดียวกันเกินกว่า 5 และค่า  $k$  เป็นอัตราของความคลาดเคลื่อนของอัตราส่วนของโมดูลดำใน QR Code จาก 50% ใน 5% ถึงแม้ว่าการคำนวณส่วนนี้ไม่ได้รวม Format Information แต่พิจารณาแต่ขอบเขตการเข้ารหัส ข้อมูลเท่านั้นก็ยังถือว่าเป็นการคำนวณที่สมบูรณ์ [1]

ตารางที่ 2-7 คะแนนของผล Data Masking

| Feature   | Evaluation condition                                     | Points                              |
|---|--|-------------------------------------|
| Adjacent modules in row/column in same color  | No. of modules = $(5 + i)$                               | $N_1 + i$                           |
| Block of modules in same color  | Block size = $m \times n$                                | $N_2 \times (m - 1) \times (n - 1)$ |
| 1 : 1 : 3 : 1 : 1 ratio (dark:light:dark:light:dark) pattern in row/column, preceded or followed by light area 4 modules wide | Existence of the pattern                                 | $N_3$                               |
| Proportion of dark modules in entire symbol   | $50 \pm (5 \times k)\%$ to $50 \pm (5 \times (k + 1))\%$ | $N_4 \times k$                      |

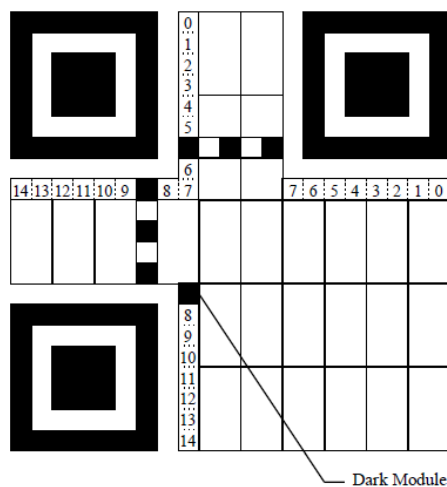
2.2.7 Format and version information คือ ในส่วนนี้จะเกี่ยวข้องกับ Error Correcting และเป็นข้อมูลในการคำนวณ Error Correcting ซึ่งมีรายละเอียด [1] ดังต่อไปนี้

2.2.7.1 Format Information คือ ในส่วนของ Format Information มีความยาว 15 บิตที่บรรจุข้อมูล 5 บิต และ Error Correction 10 บิต ซึ่งคำนวณโดยใช้การเข้ารหัส BCH (15, 5) [1] โดยในส่วนของข้อมูล 5 บิตมี 2 บิตแรกที่บอก Error Correction Level ดังตารางที่ 2-9

ตารางที่ 2-8 Indicators ของ Error Correction Level ใน QR Code

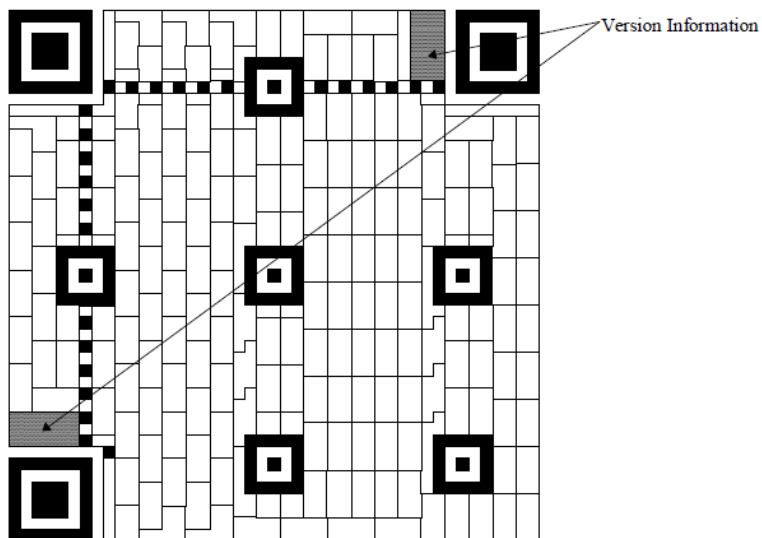
| Error Correction Level | Binary Indicator |
|------------------------|------------------|
| L                      | 01               |
| M                      | 00               |
| Q                      | 11               |
| H                      | 10               |

มีบิตที่ 3 ถึง 5 ของข้อมูล 5 บิต บรรจุ Data Mask Pattern ที่กล่าวไปแล้วในตารางที่ 2-11 ที่ถูกเลือก ส่วน 10 บิตที่เป็น Error Correction นั้นการคำนวณจะกล่าวไว้ใน ซึ่งจะถูกรวมเข้ากับข้อมูล 5 บิต โดยทั้ง 15 บิตจะ XOR กับ Mask Pattern ที่มีค่า 101010000010010 เพื่อตรวจสอบว่าไม่มีการผสมกันของ Error Correction Level กับ Data Mask Pattern ซึ่งจะให้ผลลัพธ์เป็น String ที่มีค่าเป็น 0 ทั้งหมด การวาง Format Information ดังภาพที่ 2-13 ซึ่งจะเห็นว่ามี Format Information ปรากฏ 2 ตำแหน่งเพื่อป้องกันการถอดรหัสผิดพลาด บิตที่ความสำคัญน้อยที่สุดจะอยู่ที่โมดูล 14 และ บิตที่ความสำคัญมากที่สุดจะอยู่ที่โมดูล 0 ดังภาพที่ 2-13 โมดูลในตำแหน่ง  $(4V + 9, 8)$  ที่ V เป็นเวอร์ชันมักเป็นสีดำและไม่ได้เป็นผลมาจาก Format Information



ภาพที่ 2-13 ตำแหน่งของ Format Information

2.2.7.2 Version Information คือ ในส่วนของ Version Information จะปรากฏที่เวอร์ชัน 7 ขึ้นไป ใน Version Information จะประกอบด้วย 18 บิตที่มีข้อมูล 6 บิตและมี Error Correction 12 บิต ซึ่งคำนวณโดยใช้การเข้ารหัส Golay (18, 6) [1] ซึ่งรายละเอียดการคำนวณ Error Correction ในส่วนของ Version Information ซึ่งในส่วนของข้อมูล 6 บิตจะบรรจุเวอร์ชันของ QR Code โดยที่บิตที่มีความสำคัญมากที่สุดอยู่ในตำแหน่งแรก ในส่วนของ 12 บิตที่เป็น Error Correction จะถูกคำนวณโดยรายละเอียดอยู่ใน จะถูกรวมเข้ากับข้อมูลที่มี 6 บิต หลักจากนั้น Version Information จะถูกจับคู่กับพื้นที่ที่ไว้สำหรับใส่ Version Information ดังภาพที่ 2-14 สังเกตว่า Version Information จะปรากฏ 2 ตำแหน่งเพื่อป้องกันการถอดรหัสผิดพลาด โดยบิตที่มีความสำคัญน้อยสุดจะวางไว้ที่ตำแหน่งเลข 0 และ บิตที่มีความสำคัญมากที่สุดจะวางไว้ที่ตำแหน่งเลข 17 ดังภาพที่ 2-14 ซึ่งมีตัวอย่างแสดงการเข้ารหัส Version Information เช่น เวอร์ชันที่ 7 เมื่อแปลงเป็นเลขไบนารีได้ 000111 แล้วเข้ารหัสแบบ BCH ได้ 110010010100 ทำให้ได้ Format Information Module Pattern เป็น 000111110010010100 พื้นที่ของ Version Information มีขนาด 6 x 3 Module Blocks ซึ่งอยู่เหนือ Timing Pattern ใกล้เคียง Finder Pattern ฝั่งขวาบนและ Finder Pattern ฝั่งซ้ายล่าง ซึ่งทั้งสองถูกกันด้วย Separator ดังภาพที่ 2-14



ภาพที่ 2-14 ตำแหน่ง Version Information

|   |   |   |    |    |    |
|---|---|---|----|----|----|
| 0 | 3 | 6 | 9  | 12 | 15 |
| 1 | 4 | 7 | 10 | 13 | 16 |
| 2 | 5 | 8 | 11 | 14 | 17 |

ภาพที่ 2-15 การเก็บค่าไบนารีของ Version Information ฝั่งซ้ายล่าง

|    |    |    |
|----|----|----|
| 0  | 1  | 2  |
| 3  | 4  | 5  |
| 6  | 7  | 8  |
| 9  | 10 | 11 |
| 12 | 13 | 14 |
| 15 | 16 | 17 |

ภาพที่ 2-16 การเก็บค่าไบนารีของ Version Information ฝั่งขวาบน

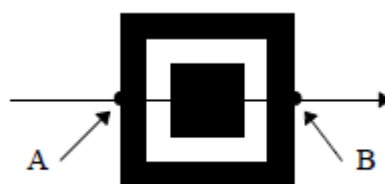
## 2.3 ขั้นตอนการถอดรหัส (Decode Procedure Overview)

ขั้นตอนการถอดรหัสจากการอ่าน QR Code ให้กลายเป็นข้อมูล Characters ออกมานั้นมีขั้นตอนตรงกันข้ามกับขั้นตอนการเข้ารหัส [1] ซึ่งภาพที่ 2-17 แสดงเค้าโครงของกระบวนการทั้งหมดซึ่งกระบวนการมีดังต่อไปนี้

- 2.3.1 Recognize Black/White Modules คือ นำภาพ QR Code ที่ได้มาตรวจจับโมดูลสีดำกับโมดูลสีขาวเป็นบิต “0” และ “1” แล้วทำการระบุ Reflectance Polarity จากสีโมดูล Finder Pattern
- 2.3.2 Decode Format Information คือ อ่าน Format Information ปลด Masking pattern และแสดง Error Correction บนโมดูล Format Information ถ้าสำเร็จจะอยู่ในตำแหน่งปกติ แต่ในกรณีอื่นๆ จะเกิดการถอดรหัสของ Format Information เป็นแบบ Mirror Image (สลับโมดูลขาวเป็นดำ หรือ โมดูลดำเป็นขาว) จากนั้นระบุ Error Correction Level และ Data Mask Pattern
- 2.3.3 Determine Version คือ อ่าน Version Information (กรณี QR Code เวอร์ชัน 7 ขึ้นไป) หลังจากนั้นให้พิจารณาเวอร์ชันของ QR Code
- 2.3.4 Release Masking คือ ปลด Data Masking ด้วยวิธี XOR บริเวณที่เข้ารหัสด้วย Data Mask Pattern จะถูกสกัดออกมาจาก Format Information
- 2.3.5 Restore Data and RS Codewords คือ อ่าน Characters ตามกฎการวางเพื่อแก้ไข Data และ Error Correction Codewords
- 2.3.6 Error Detection using Error Correction Codewords คือ ตรวจสอบความผิดพลาดโดยใช้ Error Correction Codewords ที่สอดคล้องกับ Level Information ถ้าตรวจพบข้อผิดพลาดให้แก้ไข
- 2.3.7 Error Correction คือ แบ่ง Data Codewords เป็นส่วนๆ ที่สอดคล้องกับ Mode Indicators และ Character Count Indicators
- 2.3.8 Decode Data Codewords คือ ถอดรหัส Data Characters ตาม Modes ที่ใช้ จะได้ผลลัพธ์ออกมา
- 2.3.9 ส่วนต่อไปจะเป็นอัลกอริทึมของการถอดรหัสซึ่งจะทำการหาภาพ QR Code และทำการถอดรหัส ซึ่งจะมีขั้นตอนดังต่อไปนี้
  - 2.3.9.1 แปลงรูปภาพเป็นกลุ่มของพิกเซลดำและขาวโดยใช้การตัด Threshold

2.3.9.2 หาตำแหน่งของ Finder Pattern ซึ่งมีทั้งหมด 3 ตำแหน่งซึ่งอยู่ตามมุม 3 ใน 4 ของ QR Code ซึ่ง Finder Pattern มีขนาดอัตราส่วนเป็น 1 : 1 : 3 : 1 : 1 ซึ่งความคลาดเคลื่อนยินยอมเป็น 0,5 เช่น ช่วงของ 0,5 ถึง 1,5 สำหรับ Single Module Box และ 2,5 ถึง 3,5 สำหรับ Three Module Box โดยที่

2.3.9.2.1 เมื่อพื้นที่ที่อยู่ในความสนใจ (Finder Pattern) มีการตรวจพบตำแหน่งของตำแหน่งแระและตำแหน่งสุดท้าย A และ B ตามลำดับ ดังรูปที่ 2.19 ที่เส้นของพิกเซลในรูปพบขอบด้านนอกของ Finder Pattern ทำซ้ำกับเส้นพิกเซลที่อยู่ติดกันจนเส้นทั้งหมดจนผ่านกึ่งกลางของ Finder Pattern ในแนวแกน x



ภาพที่ 2-17 แสกนเส้นใน Finder Pattern

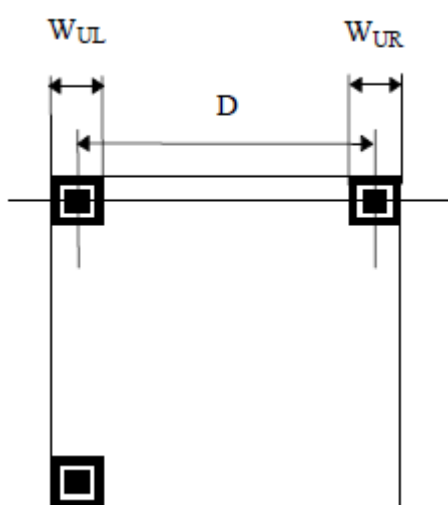
2.3.9.2.2 ทำขั้นตอนที่ 2.3.9.2.1 ซ้ำจนครอบคลุมพิกเซลในแนวแกน y ผ่านกึ่งกลางของ Finder Pattern

2.3.9.2.3 หาตำแหน่งกลางของ Pattern โดยสร้างเส้นผ่านกึ่งกลางระหว่างตำแหน่ง A และ B บนเส้นพิกเซลด้านนอกสุดซึ่งข้ามกึ่งกลางของ Finder Pattern ในแนวแกน x และ สร้างเส้นผ่านกึ่งกลางระหว่างตำแหน่ง A และ B บนเส้นพิกเซลด้านนอกสุดซึ่งข้ามกึ่งกลางของ Finder Pattern ในแนวแกน y จะหาตำแหน่งกึ่งกลางของ Pattern จากการตัดกันของทั้งสองเส้น

2.3.9.2.4 ทำขั้นตอนที่ 2.3.9.2.1 – 2.3.9.2.3 ซ้ำเพื่อหาตำแหน่งของ Finder Pattern อีก 2 ตำแหน่ง

2.3.9.2.5 เมื่อไม่มีพื้นที่ที่สนใจอีก (หา Finder Pattern ครบ) ให้แปลงสีของพิกเซลขาวและดำแล้วเริ่มทำใหม่ที่ขั้นตอนที่ 2.3.9.2 เพื่อถอดรหัส

- 2.3.9.3 พิจารณาแนวการหมุนของ QR Code ด้วยการวิเคราะห์คู่อันดับกึ่งกลางของ Finder Pattern เพื่อระบุ Pattern ใดอยู่ Pattern ตำแหน่งซ้ายบนและมุมของการหมุนของ QR Code
- 2.3.9.4 พิจารณาขั้นตอนที่ 2.3.9.1 ความกว้างของ D ซึ่งวัดจากกึ่งกลางของ Finder Pattern ซ้ายบนและขวาบนและพิจารณาขั้นตอนที่ 2 ความกว้างของ Finder Pattern ซ้ายบนและขวาบน ซึ่งเขียนด้วย  $W_{UL}$  และ  $W_{UR}$  ดังภาพที่ 2-18



ภาพที่ 2-18 ความกว้างของ Finder Pattern ซ้ายบนและขวาบน

- 2.3.9.5 คำนวณ Nominal X Dimension ของ QR Code ดังสมการต่อไปนี้

$$X = \frac{(W_{UL} + W_{UR})}{14} \quad (2-11)$$

- 2.3.9.6 เงื่อนไขในการคำนวณเวอร์ชันแทนด้วย V ของ QR Code ดังสมการต่อไปนี้

$$V = \frac{\left[\left(\frac{D}{X}\right) - 10\right]}{4} \quad (2-12)$$

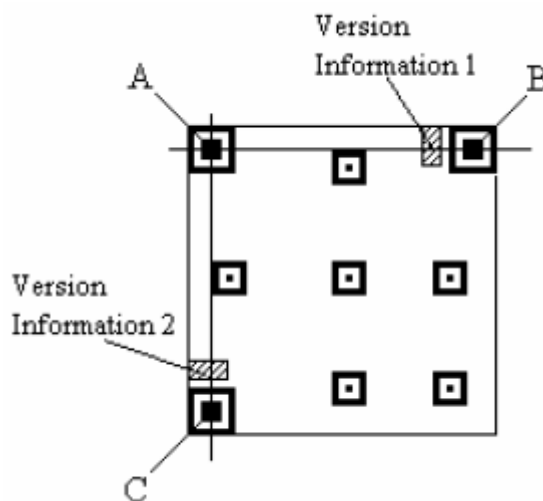
- 2.3.9.7 ถ้าเงื่อนไขสรุปออกมาเป็นเลข 6 หรือน้อยกว่าให้หมายถึงเวอร์ชันเลข แต่ถ้าเงื่อนไขสรุปออกมาเป็นเวอร์ชัน 7 ให้ถอดรหัส Version Information ดังขั้นตอนต่อไปนี้



- 2.3.9.7.1 แบ่งความกว้างของ  $W_{UR}$  ของ Finder Pattern บนขวาดด้วยการหาร 7 เพื่อคำนวณหาขนาดของ  $CP_{UR}$  ดังสมการต่อไปนี้

$$CP_{UR} = \frac{W_{UR}}{7} \quad (2-13)$$

- 2.3.9.7.2 หาเส้น Guide Line AC และ AB จากจุด A, B และ C ซึ่งแต่ละจุดผ่านกึ่งกลางของ Finder Pattern ทั้ง 3 อัน ดังภาพที่ 2-20 Sampling Grid ของแต่ละกึ่งกลาง Module ในพื้นที่ Version Information 1 ถูกคำนวณโดยขึ้นกับเส้นที่ขนานกับ Guide Line ซึ่งคู่อันดับกึ่งกลางของ Finder Pattern ที่มีขนาดของโมดูล  $CP_{UR}$  ค่าไบนารี “0” และ “1” ถูกพิจารณาจาก Light Pattern หรือ Dark Pattern บน Sampling Grid



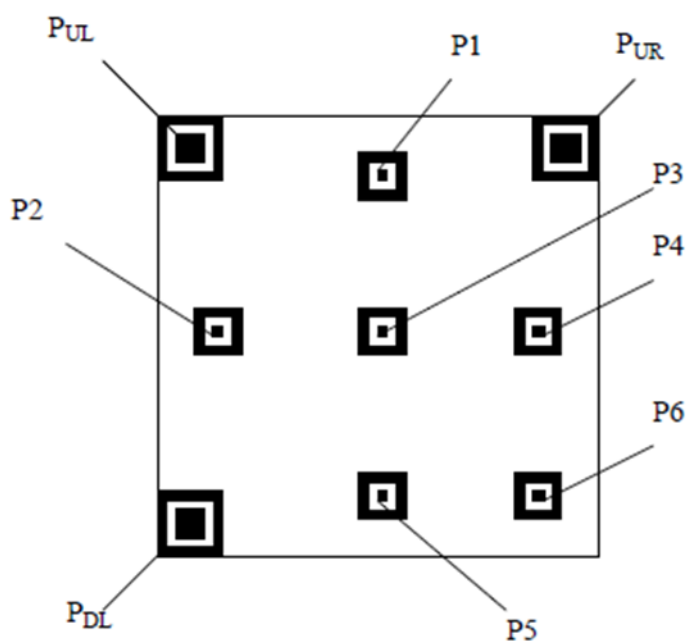
ภาพที่ 2-19 ตำแหน่ง AC และ AB จากจุด A, B และ C

- 2.3.9.7.3 พิจารณาเวอร์ชันด้วยการตรวจจับ Error Correction ซึ่งขึ้นกับตารางใน
- 2.3.9.7.4 จากภาพที่ 2-20 ถ้าพบ Error เกินกว่า Error Correction ที่ถูกตรวจพบ ให้คำนวณความกว้างของ  $W_{DL}$  ของ Finder Pattern ซ้ำยล่่าง

และทำตามขั้นตอน 2.3.9.7.1 – 2.3.9.7.3 ข้างบนเพื่อถอดรหัส

#### Version Information 2

2.3.9.8 สำหรับเวอร์ชัน 1 ให้กำหนดค่าใหม่โดยให้ X เป็นการประมาณช่องว่างของจุดกึ่งกลางของโมดูลดำและโมดูลขาวใน Timing Pattern โดยทำนองเดียวกันคำนวณให้ Y เป็นการประมาณช่องว่างของจุดกึ่งกลางของโมดูลดำและโมดูลขาวใน Timing Pattern ฝั่งซ้าย สร้าง Sampling Grid ขึ้นกับขั้นตอนที่ 1 ที่เส้นแนวแกนนอนลากผ่าน Timing Pattern ด้านบนด้วยเส้นที่ขนานกันที่ตำแหน่งช่องว่างแนวตั้งของ Y ซึ่งประกอบด้วย 6 เส้นเหนือ Timing Pattern และทุกเส้นใต้ Timing Pattern เป็นเวอร์ชันของ QR Code และขั้นตอนที่ 2 เส้นแนวตั้งลากผ่าน Timing Pattern ฝั่งซ้ายด้วยเส้นที่ขนานกันที่ตำแหน่งช่องว่างแนวนอนของ X ซึ่งประกอบด้วย 6 เส้นของเส้นอ้างอิงแนวตั้งและทุกเส้นทางขวาของ Timing Pattern ถูกกำหนดให้เป็นเวอร์ชันของ QR Code สำหรับเวอร์ชัน 2 หรือมากกว่าให้พิจารณาคู่อันดับกึ่งกลางของแต่ละ Alignment Pattern จากคู่อันดับที่กำหนดใน Annex E และสร้าง Sampling Grid ด้วยแนวช่องว่างที่มีระยะห่างเท่ากันระหว่างจุด ดังภาพที่ 2-21 ซึ่งมีขั้นตอนดังกระบวนการต่อไปนี้

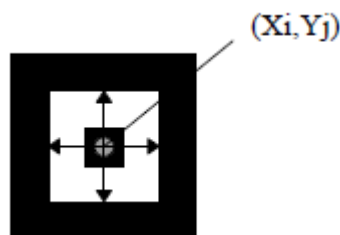


ภาพที่ 2-20 ตำแหน่ง Finder Patterns และ Alignment Pattern

- 2.3.9.8.1 แบ่งความกว้าง Pattern ด้วย  $W_{UL}$  ของ Finder Pattern ซ้ายบน  $P_{UL}$  ด้วยการหารด้วย 7 เพื่อคำนวณหาขนาดของโมดูล  $CP_{UL}$  ดังนี้

$$CP_{UL} = \frac{W_{UL}}{7} \quad (2-14)$$

- 2.3.9.8.2 พิจารณาคู่อันดับของ Alignment Patterns P1 และ P2 (ตามภาพที่ 2-20) ซึ่งขึ้นกับคู่อันดับกึ่งกลาง A ของ Finder Pattern ฝั่งซ้ายบน  $P_{UL}$  เส้นขนานกับ Guide Lines เส้น AB และ AC รวมถึงขนาดโมดูลของ  $CP_{UL}$
- 2.3.9.8.3 แสกนขอบนอกของสี่เหลี่ยมสีขาวใน Alignment Pattern P1 และ P2 เริ่มจากพิกเซลของคู่อันดับกึ่งกลางเพื่อหาคู่อันดับกึ่งกลาง  $X_i$  และ  $Y_j$  ดังภาพที่ 2-22



ภาพที่ 2-21 คู่อันดับกึ่งกลางของ Alignment Pattern

- 2.3.9.8.4 ประมาณคู่อันดับกึ่งกลางของ Alignment Pattern P3 โดยขึ้นกับคู่อันดับกึ่งกลางของ Finder Pattern ซ้ายบน  $P_{UL}$  และคู่อันดับกึ่งกลางของ Alignment Pattern P1 และ P2 ที่ได้จากขั้นตอนที่ 2.3.9.8.3
- 2.3.9.8.5 หาคู่อันดับกึ่งกลางของ Alignment Pattern P3 ตามขั้นตอนที่ 2.3.9.8.3
- 2.3.9.8.6 หา  $L_x$  ซึ่งวัดระยะทางจากกึ่งกลางถึงกึ่งกลางของ Alignment Pattern P2 และ P3 ซึ่ง  $L_y$  ซึ่งวัดระยะทางจากกึ่งกลางถึงกึ่งกลางของ Alignment Pattern P1 และ P3 ทำการแบ่ง  $L_x$  และ  $L_y$  ด้วยการกำหนดพื้นที่ว่างของ Alignment Pattern เพื่อหา  $CP_x$  ส่วนล่าง

และ  $CP_Y$  ในส่วนขวาในพื้นที่บนซ้ายของ QR Code (ดังภาพที่ 2-21) ได้ดังนี้

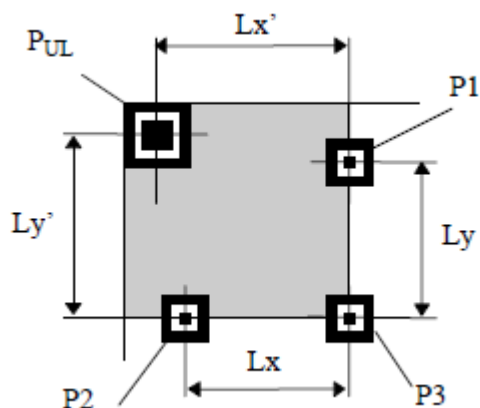
$$CP_X = \frac{L_X}{AP} \quad (2-15)$$

$$CP_Y = \frac{L_Y}{AP} \quad (2-16)$$

โดยที่ AP เป็นพื้นที่ว่างของกึ่งกลาง Alignment Pattern (ดูใน Table E.1) ในทางเดียวกันหา  $L_X'$  ซึ่งเป็นระยะทางแนวนอนระหว่างกึ่งกลางคู่อันดับของ Finder Pattern บนซ้าย PUL และคู่อันดับกึ่งกลางของ Alignment Pattern P1 และ  $L_Y'$  ซึ่งเป็นระยะทางแนวตั้งระหว่างกึ่งกลางคู่อันดับของ Finder Pattern บนซ้าย PUL และคู่อันดับกึ่งกลางของ Alignment Pattern P2 แบ่ง  $L_X'$  และ  $L_Y'$  ด้วยสูตรข้างล่างเพื่อหา  $CP_X'$  ในฝั่งซ้ายบนและ  $CP_Y'$  ในฝั่งซ้ายบนในพื้นที่ซ้ายบนของ QR Code ดังสมการต่อไปนี้

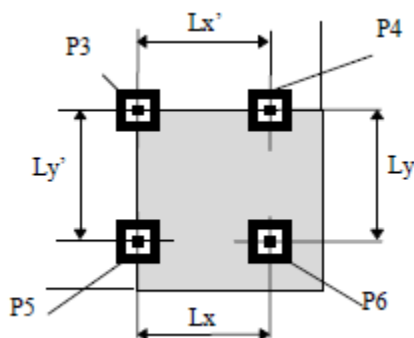
$$CP_X' = L_X' / (\text{Column Coordinate ของคู่อันดับกึ่งกลางของ Alignment Pattern P1 - Column Coordinate กึ่งกลางของ Finder Pattern } P_{UL} \text{ ฝั่งซ้ายบน}) \quad (2-17)$$

$$CP_Y' = L_Y' / (\text{Row Coordinate ของคู่อันดับกึ่งกลางของ Alignment Pattern P2 - Row Coordinate กึ่งกลางของ Finder Pattern } P_{UL} \text{ ฝั่งซ้ายบน}) \quad (2-18)$$



ภาพที่ 2-22 พื้นที่ฝังซ้ำบนของ QR Code

- 2.3.9.8.7 พิจารณา Sampling Grid ที่ปกคลุมพื้นที่ฝังซ้ำบนของ QR Code ซึ่งขึ้นกับ  $CP_x$  ,  $CP_x'$  ,  $CP_y$  และ  $CP_y'$  ซึ่งแสดงแต่ละด้านของพื้นที่ฝังซ้ำบนของ QR Code
- 2.3.9.8.8 ในทางเดียวกันพิจารณา Sampling Grid สำหรับพื้นที่ฝังขวาบน (ปกคลุมด้วย Finder Pattern ฝังขวาบน  $P_{UR}$  , Alignment Pattern P1, Alignment Pattern P3 และ Alignment Pattern P4) และพื้นที่ฝังซ้ายล่าง (ปกคลุมด้วย Finder Pattern ฝังขวาบน  $P_{UR}$  , Alignment Pattern P2, Alignment Pattern P3 และ Alignment Pattern P5) ของ QR Code
- 2.3.9.8.9 สำหรับ Alignment Pattern P6 (ในภาพที่ 2-22) ประมาณคู่อันดับกึ่งกลางจากระดับของ  $CP_x'$  และ  $CP_y'$  ซึ่งค่าแต่ละตัวมาจากพื้นที่ว่างของ Alignment Pattern P3, P4 และ P5 ที่มี Guide Lines ลากผ่านกึ่งกลางของ Alignment Pattern P3, P4 และ P3, P5 ตามลำดับซึ่งเป็นคู่อันดับกึ่งกลางของ Pattern



ภาพที่ 2-23 แสดงพื้นที่ล่างขวาของ QR Code

- 2.3.9.8.10 ทำขั้นตอนที่ 2.3.9.8.5 ถึง 2.3.9.8.8 ซ้ำเพื่อพิจารณา Sampling Grid สำหรับพื้นที่ล่างขวาของ QR Code
- 2.3.9.8.11 ด้วยหลักการเดียวกันจะต้องนำมาใช้เพื่อตรวจสอบ Sampling Grids สำหรับพื้นที่ใดๆ ของ QR Code ที่ยังไม่ถูก Cover
- 2.3.9.9 สุ่มพื้นที่ตัวอย่างขนาด 3 X 3 พิกเซลที่กึ่งกลางบนแต่ละส่วนที่ซ้อนทับกันของ Grid Lines และพิจารณาว่าเป็นโมดูลดำหรือโมดูลขาวโดยขึ้นกับการตัด Threshold สร้างเมตริกซ์จับคู่กับโมดูลดำให้เป็นไบนารีค่า "1" และโมดูลสีขาวให้เป็นไบนารีค่า "0"
- 2.3.9.10 ถอดรหัส Format Information ติดกันกับ Finder Pattern ซ้ายบนซึ่งรายละเอียดอยู่ใน เพื่อให้ Error Correction Level และ Data Mask Pattern ถูกใช้กับ QR Code ถ้ามี Error Correction เมื่อ Format Information ถูกพบ หลังจากนั้นให้ทำกระบวนการเดิมเพื่อถอดรหัส Format Information ที่ติดกันกับ Finder Pattern บนขวาและ Finder Pattern ล่างซ้าย
- 2.3.9.11 ถ้า Format Information หาไม่ได้ให้คิดว่าลำดับของ Format Information ถูกอ่านในทิศสวนทางและดำเนินการถอดรหัสต่อเป็น Mirror Image ที่แถวและคอลัมน์ของคู่อันดับทราวนสโพล
- 2.3.9.12 ทำ XOR กับ Data Mask Pattern ในพื้นที่เข้ารหัสของ QR Code เพื่อปลด Data Masking และแก้ไข Characters และ Error Correction Codewords ซึ่งทำให้ผลลัพธ์ของกระบวนการ Data Masking ซึ่งถูกใช้ระหว่างขั้นตอนเข้ารหัส

2.3.9.13 พิจารณา Codewords ตามกฎการวาง QR Code ตามหัวข้อ 2.2.2.7 ซึ่งมีหลักการโดยรวม ดังต่อไปนี้

2.3.9.13.1 จัดลำดับ Codeword ใหม่เป็น Blocks ตามข้อกำหนดของเวอร์ชันและ Error Correction Level

2.3.9.13.2 ไล่ตรวจข้อผิดพลาดและแก้ไขให้ถูกในการถอดรหัสตามขั้นตอนใน Annex B เพื่อแก้ไขข้อผิดพลาดให้ถูกต้องและ Erasures เพิ่มขึ้นเพื่อเพิ่มขนาดของการแก้ไขข้อผิดพลาดสำหรับเวอร์ชันและ Error Correction Level

2.3.9.13.3 กู้คืนข้อความต้นฉบับที่เป็นกระแสบิตข้อมูลด้วยการประกอบเป็น Data Block ตามลำดับ

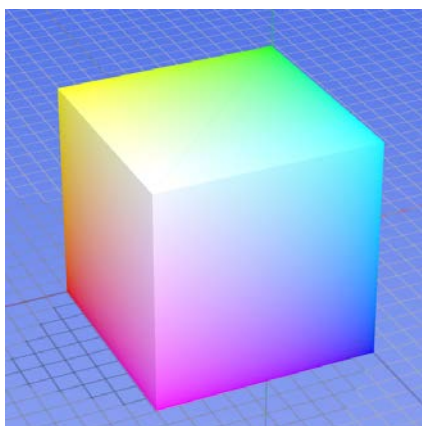
2.3.9.13.4 แบ่งกระแสบิตออกอย่างละเอียดเป็น Segment ที่เริ่มต้นด้วย Mode Indicator และความยาวที่ถูกพิจารณาด้วย Character Count Indicator ตาม Mode Indicator

2.3.9.13.5 ถอดรหัสตามกฎของ Mode ที่ใช้

## 2.4 พื้นฐานเบื้องต้นเกี่ยวกับภาพ (Principle of image)

ในการแสดงลักษณะสีของแต่ละรูปภาพที่ใช้กันอยู่ในคอมพิวเตอร์นั้นใช้การเลือกแบบจำลองสี (Color Model) โดยแต่ละแบบจำลองสีมีคุณสมบัติที่แตกต่างกันออกไป ส่งผลให้นำไปใช้งานที่แตกต่างกัน ซึ่งยังขึ้นกับเทคโนโลยีที่ใช้ของแต่ละประเทศ แบบจำลองสีจะใช้สีหลักที่เราเรียกว่าแม่สีมาผสมกันในการแสดงค่าสีอื่นๆ [16], [17] โดยแม่สีหลักแตกต่างกันตามแต่ละชนิด ดังต่อไปนี้

2.4.1 แบบจำลองสี RGB คือ มีสีหลัก 3 สี ได้แก่ แดง (Red) เขียว (Green) และน้ำเงิน (Blue) ซึ่งใช้แสดงสีทั้งหมด ตามโครงสร้างของสีหลัก ดังรูปต่อไปนี้

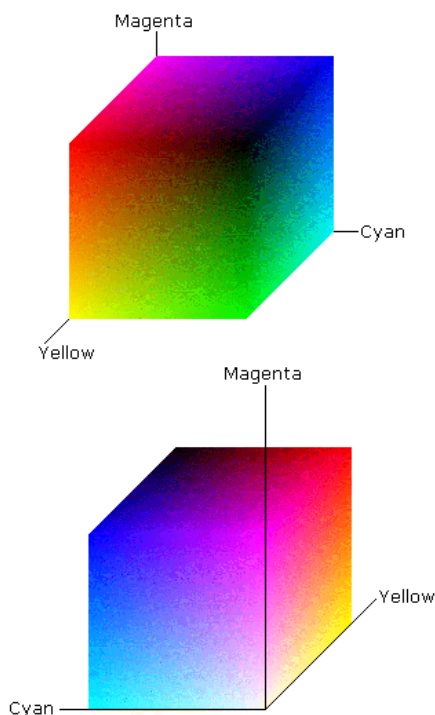


ภาพที่ 2-24 โครงสร้างของสีหลัก RGB

โดยจุดกำเนิด  $(R,G,B) = (0, 0, 0)$  เป็นสีดำ ที่จุด  $(1, 1, 1) =$  เป็นสีขาว โดยที่ค่าในแต่ละแกนเป็นการแสดงถึงความเข้มของแต่ละแม่สี การแสดงค่าของแต่ละแม่สีอยู่ระหว่าง 0 ถึง 1 เพื่อให้อยู่ในลักษณะอัตราส่วนและเป็นอิสระต่อกัน โดยฮาร์ดแวร์ไม่มีผลต่อการแสดงสีในกรณีที่เราพิจารณาค่าสี ในส่วนการแสดงค่าความเข้มในระดับเทา (Gray Scale) จะแสดงในแนวเส้นทแยงมุมพุ่งออกจากจุดกำเนิด  $(0, 0, 0)$  เป็นเส้นตรงไปยังตำแหน่ง  $(1, 1, 1)$  ที่เป็นสีขาว การผสมสีของแบบจำลอง RGB มักใช้ในการแสดงผลทางหน้าจอคอมพิวเตอร์ เนื่องจากจอแสดงผลคอมพิวเตอร์ทั่วไปใช้หลักการผสมสีแบบเดียวกัน ซึ่งเป็นสาเหตุให้แบบจำลองสี RGB ถูกนำมาใช้ในงานทำภาพพิมพ์ลายน้ำดิจิทัล

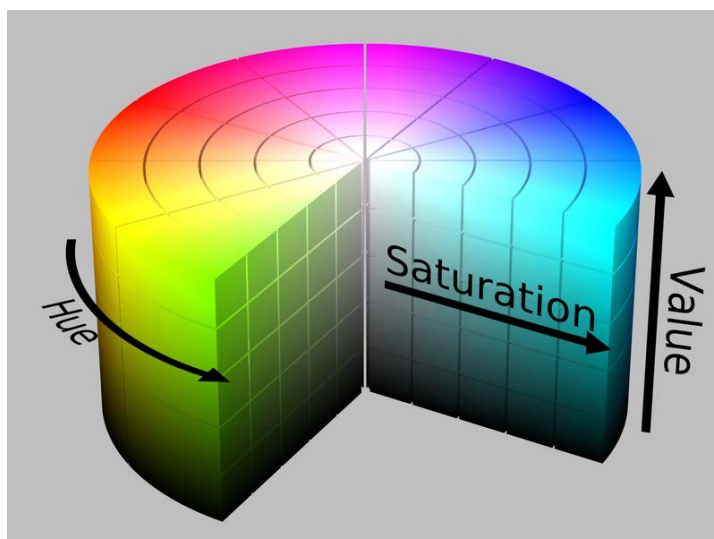
2.4.2 แบบจำลองสี CMY หรือ CMYK คือ แบบจำลองสี CMY หรือ CMYK ได้แก่ สีเขียว น้ำเงิน (Cyan) สีม่วงแดง (Magenta) และสีเหลือง (Yellow) ส่วนใหญ่มักใช้ในการพิมพ์ภาพผ่านเครื่องพิมพ์ โดยหลักการของการแสดงสีแบบจำลองสีนี้จะใช้การลบออก ถ้าแสงสีขาวเกิดการตกกระทบกับหมึกสีเหลืองจะพบว่าสีเหลืองจะประกอบด้วยสีแดงผสมสีเขียวในแบบจำลองของ RGB ซึ่งแสงที่สะท้อนจากสีเหลืองจะไม่ปรากฏแสงสีน้ำเงินเนื่องจากแสงสีน้ำเงินถูกดูดซับเอาไว้ด้วยหมึกสีเหลืองลบจากแสงสีขาว หรือ สีน้ำเงินถูกลบออกจากสีขาว ทำให้สะท้อนเห็นเป็นสีเหลือง แบบจำลอง CMY หรือ CMYK จุดกำเนิดอยู่ที่  $(0, 0, 0)$  เป็นสีขาว ส่วนจุด  $(1, 1, 1)$  เป็นสีดำ ทำให้เราอาจมองได้ว่าแบบจำลองสี CMY หรือ CMYK เพิ่มอีกหนึ่งสี คือ สีดำ (Black) ดังนั้นจึงเห็นชื่อแบบจำลองสีเขียน CMYK แบบจำลอง CMY หรือ CMYK มีลักษณะดังรูป [17] ต่อไปนี้





ภาพที่ 2-25 โครงสร้างของสีหลักของ CMY หรือ CMYK

2.4.3 แบบจำลองสี HSV คือ ในแบบจำลองสีที่ได้กล่าวไปถึงก่อนหน้านี้ ในการจะที่จะแสดงค่าความสว่างในระดับใดระดับหนึ่งนั้นทำได้ยาก เพื่อแก้ปัญหาให้สามารถเพิ่มหรือลดค่าความสว่างของสีใดๆ ได้นั้นจึงเกิดการคิดค้นแบบจำลองที่ตัวแปรหลัก 3 ตัว คือ ค่าสี (Hue), ค่าความอิ่มตัว (Saturation) และค่าความสว่าง (Value) โดยใช้หลักการบอกเข้าไปในแบบจำลอง RGB ในทิศที่ขนานกับแกนสีเทาเริ่มต้นจากตำแหน่งสีขาวเข้าไป ดังแสดงในภาพที่ 2-27 [17] จะเห็นว่ารูปร่างเหมือนทรงกระบอก โดยแกนมุมสูง คือ ค่าความสว่าง ส่วนแกนรัศมี คือ ค่าอิ่มตัว และมุมของแกนรัศมี คือ ค่าของสี



ภาพที่ 2-26 โครงสร้างของสีหลักของ HSV

## 2.5 ลายน้ำดิจิทัล (Digital Watermark)

ลายน้ำดิจิทัลถูกนำมาใช้ในกิจกรรมต่าง ๆ มากมาย โดยวัตถุประสงค์คือป้องกันการปลอมแปลงแต่ในงานวิจัยนี้เราต้องการนำมาใช้ในการซ่อนข้อมูลเพื่อป้องกันไม่ให้ข้อมูลบางส่วนถูกเปิดเผยต่อบุคคลที่สามหรือคนที่ไม่มีส่วนเกี่ยวข้อง เมื่อระบบในปัจจุบันเปลี่ยนรูปแบบไปเป็นระบบดิจิทัล ทำให้ลายน้ำอนาล็อกที่เคยใช้กันได้ถูกเปลี่ยนรูปแบบมาเป็นลายน้ำดิจิทัล [18] ในงานวิจัยนี้จึงทดลองนำลายน้ำดิจิทัลเข้ามาใช้กับข้อมูล QR Code เพื่อใช้ในการซ่อนข้อมูล

### 2.5.1 นิยามของลายน้ำดิจิทัล คือ ลายน้ำดิจิทัลคือข้อมูลดิจิทัลที่ถูกฝังลงในสื่อ

ประสม เช่น ภาพนิ่ง เสียง และวีดิทัศน์ เป็นต้น ในงานวิจัยนี้ใช้สนใจการฝังลายน้ำดิจิทัลลงในข้อมูล QR Code โดยทั่วไปลายน้ำดิจิทัลมักถูกนำมาใช้แสดงความเป็นเจ้าของผลงานหรือนวัตกรรม และป้องกันการละเมิดสิทธิทางปัญญา [18] ในงานวิจัยชิ้นนี้สังเกตเห็นว่าการฝังลายน้ำสามารถนำมาใช้ในการซ่อนข้อมูลเพื่อช่วยในการรักษาความลับของเจ้าของข้อมูล QR Code ได้โดยปกติลายน้ำดิจิทัลที่นำไปฝังแบ่งเป็นแบบที่มองเห็นได้ คือ จะแสดงให้เห็นลายน้ำดิจิทัลได้อย่างชัดเจนจากการมองเห็นด้วยสายตาและแบบที่ไม่สามารถมองเห็นได้ด้วยสายตา คือ ใช้วิธีการเฉพาะเพื่อการสืบค้น ซึ่งในงานวิจัยชิ้นนี้เราสนใจแบบที่สอง คือ แบบที่ไม่สามารถมองเห็นได้ด้วยสายตา โดยหลักแล้วลายน้ำดิจิทัลทั้งสองแบบที่กล่าวมานั้นจะต้องไม่สามารถถูกดึงออก

จากสื่อได้โดยง่าย โดยในงานวิจัยชิ้นนี้ได้กำหนดการเข้ารหัสและถอดรหัสโดยใช้กุญแจลับหรือคีย์เป็นรูปภาพ

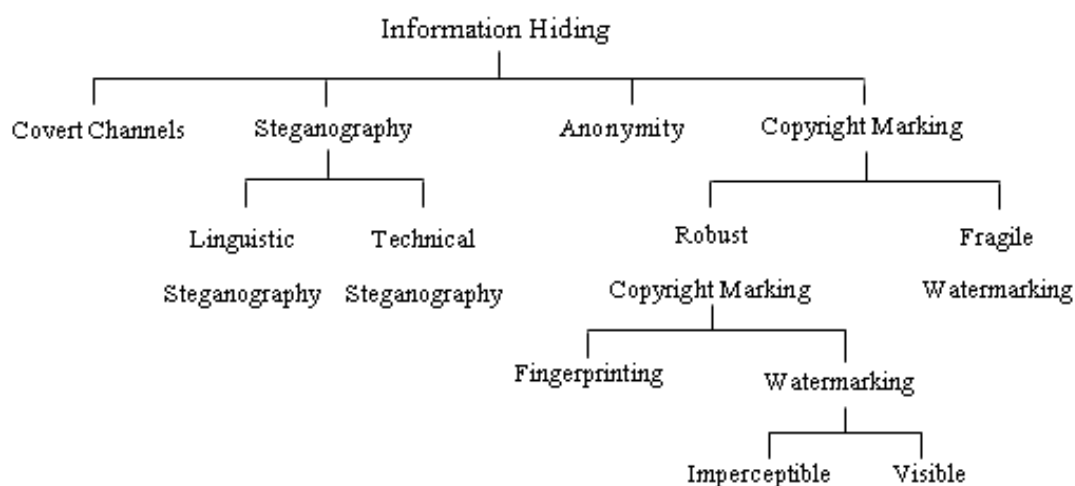
2.5.2 หลักการในการทำลายน้ำดิจิทัล คือ โดยทั่วไปเทคนิคในการทำลายน้ำดิจิทัลมีรูปแบบคล้ายๆ กัน คือ เป็นการใส่สัญญาณเข้าไปในตัวข้อมูลหลักก่อนที่จะทำการเผยแพร่หรือแจกจ่าย โดยงานวิจัยชิ้นนี้ทำการใส่สัญญาณลายน้ำดิจิทัลซึ่งเป็นข้อมูลที่เราต้องการให้เป็นเป็นความลับลงในข้อมูล QR Code โดยทั่วไปการทำลายน้ำดิจิทัลทุกประเภทประกอบด้วยขั้นตอนที่ ๑ ไปคือ

#### 2.5.2.1 การใส่ลายน้ำดิจิทัล (Watermark embedding)

2.5.2.2 การตรวจสอบ (Detection) หรือการนำลายน้ำดิจิทัลออกมา ข้อมูล QR Code จะถูกใส่สัญญาณลายน้ำเข้าไปโดยจะมีค่าขึ้นอยู่กับกุญแจลับหรือคีย์ ซึ่งใช้ในการเข้ารหัส โดยสิ่งที่คาดหวังคือ มีเพียงผู้ที่ถือกุญแจลับหรือคีย์นี้เท่านั้น ที่สามารถตรวจสอบสัญญาณลายน้ำหรือเปลี่ยนแปลงข้อมูลภายในได้ ซึ่งการเข้าถึงข้อมูลภายในจำเป็นต้องใช้กุญแจลับในการนำสัญญาณลายน้ำที่ถูกต้องกลับคืนมา

2.5.3 วิธีการฝังลายน้ำดิจิทัล คือ วิธีการฝังลายน้ำดิจิทัลเข้าไปในข้อมูล QR Code ต้นฉบับแบ่งออกเป็นสองวิธี วิธีแรกคือการฝังลายน้ำดิจิทัลในรูปแบบโดเมนพื้นที่ เป็นการเลือกจุดตำแหน่งของ QR Code แล้วทำการปรับแต่งค่าโดยพิจารณาจากตำแหน่งจุดของข้อมูล QR Code ต้นฉบับนั้น ๆ เป็นสำคัญ ซึ่งมักจะเรียกวิธีการแบบนี้ว่าทำบน “Spatial Domain” ส่วนอีกวิธีหนึ่งนั้นเป็นการฝังลายน้ำดิจิทัลในรูปแบบโดเมนความถี่ หรือที่มักเรียกกันว่า “Frequency Domain” ซึ่งเป็นผลมาจากการใช้วิธีการแปลง (Transform) แบบต่าง ๆ ซึ่งในงานวิจัยนี้สนใจการแปลง 3 แบบเปรียบเทียบกัน คือการแปลงโคไซน์แบบไม่ต่อเนื่อง (Discrete Cosine Transform, DCT), การแปลงดีสครีตฟูเรียร์ทรานฟอร์ม (Discrete Fourier Transform, DFT) และ การแปลงเวฟเล็ตไม่ต่อเนื่อง (Discrete wavelet transform, DWT) โดยทำการแก้ไขค่าสัมประสิทธิ์ของการแปลงค่าที่มีอยู่ในช่วงความถี่ที่เหมาะสม วิธีการฝังลายน้ำดิจิทัลเป็นส่วนหนึ่งของวิธีซ่อนข้อมูล (Information Hiding) แสดงดังภาพที่ 2-28 ซึ่งนับว่าเป็นวิธีการที่สามารถนำไปประยุกต์ใช้ได้

อย่างกว้างขวางไม่ว่าจะเป็นในภาพนิ่ง วีดิทัศน์และเสียง รวมถึงงานวิจัยนี้ที่นำวิธีการซ่อนข้อมูลมาใช้กับข้อมูล QR Code ซึ่งแต่ละวิธีในภาพจะมีวิธีการฝังลายน้ำดิจิทัลที่แตกต่างกันออกไป [21]



ภาพที่ 2-27 โครงสร้างของวิธีซ่อนข้อมูล

จากภาพที่ 2-27 จะมีรายละเอียด โดยจำแนกเป็นหกประเภทแบบคร่าวๆ ดังนี้ [19, 20, 21]

2.5.3.1 Perceptible Technique การฝังวิธีนี้มองเห็นลายน้ำดิจิทัลซ้อนทับอยู่บนข้อมูลต้นฉบับอย่างชัดเจน ทำให้วิธีการนี้จะมนุษย์เห็นลายน้ำดิจิทัลได้อย่างชัดเจน

2.5.3.2 Imperceptible Technique วิธีนี้ทำให้มนุษย์ไม่สามารถเห็นลายน้ำดิจิทัลได้อย่างชัดเจน

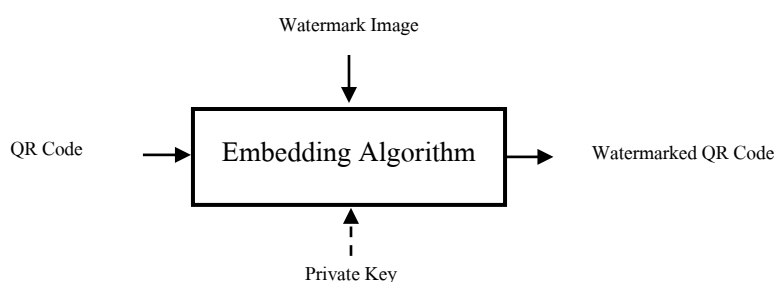
2.5.3.3 Fragile Technique วิธีนี้พิจารณาความเปราะบางของลายน้ำดิจิทัลที่ถูกฝังไว้ ซึ่งมีความไวต่อการเสียหายและการเปลี่ยนแปลงแม้เพียงเล็กน้อย เมื่อมีการแก้ไขข้อมูลต้นฉบับที่ผ่านการฝังลายน้ำจะทำให้ไม่สามารถถอดลายน้ำดิจิทัลออกมาได้ ซึ่งเป็นรูปแบบที่งานวิจัยชิ้นนี้สนใจโดยงานวิจัยไม่ได้มุ่งเน้นการโจมตีข้อมูลต้นฉบับที่ผ่านการฝังลายน้ำเรียบร้อยแล้ว

2.5.3.4 Robust Technique วิธีนี้ข้อมูลต้นฉบับที่ผ่านการฝังลายน้ำแล้ว ลายน้ำดิจิทัลจะยังคงอยู่หากการโจมตีไม่รุนแรงเกินไป

2.5.3.5 Source Extraction Technique หรือ Non-Blind Technique วิธีนี้ลายน้ำดิจิทัลต้องใช้ข้อมูลต้นฉบับช่วยในการถอดลายน้ำดิจิทัลที่ซ่อนไว้ จากข้อมูลต้นฉบับที่ผ่านการฝังลายน้ำเรียบร้อยแล้วเพื่อให้สามารถถอดลายดิจิทัลออกมาได้

2.5.3.6 Destination Extraction Technique หรือ Blind Technique วิธีนี้ไม่ใช้ข้อมูลต้นฉบับในการถอดลายน้ำดิจิทัลออกมา ซึ่งเป็นรูปแบบที่งานวิจัยชิ้นนี้สนใจ

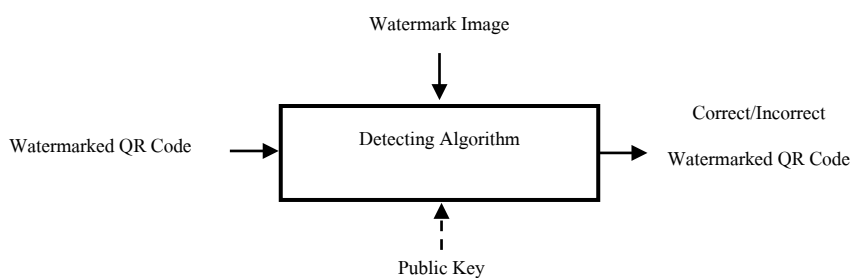
2.5.4 การฝังลายน้ำดิจิทัล (Watermark embedding) คือ ในงานวิจัยนี้ การฝังลายน้ำดิจิทัลเป็นกระบวนการใส่ลายน้ำดิจิทัลให้ฝังเข้าไปอยู่ในข้อมูล QR Code ต้นฉบับ โดยข้อมูลเริ่มต้นของกระบวนการฝังลายน้ำดิจิทัลนี้จะประกอบด้วย ข้อมูล QR Code, ลายน้ำดิจิทัลที่จะนำมาใส่ลงไป ในข้อมูล QR Code เพื่อใช้ในการซ่อนข้อมูล และรหัสลับส่วนตัว (Private Key) ด้วย [22] เมื่อเตรียมข้อมูลทั้งสองส่วนนี้เสร็จ หลังจากนั้นจะถูกนำเข้าสู่กระบวนการฝัง (Embedding Algorithm) หลังจากผ่านกระบวนการดังกล่าวแล้วข้อมูลที่ได้ก็คือผลลัพธ์ที่มีลายน้ำดิจิทัลฝังอยู่ ดังภาพที่ 2-28



ภาพที่ 2-28 การฝังลายน้ำดิจิทัลลงในข้อมูล QR Code

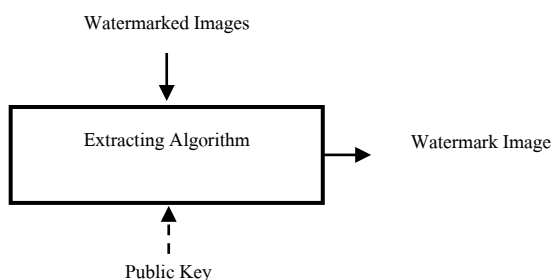
2.5.5 การตรวจหาลายน้ำดิจิทัล (Watermark detection) คือ เมื่อมีความต้องการลายน้ำดิจิทัลที่เราทำการฝังในข้อมูล QR Code ต้นฉบับเรียบร้อยแล้วออกมา เริ่มต้นด้วยการค้นหาว่า ในข้อมูล QR Code ที่สงสัยว่ามีลายน้ำดิจิทัลหรือข้อมูลลับที่ฝังอยู่หรือไม่ จึงนำไปสู่กระบวนการแสดงดังภาพที่ 2-30 ข้อมูลนำเข้าของกระบวนการตรวจหาลายน้ำดิจิทัลนี้ คือ

ข้อมูลที่ต้องสงสัยว่ามีลายน้ำดิจิทัลฝังอยู่ ซึ่งในงานวิจัยนี้มีการกำหนดรหัสลับในกระบวนการฝัง และการถอดลายน้ำดิจิทัลด้วยเพื่อให้ผู้ที่ถือกุญแจเท่านั้นจึงจะสามารถแก้ไขข้อมูลต่างๆ ได้



ภาพที่ 2-29 การตรวจหาลายน้ำดิจิทัลหรือข้อมูลลับที่อาจฝังอยู่ในข้อมูลที่ผ่านการฝังลายน้ำ

2.5.6 การถอดลายน้ำดิจิทัล (Watermark Extraction) คือ หลังจากนั้นขั้นถัดมาคือ การถอดลายน้ำดิจิทัล การถอดลายน้ำดิจิทัลจะมีแนวทางปฏิบัติอยู่สองแบบ ได้แก่ แบบแรก คือ การถอดลายน้ำดิจิทัลโดยไม่ใช้ข้อมูลต้นฉบับ (Blind Watermarking) ซึ่งงานวิจัยชิ้นนี้ ทำการศึกษา แบบสอง คือ เป็นการถอดลายน้ำดิจิทัลที่ใช้ข้อมูลต้นฉบับ ซึ่งทั้งสองรูปแบบเป็น กระบวนการที่ทำให้ได้ลายน้ำดิจิทัลและข้อมูลต้นฉบับก่อนถูกฝังลายน้ำดิจิทัลกลับคืนมา แสดงดังภาพที่ 2-30



ภาพที่ 2-30 การถอดลายน้ำดิจิทัลออกจากข้อมูลที่มีลายน้ำดิจิทัลฝังอยู่

## 2.5.7 เกณฑ์การวัดประสิทธิภาพของลายน้ำดิจิทัล

2.5.7.1 เกณฑ์การวัดประสิทธิภาพของการฝังลายน้ำดิจิทัล [23, 24, 21] โดยแบ่งออกเป็น

ก) เกณฑ์เชิงคุณภาพ (Subjective Fidelity Criteria) วัดประสิทธิภาพโดยแบ่ง เป็นสองกลุ่ม คือกลุ่มคนที่มีพื้นฐานทางการประมวลผลภาพ และกลุ่มคนที่ไม่มีพื้นฐานด้านนี้มาก่อน หลังจากนั้นให้กลุ่มตัวอย่างทั้งสองมาพิจารณาภาพที่ฝังภาพลายน้ำดิจิทัลแล้วพร้อมกัน จากนั้นให้คะแนนตามเกณฑ์ที่กำหนด (Subjective Fidelity Scoring Scale) ข้อเสียวิธีนี้คือผลการทดลองจะไม่มีเกณฑ์มาตรฐานเพียงพอ ซึ่งอาจเกิดจากกลุ่มตัวอย่างมีความลำเอียงหรือความพึงพอใจในการให้คะแนน

ข) เกณฑ์เชิงปริมาณ (Objective Fidelity Criteria) วัดประสิทธิภาพโดยการใช้การคำนวณทางคณิตศาสตร์เป็นเกณฑ์ ข้อดีคือสะดวกต่อการใช้งาน และมีเกณฑ์มาตรฐานที่น่าเชื่อถือหรือรองรับ งานวิจัยนี้ใช้เกณฑ์เชิงปริมาณเป็นเกณฑ์การวัดผลการทดลอง แบ่งเป็น 3 ส่วนตามกระบวนการวิจัย คือ กระบวนการฝังลายน้ำดิจิทัล ใช้ค่า PSNR (Peak signal-to-noise ratio), กระบวนการถอดลายน้ำดิจิทัลใช้ค่า NC (Normalized Cross Correlation) และ เกณฑ์การวัดเวลาที่เครื่องคอมพิวเตอร์ใช้โดยแบ่งเป็น การวัดเวลาในกระบวนการฝังลายน้ำดิจิทัลและการวัดเวลาในกระบวนการถอดลายน้ำดิจิทัล

2.5.7.2 การตรวจสอบหาค่าความผิดเพี้ยนของข้อมูล QR Code โดยใช้ค่า PSNR เป็นตัววัดเกณฑ์เชิงปริมาณที่ใช้ประเมินค่าลายน้ำดิจิทัลที่ใส่เพิ่มลงไปข้อมูลหลัก (ข้อมูล QR Code ต้นฉบับ) โดยมีหน่วยวัดเป็นเดซิเบล (dB:Decibel) ซึ่งวิธีคำนวณแสดงได้ดังสมการที่ 2-19 และสมการที่ 2-20 [21]

$$PSNR = 10 \log_{10} \left( \frac{255^2}{MSE} \right) \quad dB \quad (2-19)$$

โดยสมการของการหาค่า MSE (Mean-squared-error) เขียนได้ดังนี้

$$MSE = \frac{\sum (f_w(x, y) - f(x, y))^2}{n} \quad (2-20)$$

เมื่อค่า  $f_w(x, y)$  เป็นข้อมูล QR Code ที่มีลายน้ำดิจิทัลฝังอยู่  
 $f(x, y)$  เป็นข้อมูล QR Code ต้นฉบับ  
 $n$  เป็นจำนวนจุดภาพในภาพที่มีลายน้ำดิจิทัลฝังอยู่และข้อมูล QR Code ต้นฉบับ

โดยคุณภาพการบิดเบี้ยวของข้อมูล QR Code ที่ผ่านการฝังลายน้ำดิจิทัลแล้วจะแปรผกผันตามค่า PSNR คือหากค่า PSNR น้อยแสดงว่าข้อมูล QR Code ที่ผ่านการฝังลายน้ำดิจิทัลแล้วมีการบิดเบี้ยวจากข้อมูล QR Code ต้นฉบับมากและหากค่า PSNR มากแสดงว่า มีการบิดเบี้ยวจากข้อมูล QR Code ต้นฉบับน้อย

2.5.7.3 การวัดค่าความเหมือนของภาพ (Similarity Measurement) ด้วยค่า  $NC$  คือจะใช้วัดค่าความเหมือนระหว่างลายน้ำดิจิทัลต้นฉบับและลายน้ำดิจิทัลที่ถอดออกมาได้ทั้งก่อนและหลังจะอยู่ในช่วงระหว่างค่า 0 ถึงค่า 1 สำหรับวิธีการคำนวณค่าความเหมือนของข้อมูลสองมิติ สามารถทำได้ตามสมการที่ 2-21 [21]

$$NC = \frac{\sum_i \sum_j w_{(i,j)} - w'_{(i,j)}}{\sum_i \sum_j [w_{(i,j)}]^2} \quad (2-21)$$

เมื่อ  $w_{(i,j)}$  และ  $w'_{(i,j)}$  แทนค่าความเข้มสีของจุดภาพ ณ ตำแหน่ง  $(i,j)$  ในลายน้ำดิจิทัลต้นฉบับและลายน้ำดิจิทัลที่ถอดออกมาตามลำดับ โดยคุณภาพของลายน้ำดิจิทัลจะแปรผันตาม ค่าความเหมือนของภาพคือค่าความเหมือนสูงมากเท่าใดแสดงว่าลายน้ำดิจิทัลที่ถอดออกมาจะเหมือนกับภาพต้นฉบับมากขึ้นด้วยเช่นกัน

2.5.7.4 เกณฑ์การวัดเวลาที่เครื่องคอมพิวเตอร์ใช้ในการฝังและถอดลายน้ำดิจิทัล (Time for Embedding and Extracting) เป็นการคำนวณเวลาที่ใช้ในการประมวลผลแต่ละการแปลงข้อมูลเข้าสู่โดเมนความถี่ โดยคำนวณได้ตามสมการที่ 2-22

$$\Delta T = T_{\text{START}} - T_{\text{STOP}} \quad (2-22)$$

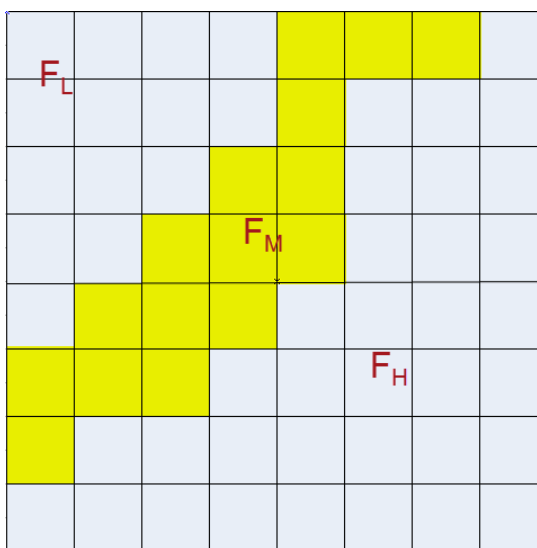
## 2.6 เทคนิคการกระบวนกรฝังและถอดลายน้ำในโดเมนความถี่

จะเป็นการแปลงภาพด้วยวิธีทางคณิตศาสตร์ก่อนการฝังลายน้ำลงไป โดยในงานวิจัยขึ้นนี้ใช้การแปลงแบบ การแปลงโคไซน์แบบไม่ต่อเนื่อง (Discrete cosine transform, DCT), การแปลงฟูริเยร์เต็มหน่วย (Discrete fourier transform, DFT) และการแปลงเวฟเล็ตแบบไม่ต่อเนื่อง (Discrete wavelet transform, DWT) ซึ่งจะได้ค่าสัมประสิทธิ์จากการแปลงดังกล่าว



จากนั้นจะทำการปรับแต่งค่าสัมประสิทธิ์เหล่านั้น โดยมีเงื่อนไขว่าจะต้องไม่ทำให้คุณภาพของข้อมูล QR Code ตันฉบับต่ำลงมากนัก โดยจะกล่าวถึงการแปลงแต่ละแบบ มีคุณลักษณะดังต่อไปนี้

2.6.1 การแปลงโคซายน์แบบไม่ต่อเนื่อง (Discrete cosine transform, DCT) การแปลงโคซายน์แบบทำทีละ Block เป็นกระบวนการคำนวณทางคณิตศาสตร์ที่คล้ายกับ FFT (Fast fourier transform) เนื่องจากเอาสัญญาณมาแปลงจากรูปแบบหนึ่งเป็นอีกรูปแบบหนึ่งมักถูกใช้กับการประมวลผลข้อมูลดิจิทัล เป็นการแปลงกลุ่มของข้อมูลให้เข้าสู่ค่าของความถี่ โดยในยุคเริ่มต้น [24] ซึ่งได้นำเสนอวิธีการในการทำภาพพิมพ์ลายน้ำดิจิทัลที่อ้างอิงกับวิธีการแปลงสัญญาณโคซายน์แบบไม่ต่อเนื่อง (Discrete cosine transform, DCT) โดยสัญญาณลายน้ำจะถูกนำไปแทรกลงภายในช่วงความถี่กลางของค่าสัมประสิทธิ์ที่ได้จากการแปลง DCT ของข้อมูล QR Code ตันฉบับ ดังภาพที่ 2-31 [25, 26]



ภาพที่ 2-31 ความหมายของขอบเขต DCT ช่วงความถี่กลาง

ในกระบวนการที่สร้างค่าตัวอย่างข้อมูลที่ได้จากชุดของสัมประสิทธิ์ที่ผ่านการแปลงฟังก์ชันการแปลงสัญญาณโคซายน์แบบไม่ต่อเนื่อง เรียกว่า IDCT (Inverse discrete cosine transform) โดยถ้ามีข้อมูลมากกว่า 8 ค่า เราสามารถที่จะแบ่งข้อมูลเป็นกลุ่ม กลุ่มละ 8 ค่าแล้วทำการแปลงแยกกันได้ เพราะฟังก์ชันจะถูกเรียกใช้เหมือนกันทุกกลุ่ม มีเพียงค่าสัมประสิทธิ์เท่านั้นที่แตกต่างในแต่ละกลุ่ม โดยจะมีสมการ การแปลง DCT ในแบบ Two-dimensional (ในแนวแกนตั้งและ

แนวแกนนอน) และการแปลงกลับ หรือ IDCT ดังสมการ 2-23 และ 2-29 ตามลำดับดังต่อไปนี้ [27, 28]

$$Y = DCT(f(x, y)) \quad (2-23)$$

$f(x, y)$  คือ บริเวณของข้อมูล QR Code ต้นฉบับ ซึ่งถูกจำกัดความด้วยสมการต่อไปนี้

$$X = [f(x, y)]_{N \times N} \quad (2-24)$$

โดยที่  $X$  คือ ความเข้มของจุดภาพที่อยู่ในโดเมนเวลา เมื่อ  $0 \leq x, y \leq N - 1$  ตำแหน่ง โดย  $Y$  คือ บริเวณของข้อมูล QR Code ต้นฉบับที่มีค่าอยู่ในโดเมนความถี่ ซึ่งถูกจำกัดความด้วยสมการต่อไปนี้

$$Y = [C(u, v)]_{N \times N} \quad (2-25)$$

โดยที่  $C(u, v)$  คือ ค่าที่อยู่ในโดเมนความถี่ เมื่อ  $0 \leq u, v \leq N - 1$  ตำแหน่ง ซึ่งกำหนด DCT ดังนี้

$$C(u, v) = \alpha(u)\alpha(v) \sum_{x=0}^{N-1} \sum_{y=0}^{N-1} f(x, y) \cos\left(\frac{(2x+1)u\pi}{2N}\right) \cos\left(\frac{(2y+1)v\pi}{2N}\right) \quad (2-26)$$

เมื่อ

$$\alpha(u) = \begin{cases} \sqrt{\frac{1}{N}}, & u = 0 \\ \sqrt{\frac{2}{N}}, & u = 1, 2, \dots, N - 1 \end{cases} \quad (2-27)$$

$$\alpha(v) = \begin{cases} \sqrt{\frac{1}{N}}, & v = 0 \\ \sqrt{\frac{2}{N}}, & v = 1, 2, \dots, N - 1 \end{cases} \quad (2-28)$$

ในการแปลงค่าซึ่งอยู่ในสัญญาณความถี่ให้กลับเป็นสัญญาณดิจิทัลดั้งเดิมด้วยการทำ IDCT ทุกบริเวณจนทั่วทั้งภาพสามารถเขียนสมการได้ดังนี้

$$\hat{X} = IDCT(\widehat{f(x, y)}) \quad (2-29)$$

$\hat{Y}$  คือ บริเวณของข้อมูล QR Code ต้นฉบับที่มีค่าอยู่ในโดเมนความถี่ซึ่งถูกกำหนดด้วยสมการ

$$\hat{Y} \equiv [C(u, v)]_{N \times N} \quad (2-30)$$

โดยที่  $C(u, v)$  คือ ค่าที่อยู่ในโดเมนความถี่ เมื่อ  $0 \leq u, v \leq N - 1$  ตำแหน่ง โดยที่  $\hat{X}$  คือ บริเวณบริเวณของข้อมูล QR Code ต้นฉบับที่มีค่าอยู่ในโดเมนความถี่ ซึ่งถูกเขียนด้วยสมการต่อไปนี

$$\hat{X} \equiv [f(x, y)]_{N \times N} \quad (2-31)$$

โดยที่  $f(x, y)$  คือ ค่าที่อยู่ในโดเมนความถี่ เมื่อ  $0 \leq x, y \leq N - 1$  ตำแหน่ง ซึ่งกำหนดให้ IDCT มีสมการดังต่อไปนี้

$$f(x, y) = \alpha(u)\alpha(v) \sum_{u=0}^{N-1} \sum_{v=0}^{N-1} C(u, v) \cos\left(\frac{(2x+1)u\pi}{2N}\right) \cos\left(\frac{(2y+1)v\pi}{2N}\right) \quad (2-32)$$

เมื่อ

$$\alpha(u) = \begin{cases} \sqrt{\frac{1}{N}}, & u = 0 \\ \sqrt{\frac{2}{N}}, & u = 1, 2, \dots, N - 1 \end{cases} \quad (2-33)$$

$$\alpha(v) = \begin{cases} \sqrt{\frac{1}{N}}, & v = 0 \\ \sqrt{\frac{2}{N}}, & v = 1, 2, \dots, N - 1 \end{cases} \quad (2-34)$$

2.6.2 การแปลงฟูรีเยร์แบบไม่ต่อเนื่อง (Discrete fourier transform, DFT) ในการแปลงแปลงฟูรีเยร์แบบไม่ต่อเนื่อง ใช้การคำนวณพิกัดลอการิทึมเชิงขั้ว (Log-Polar coordinate) เมื่อ  $F(u, v)$  คือสัมประสิทธิ์ที่ได้จาก Fourier transform ของข้อมูล QR Code จาก  $I(x, y)$  ซึ่งพิจารณาสมการต่อไปนี [29, 30]

$$F(u, v) = \frac{1}{XY} \sum_{x=0}^{X-1} \sum_{y=0}^{Y-1} I(x, y) \cdot e^{-j2\pi \left( \frac{ux}{X} + \frac{vy}{Y} \right)} \quad (2-35)$$

$$I(x, y) = \sum_{u=0}^{X-1} \sum_{v=0}^{Y-1} F(u, v) \cdot e^{j2\pi \left( \frac{ux}{X} + \frac{vy}{Y} \right)} \quad (2-36)$$

โดยข้อมูล QR Code ที่ถูกซ่อนลายนำดิจิตอล  $F'(u, v)$  ในโดเมนความถี่นั้นได้จากการใช้แปลงแบบฟูรีเยร์ (Fourier transform) ซึ่งพิจารณาสมการต่อไปนี

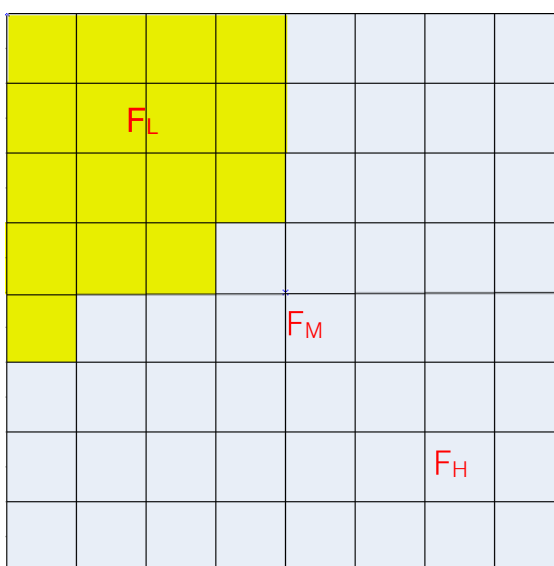
$$F'(u, v) = \left( |F(u, v)| \cdot (1 + \alpha W(x, y)) \right) \cdot e^{j\Phi(u, v)} \quad (2-37)$$

โดยที่  $|F(u, v)|$  และ  $\Phi(u, v)$  คือ Fourier spectrum และ Phase angle ของ  $F(u, v)$  ซึ่งได้จากสมการที่ 2-36 และ 2-37 ตามลำดับ ส่วน  $\alpha$  คือค่าที่ใช้กำหนดความเข้ม (Amplitude factor) ของลายนำดิจิตอลที่จะซ่อนลงในรูปภาพ สำหรับรูปภาพที่ถูกซ่อนลายนำดิจิตอล  $I(x, y)$  ในโดเมนปกติจะได้รับการทำ Inverse Fourier transform ตามสมการที่ 2-38 ดังนี้

$$I'(x, y) = \sum_{u=0}^{X-1} \sum_{v=0}^{Y-1} F'(u, v) \cdot e^{j2\pi \left( \frac{ux}{X} + \frac{vy}{Y} \right)} \quad (2-38)$$

อย่างไรก็ดี ลายนำดิจิตอล  $W(x, y)$  นี้ อาจมีขนาดเท่ากับรูปภาพ  $I(x, y)$  หรือเล็กกว่าก็ได้ ในกรณีที่ลายนำดิจิตอลมีขนาดเล็กกว่ารูปภาพ ลายนำดิจิตอลดังกล่าวนี้ควรจะถูกเติมขอบด้วยค่า 0 (สีดำ) ให้เต็มจนมีขนาดเท่ากับรูปภาพ หากขนาดของลายนำดิจิตอลมีขนาดเล็กมากเกินไป จะทำให้มีเฉพาะส่วนความถี่สูงของรูปภาพเท่านั้นที่ถูกซ่อน ซึ่งจะทำให้ลายนำดิจิตอลมีความคงทน (Robust) ต่อกะบวนการเปลี่ยนแปลงแก้ไขรูปภาพต่างๆ เป็นอย่างสูง แต่ในทางกลับกันก็

ส่งผลโดยตรงต่อคุณภาพต่อการมองเห็น (Perceptibility) ของรูปภาพ เนื่องจากบริเวณดังกล่าว เป็นบริเวณที่มีนัยสำคัญต่อการมองเห็นสูงสุด ดังนั้นเพื่อเป็นการประนีประนอมระหว่างความ คงทนกับคุณภาพของรูปภาพที่ได้ ใน [26] และ [27] ได้แนะนำให้ซ่อนลายน้ำดิจิทัลลดลงในบริเวณ ตรงกลางระหว่างส่วนที่มีความถี่สูงกับความถี่ต่ำของรูปภาพ โดยในงานวิจัยเราให้การซ่อนลายน้ำ ดิจิทัลในบริเวณความถี่ต่ำ ดังภาพที่ 2-32



ภาพที่ 2-32 ความหมายของขอบเขต DFT ช่วงความถี่ต่ำ

2.6.3 การแปลงเวฟเล็ตแบบไม่ต่อเนื่อง (Discrete wavelet transform, DWT) มีสมการที่ใช้อธิบายดังต่อไปนี้ [21, 31, 32]

$$DWT(m,n) = \frac{1}{\sqrt{a_0^m}} \int_{-\infty}^{\infty} f(t) \psi\left(\frac{t - nb_0 a_0^m}{a_0^m}\right) dt \quad (2-39)$$

|        |              |     |                  |
|--------|--------------|-----|------------------|
| โดยที่ | $a_0^m$      | คือ | การสเกล          |
|        | $nb_0 a_0^m$ | คือ | การเลื่อนตำแหน่ง |
|        | $m, n$       | คือ | เลขจำนวนเต็มบวก  |

ในทางปฏิบัติการนำมาใช้งานจริง สัญญาณที่เข้ามานี้จะอยู่ในรูปของการสุ่ม (Sample) ดังนั้นสมการที่ 2-39 จึงพัฒนามาสู่สมการที่ 2-40

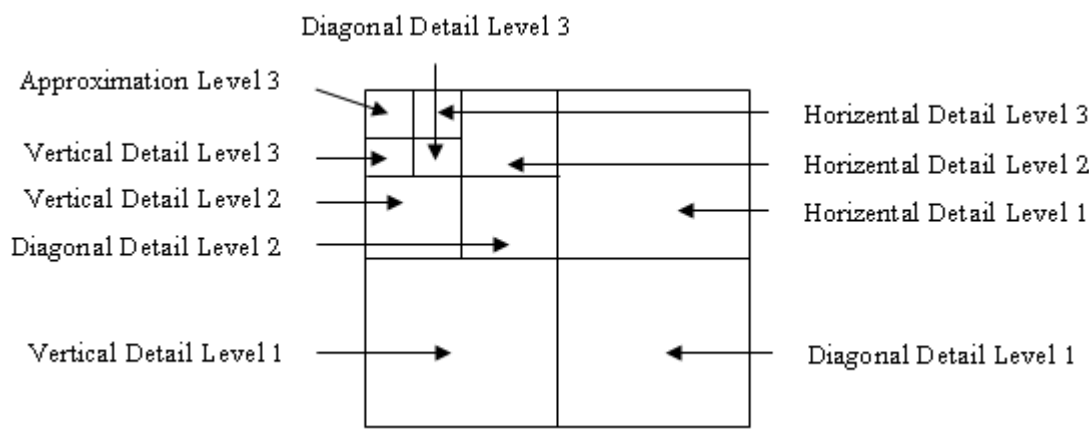
$$DWT(m, n) = \frac{1}{\sqrt{a_0^m}} \sum_k f(k) \psi\left(\frac{n - kb_0 a_0^m}{a_0^m}\right) \quad (2-40)$$

|       |           |                                  |
|-------|-----------|----------------------------------|
| เมื่อ | $m, n, k$ | เป็นเลขจำนวนเต็ม โดยที่          |
|       | $n$       | คือ จำนวนข้อมูล                  |
|       | $m$       | คือ เลขแสดงการเปลี่ยนแปลงของสเกล |
|       | $k$       | คือ เลขแสดงการเลื่อนตำแหน่ง      |

เมื่อพิจารณาในรูปแบบของการวิเคราะห์หลายระดับความละเอียดแล้ว โดยที่จะมีการเปลี่ยนแปลงสเกลในการวิเคราะห์ให้ลดลงครึ่งละสอง เท่า ( $a_0 = 2$ ;  $b_0 = 1$ ) แล้วจะได้รูปแบบการแปลงเวฟเล็ตแบบเต็มหน่วย ดังสมการต่อไปนี้

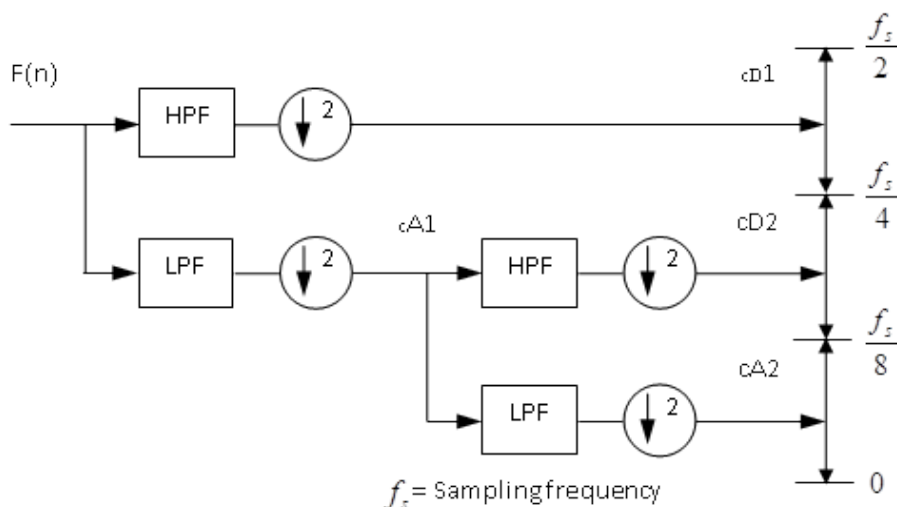
$$DWT(m, n) = \frac{1}{\sqrt{2^m}} \sum_k f(k) \psi\left(\frac{n - k2^m}{2^m}\right) \quad (2-41)$$

โดยในงานวิจัยเลือกใช้ชนิด Haar Wavelet Transform โดยการเป็นการแปลงภาพแบบไม่ต่อเนื่อง ซึ่งมีการแบ่งภาพออกเป็นส่วนๆ โดยแต่ละส่วนนั้นมียอดประกอบในเชิงความถี่ที่แตกต่างกันออกไป เวฟเล็ตเป็นการวิเคราะห์รายละเอียดของภาพจากหายาไปละเอียด ซึ่งการแปลงแบบอื่นข้อมูลหลังจากแปลงจะไม่มีความสัมพันธ์กันกับข้อมูลต้นฉบับ โดยจะทำการแยกส่วนประกอบของภาพในลักษณะเชิงลำดับชั้น (Hierarchical) ที่จะแยกส่วนประกอบของภาพแบบเรียกซ้ำ (Recursive) และเปลี่ยนข้อมูลต้นฉบับให้อยู่ในรูปข้อมูลความถี่ โดยผ่านตัวกรองแบบ High Pass (G) และ ตัวกรองสัญญาณแบบ Low Pass (H) ส่วนที่ผ่านตัวกรองสัญญาณแบบ High Pass คือ ข้อมูลบริเวณความถี่สูงหรือรายละเอียดของข้อมูลที่มีความละเอียดน้อย และส่วนที่ผ่านตัวกรองสัญญาณแบบ Low Pass คือ ข้อมูลบริเวณความถี่ต่ำหรือรายละเอียดของข้อมูลที่มีความละเอียดมาก ดังภาพที่ 2-33 [21]



ภาพที่ 2-33 การแยกส่วนประกอบโดยใช้การแปลงเวฟเล็ต 3 ระดับ

จากภาพที่ 2-33 แสดงการแปลงแบบ Forward Wavelet Transform โดยเริ่มจากข้อมูลต้นฉบับ  $f(x,y)$  ผ่านการกรองสัญญาณทางแกน x ผลที่ได้เป็นข้อมูล Lowpass  $f_L(x,y)$  และ Highpass  $f_H(x,y)$  ซึ่งจะทำให้  $f_L(x,y)$  และ  $f_H(x,y)$  ทางแกน x ถูกแบ่งครึ่ง Bandwidth ของสัญญาณ และทำ Downsample โดยไม่มีการสูญเสียข้อมูล จากนั้นทั้ง  $f_L(x,y)$  และ  $f_H(x,y)$  จะถูกกรองสัญญาณทางแกน y ผลลัพธ์ที่ได้ 4 ข้อมูลย่อย (Sub Data) ประกอบด้วย  $f_{LL}(x,y)$ ,  $f_{LH}(x,y)$ ,  $f_{HL}(x,y)$  และ  $f_{HH}(x,y)$  แล้วจึงทำ Downsample ข้อมูลย่อยอีกครั้ง ซึ่งเราจะแยกส่วนประกอบของข้อมูลเป็น  $f_{LL}(x,y)$  (Approximation Signal หรือ Lowpass-Lowpass) อีก 3 ข้อมูลย่อย คือ Detail Signal ได้แก่  $f_{LH}(x,y)$  (Horizontal Detail หรือ Lowpass-Highpass),  $f_{HL}(x,y)$  (Vertical Detail หรือ Highpass-Lowpass) และ  $f_{HH}(x,y)$  (Diagonal Detail หรือ Highpass-Highpass) [21]



ภาพที่ 2-34 การแปลงแบบ Forward Wavelet Transform

หลังจากการแปลงข้อมูลแบบเวฟเลตแล้ว จะได้เมทริกซ์ของสัมประสิทธิ์ที่ประกอบด้วย สัญญาณเฉลี่ย (Approximation Signal) และสัญญาณรายละเอียด (Detail Signal) ส่วนการแปลง Inverse Wavelet Transform ของข้อมูลเป็นกระบวนการย้อนกลับจากการแปลงแบบ Forward Wavelet Transform โดยเริ่มจากนำสัญญาณค่าเฉลี่ยและสัญญาณละเอียดมาทำอัพแซมเปิดทางแกน y ด้วยตัวกรองสัญญาณแบบ Lowpass Inverse Filter และตัวกรองสัญญาณแบบ Highpass Inverse Filter ทั้ง 4 ข้อมูล การทำอัพแซมเปิดจะกระทำโดยการใส่ 0 ระหว่างคู่ของค่าสัญญาณในแกน y หลังจากนั้นจะทำการอัพแซมเปิดทางแกน x และสร้างข้อมูลกลับขึ้นมาใหม่ จะเหมือนภาพที่ 2-34 แต่กลับลูกศรทุกอัน

## 2.7 เอกสารและงานวิจัยที่เกี่ยวข้อง

จากการศึกษา QR Code พบว่ามีงานวิจัยหลายด้านที่สนใจมากมาย โดยงานวิจัยนี้เราสนใจปัญหาด้านความปลอดภัยของข้อมูล QR Code เนื่องจากบุคคลทั่วไปหากมีโปรแกรมก็สามารถถอดความหมายของ QR Code ดังที่มี

งานวิจัยของ Hirakawa M. และ Iijima J. [12] ได้กล่าวว่าผู้ใช้อินเทอร์เน็ตในปัจจุบันมีมากขึ้นกว่าก่อนมาก เนื่องจากเทคโนโลยีที่ก้าวหน้าขึ้นอย่างมาก ทำให้เกิดการคัดลอกได้ง่ายซึ่งมีผลต่อการละเมิดลิขสิทธิ์ตามมา โดยเฉพาะ QR Code ซึ่งเป็นที่สนใจอย่างมาก ณ ขณะนี้ เนื่องจากเทคโนโลยีแบบใหม่ด้าน Data Management ซึ่งมีจุดอ่อนในด้านการรักษาความลับ ทำให้มีงานวิจัยด้านความปลอดภัยหลายด้านตระหนักถึงความปลอดภัยของ QR Code โดยมีการกล่าวถึงการแก้ปัญหาหลากหลายรูปแบบ การใช้ลายน้ำดิจิทัลเข้ามาแก้ไขปัญหาดังกล่าวก็เป็นหนึ่งในหลายๆ ทางเลือกที่งานวิจัยนี้ได้กล่าวถึง

งานวิจัยของ I. Rakocevic และคณะ [13] ซึ่งได้นำเสนอวิธีการในการทำภาพพิมพ์ลายน้ำดิจิทัลที่อ้างอิงกับวิธีการแปลงสัญญาณโคไซน์แบบไม่ต่อเนื่อง (Discrete Cosine Transform, DCT) โดยสัญญาณลายน้ำจะถูกนำไปแทรกลงไปภายในช่วงความถี่กลางของค่าสัมประสิทธิ์ที่ได้จากการแปลง DCT ของภาพต้นฉบับ อย่างไรก็ตามหากภาพที่ใส่ลายน้ำข้างต้นนี้ผ่านกระบวนการบีบอัดข้อมูลด้วยอัตราบีบอัดสูงๆ สัญญาณลายน้ำที่ถูกใส่ไว้ในสัมประสิทธิ์ช่วงความถี่กลางของ DCT ก็จะถูกทำลายไปด้วย

งานวิจัยของ I. Cox และคณะ [33] ซึ่งได้เสนอวิธีการที่จะเลือกตำแหน่งเพื่อใส่สัญญาณลายน้ำ ลงไปในภาพโดยการแก้ไขค่าของสัมประสิทธิ์จากการแปลง DCT ของภาพต้นฉบับ



เช่นเดียวกับวิธีแรก แต่วิธีการนี้จะเลือกเฉพาะตำแหน่งที่สัมประสิทธิ์มีค่าสูงสุดจำนวน 1000 ค่าเท่านั้น ในวิธีการนี้สัญญาณลายน้ำจะถูกจัดเตรียมขึ้นด้วยเทคนิคการกระจายแถบความถี่ (Spread Spectrum) ดังนั้นสัญญาณลายน้ำ จะสามารถถูกกู้กลับคืนมาได้อย่างมีประสิทธิภาพ แม้ว่าจะถูกรบกวนจากการประมวลผลทางสัญญาณ ต่างๆ ก็ตาม

งานวิจัยของ K. S. Ng และคณะ [34] เป็นวิธีการซึ่งเรียกว่าการย้ายตำแหน่งพิกเซล (Pixels Position Shifting) เริ่มต้นด้วยการคำนวณค่าผลรวมของค่าพิกเซลทั้ง 64 ค่าจากแต่ละช่วงพื้นที่ของภาพที่มีขนาด  $8 \times 8$  พิกเซล จากนั้นผลลัพธ์ที่ได้จะถูกหารด้วย 16 เพื่อจะได้ค่าเศษเหลือออกมา ค่าของเศษเหลือที่ได้มานี้จะถูกนำไปใช้เป็นค่าเริ่มต้นเพื่อใส่สัญญาณลายน้ำลงไป ในสัมประสิทธิ์ DCT ของภาพที่ยิ่งกว่านั้นแล้วรหัสแฮมมิง (Hamming Code) ขนาด (8, 4) ได้ถูกนำมาประยุกต์ใช้เพื่อตรวจสอบและแก้ไขความผิดพลาดที่อาจจะเกิดขึ้นในกระบวนการกู้คืนสัญญาณลายน้ำ อย่างไรก็ตามข้อด้อยของวิธีการนี้ก็คือสัญญาณลายน้ำที่ถูกใส่จะไม่สามารถทนทานต่อการประมวลผลในลักษณะของการกรองแบบความถี่ต่ำผ่าน (Lowpass Filter) และการกรองแบบค่าเฉลี่ยกลาง (Median Filter) ได้

งานวิจัยของ M. George และคณะ [35] ระบบการทำภาพพิมพ์ลายน้ำดิจิทัลที่อ้างอิงมาจากเทคนิคการกระจายแถบความถี่แบบอันดับโดยตรง (Direct Sequence Spread Spectrum Technique) ด้วยวิธีการนี้ข้อมูลลับจะถูกขยายออกด้วยค่าคงที่ค่าหนึ่งเรียกว่า อัตราขยาย (Chip-Rate) ทำให้ได้ข้อมูลที่ถูกกระจาย (Spread Sequence) โดยข้อมูลนี้จะถูกนำไปมอดูเลตกับสัญญาณรบกวนที่ถูกสร้างขึ้นที่เรียกว่า Pseudo-Noise แล้วทำการปรับค่าสัญญาณสุดท้ายนี้ด้วยค่าแฟกเตอร์  $\alpha$  ซึ่งเป็นค่าความแรงของสัญญาณลายน้ำก่อนที่จะนำไปบวกโดยตรงกับภาพต้นฉบับแบบพิกเซลต่อพิกเซล ด้วยวิธีการนี้สัญญาณลายน้ำที่ได้จะมีความคงทนและปลอดภัย เนื่องจากคุณสมบัติเฉพาะตัวของเทคนิคการสร้างสัญญาณลายน้ำดังกล่าวจึงทำให้สัญญาณลายน้ำที่ได้จากวิธีการนี้ยากต่อการหาตำแหน่งและการตรวจจับจากผู้ไม่ประสงค์ดี

งานวิจัยของ B. Mobasserri [36] ได้นำเสนอวิธีการใส่สัญญาณลายน้ำดิจิทัลในโดเมนของเวลากับวีดีทัศน์ (Video Sequence) ที่ไม่มีการบีบอัดข้อมูลมาก่อน และด้วยวิธี Direct

Sequence CDMA สัญญาณลายน้ำก็จะถูกกระจายออก และถูกนำไปรวมกับแต่ละเฟรมของวีดิทัศน์ภายใต้การควบคุมของ M-Sequence สองชุดที่แยกกัน ในเวลาต่อมางานของ B. Mobasser ได้มีการพัฒนามาจนถึงการทำภาพพิมพ์ลายน้ำดิจิทัลกับข้อมูลวีดิทัศน์ที่ถูกบีบอัดโดยมาตรฐาน MPEG

งานวิจัยของ Yeung และ Mintzer [37] ใช้เทคนิคการแทรกลายน้ำในโดเมนพื้นที่ (Spatial Domain) โดยกระบวนการแทรกภาพจะมีรหัสตรวจสอบ (Verification Key) ซึ่งได้จากการสุ่มเทียบตารางเทียบค่าไบนารี เพื่อให้ตรวจสอบการเปลี่ยนแปลงในกระบวนการถอดลายน้ำ และสามารถระบุตำแหน่งของการเปลี่ยนแปลงได้ ซึ่งเทคนิคการแทรกนี้มีประสิทธิภาพและคงทนกว่าการแทรกค่าไบนารี (Binary) ในบิตที่มีความสำคัญน้อยที่สุด (LSB) การใช้รหัสลับในการสุ่มเทียบสร้างตารางเทียบค่าไบนารีทำให้สามารถควบคุมการปรับปรุงค่าความเข้มบนจุดภาพ และยากต่อการปลอมแปลงรายละเอียดเนื้อหาของภาพ แต่มีข้อเสียของการแทรกลายน้ำในโดเมนพื้นที่คือ จะมีความคงทนต่อการโจมตีด้วยกระบวนการประมวลผลสัญญาณ (Signal Processing) น้อยกว่าการแทรกลายน้ำโดเมนความถี่

งานวิจัยของ M. Wu และ B. Liu [38] นำเทคนิคการเข้ารหัส JPEG มาใช้ การแทรกบิตลายน้ำนั้นจะทำการปรับปรุงค่าสัมประสิทธิ์ซึ่งผ่านการแปลง DCT และการแทรกลายน้ำผ่านตารางเทียบค่าไบนารีซึ่งสร้างจากการใช้รหัสลับ ขั้นตอนการถอดลายน้ำก็ผ่านกระบวนการเดิมจากนั้นได้ทำการทดสอบปลอมแปลงภาพลายน้ำโดยทำการลบรายละเอียดบางส่วนของภาพทิ้งแล้วเพิ่มรายละเอียดอื่นลงไปภาพแทน ผลการทดลองพบว่าลายน้ำที่ถอดออกมาสามารถระบุตำแหน่งปลอมแปลงได้

งานวิจัยของ S. Anahita Mortazavi และ คณะ [39] ได้ใช้ Diffie-Hellman key ซึ่งพัฒนาวิทยาการรหัสลับชนิดกุญแจสาธารณะ (Public-key cryptography) เพื่อแก้ปัญหาการจัดการกุญแจ (Key management) โดยใช้กุญแจสองดอก โดยกุญแจดอกแรกเรียกว่า กุญแจสาธารณะ (Public key) ส่วนกุญแจดอกสองเรียกว่า กุญแจส่วนตัว (Private key) ใช้ในการถอดรหัสลับข้อความ โดยนำเสนอ Many-to-many group key management

งานวิจัยของ Schyndel และคณะ [40] ได้เสนอวิธีการฝังลงในบิตที่มีความสำคัญน้อยสุด (Least Significant Bit : LSB) ของแต่ละจุดภาพในรูปภาพ โดยอิงสมมุติฐานที่ว่า การเปลี่ยนแปลงที่ตำแหน่ง LSB จะส่งผลกระทบต่อคุณภาพของภาพน้อยที่สุด ข้อเสียของงานวิจัย คือ จะไม่มีความทนทานต่อการโจมตีที่รวมสัญญาณรบกวนกับตัวข้อมูลแล้วเปลี่ยนแปลงค่าของ LSB ให้เป็น 0 หรือ 1 ทั้งหมด

งานวิจัยของ สิริพร ผลสมบูรณ์ [29] ได้นำเสนอเทคนิคการทำลายน้ำดิจิทัลสำหรับรูปภาพเพื่อใช้พิสูจน์สิทธิความเป็นเจ้าของ (Ownership identification) และตรวจสอบการถูกเปลี่ยนแปลงแก้ไขบนตัวสื่อ (Media authentication) ซึ่งในวิทยานิพนธ์นี้เราจะพิจารณาเฉพาะสื่อรูปภาพเท่านั้น โดยมีคุณสมบัติในด้านความคงทนต่อกระบวนการประมวลผลใดๆ ที่อาจเกิดขึ้นกับรูปภาพ โดยในการฝังลายน้ำใช้การทรานฟอร์ม DFT ข้อเสียของงานวิจัย คือ เมื่อเพิ่มขนาดของภาพให้ใหญ่ขึ้น ส่งผลให้ถอดลายน้ำออกมาได้ไม่ดี

งานวิจัยของ ประทาน โชติพันธุ์บัณฑิตย์ [41] ได้นำเสนอเทคนิคการซ่อนข้อมูลและเพิ่มความมั่นคงสำหรับเอกสารสิ่งพิมพ์ โดยการนำเทคโนโลยีดาต้ากลิฟส์และการเพิ่มสัญลักษณ์ เพื่อเพิ่มความปลอดภัยและป้องกันไม่ให้ผู้ที่ไม่มีสิทธิ์ในการเข้าถึงข้อมูล สามารถเข้าถึงข้อมูลได้ โดยใช้เทคโนโลยีดาต้ากลิฟส์มาแปลงข้อมูลที่ต้องการปกปิดให้อยู่ในรูปแบบที่ไม่สามารถอ่านหรือรับรู้ได้ด้วยสายตาแลเพิ่มสัญลักษณ์ในการเพิ่มความจุข้อมูล ข้อเสียของงานวิจัย คือ ถ้ามีสัญลักษณ์มาก ก็มีโอกาสที่ทำให้การถอดข้อมูลออกมานั้นผิดพลาดได้มากกว่าสัญลักษณ์น้อย

งานวิจัยของ มหศักดิ์ เกตุฉ่ำ [21] ได้นำเสนอเทคนิคการทำลายน้ำดิจิทัลสำหรับสื่อประเภทเสียงเพื่อใช้พิสูจน์ความเป็นเจ้าของ (Ownership identification) ซึ่งพิจารณาเฉพาะสื่อประเภทเสียงและรูปภาพที่เป็นลายน้ำ และลายน้ำมีคุณสมบัติในด้านความคงทนต่อกระบวนการประมวลผลใด ๆ และไม่ลดทอนคุณภาพของสัญญาณเสียง โดยพัฒนาอัลกอริทึมที่ร่วมกับวิธีเชิงพันธุกรรม (Genetic Algorithms) เพื่อหาดำแหน่งที่ดีที่สุดที่ใช้ในการฝังลายน้ำ

งานวิจัยของ นริศ หนูหอม [42] ได้นำเสนอเทคนิควิธีการฝังและวิธีการถอดลายน้ำอเนกประสงค์บนรูปภาพดิจิทัล เพื่อให้สามารถนำมาใช้ตรวจสอบรับรองความเป็นต้นฉบับและ

พิสูจน์ความเป็นเจ้าของลิขสิทธิ์ได้ในคราวเดียวกัน โดยวิธีการฝังและวิธีการถอดลายน้ำ  
 อเนกประสงค์ดังกล่าวจะกระทำบนเอสวีดี (Single value decomposition, SVD)

งานวิจัยของ สุวรรณ สุตันยสุวรรณ [43] ได้นำเสนอเอาเทคโนโลยีรหัสแท่ง (Barcode) และ เทคโนโลยีดาต้ากิลฟ์ (Data glyphs) มาใช้ฝังข้อมูลลงบนสื่อสิ่งพิมพ์ โดยทำการปรับปรุงให้มีความหนาแน่นมากขึ้นและมีความถูกต้องสูงเมื่อทำการอ่านค่าที่บันทึกกลับ ข้อเสียของงานวิจัยคือ การใช้ระดับเฉดสีมีข้อจำกัดจำนวนมาก ทั้งขอบเขตและช่องว่างระหว่างสี ทำให้ไม่สามารถแบ่งแยกสีที่มีเฉดเดียวกันได้มาก

งานวิจัยของ Kundur และ Hatzinakos [44] อธิบายการใช้เทคนิคการแปลงเวฟเล็ต และการทำการแทรกลายน้ำ เน้นที่กระบวนการปรับค่าสัมประสิทธิ์ ผลการทดลองสามารถระบุตำแหน่งปลอมแปลงได้ โดยแยกองค์ประกอบด้วยวิธีเวฟเล็ต (Wavelet) ซึ่งให้ข้อมูลทั้งโดเมนความถี่ (Frequency) และโดเมนพื้นที่ (Spatial) ทำให้สามารถตรวจสอบสัญญาณที่ถูกเปลี่ยนแปลงได้

งานวิจัยของ Ruanaidh และ คณะ [45] นำเสนอวิธี DFT โดยการปรับแต่งเฟส (Phase) การทำลายน้ำโดยการปรับแต่งเฟสนั้นทำให้ลายน้ำทนทานต่อความเสียหายที่เกิดจากการปรับความเข้มจากนั้นแสดงให้เห็นวิธีการใช้การแปลงแบบ Fourier Mellin ในการทำลายน้ำดิจิทัล

งานวิจัยของ Li Li และ คณะ [46] นำเสนอวิธี DCT โดยมุ่งเน้นการใส่ Noise ที่แตกต่างกัน ได้แก่ Fuzzy, Gaussian, Random และ Salt and pepper แล้วพิจารณาสัมประสิทธิ์ในการฝังลายน้ำ โดยในการทดลองได้กล่าวว่าจากการทดลองการนำ 2D Barcode มาประยุกต์ใช้นั้นเป็นไปได้โดยมีประสิทธิภาพ

## บทที่ 3

### วิธีดำเนินการวิจัย

ในบทนี้จะกล่าวถึงการดำเนินงานวิจัยซึ่งประกอบด้วย การเข้ารหัสข้อมูล QR Code (จากหัวข้อ 2.2), นำข้อมูล QR Code เข้าสู่กระบวนการฝังผ่านการทรานฟอร์ม 3 แบบ ได้แก่ DCT, DFT และ DWT (จากหัวข้อ 2.6), นำข้อมูล QR Code ที่ผ่านการฝังเข้าสู่กระบวนการถอดลายน้ำดิจิทัล (จากหัวข้อ 2.6), การถอดรหัสข้อมูล QR Code (จากหัวข้อ 2.3) และการวัดประสิทธิภาพของลายน้ำดิจิทัล (จากหัวข้อ 2.5.7) โดยมีแผนภาพรวมเป็นดังภาพที่ 3-1 โดยแบ่งออกไป 3 ส่วนใหญ่ๆ ดังต่อไปนี้

#### 3.1 ภาพรวมทั้งหมดของงานวิจัย

##### 3.1.1 การเข้ารหัสข้อมูล QR Code

3.1.1.1 Input Data คือ เริ่มต้นด้วยกำหนดข้อความที่เราใช้เข้ารหัส QR Code

3.1.1.2 Encode QR Code คือ เป็นการนำข้อความ (ผลลัพธ์ 3.1.1.1) ผ่านกระบวนการเข้ารหัส QR Code

3.1.1.3 QR Code Original คือ ข้อมูลที่ได้หลังจากผ่านการเข้ารหัส QR Code (ผลลัพธ์จาก 3.1.1.2)

##### 3.1.2 กระบวนการฝังลายน้ำดิจิทัล

3.1.2.1 Embedding (DCT/DFT/DWT) คือ ทำการเลือกการทรานฟอร์มเพื่อแปลง (ผลลัพธ์จาก 3.1.1.3) ให้อยู่ในโดเมนความถี่ การเลือกการทรานฟอร์มในภาพ 3-1 มีทั้งหมด 3 แบบ ได้แก่ DCT, DFT และ DWT เพื่อเข้าสู่กระบวนการฝังลายน้ำดิจิทัลใน โดยจะกระทำผ่าน Look-up table และ Key ได้ Watermarked QR Code

3.1.2.2 Calculate PSNR and Time คือ คำนวณหา PSNR และ Time จาก

Watermarked QR Code (ที่ได้จาก 3.1.2.1)

3.1.2.3 Result คือ ค่าที่ได้จากการคำนวณหา PSNR และ Time (ที่ได้จาก 3.1.2.2)

### 3.1.3 กระบวนการถอดลายน้ำดิจิทัล

3.1.3.1 Extracting (DCT/DFT/DWT) คือ ทำการเลือกการทรานฟอร์มในการแปลงกลับเพื่อมาผ่านกระบวนการถอดลายน้ำดิจิทัล โดยผ่าน Look-up table และ Key

3.1.3.2 Watermark คือ ทำให้เราได้ลายน้ำดิจิทัลจากการทรานฟอร์มในการแปลงกลับ (ผลลัพธ์จาก 3.1.3.1)

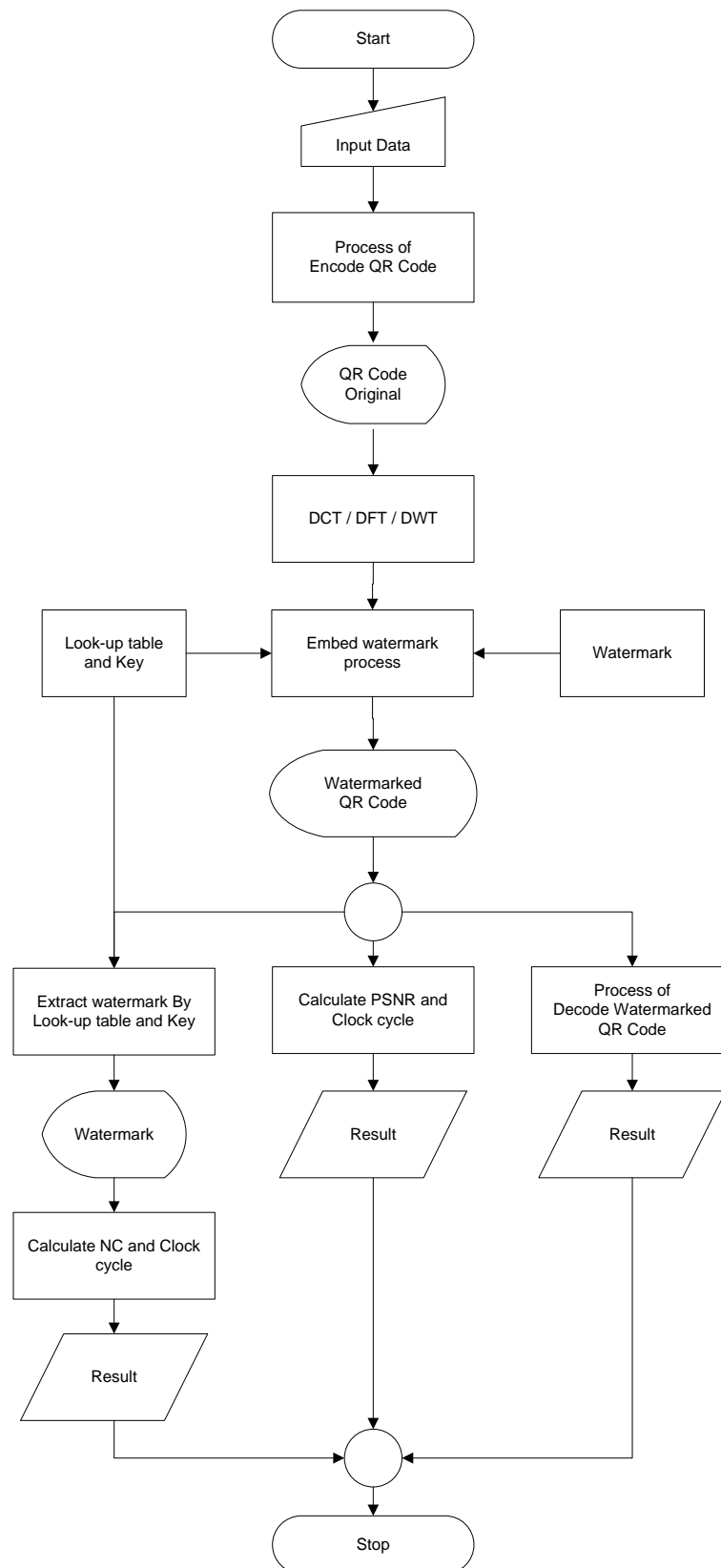
3.1.3.3 Calculate NC and Time คือ คำนวณหา NC และ Time จากลายน้ำดิจิทัล (ผลลัพธ์ที่ได้จาก 3.1.3.2)

3.1.3.4 Result คือ ค่าที่ได้จากการคำนวณหา NC และ Time (ที่ได้จาก 3.1.3.3)

### 3.1.4 การถอดรหัสข้อมูล QR Code

3.1.4.1 Decode Watermarked QR Code คือ การถอดรหัสข้อมูล Watermarked QR Code (ที่ได้จาก 3.1.2.1)

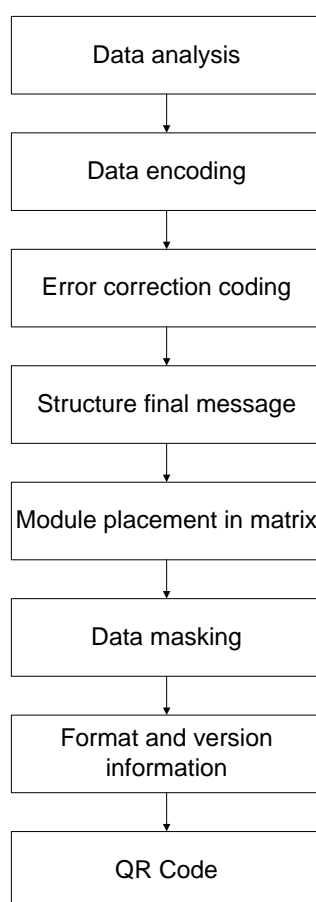
3.1.4.2 Result คือ ผลลัพธ์ที่ได้จากการถอดรหัสข้อมูล (ที่ได้จาก 3.1.4.1)



ภาพที่ 3-1 โครงสร้างทั้งหมดของงานวิจัย

### 3.2 การเข้ารหัสข้อมูล QR Code (Encode QR Code Procedure)

ในงานวิจัยนี้ เราสนใจการเข้ารหัสการแปลงจากข้อมูลชนิด Numeric และ Alphanumeric เท่านั้น ส่วนในการคำนวณ Error Correction Level เราสนใจแค่ระดับ L เท่านั้น เนื่องจากงานวิจัยมุ่งเน้นการหาวิธีแก้ไขปัญหา QR Code ไม่สามารถซ่อนข้อมูลได้ เราจึงแก้ปัญหาโดยการนำลายน้ำมาใช้ ในรายละเอียดการเข้ารหัส QR Code ได้กล่าวไว้ในหัวข้อ 2.2 โดยมีขั้นตอนการคิดในการเข้ารหัส ดังภาพที่ 3-2



ภาพที่ 3-2 กระบวนการเข้ารหัสของ QR Code

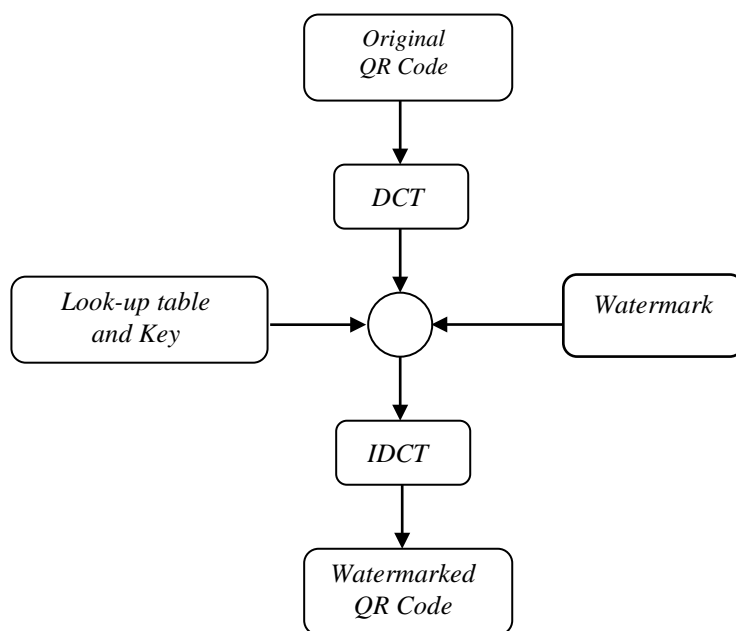
### 3.3 กระบวนการฝังลายน้ำดิจิทัล (Embed Watermark in QR Code Procedure)

ในงานวิจัยนี้ เราใช้การฝังลายน้ำดิจิทัลรวมเข้ากับข้อมูล QR Code เพื่อแก้ปัญหา ซึ่งในกระบวนการฝังลายน้ำดิจิทัล เราต้องการดูรูปแบบการทราานฟอร์ม 3 แบบ ซึ่งได้แก่ DCT, DFT และ DWT ซึ่งมีขั้นตอนการฝังลายน้ำดิจิทัล ดังต่อไปนี้

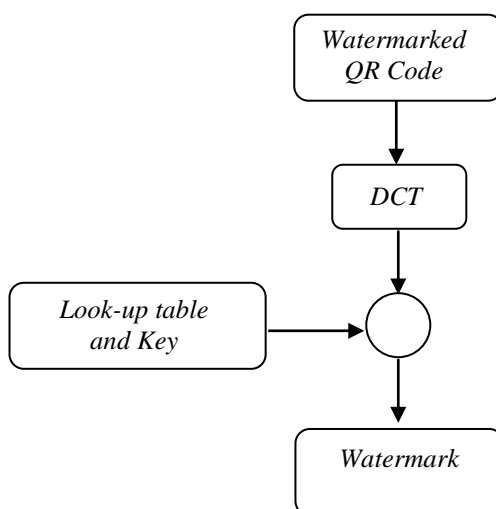


### 3.3.1 กระบวนการฝังลายน้ำดิจิทัลด้วย DCT

แผนภาพกระบวนการฝังลายน้ำดิจิทัลด้วย DCT แสดงดังภาพที่ 3-3 และ 3-4



ภาพที่ 3-3 โครงร่างของเทคนิคการทำลายน้ำดิจิทัลแบบ DCT ในกระบวนการฝังลายน้ำดิจิทัล



ภาพที่ 3-4 โครงร่างของเทคนิคการทำลายน้ำดิจิทัลแบบ DCT ในกระบวนการถอดลายน้ำดิจิทัล

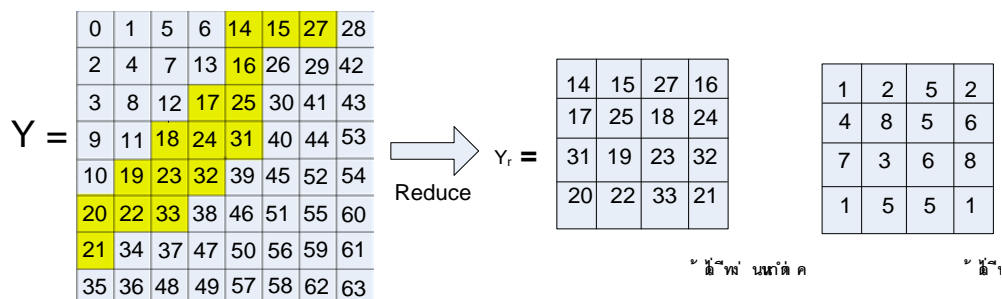
เมื่อแบ่งข้อมูล QR Code ต้นฉบับออกเป็นบริเวณแล้ว จำนวนบริเวณทั้งหมดต้องสัมพันธ์กับข้อมูล QR Code ต้นฉบับ คือ  $\frac{N_1}{8} \times \frac{N_2}{8}$  บริเวณ เช่น ถ้า  $N_1 = N_2 = 512$  จุดภาพ จึงทำให้ได้บริเวณในข้อมูล QR Code ต้นฉบับเป็น  $64 \times 64$  บริเวณ ดังภาพที่ 3-5

|                      |    |                      |       |       |
|----------------------|----|----------------------|-------|-------|
|                      |    | N <sub>1</sub> = 512 |       |       |
|                      | 1  | 2                    | ..... | 64    |
| N <sub>2</sub> = 512 | 2  |                      |       |       |
|                      | .  |                      |       |       |
|                      | .  |                      |       |       |
|                      | .  |                      |       |       |
|                      | 64 |                      |       | 64x64 |

ภาพที่ 3-5 การแบ่งข้อมูล QR Code ต้นฉบับออกเป็นบริเวณไม่ซ้อนทับกัน

ภาพลายน้ำดิจิทัลก็แบ่งในลักษณะเดียวกัน โดยขนาดแต่ละบริเวณบนภาพลายน้ำดิจิทัลนั้น มีความสัมพันธ์กับข้อมูล QR Code ต้นฉบับและภาพลายน้ำดิจิทัล คือสามารถแบ่งบริเวณภาพลายน้ำดิจิทัลได้  $(M_1 \times \frac{8}{N_1}) \times (M_2 \times \frac{8}{N_2})$  บริเวณ ในงานวิจัยถ้าข้อมูล QR Code ต้นฉบับขนาด  $512 \times 512$  จุดภาพ แทนค่าลงในความสัมพันธ์ จะได้ขนาดของบริเวณแต่ละบริเวณบนภาพลายน้ำดิจิทัล คือ  $(64 \times \frac{8}{512}) \times (64 \times \frac{8}{512}) = 1 \times 1$  จุดภาพ เมื่อทำการแบ่งภาพข้อมูล QR Code ต้นฉบับเป็นบริเวณไม่ซ้อนทับกัน โดยแต่ละบริเวณมีขนาด  $8 \times 8$  จุดภาพ จะทำการแปลงข้อมูล QR Code ต้นฉบับที่อยู่ในรูปของสัญญาณดิจิทัลซึ่งอยู่ในโดเมนเวลา (Time Domain) ไปเป็นสัญญาณที่อยู่ในโดเมนความถี่ (Frequency Domain) การแปลงข้อมูล QR Code ต้นฉบับใช้การแปลงแบบ DCT แล้วค่าความถี่ที่ได้ในแต่ละจุดภาพจะอยู่ในรูปของจำนวนจริงซึ่งสามารถนำค่าเหล่านี้ไปทำการเปลี่ยนแปลงแก้ไข ซึ่งการแปลงแบบ DCT มีรายละเอียดอยู่ในหัวข้อ 2.6.1 โดยในการเลือกค่าสัมประสิทธิ์จะเลือกที่อยู่ในความถี่ช่วงกลางดังภาพที่ 2-31 เนื่องจากเมื่อทำการฝังภาพลายน้ำแล้วภาพผลลัพธ์จะเกิดการเปลี่ยนแปลงน้อยสุด โดยทำการเลือกค่าสัมประสิทธิ์ความถี่ช่วงกลางด้วยวิธีจัดเรียงแบบ Zigzag และจะต้องเก็บตำแหน่งที่เลือกไว้ด้วย แล้วนำมาจัดเรียงใหม่ซึ่งจะได้ค่า

สัมประสิทธิ์ที่มีขนาด  $4 \times 4$  จุดภาพ ดังภาพที่ 3-5 โดยตำแหน่งของจุดภาพที่ทำการเลือกนั้นจะเหมือนกันทุกบริเวณและทำเช่นนี้ไปจนครบทุกบริเวณ



ภาพที่ 3-6 การเลือกค่าสัมประสิทธิ์ของความถี่กลางด้วยวิธี Zigzag

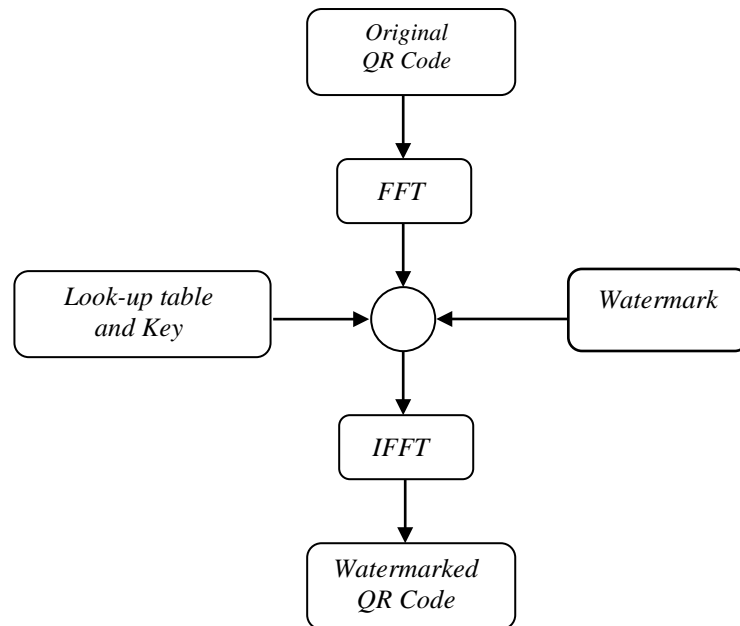
โดยในงานวิจัยใช้เทคนิคการฝัง PN Sequence ไปยังความถี่กลางของ DCT Block ที่ได้ ซึ่งก็คือค่าสัมประสิทธิ์ที่ได้จากภาพที่ 3-6 โดยเราสามารถคำนวณได้โดยใช้สมการต่อไปนี้

$$I_{W_{x,y}}(u,v) = \begin{cases} I_{x,y}(u,v) + k * W_{x,y}(u,v), & u,v \in F_M \\ I_{x,y}(u,v), & u,v \notin F_M \end{cases} \quad (3-1)$$

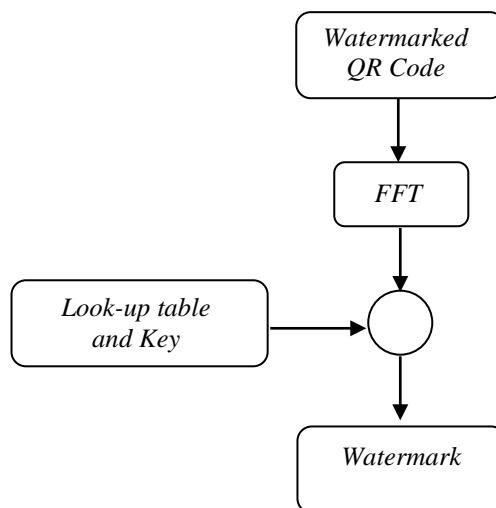
จากสมการที่ 3-1 เป็นการฝัง CDMA Watermark ไปยังความถี่กลางของ DCT โดยการนำค่าสัมประสิทธิ์ที่ได้จากภาพที่ 3-6 เพิ่มค่า PN Sequence เข้าไป จากสมการที่ 3-1 นั้น  $I_{W_{x,y}}(u,v)$  เป็นค่าสัมประสิทธิ์ที่ได้จากภาพที่ 3-6 ถ้าอยู่ช่วงความถี่กลางให้เพิ่มค่า PN Sequence ที่กระทำรบกวนกับค่า Gain factor (k) ลงไป ซึ่งจะกระทำผ่าน Look-up table และ Key ซึ่งจะกล่าวถึงในหัวข้อ 3.3.4 หลังจากนั้นให้ทำการทรานฟอร์มกลับโดยใช้ IDCT ซึ่งมีรายละเอียดอยู่ในหัวข้อ 2.6.1

### 3.3.2 กระบวนการฝังลายน้ำดิจิตอลด้วย DFT

แผนภาพกระบวนการฝังลายน้ำดิจิตอลด้วย DFT แสดงดังภาพที่ 3-7 และ 3-8



ภาพที่ 3-7 โครงร่างของเทคนิคการทำลายน้ำดิจิทัลแบบ DFT ในกระบวนการฝังลายน้ำดิจิทัล



ภาพที่ 3-8 โครงร่างของเทคนิคการทำลายน้ำดิจิทัลแบบ DFT ในกระบวนการถอดลายน้ำดิจิทัล

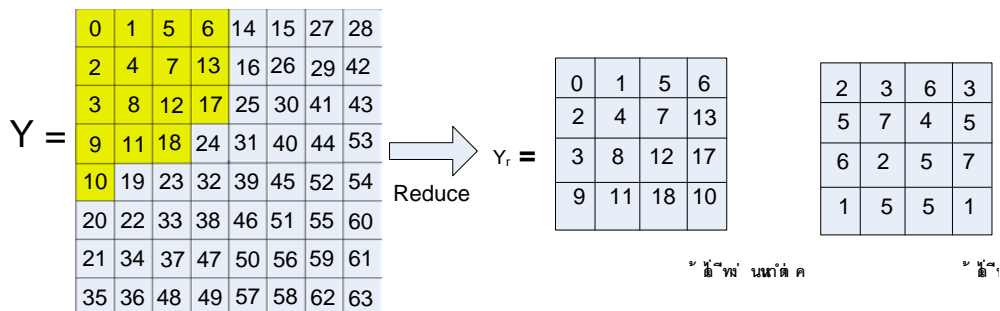
โดยในการแปลง DFT เพื่อทำการฝังลายน้ำจะมีหลักการคล้ายกับการแปลง DCT ซึ่งมีรายละเอียดดังต่อไปนี้ เมื่อแบ่งข้อมูล QR Code ต้นฉบับออกเป็นบริเวณแล้ว จำนวนบริเวณทั้งหมดต้องสัมพันธ์กับข้อมูล QR Code ต้นฉบับ คือ  $\frac{N_1}{8} \times \frac{N_2}{8}$  บริเวณ เช่น ถ้า  $N_1 = N_2 = 512$  จุดภาพ จึงทำให้ได้บริเวณในข้อมูล QR Code ต้นฉบับเป็น  $64 \times 64$  บริเวณ ดังภาพที่ 3-9

|                      |   |       |    |       |
|----------------------|---|-------|----|-------|
| N <sub>1</sub> = 512 |   |       |    |       |
| 1                    | 2 | ..... | 64 |       |
| 2                    |   |       |    |       |
| .                    |   |       |    |       |
| .                    |   |       |    |       |
| .                    |   |       |    |       |
| 64                   |   |       |    | 64x64 |
| N <sub>2</sub> = 512 |   |       |    |       |

ภาพที่ 3-9 การแบ่งข้อมูล QR Code ต้นฉบับออกเป็นบริเวณไม่ซ้อนทับกัน

ภาพลายน้ำดิจิทัลก็แบ่งในลักษณะเดียวกัน โดยขนาดแต่ละบริเวณบนภาพลายน้ำดิจิทัลนั้น มีความสัมพันธ์กับข้อมูล QR Code ต้นฉบับและภาพลายน้ำดิจิทัล คือ สามารถแบ่งบริเวณภาพลายน้ำดิจิทัลได้  $(M_1 \times \frac{8}{N_1}) \times (M_2 \times \frac{8}{N_2})$  บริเวณ ในงานวิจัยถ้าข้อมูล QR Code ต้นฉบับขนาด  $512 \times 512$  จุดภาพ แทนค่าลงในความสัมพันธ์ จะได้ขนาดของบริเวณแต่ละบริเวณบนภาพลายน้ำดิจิทัล คือ  $(64 \times \frac{8}{512}) \times (64 \times \frac{8}{512}) = 1 \times 1$  จุดภาพ เมื่อทำการแบ่งภาพข้อมูล QR Code ต้นฉบับเป็นบริเวณไม่ซ้อนทับกัน โดยแต่ละบริเวณมีขนาด  $8 \times 8$  จุดภาพ จะทำการแปลงข้อมูล QR Code ต้นฉบับที่อยู่ในรูปของสัญญาณดิจิทัลซึ่งอยู่ในโดเมนเวลา (Time Domain) ไปเป็นสัญญาณที่อยู่ในโดเมนความถี่ (Frequency Domain) การแปลงข้อมูล QR Code ต้นฉบับใช้การแปลงแบบ DFT แล้วค่าความถี่ที่ได้ในแต่ละจุดภาพจะอยู่ในรูปของจำนวนจริงซึ่งสามารถนำค่าเหล่านี้ไปทำการเปลี่ยนแปลงแก้ไข ซึ่งการแปลงแบบ DFT มีรายละเอียดอยู่ในหัวข้อ 2.6.1 โดยในการเลือกค่าสัมประสิทธิ์จะเลือกที่อยู่ในความถี่ช่วงต่ำดังภาพที่ 2-32 เนื่องจากเมื่อทำการฝังภาพลายน้ำแล้วภาพผลลัพธ์จะเกิดการเปลี่ยนแปลงน้อยสุด โดยทำการเลือกค่าสัมประสิทธิ์ความถี่ช่วงต่ำด้วยวิธีจัดเรียงแบบ Zigzag และจะต้องเก็บตำแหน่งที่เลือกไว้ด้วย แล้วนำมาจัดเรียงใหม่ซึ่งจะได้ค่า

สัมประสิทธิ์ที่มีขนาด  $4 \times 4$  จุดภาพ ดังภาพที่ 3-10 โดยตำแหน่งของจุดภาพที่ทำการเลือกนั้นจะเหมือนกันทุกบริเวณและทำเช่นนี้ไปจนครบทุกบริเวณ



ภาพที่ 3-10 การเลือกค่าสัมประสิทธิ์ของความถี่กลางด้วยวิธี Zigzag

โดยในงานวิจัยใช้เทคนิคการฝัง PN Sequence ไปยังความถี่ต่ำของ DFT Block ที่ได้ ซึ่งก็คือค่าสัมประสิทธิ์ที่ได้จากตารางภาพที่ 3-8 โดยเราสามารถคำนวณได้โดยใช้สมการต่อไปนี้

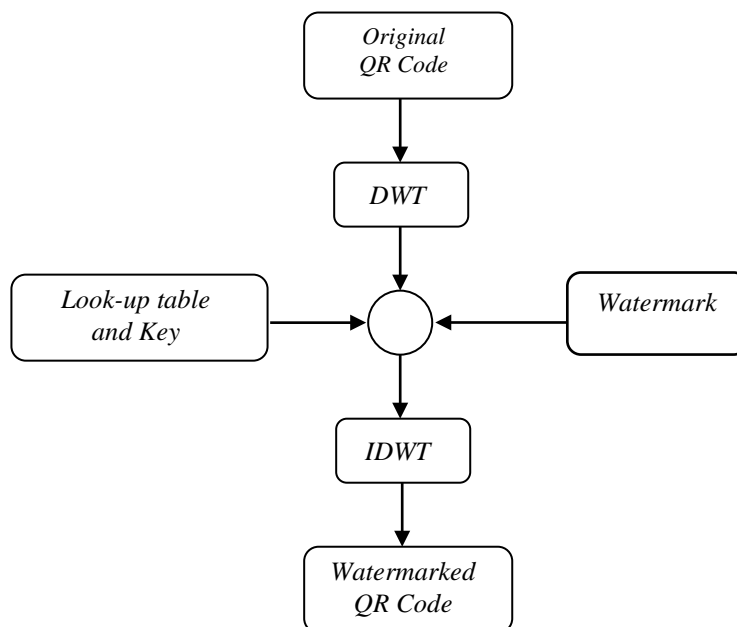
$$I_{w_{x,y}}(u, v) = \begin{cases} I_{x,y}(u, v) + k * W_{x,y}(u, v), & u, v \in F_L \\ I_{x,y}(u, v), & u, v \notin F_L \end{cases} \quad (3-2)$$

จากสมการที่ 3-2 เป็นการฝัง CDMA Watermark ไปยังความถี่ต่ำของ DFT โดยการนำค่าสัมประสิทธิ์ที่ได้จากภาพที่ 3-8 เพิ่มค่า PN Sequence เข้าไป จากสมการที่ 3-2 นั้น  $I_{w_{x,y}}(u, v)$  เป็นค่าสัมประสิทธิ์ที่ได้จากภาพที่ 3-8 ถ้าอยู่ช่วงความถี่ต่ำให้เพิ่มค่า PN Sequence ที่กระทำการคูณกับค่า Gain factor (k) ลงไป ซึ่งจะกระทำผ่าน Look-up table และ Key ซึ่งจะกล่าวถึงในหัวข้อ 3.3.4 หลังจากนั้นให้ทำการทรานฟอร์มกลับ โดยใช้ IDCT ซึ่งมีรายละเอียดอยู่ในหัวข้อ 2.6.1

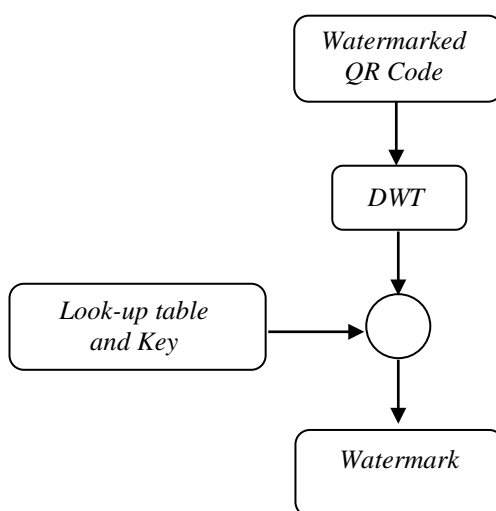
### 3.3.3 กระบวนการฝังลายน้ำดิจิตอลด้วย DWT

การฝังลายน้ำดิจิตอลด้วยการทรานฟอร์มวิธีนี้ จะมีหลักการแตกต่างจาก 2 วิธีแรก ที่กระทำบนข้อมูล QR Code ต้นฉบับทั้งหมด ซึ่งได้มีการพัฒนามาจากการแปลงสัญญาณพื้นฐานที่มีอยู่เดิม โดยวิธีนี้ผลการวิเคราะห์จะออกมาในรูปของการแตก

องค์ประกอบของสัญญาณใดๆ ออกมา ดังในภาพที่ 2-32 ที่มีแผนภาพกระบวนการฝังลายน้ำดิจิทัลด้วย DWT แสดงดังภาพที่ 3-11 และ 3-12



ภาพที่ 3-11 โครงร่างของเทคนิคการทำลายน้ำดิจิทัลแบบ DWT ในกระบวนการฝังลายน้ำดิจิทัล

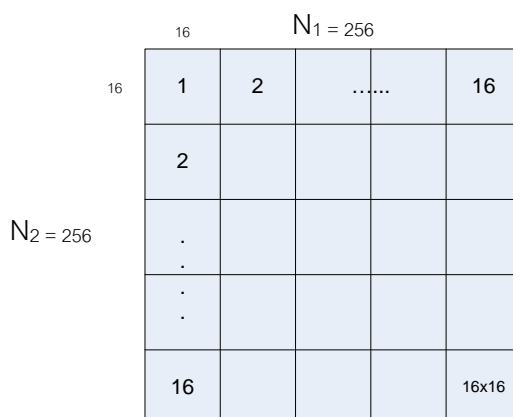


ภาพที่ 3-12 โครงร่างของเทคนิคการทำลายน้ำดิจิทัลแบบ DWT ในกระบวนการถอดลายน้ำดิจิทัล

กำหนดให้  $X$  แทนข้อมูล QR Code ต้นฉบับ ขนาด  $N_1 \times N_2$  จุดภาพ ข้อมูล QR Code ต้นฉบับ สามารถแทนด้วย สมการที่ (3-3)

$$X = \{X(i,j); 0 \leq i < N_1, 0 \leq j < N_2\} \quad (3-3)$$

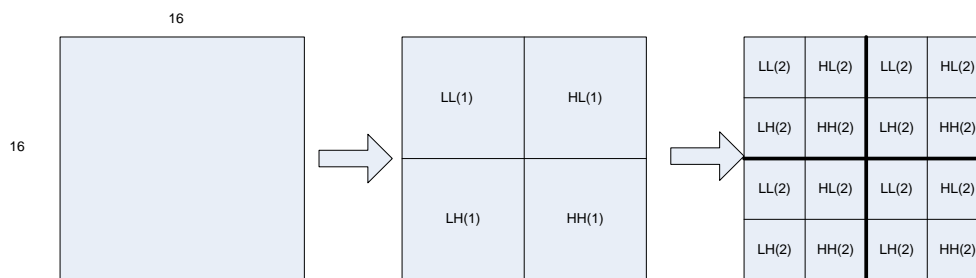
เมื่อ  $X(i,j)$  คือความเข้มของจุดภาพที่ตำแหน่ง  $(i,j)$  ในแต่ละจุดภาพ จากนั้นทำการแบ่งข้อมูล QR Code ต้นฉบับออกเป็นบริเวณ (Block) ขนาด  $16 \times 16$  จุดภาพ จำนวนบริเวณทั้งหมดที่ได้มีความสัมพันธ์กับข้อมูล QR Code ต้นฉบับคือ  $\frac{N_1}{16} \times \frac{N_2}{16}$  บริเวณ เช่น ถ้า  $N_1 = N_2 = 256$  จุดภาพ จะทำให้ได้จำนวนบริเวณในข้อมูล QR Code ต้นฉบับดังกล่าวเป็น  $16 \times 16$  บริเวณ ดังภาพที่ 3-13



ภาพที่ 3-13 การแบ่งข้อมูล QR Code ต้นฉบับออกเป็นบริเวณละ  $16 \times 16$  จุดภาพ

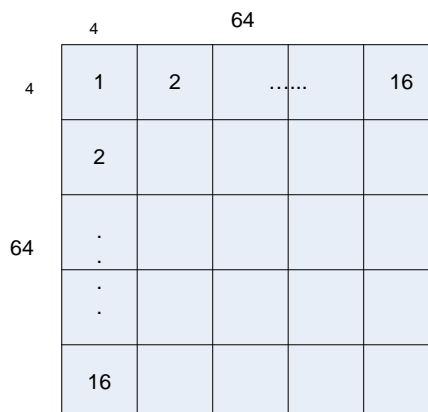
ข้อมูล QR Code ต้นฉบับขนาดบริเวณละ  $16 \times 16$  จุดภาพ จะถูกแปลงจากโดเมนปกติให้อยู่ในโดเมนความถี่ด้วยวิธีการแปลงเวฟเล็ตแพกเกตส์ โดยค่าระดับในการแปลงข้อมูล QR Code ต้นฉบับเมื่อผ่านการแปลงแล้ว จะมีขนาดเท่ากับลายน้ำดิจิทัลอล เช่น ลายน้ำดิจิทัลอลที่ถูกแบ่งให้มีขนาด  $4 \times 4$  จุดภาพ และข้อมูล QR Code ต้นฉบับขนาด  $16 \times 16$  จุดภาพนั้น แสดงว่าระดับการแปลงข้อมูล QR Code ต้นฉบับโดยใช้การแปลงเวฟเล็ตแบบฮาร์ (Haar Wavelet) จะมีค่าระดับเป็น 2 จึงจะทำให้ข้อมูล QR Code ต้นฉบับที่จะเลือกแทรกลายน้ำมีขนาดเท่ากับขนาดของลายน้ำดิจิทัลอล คือ  $4 \times 4$  จุดภาพ ดังภาพที่ 3-14





ภาพที่ 3-14 เวฟเล็ตแบบไม่ต่อเนื่องระดับที่ 1 และ 2 ของข้อมูล QR Code ต้นฉบับ

การแบ่งพื้นที่ภาพลายน้ำดิจิทัลจะทำการแบ่งในลักษณะเดียวกัน โดยแต่ละบริเวณบนภาพลายน้ำนั้นมีความสัมพันธ์กับข้อมูล QR Code ต้นฉบับและภาพลายน้ำคือ  $(M_i \times \frac{16}{N_1}) \times (M_j \times \frac{16}{N_2})$  ซึ่งในที่นี้จะได้บริเวณบนภาพลายน้ำที่มีขนาด  $4 \times 4$  จุดภาพ ดังภาพที่ 3-15



ภาพที่ 3-15 การแบ่งภาพลายน้ำดิจิทัลเป็นบริเวณขนาด  $4 \times 4$  จุดภาพ

เนื่องจากการแทรกลายน้ำดิจิทัลลงในข้อมูล QR Code ต้นฉบับจะกระทำเป็นบริเวณต่อบริเวณ ดังนั้นจำนวนบริเวณที่ได้จากการแบ่งข้อมูล QR Code ต้นฉบับกับการแบ่งลายน้ำดิจิทัลจะต้องเป็น  $16 \times 16$  บริเวณเท่ากัน การแปลงเทคนิคนี้ใช้ DWT ในการทรานฟอร์ม และทำการแปลงกลับเวฟเล็ต IDWT ทำจนครบทุกบริเวณของภาพ จากนั้นทำบริเวณทั้งหมดรวมกลับคืนจะได้ภาพที่มีลายน้ำแฝงอยู่

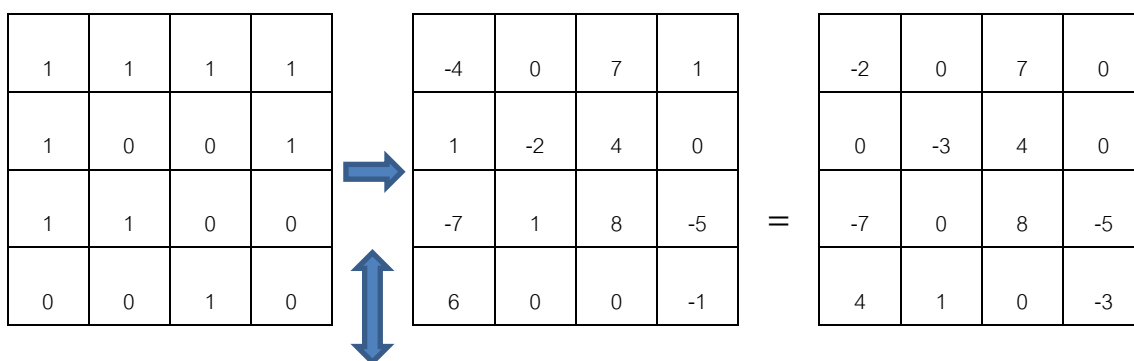
### 3.3.4 ตารางเทียบค่าไบนารี (Look-up table)

การแทรกเปลี่ยนน้ำดิจิตอลบนข้อมูล QR Code ต้นฉบับจะกระทำผ่านตารางเทียบค่าไบนารี ซึ่งมีรหัสลับที่ใช้ในการสร้างตารางเทียบค่าไบนารี โดยรหัสลับที่ใช้สร้างตารางนี้จะต้องเป็นรหัสลับเดียวกันทั้งตอนแทรกและถอดเปลี่ยนน้ำดิจิตอล จึงจะได้เปลี่ยนน้ำดิจิตอลกลับคืนมา ตารางเทียบค่าไบนารี คือ ตารางที่เป็นไปได้ทั้งหมดของสัมประสิทธิ์จากการแปลงเป็นโดเมนความถี่เทียบกับค่าไบนารีที่ได้จากการสุ่ม การแทรกบิตลายน้ำลงในสัมประสิทธิ์ภาพต้นฉบับ ณ ตำแหน่งใดๆ หากค่าบิตลายน้ำนั้นมีค่าเท่ากับค่าไบนารี ณ ตำแหน่งสัมประสิทธิ์ค่าเดียวกัน ไม่ต้องทำการเปลี่ยนค่าสัมประสิทธิ์นั้น ๆ ให้ใช้ค่าสัมประสิทธิ์เดิม แต่หากบิตลายน้ำที่แทรกมีค่าไม่ตรงกับค่าไบนารี ณ ตำแหน่งนั้น ให้หาค่าสัมประสิทธิ์ใหม่ข้างเคียงที่มีค่าไบนารีตรงกับค่าบิตลายน้ำนั้น แล้วเปลี่ยนค่าสัมประสิทธิ์เดิมเป็นค่าสัมประสิทธิ์ใหม่แทนที่ เช่น การแทรกบิตลายน้ำค่า 1 ลงในสัมประสิทธิ์ของข้อมูล QR Code ต้นฉบับ สัมประสิทธิ์ของข้อมูล QR Code ต้นฉบับจะไม่ถูกเปลี่ยนแปลง ถ้าค่าไบนารี ณ ตำแหน่งสัมประสิทธิ์เดียวกันในตารางเทียบค่าไบนารีมีค่าเป็น 1 เหมือนกัน แต่ถ้าค่าไบนารี ณ ตำแหน่งสัมประสิทธิ์นั้นในตารางเทียบค่าดังกล่าว มีค่าเป็น 0 สัมประสิทธิ์ของข้อมูล QR Code ต้นฉบับจะถูกเปลี่ยนเป็นค่าสัมประสิทธิ์ข้างเคียงที่มีค่าไบนารีเป็น 1 แทน การแทรกบิตลายน้ำค่า 0 ก็ใช้วิธีเดียวกัน

$$x_i' = \begin{cases} x_i & \text{ถ้า } LUT(x_i) = w_i \\ x_i + \delta & \text{ถ้า } LUT(x_i) \neq w_i \text{ และ} \\ \delta = \min_{|d|} \{d = x_i' - x_i : Lut(x_i') = w_i\} \end{cases} \quad (3-4)$$

|        |              |   |
|--------|--------------|---|
| โดยที่ | $x_i$        | เป็นสัมประสิทธิ์ของข้อมูล QR Code ต้นฉบับ |
|        | $x_i'$       | เป็นสัมประสิทธิ์ที่ถูกใส่ลายน้ำ           |
|        | $w_i'$       | บิตลายน้ำดิจิตอลที่จะแทรกในข้อมูล QR Code |
|        |              | ต้นฉบับ                                   |
|        | $LUT(\cdot)$ | การแทรกผ่านตารางเทียบค่าไบนารี            |

ตัวอย่างการแทรกบิตลายน้ำแสดงดังภาพที่ 3-13 เราจะทำการแทรกค่าบิตลายน้ำ ณ ตำแหน่งแถวที่ 1 คอลัมน์ที่ 1 ซึ่งมีค่าเท่ากับ 1 ลงในสัมประสิทธิ์ของข้อมูล QR Code ต้นฉบับ ณ ตำแหน่งที่ตรงกันซึ่งมีค่าเท่ากับ -4 แต่ค่าไบนารีซึ่งตรงกับค่า ณ ตำแหน่ง -4 ของตารางเทียบค่ามีค่าเป็น 0 ซึ่งต้องตรวจดูทั้งสองด้านซ้ายขวาของตาราง จึงแทนที่สัมประสิทธิ์ค่า -4 ของข้อมูล QR Code ต้นฉบับดังกล่าวด้วยค่าใหม่ คือ -2 กรณีแทรกบิตลายน้ำค่า 1 ตัวถัดมาลงมาในสัมประสิทธิ์ข้อมูล QR Code ต้นฉบับซึ่งมีค่าเป็น 0 และค่าไบนารี ณ ตำแหน่งดังกล่าวในตารางเทียบค่ามีค่าเป็น 1 เหมือนกัน ได้คงสัมประสิทธิ์ค่า 0 เดิมไว้ไม่ต้องเปลี่ยนแปลง กรณีการแทรกบิตลายน้ำค่า 0 ก็กระทำเช่นเดียวกัน



Look-up Table

|    |    |    |    |    |    |    |    |   |   |   |   |   |   |   |   |   |
|----|----|----|----|----|----|----|----|---|---|---|---|---|---|---|---|---|
| -8 | -7 | -6 | -5 | -4 | -3 | -2 | -1 | 0 | 1 | 2 | 3 | 4 | 5 | 6 | 7 | 8 |
| 0  | 1  | 0  | 0  | 0  | 0  | 1  | 1  | 1 | 0 | 1 | 1 | 0 | 1 | 1 | 1 | 0 |

ภาพที่ 3-16 แทรกบิตลายน้ำลงในสัมประสิทธิ์ข้อมูล QR Code ต้นฉบับผ่านตารางเทียบ

ค่าไบนารี

### 3.4 การถอดลายน้ำดิจิทัล (Extract Watermark in QR Code Procedure Overview)

การถอดลายน้ำดิจิทัลออกจากภาพลายน้ำ ใช้กระบวนการเดียวกับการแทรกลายน้ำดิจิทัล ลายน้ำดิจิทัลสามารถถอดได้โดยตรงจากภาพลายน้ำ โดยไม่ต้องใช้ภาพต้นฉบับผ่าน Look-up table เริ่มจากนำภาพลายน้ำที่ต้องการทดสอบหาลายน้ำดิจิทัล มาทำการแบ่งพื้นที่ภาพออกเป็นบริเวณจุดภาพตามที่ทำก่อนหน้า ทำการแปลงโดเมนของภาพลายน้ำจากโดเมนปกติ

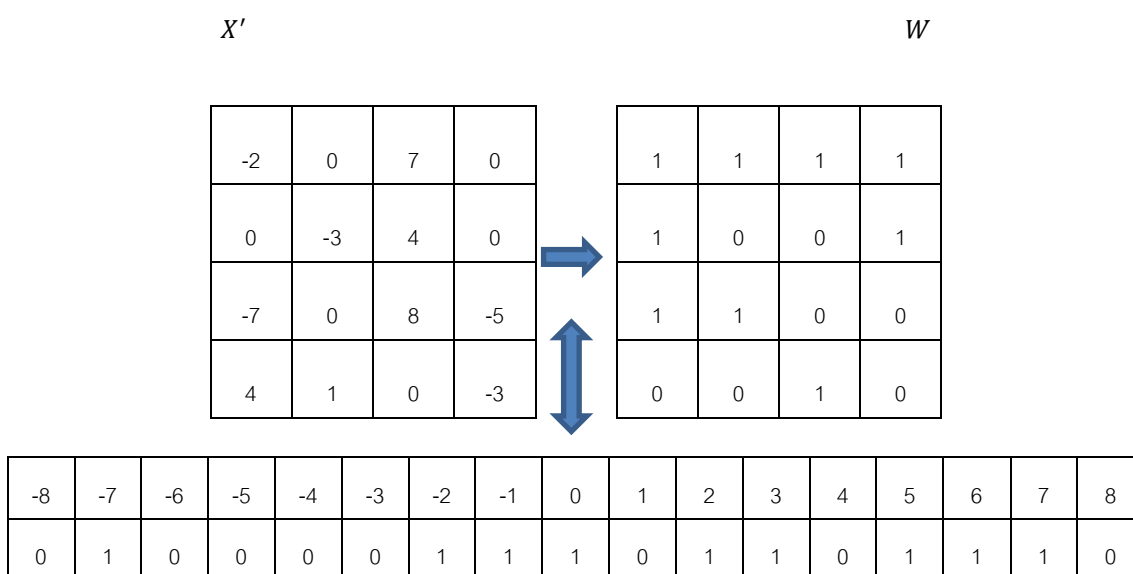
เป็นโดเมนความถี่ด้วยวิธีการแปลง DCT, DFT และ DWT เลือกบริเวณที่ใช้แทรกกลายน้ำ โดยใช้รหัสลับที่ตรงกันในการเลือกบริเวณของภาพที่มีลายน้ำดิจิทัลซ่อนอยู่ ทำการปรับปรุ่ค่าสัมประสิทธิ์ในบริเวณนั้นๆ สร้างตารางเทียบค่าไบนารีจากรหัสลับที่ใช้ในขั้นตอนการแทรกกลายน้ำซึ่งจะเป็นตารางเดียวกันทั้งกระบวนการแทรกและถอดกลายน้ำ จากนั้นทำการถอดบิตลายน้ำจากตารางเทียบค่าซึ่งเป็นค่าบิตไบนารี ณ ตำแหน่งที่สัมประสิทธิ์ในตารางเทียบค่า มีค่าตรงกับค่าสัมประสิทธิ์ในบริเวณที่เลือกแทรกกลายน้ำ การถอดกลายน้ำแสดงได้ดังสมการที่ 3-5

$$w'_i = LUT(x'_i) \quad (3-5)$$

โดยที่  $x'_i$  เป็นสัมประสิทธิ์ของภาพทดสอบ

$w'_i$  เป็นลายน้ำดิจิทัลที่ถอดออกมาได้

ตัวอย่างการถอดบิตลายน้ำจากสัมประสิทธิ์ภาพทดสอบแสดงดังภาพที่ 3-17 ถอดบิตลายน้ำจากภาพทดสอบสัมประสิทธิ์ตัวแรกแถวที่ 1 คอลัมน์ที่ 1 มีค่าเท่ากับ -2 ตารางเทียบค่า ณ ตำแหน่งค่า -2 มีค่าไบนารีเป็น 1 ดังนั้นบิตลายน้ำที่ถอดได้จึงมีค่าเป็น 1 การถอดบิตตัวถัดไปก็เช่นเดียวกัน จะเห็นได้ว่าสามารถถอดกลายน้ำได้โดยตรงจากตารางเทียบค่าไบนารี โดยไม่ต้องอาศัยภาพต้นฉบับ

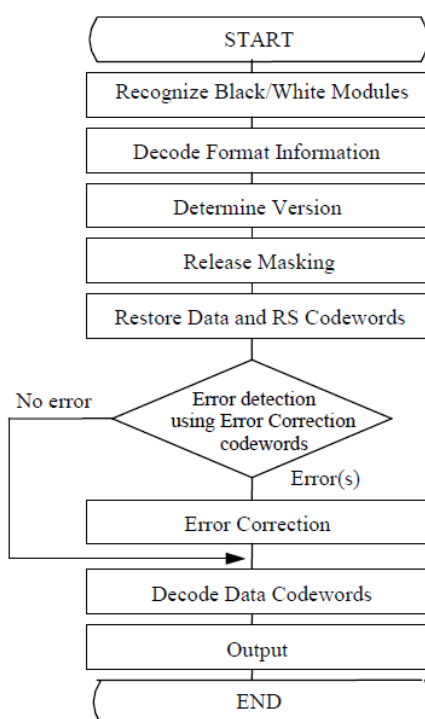


ภาพที่ 3-17 การถอดบิตลายน้ำออกจากสัมประสิทธิ์ภาพทดสอบโดยผ่านตารางเทียบค่าไบนารี

เนื่องจากการถอดบิตลายน้ำตามขั้นตอนจนครบทุกบริเวณแล้ว นำบิตลายน้ำที่ได้ในแต่ละบริเวณมารวมกลับ ก็จะได้ลายน้ำดิจิทัลที่ถอดออกมาจากภาพทดสอบคืนมา

### 3.5 การถอดรหัสข้อมูล QR Code (Decode QR Code Procedure)

ในรายละเอียดการถอดรหัส QR Code ได้กล่าวไว้ในหัวข้อ 2.3 โดยมีขั้นตอนการคิดในการเข้ารหัส ดังภาพที่ 3-18



ภาพที่ 3-18 กระบวนการถอดรหัสของ QR Code

### 3.6 การวัดค่าประสิทธิภาพ

3.6.1 การวัดประสิทธิภาพการแทรกภาพลายน้ำดิจิทัล คือ การทดสอบประสิทธิภาพของการแทรกลายน้ำที่ทำให้มองไม่เห็นลายน้ำด้วยสายตาปกติและวัดความผิดเพี้ยนของภาพที่แทรกลายน้ำแล้วเปรียบเทียบกับภาพต้นฉบับเดิม โดยใช้เกณฑ์เชิงปริมาณ คือ ค่า *PSNR* มีค่าสูงแสดงว่าภาพที่แทรกลายน้ำมีคุณภาพที่ดี ใกล้เคียงภาพต้นฉบับมาก คือมองไม่เห็นความผิดเพี้ยนจากการแทรกลายน้ำ (สมการคำนวณค่าความเหมือนของภาพอธิบายอยู่ในหัวข้อที่ 2.5.7.2)

3.6.2 การวัดประสิทธิภาพการถอดลายน้ำดิจิทัลออกจากภาพลายน้ำ คือ การทดสอบความเหมือนของลายน้ำดิจิทัลที่ถอดออกมาได้เทียบกับลายดิจิทัลต้นฉบับ โดยใช้เกณฑ์เชิงปริมาณ คือ ค่า  $NC$  เป็นค่าความเหมือนของภาพจะอยู่ในช่วงระหว่างค่า 0 ถึง 1 ซึ่งคุณภาพของลายน้ำดิจิทัลจะแปรผันตามค่าความเหมือนของภาพ คือ ถ้า  $NC$  มีค่าใกล้เคียง 1 มากเท่าใดคุณภาพของลายน้ำที่ถอดออกมาได้จะเหมือนลายน้ำต้นฉบับมากขึ้นเท่านั้น (สมการคำนวณค่าความเหมือนของภาพอธิบายอยู่ในหัวข้อ 2.5.7.3)

3.6.3 การวัดเวลาที่เครื่องคอมพิวเตอร์ใช้ในการฝังและถอดลายน้ำดิจิทัล คือ เป็นการคำนวณเวลาที่ใช้ในการประมวลผลแต่ละการแปลงข้อมูลเข้าสู่โดเมนความถี่ (อยู่ในหัวข้อ 2.5.7.4)

## บทที่ 4

### การทดลองและผลการทดลอง

ในบทนี้จะกล่าวถึงเครื่องมือที่ใช้ในการทดลอง ผลการทดลองของวิธีการฝังและการถอดลายน้ำดิจิทัลโดยใช้การทรานฟอร์ม 3 แบบ ได้แก่ DCT, DFT และ DWT ซึ่งผ่าน Look-up table และ Key โดยทดสอบประสิทธิภาพโดยคำนวณค่า PSNR, NC และ Time เปรียบเทียบกัน

#### 4.1 เครื่องมือที่ใช้ในการทดลอง

4.1.1 ซอฟต์แวร์ที่ใช้ในการเขียนโปรแกรมคอมพิวเตอร์ คือ MATLAB เวอร์ชัน 7.11.0 (R2010b)

4.1.2 ฮาร์ดแวร์ที่ใช้ในการทดสอบคือ ซีพียู Intel® Core™ i3-330M Processor (3M Cache, 2.13 GHz) หน่วยความจำหลัก 4096 MB ฮาร์ดดิสก์ 300 GB บนระบบปฏิบัติการ Microsoft Window 7

4.1.3 รูปภาพที่ใช้ในการทดลอง มีดังนี้

4.1.3.1 ข้อมูล QR Code ต้นฉบับขนาด 512×512 จุดภาพ จำนวน 10 ภาพที่ผ่านกระบวนการเข้ารหัสจาก 10 ข้อความ มีไฟล์ภาพนามสกุล .BMP ซึ่งใช้ในการทรานฟอร์มแบบ DCT และ DFT





4.1.3.2 ข้อมูล QR Code ต้นฉบับขนาด 256×256 จุดภาพ จำนวน 10 ภาพที่ผ่านกระบวนการเข้ารหัสจาก 10 ข้อความ มีไฟล์ภาพนามสกุล .BMP ซึ่งใช้ในการทรานฟอร์มแบบ DWT

4.1.3.3 รูปภาพที่มีข้อความขนาด 64×64 จุดภาพ จำนวน 1 ภาพ มีไฟล์ภาพนามสกุล .BMP ใช้แทนลายน้ำดิจิทัล ซึ่งใช้แทนข้อความที่จะใช้ซ่อนในข้อมูล QR Code ต้นฉบับ









## 4.2 ผลการทดลอง



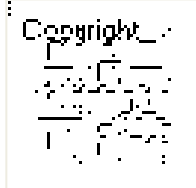













การทดลองนี้จะใช้รูปภาพที่มีข้อความขนาด 64×64 จุดภาพ แทนลายน้ำดิจิทัล 1 ภาพ ผังลงในตำแหน่งที่ไม่ทับซ้อนกันบนข้อมูล QR Code ต้นฉบับ ซึ่งมีขนาด 512×512 จุดภาพ จำนวน 10 ภาพ ที่ผ่านกระบวนการเข้ารหัสจาก 10 ข้อความ จากนั้นทำการเปรียบเทียบรูปภาพต้นฉบับกับรูปภาพผลลัพธ์ที่ผ่านการฝังลายน้ำดิจิทัลที่ผ่านการทราานฟอร์ม 3 แบบ ได้แก่ DCT, DFT และ DWT ซึ่งวัดประสิทธิภาพด้วยการวัดค่า PSNR ต่อมาทำถอดลายน้ำดิจิทัลจากรูปภาพผลลัพธ์ทั้งหมด แล้วทำการเปรียบเทียบลายน้ำดิจิทัลต้นฉบับกับลายน้ำดิจิทัลที่ถอดได้ ซึ่งวัดประสิทธิภาพด้วยการวัดค่า NC และ เภณท์การวัดเวลาที่เครื่องคอมพิวเตอร์ใช้ที่ผ่านการฝังและถอดลายดิจิทัลโดยการทราานฟอร์มทั้ง 3 แบบ ดังแสดงในตารางต่อไปนี้





ตารางที่ 4-1 แสดงผลลัพธ์ในกระบวนการก่อนและหลังฝังลายน้ำดิจิทัล









| ลำดับ | ข้อมูลทั้งหมด   |   |  |   |
|-------|---|---|--|---|
|       | ข้อมูล  | Discrete<br>Cosine<br>Transform   | Discrete<br>Fourier<br>Transform   | Discrete<br>Wavelet<br>Transform  |
|       | Chulalongkorn   |   |  |   |
| 1     |  |  |  |  |
|       | PSNR  | 11.1831   | 47.3690  | 67.0528   |
|       | Time  | 7.6908  | 0.5928   | 6.1620  |
|       | Copyright   | Copyright   | Copyright  | Copyright   |












|   |   |   |  |   |
|---|---|---|--|---|
|   | NC  | 0.9980  | 0.1686   | 0.9805  |
|   | Time  | 1.8096  | 2.1840   | 3.1668  |
|   | Decode<br>QR Code   | Yes   | Yes  | Yes   |
| 2   | Computer  |   |  |   |
|   |  |    |    |    |
|   | PSNR  | 11.1831   | 47.2418  | 67.0528   |
|   | Time  | 7.9249  | 0.5928   | 6.3960  |
|   | Copyright   | Copyright   | Copyright  | Copyright   |
|   | NC  | 0.9976  | 0.1772   | 0.9805  |
|   | Time  | 1.7160  | 2.1684   | 2.9016  |
|   | Decode<br>QR Code   | Yes   | Yes  | Yes   |
|   | 3   | Engineer  |  |   |
|  |   |  |  |  |
| PSNR  |   | 11.1831   | 47.2526  | 67.0528   |
| Time  |   | 7.6128  | 0.6084   | 6.9264  |

|   |   |   |  |   |
|---|---|---|--|---|
|   |    |    |    |    |
|   | NC  | 0.9976  | 0.1747   | 0.9805  |
|   | Time  | 1.7940  | 2.0748   | 2.9952  |
|   | Decode QR Code  | Yes   | Yes  | Yes   |
| 4 | QR Code   |   |  |   |
|   |    |    |    |    |
|   | PSNR  | 11.1831   | 47.3112  | 67.0528   |
|   | Time  | 7.7064  | 0.5616   | 6.2244  |
|   |  |  |  |  |
|   | NC  | 0.9988  | 0.1816   | 0.9812  |
|   | Time  | 1.7316  | 2.0592   | 2.8860  |
|   | Decode QR Code  | Yes   | Yes  | Yes   |
| 5 | Watermark   |   |  |   |
|   |  |  |  |  |

|   |  |  |   |  |
|---|--|--|---|--|
|   | PSNR   | 11.1831  | 47.3692   | 67.0528  |
|   | Time   | 7.6596   | 0.5772  | 6.0216   |
|   | Copyright  | Copyright  | Copyright   | Copyright  |
|   | NC   | 0.9988   | 0.1696  | 0.9807   |
|   | Time   | 1.7472   | 2.1996  | 3.2136   |
|   | Decode QR Code   | Yes  | Yes   | Yes  |
| 6 | Embedding  |  |   |  |
|   |  |  |  |  |
|   | PSNR   | 11.1831  | 47.3881   | 67.0528  |
|   | Time   | 7.6752   | 0.5772  | 6.9420   |
|   | Copyright  | Copyright  | Copyright   | Copyright  |
|   | NC   | 0.9983   | 0.1734  | 0.9812   |
|   | Time   | 1.7160   | 2.1372  | 2.9328   |
|   | Decode QR Code   | Yes  | Yes   | Yes  |

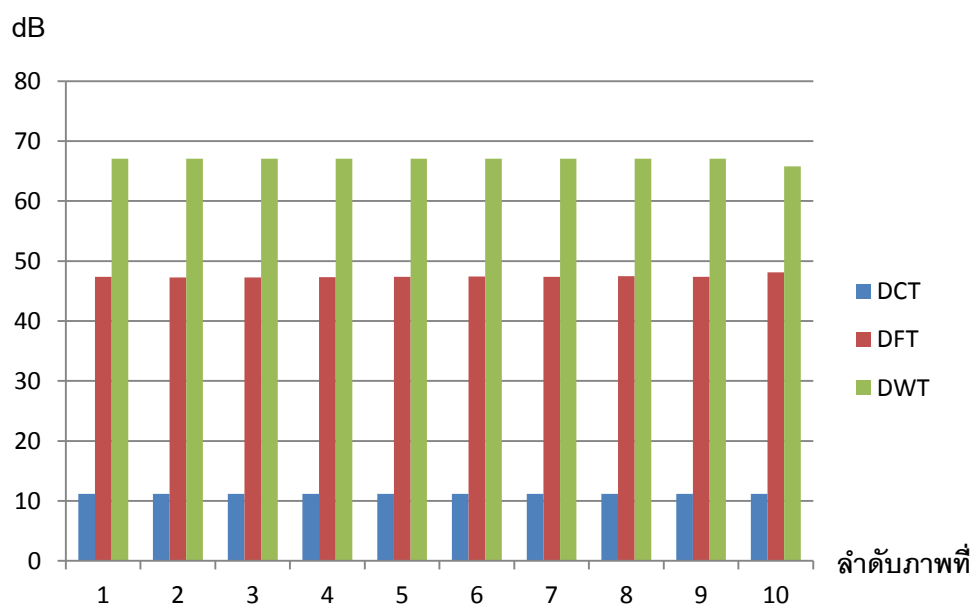
|                |   |   |  |   |
|----------------|---|---|--|---|
| 7              | Extracting  |   |  |   |
|                |    |    |    |    |
|                | PSNR  | 11.1831   | 47.3374  | 67.0528   |
|                | Time  | 7.8313  | 0.5772   | 7.0824  |
|                | Copyright   | Copyright   | Copyright  | Copyright   |
|                | NC  | 0.9988  | 0.1693   | 0.9802  |
|                | Time  | 1.7628  | 2.1684   | 3.0420  |
| Decode QR Code | Yes   | Yes   | Yes  |   |
| 8              | Look-up table   |   |  |   |
|                |  |  |  |  |
|                | PSNR  | 11.1831   | 47.4420  | 67.0528   |
|                | Time  | 7.7064  | 0.6396   | 6.9108  |
|                | Copyright   | Copyright   | Copyright  | Copyright   |
|                | NC  | 0.9985  | 0.1702   | 0.9810  |
|                | Time  | 1.7004  | 2.1684   | 2.8860  |
| Decode QR Code | Yes   | Yes   | Yes  |   |

|    |  |   |  |   |
|----|--|---|--|---|
| 9  | Key  |   |  |   |
|    |                                 |    |    |    |
|    | PSNR   | 11.1831   | 47.3541  | 67.0528   |
|    | Time   | 7.7844  | 0.5928   | 6.8016  |
|    | Copyright  | Copyright   | Copyright  | Copyright   |
|    | NC   | 0.9985  | 0.0486   | 0.9810  |
|    | Time   | 1.8408  | 2.1684   | 3.0732  |
|    | Decode QR Code   | Yes   | Yes  | Yes   |
| 10 | Suppat Rungrangsilp 5370368121 Master of Engineering Program in<br>Computer Engineering Chulalongkorn University |   |  |   |
|    |                               |  |  |  |
|    | PSNR   | 11.1831   | 48.1313  | 65.7744   |
|    | Time   | 7.8157  | 0.5772   | 6.0528  |

|  | Copyright      | Copyright |  | Copyright |
|--|----------------|-----------|--|-----------|
|  | NC             | 0.9890    | 0.1650   | 0.9468    |
|  | Time           | 1.7316    | 2.1684   | 3.0264    |
|  | Decode QR Code | Yes       | Yes  | Yes       |

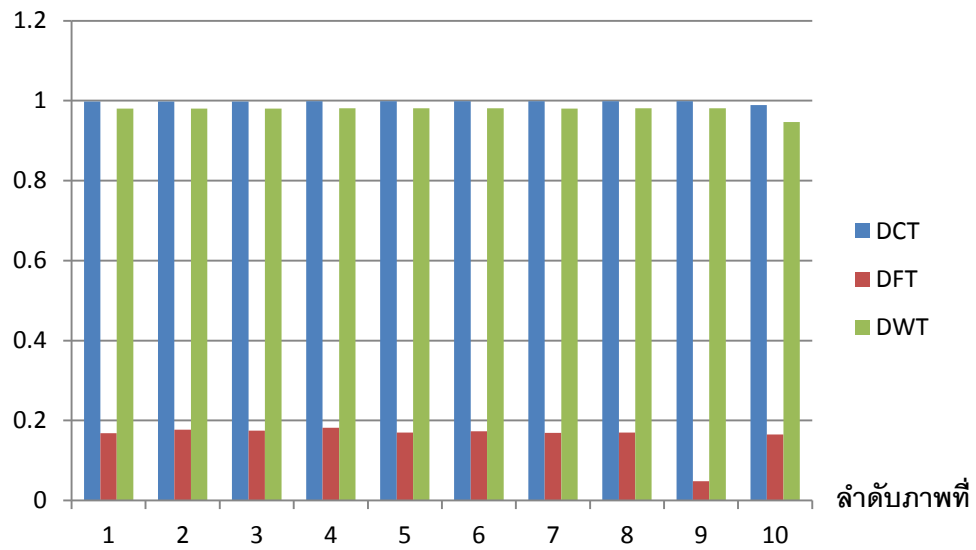
จากการทดลองสามารถวิเคราะห์ผลออกเป็น 4 กลุ่ม ดังนี้

4.2.1 PSNR (Peak signal-to-noise ratio) เมื่อเรานำมาพล็อตกราฟ โดยให้แกนตั้งเป็นค่า PSNR ส่วนแกนนอนเป็นลำดับภาพที่ ซึ่งได้กราฟดังนี้



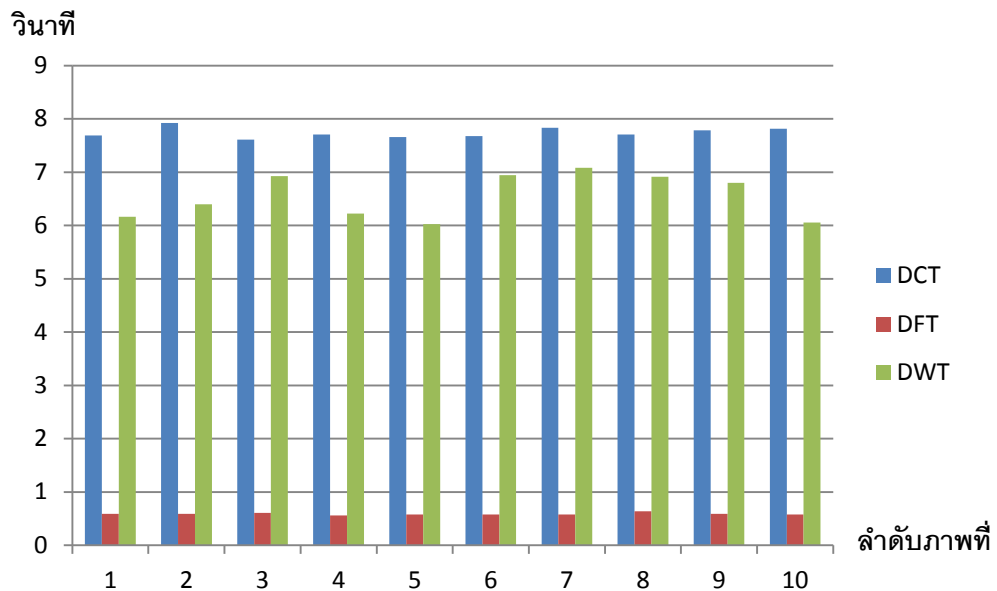
ภาพที่ 4-1 แผนภาพค่า PSNR ของทุกภาพ

4.2.2 NC (Normalized Cross Correlation) เมื่อเรานำมาพล็อตกราฟ โดยให้แกนตั้งเป็นค่า NC ส่วนแกนนอนเป็นลำดับภาพที่ ซึ่งได้กราฟดังนี้



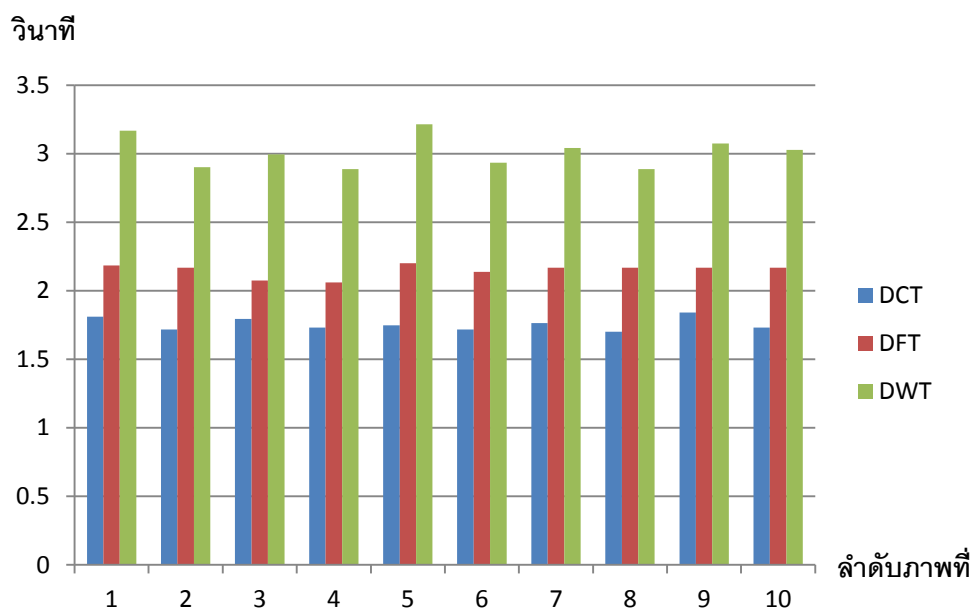
ภาพที่ 4-2 แผนภาพค่า NC ของทุกภาพ

4.2.3 Time (PSNR) เมื่อเรานำมาพล็อตกราฟ โดยให้แกนตั้งเป็นค่า Time หน่วยเป็นวินาที ส่วนแกนนอนเป็นลำดับภาพที่ ซึ่งได้กราฟดังนี้



ภาพที่ 4-3 แผนภาพค่า Time แต่ละ PSNR ของทุกภาพ

4.2.4 Time (NC) เมื่อนำมาพล็อตกราฟ โดยให้แกนตั้งเป็นค่า Time หน่วยเป็นวินาที ส่วนแกนนอนเป็นลำดับภาพที่ ซึ่งได้กราฟดังนี้











ภาพที่ 4-4 แผนภาพค่า Time แต่ละ NC ของทุกภาพ









จากตารางที่ 4-1 ถึง 4-7 พบว่าเมื่อเราเพิ่มตัวอักษรในการเข้ารหัสข้อมูล QR Code มีผลต่อการฝังและถอดลายน้ำ เราจึงทดลองต่อเพื่อดูว่าการทรานฟอร์มแบบไหนสามารถถอดลายน้ำได้ออกมาได้ดีที่สุด เมื่อเราทำการเพิ่มตัวอักษรในการเข้ารหัส QR Code เรื่อยๆ โดยในการทดลองที่ผ่านมา เราเห็นว่าเมื่อมีการเพิ่มตัวอักษรเพิ่มขึ้นทำให้มีผลต่อ QR Code ต้นฉบับซึ่งจะนำไปสู่กระบวนการฝังและถอดลายน้ำ ซึ่งจากการทดลองที่ผ่านมาพบว่า เมื่อมีการเข้ารหัสอักขระมากยิ่งขึ้นทำให้ถอดลายน้ำออกมาได้ไม่ดี เราจึงทดลองเพิ่มอักขระทีละ 1 ตัวเพื่อดูการเปลี่ยนแปลงแต่ในที่นี้จะขอแสดงเฉพาะการเข้ารหัสอักขระที่เป็นตัวอักษร เนื่องจากได้ลองทำการทดลองกับอักขระแบบอื่นพบว่าให้ค่าที่เหมือนกัน เพื่อไม่ให้ตารางผลการทดลองเยอะจนเกินไป โดยสร้างตารางเหมือนการทดลองที่ผ่านมา โดยเรากำหนดขอบเขตจำนวนของการเข้ารหัสขึ้นอยู่กับเมื่อ 2 ใน 3 การทรานฟอร์มไม่สามารถอ่านลายน้ำได้ด้วยสายตาเมื่อผ่านกระบวนการถอดลายน้ำดิจิทัล จึงหยุดการเข้ารหัส QR Code ซึ่งได้ผลการทดลองดังตารางต่อไปนี้















ตารางที่ 4-2 แสดงผลลัพธ์ในกระบวนการก่อนและหลังฝังลายน้ำดิจิทัล









| ลำดับ | ข้อมูลทั้งหมด   |   |  |   |
|-------|---|---|--|---|
|       | ข้อมูล  | Discrete<br>Cosine<br>Transform   | Discrete<br>Fourier<br>Transform   | Discrete<br>Wavelet<br>Transform  |
| 1     | A   |   |  |   |
|       |    |    |    |    |
|       | PSNR  | 11.1831   | 47.3933  | 67.0528   |
|       | Time  | 9.1417  | 0.6396   | 6.3648  |
|       | Copyright   | Copyright   | Copyright  | Copyright   |
|       | NC  | 0.9980  | 0.0503   | 0.9810  |
|       | Time  | 1.8096  | 2.1996   | 2.5896  |
|       | Decode<br>QR Code   | Yes   | Yes  | Yes   |
| 2     | AB  |   |  |   |
|       |  |  |  |  |
|       | PSNR  | 11.1831   | 47.3205  | 67.0528   |
| Time  | 8.3773  | 0.5772  | 6.2244   |   |









|   |                   |         |         |         |
|---|-------------------|---------|---------|---------|
|   |                   |         |         |         |
|   | NC                | 0.9988  | 0.0508  | 0.9800  |
|   | Time              | 1.9188  | 2.1684  | 2.6832  |
|   | Decode<br>QR Code | Yes     | Yes     | Yes     |
| 3 | ABC               |         |         |         |
|   |                   |         |         |         |
|   | PSNR              | 11.1831 | 47.3181 | 67.0528 |
|   | Time              | 8.3305  | 0.5772  | 6.2556  |
|   |                   |         |         |         |
|   | NC                | 0.9995  | 0.0488  | 0.9807  |
|   | Time              | 1.9032  | 2.1840  | 2.6832  |
|   | Decode<br>QR Code | Yes     | Yes     | Yes     |





|                |   |   |  |   |
|----------------|---|---|--|---|
| 4              | ABCD  |   |  |   |
|                |    |    |    |    |
|                | PSNR  | 11.1831   | 47.4256  | 67.0528   |
|                | Time  | 8.8921  | 0.5772   | 6.0840  |
|                | Copyright   | Copyright   | Copyright  | Copyright   |
|                | NC  | 0.9985  | 0.0459   | 0.9807  |
|                | Time  | 1.7784  | 2.2464   | 2.6364  |
| Decode QR Code | Yes   | Yes   | Yes  |   |
| 5              | ABCDE   |   |  |   |
|                |  |  |  |  |
|                | PSNR  | 11.1831   | 47.3462  | 67.0528   |
|                | Time  | 8.2837  | 0.6084   | 6.0528  |
| Copyright      | Copyright   | Copyright   | Copyright  |   |

|   |   |   |  |   |
|---|---|---|--|---|
|   | NC  | 0.9980  | 0.0459   | 0.9802  |
|   | Time  | 1.8876  | 2.3244   | 2.6052  |
|   | Decode<br>QR Code   | Yes   | Yes  | Yes   |
| 6   | ABCDEF  |   |  |   |
|   |  |    |    |    |
|   | PSNR  | 11.1831   | 47.3845  | 67.0528   |
|   | Time  | 8.0653  | 0.6552   | 5.9904  |
|   | Copyright   | Copyright   | Copyright  | Copyright   |
|   | NC  | 0.9988  | 0.0464   | 0.9812  |
|   | Time  | 1.8096  | 2.1216   | 2.9172  |
|   | Decode<br>QR Code   | Yes   | Yes  | Yes   |
|   | 7   | ABCDEFG   |  |   |
|  |   |  |  |  |
| PSNR  |   | 11.1831   | 47.3559  | 67.0528   |









|   |  |  |   |  |
|---|--|--|---|--|
|   | Time   | 8.0497   | 0.5772  | 5.9280   |
|   | Copyright  | Copyright  | Copyright   | Copyright  |
|   | NC   | 0.9993   | 0.0444  | 0.9810   |
|   | Time   | 1.8408   | 2.1060  | 2.5116   |
|   | Decode QR Code   | Yes  | Yes   | Yes  |
| 8 | ABCDEFGH   |  |   |  |
|   |  |  |  |  |
|   | PSNR   | 11.1831  | 47.3949   | 67.0528  |
|   | Time   | 8.1433   | 0.5772  | 6.5520   |
|   | Copyright  | Copyright  | Copyright   | Copyright  |
|   | NC   | 0.9995   | 0.0449  | 0.9805   |
|   | Time   | 1.7628   | 2.1216  | 3.0108   |









|                |   |   |  |   |
|----------------|---|---|--|---|
| 9              | ABCDEFGHI   |   |  |   |
|                |    |    |    |    |
|                | PSNR  | 11.1831   | 47.3808  | 67.0528   |
|                | Time  | 8.0497  | 0.5928   | 6.0840  |
|                | Copyright   | Copyright   | Copyright  | Copyright   |
|                | NC  | 0.9985  | 0.0435   | 0.9812  |
|                | Time  | 1.8096  | 2.1372   | 2.7768  |
| Decode QR Code | Yes   | Yes   | Yes  |   |
| 10             | ABCDEFGHIJ  |   |  |   |
|                |  |  |  |  |
|                | PSNR  | 11.1831   | 47.4600  | 67.0528   |
|                | Time  | 8.0341  | 0.5928   | 5.9904  |
|                | Copyright   | Copyright   | Copyright  | Copyright   |

|   |   |   |  |   |
|---|---|---|--|---|
|   | NC  | 0.9988  | 0.0439   | 0.9812  |
|   | Time  | 1.7628  | 2.2776   | 2.5584  |
|   | Decode<br>QR Code   | Yes   | Yes  | Yes   |
| 11  | ABCDEFGHGIJK  |   |  |   |
|   |  |    |    |    |
|   | PSNR  | 11.1831   | 47.4131  | 67.0528   |
|   | Time  | 8.2525  | 0.5772   | 5.8968  |
|   | Copyright   | Copyright   | Copyright  | Copyright   |
|   | NC  | 0.9985  | 0.0464   | 0.9805  |
|   | Time  | 1.7316  | 2.1528   | 2.5272  |
|   | Decode<br>QR Code   | Yes   | Yes  | Yes   |
|   | 12  | ABCDEFGHGIJKL   |  |   |
|  |   |  |  |  |
| PSNR  |   | 11.1831   | 47.3771  | 67.0528   |









|    |  |  |   |  |
|----|--|--|---|--|
|    | Time   | 8.3461   | 0.6396  | 6.3180   |
|    | Copyright  | Copyright  | Copyright   | Copyright  |
|    | NC   | 0.9988   | 0.0496  | 0.9810   |
|    | Time   | 1.7472   | 2.1216  | 2.4492   |
|    | Decode QR Code   | Yes  | Yes   | Yes  |
| 13 | ABCDEFGHJKLM   |  |   |  |
|    |  |  |  |  |
|    | PSNR   | 11.1831  | 47.3884   | 67.0528  |
|    | Time   | 8.1901   | 0.5772  | 5.9592   |
|    | Copyright  | Copyright  | Copyright   | Copyright  |
|    | NC   | 0.9988   | 0.0515  | 0.9817   |
|    | Time   | 1.8408   | 2.1996  | 2.5428   |
|    | Decode QR Code   | Yes  | Yes   | Yes  |
| 14 | ABCDEFGHIJKLMN   |  |   |  |















|    |   |   |  |   |
|----|---|---|--|---|
|    |    |    |    |    |
|    | PSNR  | 11.1831   | 47.3913  | 67.0528   |
|    | Time  | 8.4085  | 0.5772   | 6.1308  |
|    | Copyright   | Copyright   | Copyright  | Copyright   |
|    | NC  | 0.9990  | 0.0439   | 0.9805  |
|    | Time  | 1.8564  | 2.1372   | 2.6208  |
|    | Decode QR Code  | Yes   | Yes  | Yes   |
| 15 | ABCDEFGHIJKLMNO   |   |  |   |
|    |  |  |  |  |
|    | PSNR  | 11.1831   | 47.4651  | 67.0528   |
|    | Time  | 8.3617  | 0.5772   | 6.2400  |
|    | Copyright   | Copyright   | Copyright  | Copyright   |
|    | NC  | 0.9985  | 0.0471   | 0.9812  |









|   |   |   |  |   |
|---|---|---|--|---|
|   | Time  | 1.8408  | 2.0904   | 2.4960  |
|   | Decode QR Code  | Yes   | Yes  | Yes   |
| 16  | ABCDEFGHIJKLMNPO  |   |  |   |
|   |  |    |    |    |
|   | PSNR  | 11.1831   | 47.3749  | 67.0528   |
|   | Time  | 8.2213  | 0.6240   | 6.5988  |
|   | Copyright   | Copyright   | Copyright  | Copyright   |
|   | NC  | 0.9995  | 0.0442   | 0.9800  |
|   | Time  | 1.8408  | 2.1216   | 2.6520  |
|   | Decode QR Code  | Yes   | Yes  | Yes   |
|   | 17  | ABCDEFGHIJKLMNPOQ   |  |   |
|  |   |  |  |  |
| PSNR  |   | 11.1831   | 47.3871  | 67.0528   |
| Time  |   | 8.2213  | 0.5928   | 5.9436  |









|    |                    |         |         |         |
|----|--------------------|---------|---------|---------|
|    |                    |         |         |         |
|    | NC                 | 0.9993  | 0.0466  | 0.9802  |
|    | Time               | 1.7160  | 2.1060  | 2.6520  |
|    | Decode QR Code     | Yes     | Yes     | Yes     |
| 18 | ABCDEFGHIJKLMNOPQR |         |         |         |
|    |                    |         |         |         |
|    | PSNR               | 11.1831 | 47.2750 | 67.0528 |
|    | Time               | 8.9701  | 0.5772  | 6.0216  |
|    |                    |         |         |         |
|    | NC                 | 0.9995  | 0.0508  | 0.9797  |
|    | Time               | 1.8408  | 2.2464  | 2.4492  |
|    | Decode QR Code     | Yes     | Yes     | Yes     |

|                |   |   |  |   |
|----------------|---|---|--|---|
| 19             | ABCDEFGHIJKLMNOPS   |   |  |   |
|                |    |    |    |    |
|                | PSNR  | 11.1831   | 47.4113  | 67.0528   |
|                | Time  | 8.7361  | 0.6552   | 5.9748  |
|                | Copyright   | Copyright   | Copyright  | Copyright   |
|                | NC  | 0.9985  | 0.0518   | 0.9817  |
|                | Time  | 1.8876  | 2.0904   | 2.5272  |
| Decode QR Code | Yes   | Yes   | Yes  |   |
| 20             | ABCDEFGHIJKLMNOPS   |   |  |   |
|                |  |  |  |  |
|                | PSNR  | 11.1831   | 47.4709  | 67.0528   |
|                | Time  | 8.9233  | 0.5928   | 6.0840  |
|                | Copyright   | Copyright   | Copyright  | Copyright   |

|   |   |   |  |   |
|---|---|---|--|---|
|   | NC  | 0.9990  | 0.0444   | 0.9805  |
|   | Time  | 1.8408  | 2.0904   | 2.5896  |
|   | Decode<br>QR Code   | Yes   | Yes  | Yes   |
| 21  | ABCDEFGHIJKLMNQRSTU   |   |  |   |
|   |  |    |    |    |
|   | PSNR  | 11.1831   | 47.2605  | 67.0528   |
|   | Time  | 8.2369  | 0.5928   | 6.2088  |
|   | Copyright   | Copyright   | Copyright  | Copyright   |
|   | NC  | 0.9988  | 0.0457   | 0.9805  |
|   | Time  | 1.7940  | 2.2620   | 2.7612  |
|   | Decode<br>QR Code   | Yes   | Yes  | Yes   |
|   | 22  | ABCDEFGHIJKLMNQRSTUV  |  |   |
|  |   |  |  |  |
| PSNR  |   | 11.1831   | 47.3204  | 67.0528   |









|    |   |   |  |   |
|----|---|---|--|---|
|    | Time  | 8.1745  | 0.6396   | 5.7252  |
|    | Copyright   | Copyright   | Copyright  | Copyright   |
|    | NC  | 0.9998  | 0.0457   | 0.9797  |
|    | Time  | 1.7940  | 2.0436   | 2.6832  |
|    | Decode QR Code  | Yes   | Yes  | Yes   |
| 23 | ABCDEFGHJKLMNOPQRSTUVWXYZ   |   |  |   |
|    |  |  |  |  |
|    | PSNR  | 11.1831   | 47.2830  | 67.0528   |
|    | Time  | 7.7532  | 0.5772   | 6.2712  |
|    | Copyright   | Copyright   | Copyright  | Copyright   |
|    | NC  | 0.9985  | 0.0459   | 0.9790  |
|    | Time  | 1.7316  | 2.1060   | 2.3712  |
|    | Decode QR Code  | Yes   | Yes  | Yes   |
| 24 | ABCDEFGHJKLMNOPQRSTUVWXYZ   |   |  |   |







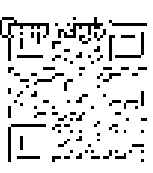
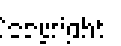




|    |   |   |  |   |
|----|---|---|--|---|
|    |    |    |    |    |
|    | PSNR  | 11.1831   | 47.7398  | 66.6108   |
|    | Time  | 8.6113  | 0.6864   | 6.0996  |
|    | Copyright   | Copyright   | Copyright  | Copyright   |
|    | NC  | 0.9966  | 0.0911   | 0.9646  |
|    | Time  | 1.7628  | 2.0748   | 2.6520  |
|    | Decode QR Code  | Yes   | Yes  | Yes   |
| 25 | ABCDEFGHIJKLMN OPQRSTUVWXYZ   |   |  |   |
|    |  |  |  |  |
|    | PSNR  | 11.1831   | 47.7921  | 66.6577   |
|    | Time  | 8.5177  | 0.5928   | 5.8500  |
|    | Copyright   | Copyright   | Copyright  | Copyright   |
|    | NC  | 0.9961  | 0.0884   | 0.9661  |

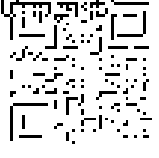




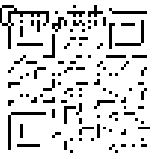
|   |   |   |  |   |
|---|---|---|--|---|
|   | Time  | 1.7316  | 2.0904   | 2.5740  |
|   | Decode QR Code  | Yes   | Yes  | Yes   |
| 26  | ABCDEFGHJKLMNOPQRSTUVWXYZ   |   |  |   |
|   |  |    |    |    |
|   | PSNR  | 11.1831   | 47.8014  | 66.5968   |
|   | Time  | 8.3929  | 0.5928   | 6.1620  |
|   | Copyright   | Copyright   | Copyright  | Copyright   |
|   | NC  | 0.9971  | 0.0879   | 0.9656  |
|   | Time  | 1.7628  | 2.1528   | 2.4024  |
|   | Decode QR Code  | Yes   | Yes  | Yes   |
|   | 27  | ABCDEFGHJKLMNOPQRSTUVWXYZA  |  |   |
|  |   |  |  |  |
| PSNR  |   | 11.1831   | 47.6777  | 66.5184   |
| Time  |   | 7.8000  | 0.5928   | 6.1152  |





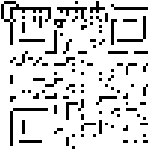




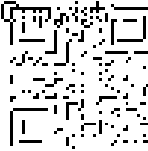








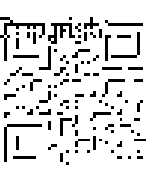





|    |                            |         |         |         |
|----|----------------------------|---------|---------|---------|
|    |                            |         |         |         |
|    | NC                         | 0.9961  | 0.0947  | 0.9641  |
|    | Time                       | 1.7940  | 2.1216  | 2.6208  |
|    | Decode QR Code             | Yes     | Yes     | Yes     |
| 28 | ABCDEFGHIJKLMNOPQRSTUVWXYZ |         |         |         |
|    |                            |         |         |         |
|    | PSNR                       | 11.1831 | 47.6402 | 66.6014 |
|    | Time                       | 8.5957  | 0.5772  | 6.2244  |
|    |                            |         |         |         |
|    | NC                         | 0.9961  | 0.0918  | 0.9658  |
|    | Time                       | 1.7628  | 2.0436  | 2.6208  |
|    | Decode QR Code             | Yes     | Yes     | Yes     |







|                |   |   |  |   |
|----------------|---|---|--|---|
| 29             | ABCDEFGHJKLMNOPQRSTUVWXYZABC  |   |  |   |
|                |    |    |    |    |
|                | PSNR  | 11.1831   | 47.5467  | 66.6980   |
|                | Time  | 8.4397  | 0.6084   | 6.5208  |
|                | Copyright   | Copyright   | Copyright  | Copyright   |
|                | NC  | 0.9963  | 0.0894   | 0.9663  |
|                | Time  | 1.8564  | 2.1684   | 2.6364  |
| Decode QR Code | Yes   | Yes   | Yes  |   |
| 30             | ABCDEFGHJKLMNOPQRSTUVWXYZABCD   |   |  |   |
|                |  |  |  |  |
|                | PSNR  | 11.1831   | 47.6147  | 66.6648   |
|                | Time  | 8.5333  | 0.5928   | 5.9280  |
|                | Copyright   | Copyright   | Copyright  | Copyright   |
|                | NC  | 0.9963  | 0.0894   | 0.9663  |
|                | Time  | 1.8564  | 2.1684   | 2.6364  |
| Decode QR Code | Yes   | Yes   | Yes  |   |










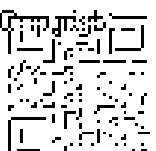
|   |   |   |  |   |
|---|---|---|--|---|
|   | NC  | 0.9968  | 0.0911   | 0.9658  |
|   | Time  | 1.7940  | 2.1840   | 2.4492  |
|   | Decode<br>QR Code   | Yes   | Yes  | Yes   |
| 31  | ABCDEFGHIJKLMNOPQRSTUVWXYZABCDE   |   |  |   |
|   |  |    |    |    |
|   | PSNR  | 11.1831   | 47.7450  | 66.5689   |
|   | Time  | 8.7673  | 0.5772   | 6.1620  |
|   |  |    |   |    |
|   | NC  | 0.9971  | 0.0886   | 0.9658  |
|   | Time  | 1.7940  | 2.0592   | 2.4804  |
|   | Decode<br>QR Code   | Yes   | Yes  | Yes   |
|   | 32  | ABCDEFGHIJKLMNOPQRSTUVWXYZABCDEF  |  |   |
|  |   |  |  |  |
| PSNR  |   | 11.1831   | 47.7906  | 66.6154   |

|    |  |  |  |  |
|----|--|--|--|--|
|    | Time   | 8.8921   | 0.6396   | 5.9124   |
|    | Copyright  | Copyright  |    | Copyright  |
|    | NC   | 0.9963   | 0.0857   | 0.9646   |
|    | Time   | 1.7628   | 2.1060   | 2.5116   |
|    | Decode QR Code   | Yes  | Yes  | Yes  |
| 33 | ABCDEFGHIJKLMNOPQRSTUVWXYZABCDEFG  |  |  |  |
|    |  |  |   |  |
|    | PSNR   | 11.1831  | 47.6324  | 66.6506  |
|    | Time   | 8.7049   | 0.6240   | 6.2244   |
|    | Copyright  | Copyright  |  | Copyright  |
|    | NC   | 0.9963   | 0.0911   | 0.9668   |
|    | Time   | 1.8096   | 2.1684   | 2.5428   |
|    | Decode QR Code   | Yes  | Yes  | Yes  |





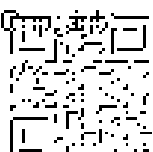




|    |   |   |  |   |
|----|---|---|--|---|
| 34 | ABCDEFGHIJKLMN <strong>OP</strong> QRSTUVWXYZABCDEFGHIH                             |   |  |   |
|    |    |    |    |    |
|    | PSNR  | 11.1831   | 47.5841  | 66.6248   |
|    | Time  | 8.0185  | 0.6084   | 5.8344  |
|    | Copyright   | Copyright   |    | Copyright   |
|    | NC  | 0.9956  | 0.0898   | 0.9644  |
|    | Time  | 1.7628  | 2.2308   | 2.6676  |
|    | Decode QR Code  | Yes   | Yes  | Yes   |
| 35 | ABCDEFGHIJKLMN <strong>OP</strong> QRSTUVWXYZABCDEFGHI                              |   |  |   |
|    |  |  |  |  |
|    | PSNR  | 11.1831   | 47.6559  | 66.6648   |
|    | Time  | 8.5177  | 0.5928   | 6.0528  |
|    | Copyright   | Copyright   |  | Copyright   |






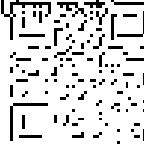
|   |   |   |  |   |
|---|---|---|--|---|
|   | NC  | 0.9956  | 0.0896   | 0.9670  |
|   | Time  | 1.7472  | 2.1684   | 2.6208  |
|   | Decode<br>QR Code   | Yes   | Yes  | Yes   |
| 36  | ABCDEFGHIJKLMN OPQRSTUVWXYZABCDEFGHIJ   |   |  |   |
|   |  |    |    |    |
|   | PSNR  | 11.1831   | 47.6200  | 66.6459   |
|   | Time  | 7.8625  | 0.6240   | 5.8344  |
|   |  |    |   |    |
|   | NC  | 0.9961  | 0.0911   | 0.9656  |
|   | Time  | 1.8252  | 2.1216   | 2.6052  |
|   | Decode<br>QR Code   | Yes   | Yes  | Yes   |
|   | 37  | ABCDEFGHIJKLMN OPQRSTUVWXYZABCDEFGHIJK  |  |   |
|  |   |  |  |  |
| PSNR  |   | 11.1831   | 47.6653  | 66.5968   |





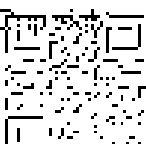




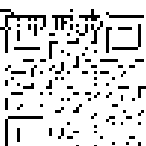
|    |  |  |  |  |
|----|--|--|--|--|
|    | Time   | 7.8000   | 0.6084   | 6.1776   |
|    | Copyright  | Copyright  |    | Copyright  |
|    | NC   | 0.9968   | 0.0913   | 0.9646   |
|    | Time   | 1.9188   | 2.0748   | 2.6988   |
|    | Decode QR Code   | Yes  | Yes  | Yes  |
| 38 | ABCDEFGHIJKLMNOPQRSTUVWXYZABCDEFGHIJKL   |  |  |  |
|    |  |  |   |  |
|    | PSNR   | 11.1831  | 47.6528  | 66.5991  |
|    | Time   | 7.7376   | 0.5772   | 5.9904   |
|    | Copyright  | Copyright  |  | Copyright  |
|    | NC   | 0.9956   | 0.0938   | 0.9646   |
|    | Time   | 1.7940   | 2.2152   | 2.7144   |
|    | Decode QR Code   | Yes  | Yes  | Yes  |





|                   |   |  |  |   |
|-------------------|---|--|--|---|
| 39                | ABCDEFGHIJKLMNOPQRSTUVWXYZABCDEFGHIJKLM   |  |  |   |
|                   |    |     |    |    |
|                   | PSNR  | 11.1831  | 47.7622  | 66.6201   |
|                   | Time  | 8.5333   | 0.5772   | 6.2868  |
|                   | Copyright   | Copyright  |    | Copyright   |
|                   | NC  | 0.9966   | 0.0864   | 0.9658  |
|                   | Time  | 1.7628   | 2.1060   | 2.5896  |
| Decode<br>QR Code | Yes   | Yes  | Yes  |   |
| 40                | ABCDEFGHIJKLMNOPQRSTUVWXYZABCDEFGHIJKLMN  |  |  |   |
|                   |  |   |  |  |
|                   | PSNR  | 7.8000   | 47.6367  | 66.6061   |
|                   | Time  | 11.1831  | 0.6708   | 6.0216  |
| Copyright         | Copyright   |  | Copyright  |   |



|   |   |   |  |   |
|---|---|---|--|---|
|   | NC  | 0.9966  | 0.0916   | 0.9646  |
|   | Time  | 1.7472  | 2.1684   | 2.5584  |
|   | Decode<br>QR Code   | Yes   | Yes  | Yes   |
| 41  | ABCDEFGHIJKLMNOPQRSTUVWXYZABCDEFGHIJKLMNO   |   |  |   |
|   |  |    |    |    |
|   | PSNR  | 11.1831   | 47.6348  | 66.6957   |
|   | Time  | 7.8781  | 0.5928   | 6.0684  |
|   | Copyright   | Copyright   |   | Copyright   |
|   | NC  | 0.9963  | 0.0901   | 0.9663  |
|   | Time  | 1.7472  | 2.1372   | 2.4024  |
|   | Decode<br>QR Code   | Yes   | Yes  | Yes   |
|   | 42  | ABCDEFGHIJKLMNOPQRSTUVWXYZABCDEFGHIJKLMNO   |  |   |
|  |   |  |  |  |
| PSNR  |   | 11.1831   | 47.6816  | 66.6365   |

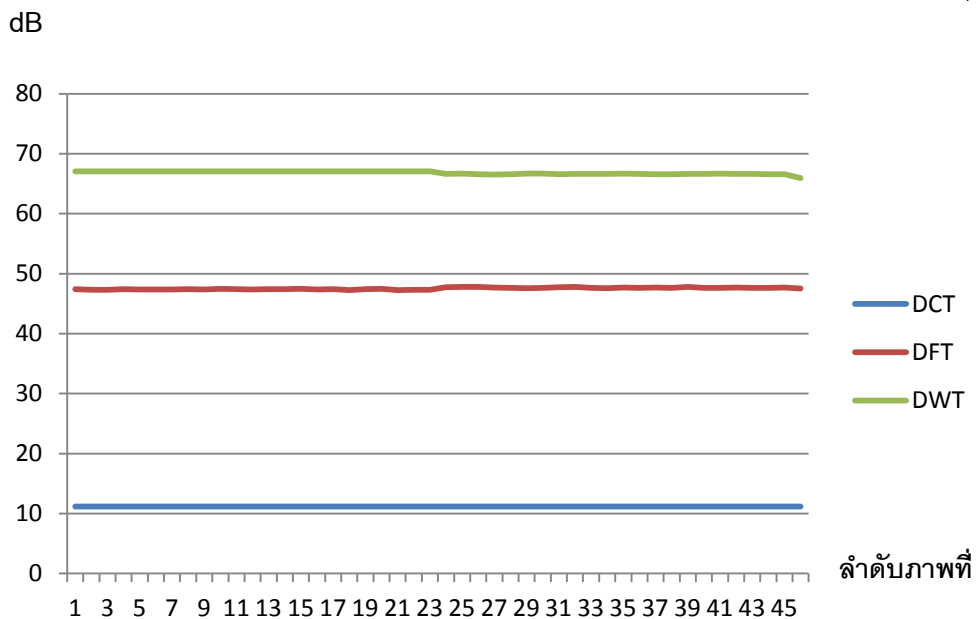
|    |  |  |  |  |
|----|--|--|--|--|
|    | Time   | 8.8453   | 0.5928   | 6.0840   |
|    | Copyright  | Copyright  |    | Copyright  |
|    | NC   | 0.9963   | 0.0942   | 0.9658   |
|    | Time   | 1.7628   | 2.1528   | 2.5116   |
|    | Decode QR Code   | Yes  | Yes  | Yes  |
| 43 | ABCDEFGHIJKLMNOPQRSTUVWXYZABCDEFGHIJKLMNPOQ  |  |  |  |
|    |  |  |   |  |
|    | PSNR   | 11.1831  | 47.6012  | 66.6295  |
|    | Time   | 8.5177   | 0.5928   | 6.0996   |
|    | Copyright  | Copyright  |  | Copyright  |
|    | NC   | 0.9966   | 0.0918   | 0.9653   |
|    | Time   | 1.8720   | 2.2152   | 2.5584   |
|    | Decode QR Code   | Yes  | Yes  | Yes  |

|    |   |   |  |   |
|----|---|---|--|---|
| 44 | ABCDEFGHIJKLMNOPQRSTUVWXYZABCDEFGHIJKLMN  |   |  |   |
|    |    |    |    |    |
|    | PSNR  | 11.1831   | 47.6103  | 66.5643   |
|    | Time  | 8.6269  | 0.6396   | 6.2400  |
|    | Copyright   | Copyright   |    | Copyright   |
|    | NC  | 0.9961  | 0.0867   | 0.9644  |
|    | Time  | 1.9032  | 2.0436   | 2.5272  |
|    | Decode QR Code  | Yes   | Yes  | Yes   |
| 45 | ABCDEFGHIJKLMNOPQRSTUVWXYZABCDEFGHIJKLMN  |   |  |   |
|    |  |  |  |  |
|    | PSNR  | 11.1831   | 47.6551  | 66.5921   |
|    | Time  | 8.1121  | 0.6552   | 6.0060  |
|    | Copyright   | Copyright   |  | Copyright   |
|    | NC  | 0.9963  | 0.0840   | 0.9634  |
|    | Time  | 1.8252  | 2.1684   | 2.7300  |
|    | Decode QR Code  | Yes   | Yes  | Yes   |

|    |   |   |  |   |
|----|---|---|--|---|
| 46 | ABCDEFGHIJKLMNOPQRSTUVWXYZABCDEFGHIJKLMNOPQRSTUVWXYZ                              |   |  |   |
|    |  |  |  |  |
|    | PSNR  | 11.1831   | 47.5249  | 65.9413   |
|    | Time  | 7.8625  | 0.6084   | 5.8968  |
|    | Copyright   | Copyright   | Copyright  | Copyright   |
|    | NC  | 0.9934  | 0.0823   | 0.8977  |
|    | Time  | 1.8252  | 2.1528   | 2.7144  |
|    | Decode QR Code  | Yes   | Yes  | Yes   |

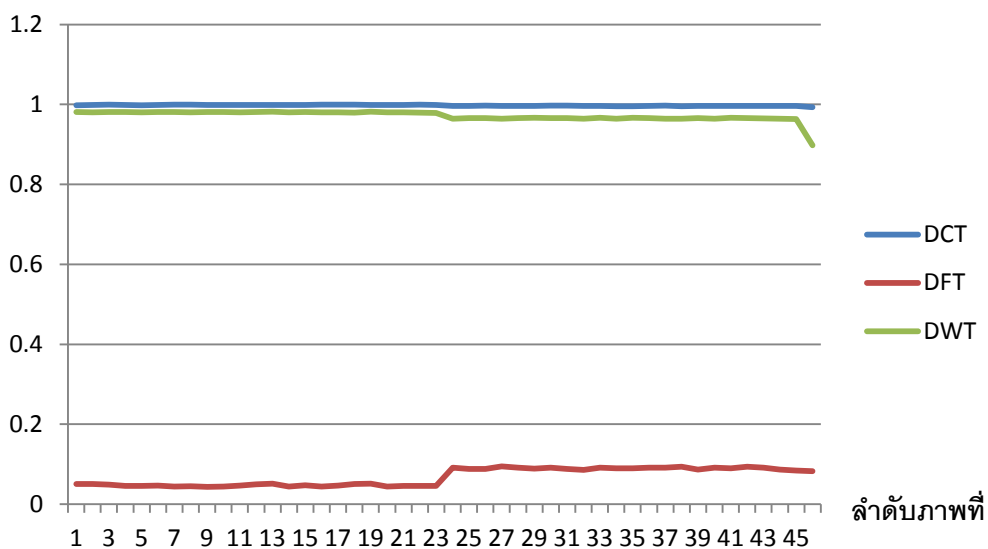
จากการทดลองสามารถวิเคราะห์ผลออกเป็น 4 กลุ่ม ดังนี้

4.2.5 PSNR (Peak signal-to-noise ratio) เมื่อเรานำมาพล็อตกราฟ โดยให้แกนตั้งเป็นค่า PSNR ส่วนแกนนอนเป็นลำดับภาพที่ ซึ่งได้กราฟดังนี้



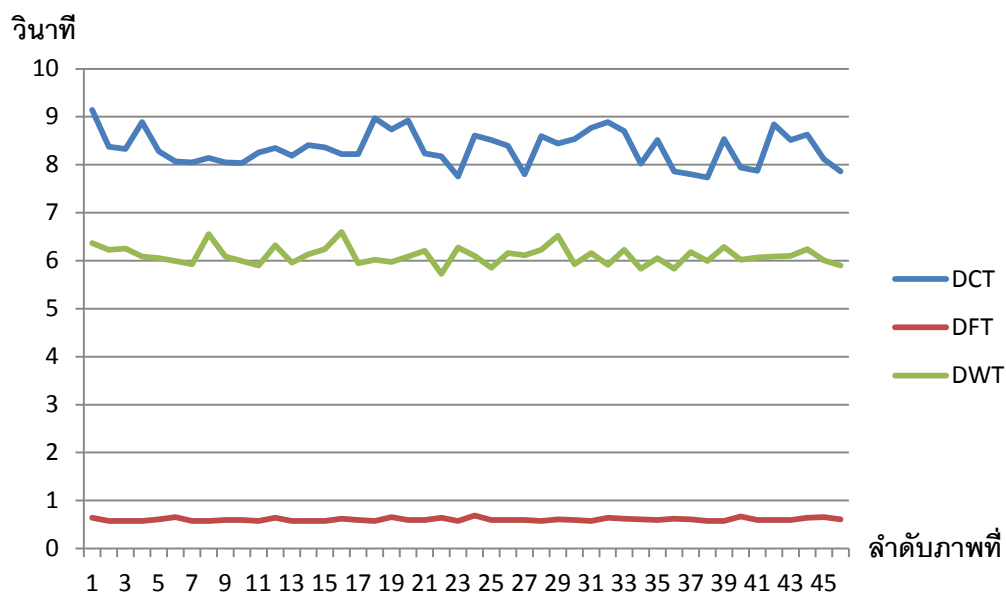
ภาพที่ 4-5 แผนภาพค่า PSNR ของทุกภาพ

4.2.6 NC (Normalized Cross Correlation) เมื่อนำมาพล็อตกราฟ โดยให้แกนตั้งเป็นค่า NC ส่วนแกนนอนเป็นลำดับภาพที่ ซึ่งได้กราฟดังนี้



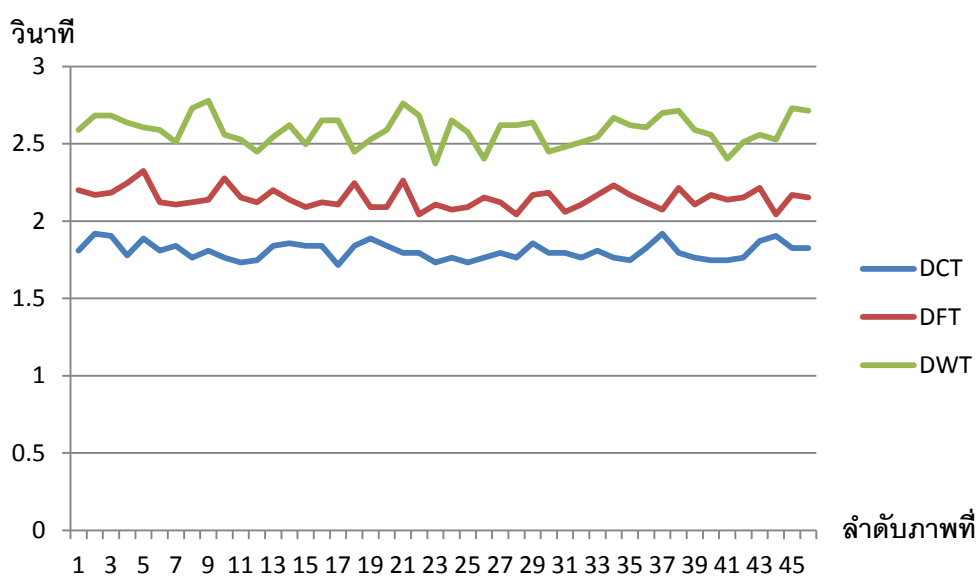
ภาพที่ 4-6 แผนภาพค่า NC ของทุกภาพ

4.2.7 Time (PSNR) เมื่อเรานำมาพล็อตกราฟ โดยให้แกนตั้งเป็นค่า Time หน่วยเป็นวินาที ส่วนแกนนอนเป็นลำดับภาพที่ ซึ่งได้กราฟดังนี้



ภาพที่ 4-7 แผนภาพค่า Time แต่ละ PSNR ของทุกภาพ

4.2.8 Time (NC) เมื่อเรานำมาพล็อตกราฟ โดยให้แกนตั้งเป็นค่า Time หน่วยเป็นวินาที ส่วนแกนนอนเป็นลำดับภาพที่ ซึ่งได้กราฟดังนี้



ภาพที่ 4-8 แผนภาพค่า Time แต่ละ NC ของทุกภาพ

## บทที่ 5

### สรุปผลการวิจัย

ในบทนี้จะกล่าวถึงผลสรุปงานวิจัย ปัญหาที่พบ และข้อเสนอแนะอันจะเป็นแนวทางการพัฒนา QR Code ร่วมกับลายน้ำดิจิทัลเพื่อซ่อนข้อมูล

#### 5.1 บทสรุป

วิทยานิพนธ์ฉบับนี้ได้นำเสนอการฝังลายน้ำดิจิทัลบน QR Code เพื่อซ่อนข้อมูล โดยกระทำใน 3 โดเมนเปรียบเทียบกัน ได้แก่ Discrete Cosine Transform (DCT), Discrete Fourier Transform (DFT) และ Discrete Wavelet Transform (DWT) โดยใช้เกณฑ์การวัดประสิทธิภาพของลายน้ำดิจิทัลแบ่งเป็น 3 ส่วนตามกระบวนการวิจัย คือ กระบวนการฝังลายน้ำดิจิทัลใช้ค่า PSNR (Peak signal-to-noise ratio), กระบวนการถอดลายน้ำดิจิทัลใช้ค่า NC (Normalized Cross Correlation) และการวัดเวลาที่เครื่องคอมพิวเตอร์ใช้ในการฝังและถอดลายน้ำดิจิทัล

จากการทดลองช่วงแรกสามารถวิเคราะห์ผลออกเป็น 4 กลุ่ม คือ 4.2.1 - 4.2.4 เมื่อเราพิจารณาการคำนวณค่า PSNR พบว่า DWT ให้ค่าที่ดีที่สุดรองลงมาเป็น DFT และ DCT ตามลำดับ เมื่อเราพิจารณาการคำนวณค่า NC พบว่า DCT ให้ค่าที่ดีที่สุดรองลงมาเป็น DWT และ DFT ตามลำดับ แต่ผลที่ตามมาพบว่า QR Code ที่ผ่านการฝังลายน้ำดิจิทัลที่ผ่านการทรานฟอร์มแบบ DCT เกิดการเปลี่ยนแปลงไปจากเดิมมากที่สุดจากการพิจารณาค่า PSNR ที่ให้ค่าน้อยที่สุด โดยจากการทดลอง เรากำหนดค่า  $k$  ในการประมวลผลภาพเป็น 200 (ใน DCT และ DFT) เพื่อให้สามารถถอดลายน้ำดิจิทัลออกมาให้ได้มากที่สุด โดยเราทดสอบมาแล้วว่าค่านี้ให้ผลได้ดีที่สุด เมื่อเราพิจารณาเวลาในการคำนวณ PSNR พบว่า DFT ให้ค่าที่ดีที่สุดรองลงมาเป็น DCT และ DWT ตามลำดับ เมื่อเราพิจารณาเวลาในการคำนวณ NC พบว่า DCT ให้ค่าที่ดีที่สุดรองลงมาเป็น DFT และ DWT ตามลำดับ

จากการทดลองช่วงสองสามารถวิเคราะห์ผลออกเป็น 4 กลุ่ม คือ 4.2.5 - 4.2.8 พบว่า ใน DCT และ DWT สามารถถอดลายน้ำหรือยอมรับลายน้ำที่อ่านออกได้ด้วยสายตาซึ่งผ่านการเข้ารหัส QR Code ไม่เกิน 2947 อักขระ หรือ ค่า NC อยู่ในช่วงที่มากกว่า 0.8 แต่ไม่เกิน 1 ใน DFT

สามารถถอดลายน้ำหรือยอมรับลายน้ำที่อ่านออกได้ด้วยสายตาซึ่งผ่านการเข้ารหัส QR Code ไม่เกิน 23 อักขระ หรือ มีค่า NC อยู่ในช่วงที่มากกว่า 0.04 แต่ไม่เกิน 0.10 ซึ่งเป็นผลมาจากใช้การทรานฟอร์มแบบ DFT ได้ค่าจำนวนเชิงซ้อน แต่ฟังก์ชัน Correlation ใน Matlab กำหนดให้รับค่าจำนวนจริงเท่านั้น รวมถึงเกิดจากจำนวนสัญลักษณ์ในบล็อกยังมีมากยิ่งขึ้นมีผลต่อการถอดลายน้ำดิจิทัล [41] โดยปัญหาที่พบเมื่อทำการเข้ารหัสคิวอาร์โค้ดมากกว่า 2947 อักขระ ไม่สามารถเข้ารหัสได้ เนื่องจากขนาดของภาพคิวอาร์โค้ดต้นฉบับในงานวิจัยเรากำหนดขอบเขตการวิจัยให้มีขนาด 512x512 พิกเซล ซึ่งขนาดภาพไม่เพียงพอต่อการเข้ารหัสคิวอาร์โค้ด นอกจากนั้นสามารถถอดรหัสคิวอาร์โค้ดได้มากที่สุดที่ 421 อักขระ ใน DFT และ DWT จากการทดลองทั้งหมดแสดงให้เห็นว่าการทรานฟอร์มแต่ละแบบมีข้อดีและข้อเสียที่แตกต่างกันขึ้นอยู่กับการใช้ให้เหมาะสม

## 5.2 ข้อเสนอแนะ

จากผลการทดลอง พบว่าวิธีการที่ได้พัฒนาขึ้นมีข้อจำกัดบางประการ ควรปรับปรุงโดยให้มีการทำการวิจัยและศึกษาต่อไปเพื่อให้มีประสิทธิภาพมากขึ้น ข้อจำกัดที่ใช้ในการฝังลายน้ำดิจิทัล นั้นจำเป็นจะต้องมีการค้นคว้ากระบวนการเพื่อให้ได้รูปภาพที่มีลักษณะใกล้เคียงกับของเดิมให้มากที่สุดก่อนเข้าสู่กระบวนการถอดลายน้ำได้ จึงควรมีการนำเทคนิคอื่นๆ เข้ามาประยุกต์ใช้เพิ่มเติม เช่น การฝังลายน้ำดิจิทัลบนฟูเรียร์ร่วมกับโดเมนอื่น เช่น ฝังลายน้ำดิจิทัลบน DFT ร่วมกับ DWT ในงานวิจัยของ Kang และคณะ [47] หรือนำเทคนิคการค้นหาคุณลักษณะ (Feature-based scheme) ซึ่งจะทำให้การตรวจหาคุณลักษณะของข้อมูล QR Code ที่ถูกเปลี่ยนแปลงไปก่อน จากนั้นทำการค้นคว้ากระบวนการให้ข้อมูล QR Code มีลักษณะใกล้เคียงกับของเดิมให้มากที่สุดก่อนเข้าสู่กระบวนการถอดลายน้ำ โดยเทคนิคนี้จะมีจุดเด่นตรงที่สามารถนำไปประยุกต์ใช้ได้กับทุกโดเมนความถี่ เช่น ในงานวิจัยของ Mikolajczyk และ Schmid [48] หรือในงานวิจัยของ Tuytelaars และ Gool [49]



## รายการอ้างอิง

- [1] ISO/IEC. Information technology-Automatic identification and data capture techniques-Bar code symbology-QR Code. First Edition. 18004. Switzerland: ISO copyright office, 2000.
- [2] Denso wave incorporated. About QR Code [Online]. 1994. Available from : <http://www.denso-wave.com/qrcode/index-e.html> [2011, April 20]
- [3] Kaywa Services for the mobile internet incorporated. QR-Code Generator [Online]. Available from : <http://qrcode.kaywa.com> [2011, April 20]
- [4] Kato, H. and Tan, K. T. Pervasive 2D barcodes for camera phone applications. IEEE Pervasive Computing. (2007) : 76-85.
- [5] Toye, E., Sharp, R., Madhavapeddy, A., Scott, D., Upton, E. and Blackwell, A. Interacting with mobile services : an evaluation of camera-phones and visual tags. Journal of Personal and Ubiquitous Computing (2007) : 97-106.
- [6] Ballagas, R. and Rohs, M. Mobile phones as pointing devices. Workshop on Pervasive Mobile Interaction Devices (2005) : 27-30.
- [7] Chu, C.H., Yang, D.N. and Chen, M.S. Image stabilization for 2D barcode in handheld devices. Proceedings of the 15th international conference on Multimedia (2007) : 697-706.
- [8] Tsung-Yu Liu, Tan-Hsu Tan and Yu-Ling Chu. 2D barcode and augmented reality supported english learning system. Proceedings of the 6th IEEE/ACIS International Conference on Computer and Information Science (2007) : 5-10.

- [9] Claycomb, W. and Dongwan Shin. Using a two dimensional colorized barcode solution for Authentication in pervasive computing. Proceedings of the 6th IEEE/ACIS International Conference on Pervasive Services (2006) : 173-180.
- [10] Jeng-Fang Weng, Yo-Ping Huang, and Shang-Lin Hsieh. The Study of RSA Algorithm on QR Code Design. Thesis for Master of Science Department of Computer Science and Engineering Tatung University, 2008.
- [11] ZXing. ZXing Decoder Online [Online]. Available from : <http://zxing.org/w/decode.jsp> [2011, April 20]
- [12] Hirakawa, M. and Iijima, J. A Study on Data Management Using Mobile Computing With Digital Watermark Technology. International Conference on Service Systems and Service Management (2009) : 186 – 191.
- [13] Rakocevic, I., Reljin, B. and Reljin I. A method for providing digital image authenticity. Telecommunications in modern satellite, cable and broadcasting services 1 (1999) : 173-176.
- [14] Yue Liu and Mingjun Liu. Automatic Recognition Algorithm of Quick Response Code Based on Embedded System. Proceedings of the 6th IEEE International Conference on Intelligent Systems Design and Applications 2 (2006) : 783-788.
- [15] Peizhuo Lv, Shengli Lai, Leian Liu, Yongming Zhuo and Kai Liu. Research and implementation of automatic recognition of two dimensional barcode mobile computing. IEEE International Conference on Mobile Technology, Applications and Systems (2005) : 1-4.

- [16] Donald D. Hearn and M. Pauline Baker. Computer Graphics with Open GL. Fourth Edition. Printice Hall Inc., 2010.
- [17] Thumrongrat Amornraksa and Bundit Thipakorn. เอกสารประกอบการเรียนการสอน ภาควิชาวิศวกรรมคอมพิวเตอร์ มหาวิทยาลัยฯ. Department of Computer Engineering King Mongkut's University of Technology Thonburi, 2548.
- [18] สุพจน์ นิตยสุวัฒน์. ลายน้ำดิจิทัล. วารสารพัฒนาเทคนิคศึกษาศาสนาบัณฑิตเทคโนโลยี พระจอมเกล้าพระนครเหนือ. 15 (ตุลาคม-ธันวาคม 2545) : 11-16.
- [19] Tong Won Seok and Jin Woo Hong. Audio Watermarking for Copyright Protection of Digital Audio Data. Electronics Letters 37 (2001) : 60-61.
- [20] Cvejic, N., Keskinarkaus, A. and Seppanen, T. Audio watermarking using m-sequences and temporal masking. IEEE Workshops on Applications of Signal Processing to Audio and Acoustics (2001) : 227-230.
- [21] มหศักดิ์ เกตุจำ. การฝังลายน้ำดิจิทัลบนสัญญาณเสียงโดยใช้วิธีการเชิงพันธุกรรม และ ดีสครีตเวฟเล็ตทรานฟอร์ม. วิทยานิพนธ์ปริญญาโท สาขาวิชาวิศวกรรมคอมพิวเตอร์ คณะวิศวกรรมศาสตร์ จุฬาลงกรณ์มหาวิทยาลัย, 2552.
- [22] Fabien A. P. Petitcolas, Ross J. Anderson and Markus G. Kuhn. Information Hiding-A Survey. Proceedings of the IEEE 87 (1999): 1062-1078.
- [23] Katzenbeisser, S. and Petitcolas, F. A. P. Information Hiding Techniques for Steganography and Digital Watermarking Artech House, Boston, London, 1999.

- [24] นริศรา โชคอำนวยชัย. การทำภาพพิมพ์ลายน้ำดิจิทัลในภาพกราฟิกส์โดยใช้วิธีเวฟเลต ฟังก์ชัน. วิทยานิพนธ์ปริญญาโทมหาบัณฑิต คณะเทคโนโลยีสารสนเทศ มหาวิทยาลัยเทคโนโลยีพระจอมเกล้าธนบุรี, 2544.
- [25] Liwei Chen and Mingfu Li. An effective blind watermark algorithm based on DCT. World Congress on Intelligent Control and Automation (2008) : 6822–6825.
- [26] Vongpradhip S. and Rungraungsilp S. QR code using invisible watermarking in frequency domain. International Conference on ICT and Knowledge Engineering (ICT & Knowledge Engineering) (January 2012) : 47–52.
- [27] Chiou-Ting Hsu and Ja-Ling Wu. Hidden Digital Watermarks in Images. IEEE Transaction on image processing 8 (1999) : 58-68.
- [28] สิทธิพงศ์ กำเนิดศิริ. การแทรกคำอธิบายคุณลักษณะลายไทยโดยใช้การทำลายน้ำดิจิทัลแบบมองไม่เห็น. วิทยานิพนธ์ปริญญาโทมหาบัณฑิต ภาควิชาคอมพิวเตอร์ศึกษา คณะอุตสาหกรรมบัณฑิต มหาวิทยาลัยเทคโนโลยีพระจอมเกล้าพระนครเหนือ, 2546
- [29] สิทธิพร ผลสมบุญ. ลายน้ำดิจิทัลสำหรับรูปภาพที่คืนสภาพได้จากการหมุน การปรับขนาด และการเคลื่อนที่ โดยใช้ฟังก์ชันเอ็กซ์โพเนนเชียลเชิงซ้อน. วิทยานิพนธ์ปริญญาโทมหาบัณฑิต, ภาควิชาวิศวกรรมคอมพิวเตอร์ คณะวิศวกรรมศาสตร์ จุฬาลงกรณ์มหาวิทยาลัย, 2547.
- [30] Xiangui Kang, Rui Yang and Jiwu Huang. Geometric Invariant Audio Watermarking Based on an LCM Feature. IEEE Transactions on Multimedia 13 (2011) : 181 – 190.

- [31] P.W. Wong and E. J. Delp. Security and watermarking of multimedia contents. Proceedings of the Society of Photo-optical Instrumentation Engineers 1 (1999) : 156-166.
- [32] วิจิตรา ตีรพิลกุล. การทำลายน้ำดิจิทัลบนเอกสารราชการ. วิทยานิพนธ์ปริญญา มหาบัณฑิต ภาควิชาคอมพิวเตอร์ศึกษา คณะอุตสาหกรรมบัณฑิต มหาวิทยาลัยเทคโนโลยีพระจอมเกล้าพระนครเหนือ, 2546.
- [33] Cox, I. J., Kilian, J., Leighton, F. T. and Shamoon, T. Secure spread spectrum watermarking for multimedia. IEEE Transactions on Image Processing 6 (December 1997) : 1673-1687.
- [34] Ng, K. S., Cheng, L. M., Cheng, L. L. and Wong, M. K. Adaptive watermarking by using pixel position shifting technique. IEEE Transactions on Consumer Electronics 45 (November 1999) : 1057-1064.
- [35] George, M., Chouinard, J. V. and Georganas, N. Digital watermarking of images and video using direct sequence spread spectrum techniques. IEEE Canadian Conference on Electrical and Computer Engineering 1 (1999) : 116-121.
- [36] Mobasser, B.G. A spatial digital video watermark that survives MPEG. Proceedings International Conference on Information Technology: Coding and Computing (2000): 68-73.
- [37] Yeung, M. M. and Mintzer, F. An invisible watermarking technique for image verification. Proceedings International conference on Image Processing 2 (October 1997) : 680-683.
- [38] Qingzhong Liu, Sung, A. H., Ribeiro, B. M. and Ferreira, R. Steganalysis of multi-class JPEG images based on expanded Markov features and polynomial fitting. IEEE International Joint Conference on Neural Networks

- (IEEE World Congress on Computational Intelligence) (June 2008) : 3352-3357.
- [39] Mortazavi, S. A., Pour, A. N. and Kato, T. An efficient distributed group key management using hierarchical approach with Diffie-Hellman and Symmetric Algorithm: DHSA. International Symposium on Computer Networks and Distributed Systems (CNDS) (February 2011) : 49-54.
- [40] Schyndel, R. G., Tirkel, A. Z. and Osborne, C. F. A digital watermark. IEEE International Conference on Image Processing 2 (November 1994) : 86-90.
- [41] ประทาน โชติพันธุ์บัณฑิตย์. การซ่อนข้อมูลและความมั่นคงสำหรับเอกสารสิ่งพิมพ์. วิทยานิพนธ์ปริญญาามหาบัณฑิต ภาควิชาวิศวกรรมคอมพิวเตอร์ คณะวิศวกรรมศาสตร์ จุฬาลงกรณ์มหาวิทยาลัย, 2552.
- [42] นริศ หนูหอม. การฝังลายน้ำอเนกประสงค์บนรูปภาพดิจิทัลเพื่อตรวจสอบรับรองความเป็นต้นฉบับและพิสูจน์ความเป็นเจ้าของลิขสิทธิ์. วิทยานิพนธ์ปริญญาตรีบัณฑิต ภาควิชาวิศวกรรมคอมพิวเตอร์ คณะวิศวกรรมศาสตร์ จุฬาลงกรณ์มหาวิทยาลัย, 2553.
- [43] สุวรรฐ สุตันยสุวรรณ. การปรับปรุงความหนาแน่นของเทคโนโลยีการฝังข้อมูลลงบนกระดาษ. วิทยานิพนธ์ปริญญาามหาบัณฑิต ภาควิชาวิศวกรรมคอมพิวเตอร์ คณะวิศวกรรมศาสตร์ จุฬาลงกรณ์มหาวิทยาลัย, 2546
- [44] Kundur D. and Hatzinakos D. Watermarking for Image Authentication. Proceedings of the IEEE International conference on Image Processing 87 (July 1998) : 1167-1180.
- [45] Ruanaidh, J. J. K. O., Dowling, W. J. and Boland, F. M. Phase watermarking of digital images. Proceedings of the IEEE International conference on Image Processing 3 (1996) : 239-242.
- [46] Li Li, Rui-Ling Wang and Chin-Chen Chang. A Digital Watermark Algorithm for QR Code. International Journal of Intelligent Information Processing 2 (2011) : 29-36.

- [47] Kang, X. J., Dong L. J. and Wang Y. A Digital Watermarking Algorithm Based on Image Segmentation and DFT. Proceedings of the First International Conference on Information Science and Engineering (2009) : 1511-1514.
- [48] Mikolajczyk K. and Schmid C. Scale and affine invariant interest point detectors. International Journal of Computer Vision 60 (2004) : 63-86.
- [49] Tuytelaars, T. and Gool, L. V. Matching widely separated views based on affine invariant regions. International Journal of Computer Vision 59 (2004) : 61-85.

ภาคผนวก



**ภาคผนวก ก**  
**คำจำกัดความที่เกี่ยวข้องกับ QR Code**

1. Alignment Pattern หมายถึง ตำแหน่งในข้อมูล QR Code เป็นส่วนที่ re-synchronise coordinate mapping module ของข้อมูล QR Code กรณีที่ ข้อมูล QR Code เกิดการบิดเบือน
2. Character Count Indicator หมายถึง จำนวนของข้อมูล
3. Data Masking หมายถึง กระบวนการ XOR บิตระหว่างส่วนที่เข้ารหัสกับ Mask Pattern เพื่อให้ได้ข้อมูล QR Code ที่มีสีขาวและสีดำที่สมดุลกันซึ่งช่วยให้ไม่รบกวนการประมวลผลข้อมูล QR Code
4. Data Mask Pattern Reference หมายถึง เลขไบนารี 3 บิตซึ่งเป็นตัวแทนในแต่ละ Data Masking Patterns
5. Encoding Region หมายถึง ส่วนที่เกิดจากการเข้ารหัสของข้อมูลอินพุต, Error Correction, Version และ Format Information
6. Format Information หมายถึง มีข้อมูล 15 บิตที่ประกอบด้วยข้อมูล 5 บิตและ Bose-Chaudhuri-Hocquenghem ซึ่งเป็นเรื่องการเข้ารหัสที่เกี่ยวข้องกับ Error Correcting 10 บิต
7. QR Code หมายถึง บาร์โค้ด 2 มิติที่มีลักษณะการเก็บข้อมูลเป็นแบบเมตริกซ์ มีตั้งแต่เวอร์ชัน 1 ถึง 40
8. Function Pattern หมายถึง โดยทั่วไปจะเป็นส่วนประกอบหนึ่งของสัญลักษณ์ เช่น Finder, Separator, Timing Patterns และ Alignment Patterns ซึ่งมีไว้สำหรับการวางสัญลักษณ์หรือแยกแยะคุณลักษณะที่ช่วยในการถอดรหัส
9. Mode หมายถึง ตัวแทนที่แสดงให้ทราบถึงกลุ่มของอักขระ
10. Mode Indicator หมายถึง เลขไบนารี 4 บิตที่ใช้บอกว่าข้อมูลของเราอยู่กลุ่มไหน

11. Padding Bit หมายถึง การเติมบิต 0 ไปยังตำแหน่งที่ว่างใน Codeword ท้ายสุดหลัง Terminator
12. Finder Pattern หมายถึง 1 ใน 3 ที่มีลักษณะเหมือนกันทั้ง 3 ของ Finder Pattern
13. Remainder Bit หมายถึง การเติมบิต 0 ซึ่งไม่ได้หมายถึงการแสดงถึงข้อมูล ใช้เติมไปยังตำแหน่งที่ว่างของส่วนการเข้ารหัสเมื่อการเข้ารหัสไม่สามารถแบ่งเป็นชุดละ 8 บิตได้ครบ
14. Remainder Codeword หมายถึง การเติม Codeword หลัง Error Correcting เพื่อเติมตำแหน่ง Codeword ที่ว่างให้เต็มถ้าขาด
15. Segment หมายถึง Function Pattern เป็นสี่ขาวซึ่งใช้แยก Finder Patterns
16. Terminator หมายถึง บิต 0 ทั้งหมดที่มีจำนวนตามที่กำหนด เพื่อบอกจุดสิ้นสุดของข้อมูล
17. Timing Pattern หมายถึง โมดูลขาวกับดำสลับกันทำให้สามารถคิดพิกัดของโมดูลภายในได้
18. Version หมายถึง ขนาดของ QR Code โดยมี Version 21 x 21 modules (Version 1) ถึง 177 x 177 modules (Version 40)
19. Version Information หมายถึง จะมีใน QR Code ตั้งแต่เวอร์ชัน 7 ขึ้นไป ซึ่งประกอบด้วย 18 บิต โดยที่ เป็นข้อมูล 6 บิตเป็น Error Correcting 12 บิต เพื่อเป็นข้อมูลในการคำนวณ Error Correcting
20. BCH หมายถึง การเข้ารหัสแบบ Bose-Chaudhuri-Hocquenghem
21. RS หมายถึง การเข้ารหัสแบบ Reed-Solomon
22. Module Positions หมายถึง เพื่อให้่ายในการอ้างถึงตำแหน่งของโมดูลเลยถูกกำหนดด้วย Row กับ Column ร่วมกันใน QR Code โดยรูปแบบ (i, j) ซึ่ง i เป็นการระบุ Row (นับจากบนสุดไล่ลงมา) และ j เป็นการระบุ Column (นับจากซ้ายไปขวา)

ที่แต่ละตำแหน่งของโมดูลโดยเริ่มนับจากตำแหน่ง 0 หรือ โมดูล (0,0) ซึ่งเป็นตำแหน่งบนสุดซ้ายมือของ QR Code

23. Byte notation หมายถึง ปริมาณของ Byte ถูกแสดงเป็น 6 ค่า

24. Version references หมายถึง QR Code ถูกเรียกในรูปแบบ V-E ซึ่ง V เป็นการระบุเลขเวอร์ชัน (1 ถึง 40) และ E เป็นการระบุระดับของ Error Correcting (L, M, Q, H) โดยในงานวิจัยสนใจแค่ระดับ L

**ภาคผนวก ข**  
**ตารางแสดงจำนวน Codewords ทุกเวอร์ชัน**

| Version | No. of Modules/<br>side (A) | Function pattern modules<br>(B) | Format and version information modules<br>(C) | Data modules except (C)<br>(D=A <sup>2</sup> -B-C) | Data capacity [codewords] <sup>a</sup><br>(E) | Remainder Bits |
|---------|-----------------------------|---------------------------------|---|--|---|----------------|
| 1       | 21                          | 202                             | 31  | 208  | 26  | 0              |
| 2       | 25                          | 235                             | 31  | 359  | 44  | 7              |
| 3       | 29                          | 243                             | 31  | 567  | 70  | 7              |
| 4       | 33                          | 251                             | 31  | 807  | 100   | 7              |
| 5       | 37                          | 259                             | 31  | 1,079  | 134   | 7              |
| 6       | 41                          | 267                             | 31  | 1,383  | 172   | 7              |
| 7       | 45                          | 390                             | 67  | 1,568  | 196   | 0              |
| 8       | 49                          | 398                             | 67  | 1,936  | 242   | 0              |
| 9       | 53                          | 406                             | 67  | 2,336  | 292   | 0              |
| 10      | 57                          | 414                             | 67  | 2,768  | 346   | 0              |
| 11      | 61                          | 422                             | 67  | 3,232  | 404   | 0              |
| 12      | 65                          | 430                             | 67  | 3,728  | 466   | 0              |
| 13      | 69                          | 438                             | 67  | 4,256  | 532   | 0              |
| 14      | 73                          | 611                             | 67  | 4,651  | 581   | 3              |
| 15      | 77                          | 619                             | 67  | 5,243  | 655   | 3              |
| 16      | 81                          | 627                             | 67  | 5,867  | 733   | 3              |
| 17      | 85                          | 635                             | 67  | 6,523  | 815   | 3              |
| 18      | 89                          | 643                             | 67  | 7,211  | 901   | 3              |
| 19      | 93                          | 651                             | 67  | 7,931  | 991   | 3              |
| 20      | 97                          | 659                             | 67  | 8,683  | 1,085   | 3              |

|    |     |       |    |        |       |   |
|----|-----|-------|----|--------|-------|---|
| 21 | 101 | 882   | 67 | 9,252  | 1,156 | 4 |
| 22 | 105 | 890   | 67 | 10,068 | 1,258 | 4 |
| 23 | 109 | 898   | 67 | 10,916 | 1,364 | 4 |
| 24 | 113 | 906   | 67 | 11,796 | 1,474 | 4 |
| 25 | 117 | 914   | 67 | 12,708 | 1,588 | 4 |
| 26 | 121 | 922   | 67 | 13,652 | 1,706 | 4 |
| 27 | 125 | 930   | 67 | 14,628 | 1,828 | 4 |
| 28 | 129 | 1,203 | 67 | 15,371 | 1,921 | 3 |
| 29 | 133 | 1,211 | 67 | 16,411 | 2,051 | 3 |
| 30 | 137 | 1,219 | 67 | 17,483 | 2,185 | 3 |
| 31 | 141 | 1,227 | 67 | 18,587 | 2,323 | 3 |
| 32 | 145 | 1,235 | 67 | 19,723 | 2,465 | 3 |
| 33 | 149 | 1,243 | 67 | 20,891 | 2,611 | 3 |
| 34 | 153 | 1,251 | 67 | 22,091 | 2,761 | 3 |
| 35 | 157 | 1,574 | 67 | 23,008 | 2,876 | 0 |
| 36 | 161 | 1,582 | 67 | 24,272 | 3,034 | 0 |
| 37 | 165 | 1,590 | 67 | 25,568 | 3,196 | 0 |
| 38 | 169 | 1,598 | 67 | 26,896 | 3,362 | 0 |
| 39 | 173 | 1,606 | 67 | 28,256 | 3,532 | 0 |
| 40 | 177 | 1,614 | 67 | 29,648 | 3,706 | 0 |

**ภาคผนวก ค**  
**ตารางแสดงคุณสมบัติ Data Codewords ของ QR Code**

| Version | Error Correction Level | Number of Data Codewords | Number of Data Bits | Data Capacity |              |
|---------|------------------------|--------------------------|---------------------|---------------|--------------|
|         |                        |                          |                     | Numeric       | Alphanumeric |
| 1       | L                      | 19                       | 152                 | 41            | 25           |
|         | M                      | 16                       | 128                 | 34            | 20           |
|         | Q                      | 13                       | 104                 | 27            | 16           |
|         | H                      | 9                        | 72                  | 17            | 10           |
| 2       | L                      | 34                       | 272                 | 77            | 47           |
|         | M                      | 28                       | 224                 | 63            | 38           |
|         | Q                      | 22                       | 176                 | 48            | 29           |
|         | H                      | 16                       | 128                 | 34            | 20           |
| 3       | L                      | 55                       | 440                 | 127           | 77           |
|         | M                      | 44                       | 352                 | 101           | 61           |
|         | Q                      | 34                       | 272                 | 77            | 47           |
|         | H                      | 26                       | 208                 | 58            | 35           |
| 4       | L                      | 80                       | 640                 | 187           | 114          |
|         | M                      | 64                       | 512                 | 149           | 90           |
|         | Q                      | 48                       | 384                 | 111           | 67           |
|         | H                      | 36                       | 288                 | 82            | 50           |
| 5       | L                      | 108                      | 864                 | 255           | 154          |
|         | M                      | 86                       | 688                 | 202           | 122          |
|         | Q                      | 62                       | 496                 | 144           | 87           |
|         | H                      | 46                       | 368                 | 106           | 64           |
| 6       | L                      | 136                      | 1,088               | 322           | 195          |
|         | M                      | 108                      | 864                 | 255           | 154          |
|         | Q                      | 76                       | 608                 | 178           | 108          |
|         | H                      | 60                       | 480                 | 139           | 84           |

|    |   |     |       |       |     |
|----|---|-----|-------|-------|-----|
| 7  | L | 156 | 1,248 | 370   | 224 |
|    | M | 124 | 992   | 293   | 178 |
|    | Q | 88  | 704   | 207   | 125 |
|    | H | 66  | 528   | 154   | 93  |
| 8  | L | 194 | 1,552 | 461   | 279 |
|    | M | 154 | 1,232 | 365   | 221 |
|    | Q | 110 | 880   | 259   | 157 |
|    | H | 86  | 688   | 202   | 122 |
| 9  | L | 232 | 1,856 | 552   | 335 |
|    | M | 182 | 1,456 | 432   | 262 |
|    | Q | 132 | 1,056 | 312   | 189 |
|    | H | 100 | 800   | 235   | 143 |
| 10 | L | 274 | 2,192 | 652   | 395 |
|    | M | 216 | 1,728 | 513   | 311 |
|    | Q | 154 | 1,232 | 364   | 221 |
|    | H | 122 | 976   | 288   | 174 |
| 11 | L | 324 | 2,592 | 772   | 468 |
|    | M | 254 | 2,032 | 604   | 366 |
|    | Q | 180 | 1,440 | 427   | 259 |
|    | H | 140 | 1,120 | 331   | 200 |
| 12 | L | 370 | 2,960 | 883   | 535 |
|    | M | 290 | 2,320 | 691   | 419 |
|    | Q | 206 | 1,648 | 489   | 296 |
|    | H | 158 | 1,264 | 374   | 227 |
| 13 | L | 428 | 3,424 | 1,022 | 619 |
|    | M | 334 | 2,672 | 796   | 483 |
|    | Q | 244 | 1,952 | 580   | 352 |
|    | H | 180 | 1,440 | 427   | 259 |
| 14 | L | 461 | 3,688 | 1,101 | 667 |
|    | M | 365 | 2,920 | 871   | 528 |

|    |   |     |       |       |       |
|----|---|-----|-------|-------|-------|
|    | Q | 261 | 2,088 | 621   | 376   |
|    | H | 197 | 1,576 | 468   | 283   |
| 15 | L | 523 | 4,184 | 1,250 | 758   |
|    | M | 415 | 3,320 | 991   | 600   |
|    | Q | 295 | 2,360 | 703   | 426   |
|    | H | 223 | 1,784 | 530   | 321   |
| 16 | L | 589 | 4,712 | 1,408 | 854   |
|    | M | 453 | 3,624 | 1,082 | 656   |
|    | Q | 325 | 2,600 | 775   | 470   |
|    | H | 253 | 2,024 | 602   | 365   |
| 17 | L | 647 | 5,176 | 1,548 | 938   |
|    | M | 507 | 4,056 | 1,212 | 734   |
|    | Q | 367 | 2,936 | 876   | 531   |
|    | H | 283 | 2,264 | 674   | 408   |
| 18 | L | 721 | 5,768 | 1,725 | 1,046 |
|    | M | 563 | 4,504 | 1,346 | 816   |
|    | Q | 397 | 3,176 | 948   | 574   |
|    | H | 313 | 2,504 | 746   | 452   |
| 19 | L | 795 | 6,360 | 1,903 | 1,153 |
|    | M | 627 | 5,016 | 1,500 | 909   |
|    | Q | 445 | 3,560 | 1,063 | 644   |
|    | H | 341 | 2,728 | 813   | 493   |
| 20 | L | 861 | 6,888 | 2,061 | 1,249 |
|    | M | 669 | 5,352 | 1,600 | 970   |
|    | Q | 485 | 3,880 | 1,159 | 702   |
|    | H | 385 | 3,080 | 919   | 557   |
| 21 | L | 932 | 7,456 | 2,232 | 1,352 |
|    | M | 714 | 5,712 | 1,708 | 1,035 |
|    | Q | 512 | 4,096 | 1,224 | 742   |
|    | H | 406 | 3,248 | 969   | 587   |



|    |   |       |        |       |       |
|----|---|-------|--------|-------|-------|
| 22 | L | 1,006 | 8,048  | 2,409 | 1,460 |
|    | M | 782   | 6,256  | 1,872 | 1,134 |
|    | Q | 568   | 4,544  | 1,358 | 823   |
|    | H | 442   | 3,536  | 1,056 | 640   |
| 23 | L | 1,094 | 8,752  | 2,620 | 1,588 |
|    | M | 860   | 6,880  | 2,059 | 1,248 |
|    | Q | 614   | 4,912  | 1,468 | 890   |
|    | H | 464   | 3,712  | 1,108 | 672   |
| 24 | L | 1,174 | 9,392  | 2,812 | 1,704 |
|    | M | 914   | 7,312  | 2,188 | 1,326 |
|    | Q | 664   | 5,312  | 1,588 | 963   |
|    | H | 514   | 4,112  | 1,228 | 744   |
| 25 | L | 1,276 | 10,208 | 3,057 | 1,853 |
|    | M | 1,000 | 8,000  | 2,395 | 1,451 |
|    | Q | 718   | 5,744  | 1,718 | 1,041 |
|    | H | 538   | 4,304  | 1,286 | 779   |
| 26 | L | 1,370 | 10,960 | 3,283 | 1,990 |
|    | M | 1,062 | 8,496  | 2,544 | 1,542 |
|    | Q | 754   | 6,032  | 1,804 | 1,094 |
|    | H | 596   | 4,768  | 1,425 | 864   |
| 27 | L | 1,468 | 11,744 | 3,517 | 2,132 |
|    | M | 1,128 | 9,024  | 2,701 | 1,637 |
|    | Q | 808   | 6,464  | 1,933 | 1,172 |
|    | H | 628   | 5,024  | 1,501 | 910   |
| 28 | L | 1,531 | 12,248 | 3,669 | 2,223 |
|    | M | 1,193 | 9,544  | 2,857 | 1,732 |
|    | Q | 871   | 6,968  | 2,085 | 1,263 |
|    | H | 661   | 5,288  | 1,581 | 958   |
| 29 | L | 1,631 | 13,048 | 3,909 | 2,369 |
|    | M | 1,267 | 10,136 | 3,035 | 1,839 |

|    |   |       |        |       |       |
|----|---|-------|--------|-------|-------|
|    | Q | 911   | 7,288  | 2,181 | 1,322 |
|    | H | 701   | 5,608  | 1,677 | 1,016 |
| 30 | L | 1,735 | 13,880 | 4,158 | 2,520 |
|    | M | 1,373 | 10,984 | 3,289 | 1,994 |
|    | Q | 985   | 7,880  | 2,358 | 1,429 |
|    | H | 745   | 5,960  | 1,782 | 1,080 |
| 31 | L | 1,843 | 14,744 | 4,417 | 2,677 |
|    | M | 1,455 | 11,640 | 3,486 | 2,113 |
|    | Q | 1,033 | 8,264  | 2,473 | 1,499 |
|    | H | 793   | 6,344  | 1,897 | 1,150 |
| 32 | L | 1,955 | 15,640 | 4,686 | 2,840 |
|    | M | 1,541 | 12,328 | 3,693 | 2,238 |
|    | Q | 1,115 | 8,920  | 2,670 | 1,618 |
|    | H | 845   | 6,760  | 2,022 | 1,226 |
| 33 | L | 2,071 | 16,568 | 4,965 | 3,009 |
|    | M | 1,631 | 13,048 | 3,909 | 2,369 |
|    | Q | 1,171 | 9,368  | 2,805 | 1,700 |
|    | H | 901   | 7,208  | 2,157 | 1,307 |
| 34 | L | 2,191 | 17,528 | 5,253 | 3,183 |
|    | M | 1,725 | 13,800 | 4,134 | 2,506 |
|    | Q | 1,231 | 9,848  | 2,949 | 1,787 |
|    | H | 961   | 7,688  | 2,301 | 1,394 |
| 35 | L | 2,306 | 18,448 | 5,529 | 3,351 |
|    | M | 1,812 | 14,496 | 4,343 | 2,632 |
|    | Q | 1,286 | 10,288 | 3,081 | 1,867 |
|    | H | 986   | 7,888  | 2,361 | 1,431 |
| 36 | L | 2,434 | 19,472 | 5,836 | 3,537 |
|    | M | 1,914 | 15,312 | 4,588 | 2,780 |
|    | Q | 1,354 | 10,832 | 3,244 | 1,966 |
|    | H | 1,054 | 8,432  | 2,524 | 1,530 |

|    |   |       |        |       |       |
|----|---|-------|--------|-------|-------|
| 37 | L | 2,566 | 20,528 | 6,153 | 3,729 |
|    | M | 1,992 | 15,936 | 4,775 | 2,894 |
|    | Q | 1,426 | 11,408 | 3,417 | 2,071 |
|    | H | 1,096 | 8,768  | 2,625 | 1,591 |
| 38 | L | 2,702 | 21,616 | 6,479 | 3,927 |
|    | M | 2,102 | 16,816 | 5,039 | 3,054 |
|    | Q | 1,502 | 12,016 | 3,599 | 2,181 |
|    | H | 1,142 | 9,136  | 2,735 | 1,658 |
| 39 | L | 2,812 | 22,496 | 6,743 | 4,087 |
|    | M | 2,216 | 17,728 | 5,313 | 3,220 |
|    | Q | 1,582 | 12,656 | 3,791 | 2,298 |
|    | H | 1,222 | 9,776  | 2,927 | 1,774 |
| 40 | L | 2,956 | 23,648 | 7,089 | 4,296 |
|    | M | 2,334 | 18,672 | 5,596 | 3,391 |
|    | Q | 1,666 | 13,328 | 3,993 | 2,420 |
|    | H | 1,276 | 10,208 | 3,057 | 1,852 |

**ภาคผนวก ง**  
**ตารางแสดงคุณสมบัติ Error Correction ของ QR Code**

| Version | Total Number of Codewords | Error Correction Level | Number of Error Correction Codewords | Value of p | Number of Error Correction Blocks | Error Correction Code per Block (c, k, r) <sup>a</sup> |
|---------|---------------------------|------------------------|--------------------------------------|------------|-----------------------------------|--|
| 1       | 26                        | L                      | 7                                    | 3          | 1                                 | (26,19,2) <sup>b</sup>                                 |
|         |                           | M                      | 10                                   | 2          | 1                                 | (26,16,4) <sup>b</sup>                                 |
|         |                           | Q                      | 13                                   | 1          | 1                                 | (26,13,6) <sup>b</sup>                                 |
|         |                           | H                      | 17                                   | 1          | 1                                 | (26,9,8) <sup>b</sup>                                  |
| 2       | 44                        | L                      | 10                                   | 2          | 1                                 | (44,34,4) <sup>b</sup>                                 |
|         |                           | M                      | 16                                   | 0          | 1                                 | (44,28,8)  |
|         |                           | Q                      | 22                                   | 0          | 1                                 | (44,22,11)   |
|         |                           | H                      | 28                                   | 0          | 1                                 | (44,16,14)   |
| 3       | 70                        | L                      | 15                                   | 1          | 1                                 | (70,55,7) <sup>b</sup>                                 |
|         |                           | M                      | 26                                   | 0          | 1                                 | (70,44,13)   |
|         |                           | Q                      | 36                                   | 0          | 2                                 | (35,17,9)  |
|         |                           | H                      | 44                                   | 0          | 2                                 | (35,13,11)   |
| 4       | 100                       | L                      | 20                                   | 0          | 1                                 | (100,80,10)  |
|         |                           | M                      | 36                                   |            | 2                                 | (50,32,9)  |
|         |                           | Q                      | 52                                   |            | 2                                 | (50,24,13)   |
|         |                           | H                      | 64                                   |            | 4                                 | (25,9,8)   |
| 5       | 134                       | L                      | 26                                   | 0          | 1                                 | (134,108,13)   |
|         |                           | M                      | 48                                   |            | 2                                 | (67,43,12)   |
|         |                           | Q                      | 72                                   |            | 2                                 | (33,15,9)  |
|         |                           | H                      | 88                                   | 2          | (34,16,9)                         |  |
|         |                           |                        |                                      | 2          | (33,11,11)                        |  |
| 2       | (34,12,11)                |                        |                                      |            |                                   |  |

|    |     |   |            |   |   |              |
|----|-----|---|------------|---|---|--------------|
| 6  | 172 | L | 36         | 0 | 2 | (86,68,9)    |
|    |     | M | 64         |   | 4 | (43,27,8)    |
|    |     | Q | 96         |   | 4 | (43,19,12)   |
|    |     | H | 112        |   | 4 | (43,15,14)   |
| 7  | 196 | L | 40         | 0 | 2 | (98,78,10)   |
|    |     | M | 72         |   | 4 | (49,31,9)    |
|    |     | Q | 108        |   | 2 | (32,14,9)    |
|    |     | H | 130        |   | 4 | (33,15,9)    |
|    |     |   |            |   | 4 | (39,13,13)   |
|    |     | 1 | (40,14,13) |   |   |              |
| 8  | 242 | L | 48         | 0 | 2 | (121,97,12)  |
|    |     | M | 88         |   | 2 | (60,38,11)   |
|    |     | Q | 132        |   | 2 | (61,39,11)   |
|    |     | H | 156        |   | 4 | (40,18,11)   |
|    |     |   |            |   | 2 | (41,19,11)   |
|    |     |   |            |   | 4 | (40,14,13)   |
|    |     | 2 | (41,15,13) |   |   |              |
| 9  | 292 | L | 60         | 0 | 2 | (146,116,15) |
|    |     | M | 110        |   | 3 | (58,36,11)   |
|    |     | Q | 160        |   | 2 | (59,37,11)   |
|    |     | H | 192        |   | 4 | (36,16,10)   |
|    |     |   |            |   | 4 | (37,17,10)   |
|    |     |   |            |   | 4 | (36,12,12)   |
|    |     | 4 | (37,13,12) |   |   |              |
| 10 | 346 | L | 72         | 0 | 2 | (86,68,9)    |
|    |     | M | 130        |   | 2 | (87,69,9)    |
|    |     | Q | 192        |   | 4 | (69,43,13)   |
|    |     | H | 224        |   | 1 | (70,44,13)   |
|    |     |   |            |   | 6 | (43,19,12)   |
|    |     | 2 | (44,20,12) |   |   |              |

|    |     |   |     |   |    |              |
|----|-----|---|-----|---|----|--------------|
|    |     |   |     |   | 6  | (43,15,14)   |
|    |     |   |     |   | 2  | (44,16,14)   |
| 11 | 404 | L | 80  | 0 | 4  | (101,81,10)  |
|    |     | M | 150 |   | 1  | (80,50,15)   |
|    |     | Q | 224 |   | 4  | (81,51,15)   |
|    |     | H | 264 |   | 4  | (50,22,14)   |
|    |     |   |     |   | 4  | (51,23,14)   |
|    |     |   |     |   | 3  | (36,12,12)   |
|    |     |   |     |   | 8  | (37,13,12)   |
| 12 | 466 | L | 96  | 0 | 2  | (116,92,12)  |
|    |     | M | 176 |   | 2  | (117,93,12)  |
|    |     | Q | 260 |   | 6  | (58,36,11)   |
|    |     | H | 308 |   | 2  | (59,37,11)   |
|    |     |   |     |   | 4  | (46,20,13)   |
|    |     |   |     |   | 6  | (47,21,13)   |
|    |     |   |     |   | 7  | (42,14,14)   |
|    |     |   |     |   | 4  | (43,15,14)   |
| 13 | 532 | L | 104 | 0 | 4  | (133,107,13) |
|    |     | M | 198 |   | 8  | (59,37,11)   |
|    |     | Q | 288 |   | 1  | (60,38,11)   |
|    |     | H | 352 |   | 8  | (44,20,12)   |
|    |     |   |     |   | 4  | (45,21,12)   |
|    |     |   |     |   | 12 | (33,11,11)   |
|    |     |   |     |   | 4  | (34,12,11)   |
| 14 | 581 | L | 120 | 0 | 3  | (145,115,15) |
|    |     | M | 216 |   | 1  | (146,116,15) |
|    |     | Q | 320 |   | 4  | (64,40,12)   |
|    |     | H | 384 |   | 5  | (65,41,12)   |
|    |     |   |     |   | 11 | (36,16,10)   |
|    |     |   |     |   | 5  | (37,17,10)   |

|    |     |   |     |   |    |              |
|----|-----|---|-----|---|----|--------------|
|    |     |   |     |   | 11 | (36,12,12)   |
|    |     |   |     |   | 5  | (37,13,12)   |
| 15 | 655 | L | 132 | 0 | 5  | (109,87,11)  |
|    |     | M | 240 |   | 1  | (110,88,11)  |
|    |     | Q | 360 |   | 5  | (65,41,12)   |
|    |     | H | 432 |   | 5  | (66,42,12)   |
|    |     |   |     |   | 5  | (54,24,15)   |
|    |     |   |     |   | 7  | (55,25,15)   |
|    |     |   |     |   | 11 | (36,12,12)   |
|    |     |   |     |   | 7  | (37,13,12)   |
| 16 | 733 | L | 144 | 0 | 5  | (122,98,12)  |
|    |     | M | 280 |   | 1  | (123,99,12)  |
|    |     | Q | 408 |   | 7  | (73,45,14)   |
|    |     | H | 480 |   | 3  | (74,46,14)   |
|    |     |   |     |   | 15 | (43,19,12)   |
|    |     |   |     |   | 2  | (44,20,12)   |
|    |     |   |     |   | 3  | (45,15,15)   |
|    |     |   |     |   | 13 | (46,16,15)   |
| 17 | 815 | L | 168 | 0 | 1  | (135,107,14) |
|    |     | M | 308 |   | 5  | (136,108,14) |
|    |     | Q | 448 |   | 10 | (74,46,14)   |
|    |     | H | 532 |   | 1  | (75,47,14)   |
|    |     |   |     |   | 1  | (50,22,14)   |
|    |     |   |     |   | 15 | (51,23,14)   |
|    |     |   |     |   | 2  | (42,14,14)   |
|    |     |   |     |   | 17 | (43,15,14)   |
| 18 | 901 | L | 180 | 0 | 5  | (150,120,15) |
|    |     | M | 338 |   | 1  | (151,121,15) |
|    |     | Q | 504 |   | 9  | (69,43,13)   |
|    |     | H | 588 |   | 4  | (70,44,13)   |

|    |       |   |     |   |    |              |
|----|-------|---|-----|---|----|--------------|
|    |       |   |     |   | 17 | (50,22,14)   |
|    |       |   |     |   | 1  | (51,23,14)   |
|    |       |   |     |   | 2  | (42,14,14)   |
|    |       |   |     |   | 19 | (43,15,14)   |
| 19 | 991   | L | 196 | 0 | 3  | (141,113,14) |
|    |       | M | 364 |   | 4  | (142,114,14) |
|    |       | Q | 546 |   | 3  | (70,44,13)   |
|    |       | H | 650 |   | 11 | (71,45,13)   |
|    |       |   |     |   | 17 | (47,21,13)   |
|    |       |   |     |   | 4  | (48,22,13)   |
|    |       |   |     |   | 9  | (39,13,13)   |
|    |       |   |     |   | 16 | (40,14,13)   |
| 20 | 1,085 | L | 224 | 0 | 3  | (135,107,14) |
|    |       | M | 416 |   | 5  | (136,108,14) |
|    |       | Q | 600 |   | 3  | (67,41,13)   |
|    |       | H | 700 |   | 13 | (68,42,13)   |
|    |       |   |     |   | 15 | (54,24,15)   |
|    |       |   |     |   | 5  | (55,25,15)   |
|    |       |   |     |   | 15 | (43,15,14)   |
|    |       |   |     |   | 10 | (44,16,14)   |
| 21 | 1,156 | L | 224 | 0 | 4  | (144,116,14) |
|    |       | M | 442 |   | 4  | (145,117,14) |
|    |       | Q | 644 |   | 17 | (68,42,13)   |
|    |       | H | 750 |   | 17 | (50,22,14)   |
|    |       |   |     |   | 6  | (51,23,14)   |
|    |       |   |     |   | 19 | (46,16,15)   |
|    |       |   |     |   | 6  | (47,17,15)   |
| 22 | 1,258 | L | 252 | 0 | 2  | (139,111,14) |
|    |       | M | 476 |   | 7  | (140,112,14) |
|    |       | Q | 690 |   | 17 | (74,46,14)   |



|    |       |                  |                            |   |   |  |
|----|-------|------------------|----------------------------|---|---|--|
|    |       | H                | 816                        |   | 7<br>16<br>34                             | (54,24,15)<br>(55,25,15)<br>(37,13,12)   |
| 23 | 1,364 | L<br>M<br>Q<br>H | 270<br>504<br>750<br>900   | 0 | 4<br>5<br>4<br>14<br>11<br>14<br>16<br>14 | (151,121,15)<br>(152,122,15)<br>(75,47,14)<br>(76,48,14)<br>(54,24,15)<br>(55,25,15)<br>(45,15,15)<br>(46,16,15) |
| 24 | 1,474 | L<br>M<br>Q<br>H | 300<br>560<br>810<br>960   | 0 | 6<br>4<br>6<br>14<br>11<br>16<br>30<br>2  | (147,117,15)<br>(148,118,15)<br>(73,45,14)<br>(74,46,14)<br>(54,24,15)<br>(55,25,15)<br>(46,16,15)<br>(47,17,15) |
| 25 | 1,588 | L<br>M<br>Q<br>H | 312<br>588<br>870<br>1,050 | 0 | 8<br>4<br>8<br>13<br>7<br>22<br>22<br>13  | (132,106,13)<br>(133,107,13)<br>(75,47,14)<br>(76,48,14)<br>(54,24,15)<br>(55,25,15)<br>(45,15,15)<br>(46,16,15) |
| 26 | 1,706 | L<br>M<br>Q      | 336<br>644<br>952          | 0 | 10<br>2<br>19                             | (142,114,14)<br>(143,115,14)<br>(74,46,14)   |

|    |       |   |       |   |    |              |
|----|-------|---|-------|---|----|--------------|
|    |       | H | 1,110 |   | 4  | (75,47,14)   |
|    |       |   |       |   | 28 | (50,22,14)   |
|    |       |   |       |   | 6  | (51,23,14)   |
|    |       |   |       |   | 33 | (46,16,15)   |
|    |       |   |       |   | 4  | (47,17,15)   |
| 27 | 1,828 | L | 360   | 0 | 8  | (152,122,15) |
|    |       | M | 700   |   | 4  | (153,123,15) |
|    |       | Q | 1,020 |   | 22 | (73,45,14)   |
|    |       | H | 1,200 |   | 3  | (74,46,14)   |
|    |       |   |       |   | 8  | (53,23,15)   |
|    |       |   |       |   | 26 | (54,24,15)   |
|    |       |   |       |   | 12 | (45,15,15)   |
|    |       |   |       |   | 28 | (46,16,15)   |
| 28 | 1,921 | L | 390   | 0 | 3  | (147,117,15) |
|    |       | M | 728   |   | 10 | (148,118,15) |
|    |       | Q | 1,050 |   | 3  | (73,45,14)   |
|    |       | H | 1,260 |   | 23 | (74,46,14)   |
|    |       |   |       |   | 4  | (54,24,15)   |
|    |       |   |       |   | 31 | (55,25,15)   |
|    |       |   |       |   | 11 | (45,15,15)   |
|    |       |   |       |   | 31 | (46,16,15)   |
| 29 | 2,051 | L | 420   | 0 | 7  | (146,116,15) |
|    |       | M | 784   |   | 7  | (147,117,15) |
|    |       | Q | 1,140 |   | 21 | (73,45,14)   |
|    |       | H | 1,350 |   | 7  | (74,46,14)   |
|    |       |   |       |   | 1  | (53,23,15)   |
|    |       |   |       |   | 37 | (54,24,15)   |
|    |       |   |       |   | 19 | (45,15,15)   |
|    |       |   |       |   | 26 | (46,16,15)   |
| 30 | 2,185 | L | 450   | 0 | 5  | (145,115,15) |

|    |       |   |       |   |    |              |
|----|-------|---|-------|---|----|--------------|
|    |       | M | 812   |   | 10 | (146,116,15) |
|    |       | Q | 1,200 |   | 19 | (75,47,14)   |
|    |       | H | 1,440 |   | 10 | (76,48,14)   |
|    |       |   |       |   | 15 | (54,24,15)   |
|    |       |   |       |   | 25 | (55,25,15)   |
|    |       |   |       |   | 23 | (45,15,15)   |
|    |       |   |       |   | 25 | (46,16,15)   |
| 31 | 2,323 | L | 480   | 0 | 13 | (145,115,15) |
|    |       | M | 868   |   | 3  | (146,116,15) |
|    |       | Q | 1,290 |   | 2  | (74,46,14)   |
|    |       | H | 1,530 |   | 29 | (75,47,14)   |
|    |       |   |       |   | 42 | (54,24,15)   |
|    |       |   |       |   | 1  | (55,25,15)   |
|    |       |   |       |   | 23 | (45,15,15)   |
|    |       |   |       |   | 28 | (46,16,15)   |
| 32 | 2,465 | L | 510   | 0 | 17 | (145,115,15) |
|    |       | M | 924   |   | 10 | (74,46,14)   |
|    |       | Q | 1,350 |   | 23 | (75,47,14)   |
|    |       | H | 1,620 |   | 10 | (54,24,15)   |
|    |       |   |       |   | 35 | (55,25,15)   |
|    |       |   |       |   | 19 | (45,15,15)   |
|    |       |   |       |   | 35 | (46,16,15)   |
| 33 | 2,611 | L | 540   | 0 | 17 | (145,115,15) |
|    |       | M | 980   |   | 1  | (146,116,15) |
|    |       | Q | 1,440 |   | 14 | (74,46,14)   |
|    |       | H | 1,710 |   | 21 | (75,47,14)   |
|    |       |   |       |   | 29 | (54,24,15)   |
|    |       |   |       |   | 19 | (55,25,15)   |
|    |       |   |       |   | 11 | (45,15,15)   |
|    |       |   |       |   | 46 | (46,16,15)   |

|    |       |    |            |            |    |              |
|----|-------|----|------------|------------|----|--------------|
| 34 | 2,761 | L  | 570        | 0          | 13 | (145,115,15) |
|    |       | M  | 1,036      |            | 6  | (146,116,15) |
|    |       | Q  | 1,530      |            | 14 | (74,46,14)   |
|    |       | H  | 1,800      |            | 23 | (75,47,14)   |
|    |       |    |            |            | 44 | (54,24,15)   |
|    |       |    |            |            | 7  | (55,25,15)   |
|    |       |    |            |            | 59 | (46,16,15)   |
|    |       |    | 1          | (47,17,15) |    |              |
| 35 | 2,876 | L  | 570        | 0          | 12 | (151,121,15) |
|    |       | M  | 1,064      |            | 7  | (152,122,15) |
|    |       | Q  | 1,590      |            | 12 | (75,47,14)   |
|    |       | H  | 1,890      |            | 26 | (76,48,14)   |
|    |       |    |            |            | 39 | (54,24,15)   |
|    |       |    |            |            | 14 | (55,25,15)   |
|    |       |    |            |            | 22 | (45,15,15)   |
|    |       | 41 | (46,16,15) |            |    |              |
| 36 | 3,034 | L  | 600        | 0          | 6  | (151,121,15) |
|    |       | M  | 1,120      |            | 14 | (152,122,15) |
|    |       | Q  | 1,680      |            | 6  | (75,47,14)   |
|    |       | H  | 1,980      |            | 34 | (76,48,14)   |
|    |       |    |            |            | 46 | (54,24,15)   |
|    |       |    |            |            | 10 | (55,25,15)   |
|    |       |    |            |            | 2  | (45,15,15)   |
|    |       | 64 | (46,16,15) |            |    |              |
| 37 | 3,196 | L  | 630        | 0          | 17 | (152,122,15) |
|    |       | M  | 1,204      |            | 4  | (153,123,15) |
|    |       | Q  | 1,770      |            | 29 | (74,46,14)   |
|    |       | H  | 2,100      |            | 14 | (75,47,14)   |
|    |       |    |            |            | 49 | (54,24,15)   |
|    |       | 10 | (55,25,15) |            |    |              |

|    |       |   |       |   |    |              |
|----|-------|---|-------|---|----|--------------|
|    |       |   |       |   | 24 | (45,15,15)   |
|    |       |   |       |   | 46 | (46,16,15)   |
| 38 | 3,362 | L | 660   | 0 | 4  | (152,122,15) |
|    |       | M | 1,260 |   | 18 | (153,123,15) |
|    |       | Q | 1,860 |   | 13 | (74,46,14)   |
|    |       | H | 2,220 |   | 32 | (75,47,14)   |
|    |       |   |       |   | 48 | (54,24,15)   |
|    |       |   |       |   | 14 | (55,25,15)   |
|    |       |   |       |   | 42 | (45,15,15)   |
|    |       |   |       |   | 32 | (46,16,15)   |
| 39 | 3,532 | L | 720   | 0 | 20 | (147,117,15) |
|    |       | M | 1,316 |   | 4  | (148,118,15) |
|    |       | Q | 1,950 |   | 40 | (75,47,14)   |
|    |       | H | 2,310 |   | 7  | (76,48,14)   |
|    |       |   |       |   | 43 | (54,24,15)   |
|    |       |   |       |   | 22 | (55,25,15)   |
|    |       |   |       |   | 10 | (45,15,15)   |
|    |       |   |       |   | 67 | (46,16,15)   |
| 40 | 3,706 | L | 750   | 0 | 19 | (148,118,15) |
|    |       | M | 1,372 |   | 6  | (149,119,15) |
|    |       | Q | 2,040 |   | 18 | (75,47,14)   |
|    |       | H | 2,430 |   | 31 | (76,48,14)   |
|    |       |   |       |   | 34 | (54,24,15)   |
|    |       |   |       |   | 34 | (55,25,15)   |
|    |       |   |       |   | 20 | (45,15,15)   |
|    |       |   |       |   | 61 | (46,16,15)   |

ซึ่งจากตารางจะมี  $c$  เป็นจำนวน Codewords ทั้งหมด ส่วน  $k$  เป็นจำนวน Data Codewords ทั้งหมด ส่วน  $r$  เป็น Error Correction capacity ซึ่งจะมีจำนวนน้อยกว่า Error Correction Codewords ครั้งหนึ่งเพื่อป้องกันความเป็นไปได้ที่จะเกิดความเข้าใจผิด

## ภาคผนวก จ

## ตารางกำหนดพหุนามการคำนวณ Error Correction Codewords

| Number of Error Correction Codewords | Generator Polynomials  |
|--------------------------------------|--|
| 2                                    | $x^2 + \alpha^{25}x + \alpha$  |
| 5                                    | $x^5 + \alpha^{113}x^4 + \alpha^{164}x^3 + \alpha^{166}x^2 + \alpha^{119}x + \alpha^{10}$  |
| 6                                    | $x^6 + \alpha^{116}x^5 + x^4 + \alpha^{134}x^3 + \alpha^5x^2 + \alpha^{176}x + \alpha^{15}$  |
| 7                                    | $x^7 + \alpha^{87}x^6 + \alpha^{229}x^5 + \alpha^{146}x^4 + \alpha^{149}x^3 + \alpha^{238}x^2 + \alpha^{102}x + \alpha^{21}$   |
| 8                                    | $x^8 + \alpha^{175}x^7 + \alpha^{238}x^6 + \alpha^{208}x^5 + \alpha^{249}x^4 + \alpha^{215}x^3 + \alpha^{252}x^2 + \alpha^{196}x + \alpha^{28}$  |
| 10                                   | $x^{10} + \alpha^{251}x^9 + \alpha^{67}x^8 + \alpha^{46}x^7 + \alpha^{61}x^6 + \alpha^{118}x^5 + \alpha^{70}x^4 + \alpha^{64}x^3 + \alpha^{94}x^2 + \alpha^{32}x + \alpha^{45}$  |
| 13                                   | $x^{13} + \alpha^{74}x^{12} + \alpha^{152}x^{11} + \alpha^{176}x^{10} + \alpha^{100}x^9 + \alpha^{86}x^8 + \alpha^{100}x^7 + \alpha^{106}x^6 + \alpha^{104}x^5 + \alpha^{130}x^4 + \alpha^{218}x^3 + \alpha^{206}x^2 + \alpha^{140}x + \alpha^{78}$  |
| 14                                   | $x^{14} + \alpha^{199}x^{13} + \alpha^{249}x^{12} + \alpha^{155}x^{11} + \alpha^{48}x^{10} + \alpha^{190}x^9 + \alpha^{124}x^8 + \alpha^{218}x^7 + \alpha^{137}x^6 + \alpha^{216}x^5 + \alpha^{87}x^4 + \alpha^{207}x^3 + \alpha^{59}x^2 + \alpha^{22}x + \alpha^{91}$   |
| 15                                   | $x^{15} + \alpha^8x^{14} + \alpha^{183}x^{13} + \alpha^{61}x^{12} + \alpha^{91}x^{11} + \alpha^{202}x^{10} + \alpha^{37}x^9 + \alpha^{51}x^8 + \alpha^{58}x^7 + \alpha^{58}x^6 + \alpha^{237}x^5 + \alpha^{140}x^4 + \alpha^{124}x^3 + \alpha^5x^2 + \alpha^{99}x + \alpha^{105}$  |
| 16                                   | $x^{16} + \alpha^{120}x^{15} + \alpha^{104}x^{14} + \alpha^{107}x^{13} + \alpha^{109}x^{12} + \alpha^{102}x^{11} + \alpha^{161}x^{10} + \alpha^{76}x^9 + \alpha^3x^8 + \alpha^{91}x^7 + \alpha^{191}x^6 + \alpha^{147}x^5 + \alpha^{169}x^4 + \alpha^{182}x^3 + \alpha^{194}x^2 + \alpha^{225}x + \alpha^{120}$  |
| 17                                   | $x^{17} + \alpha^{43}x^{16} + \alpha^{139}x^{15} + \alpha^{206}x^{14} + \alpha^{78}x^{13} + \alpha^{43}x^{12} + \alpha^{239}x^{11} + \alpha^{123}x^{10} + \alpha^{206}x^9 + \alpha^{214}x^8 + \alpha^{147}x^7 + \alpha^{24}x^6 + \alpha^{99}x^5 + \alpha^{150}x^4 + \alpha^{39}x^3 + \alpha^{243}x^2 + \alpha^{163}x + \alpha^{136}$                   |
| 18                                   | $x^{18} + \alpha^{215}x^{17} + \alpha^{234}x^{16} + \alpha^{158}x^{15} + \alpha^{94}x^{14} + \alpha^{184}x^{13} + \alpha^{97}x^{12} + \alpha^{118}x^{11} + \alpha^{170}x^{10} + \alpha^{79}x^9 + \alpha^{187}x^8 + \alpha^{152}x^7 + \alpha^{148}x^6 + \alpha^{252}x^5 + \alpha^{179}x^4 + \alpha^5x^3 + \alpha^{98}x^2 + \alpha^{96}x + \alpha^{153}$ |

|    |  |
|----|--|
| 20 | $x^{20} + \alpha^{17} x^{19} + \alpha^{60} x^{18} + \alpha^{79} x^{17} + \alpha^{50} x^{16} + \alpha^{61} x^{15} + \alpha^{163} x^{14} + \alpha^{26} x^{13} + \alpha^{187} x^{12} + \alpha^{202} x^{11} + \alpha^{180} x^{10} + \alpha^{221} x^9 + \alpha^{225} x^8 + \alpha^{83} x^7 + \alpha^{239} x^6 + \alpha^{156} x^5 + \alpha^{164} x^4 + \alpha^{212} x^3 + \alpha^{212} x^2 + \alpha^{188} x + \alpha^{190}$  |
| 22 | $x^{22} + \alpha^{210} x^{21} + \alpha^{171} x^{20} + \alpha^{247} x^{19} + \alpha^{242} x^{18} + \alpha^{93} x^{17} + \alpha^{230} x^{16} + \alpha^{14} x^{15} + \alpha^{109} x^{14} + \alpha^{221} x^{13} + \alpha^{53} x^{12} + \alpha^{200} x^{11} + \alpha^{74} x^{10} + \alpha^8 x^9 + \alpha^{172} x^8 + \alpha^{98} x^7 + \alpha^{80} x^6 + \alpha^{219} x^5 + \alpha^{134} x^4 + \alpha^{160} x^3 + \alpha^{105} x^2 + \alpha^{165} x + \alpha^{231}$   |
| 24 | $x^{24} + \alpha^{229} x^{23} + \alpha^{121} x^{22} + \alpha^{135} x^{21} + \alpha^{48} x^{20} + \alpha^{211} x^{19} + \alpha^{117} x^{18} + \alpha^{251} x^{17} + \alpha^{126} x^{16} + \alpha^{159} x^{15} + \alpha^{180} x^{14} + \alpha^{169} x^{13} + \alpha^{152} x^{12} + \alpha^{192} x^{11} + \alpha^{226} x^{10} + \alpha^{228} x^9 + \alpha^{218} x^8 + \alpha^{111} x^7 + x^6 + \alpha^{117} x^5 + \alpha^{232} x^4 + \alpha^{87} x^3 + \alpha^{96} x^2 + \alpha^{227} x + \alpha^{21}$  |
| 26 | $x^{26} + \alpha^{173} x^{25} + \alpha^{125} x^{24} + \alpha^{158} x^{23} + \alpha^2 x^{22} + \alpha^{103} x^{21} + \alpha^{182} x^{20} + \alpha^{118} x^{19} + \alpha^{17} x^{18} + \alpha^{145} x^{17} + \alpha^{201} x^{16} + \alpha^{111} x^{15} + \alpha^{28} x^{14} + \alpha^{165} x^{13} + \alpha^{53} x^{12} + \alpha^{161} x^{11} + \alpha^{21} x^{10} + \alpha^{245} x^9 + \alpha^{142} x^8 + \alpha^{13} x^7 + \alpha^{102} x^6 + \alpha^{48} x^5 + \alpha^{227} x^4 + \alpha^{153} x^3 + \alpha^{145} x^2 + \alpha^{218} x + \alpha^{70}$  |
| 28 | $x^{28} + \alpha^{168} x^{27} + \alpha^{223} x^{26} + \alpha^{200} x^{25} + \alpha^{104} x^{24} + \alpha^{224} x^{23} + \alpha^{234} x^{22} + \alpha^{108} x^{21} + \alpha^{180} x^{20} + \alpha^{110} x^{19} + \alpha^{190} x^{18} + \alpha^{195} x^{17} + \alpha^{147} x^{16} + \alpha^{205} x^{15} + \alpha^{27} x^{14} + \alpha^{232} x^{13} + \alpha^{201} x^{12} + \alpha^{21} x^{11} + \alpha^{43} x^{10} + \alpha^{245} x^9 + \alpha^{87} x^8 + \alpha^{42} x^7 + \alpha^{195} x^6 + \alpha^{212} x^5 + \alpha^{119} x^4 + \alpha^{242} x^3 + \alpha^{37} x^2 + \alpha^9 x + \alpha^{123}$   |
| 30 | $x^{30} + \alpha^{41} x^{29} + \alpha^{173} x^{28} + \alpha^{145} x^{27} + \alpha^{152} x^{26} + \alpha^{216} x^{25} + \alpha^{31} x^{24} + \alpha^{179} x^{23} + \alpha^{182} x^{22} + \alpha^{50} x^{21} + \alpha^{48} x^{20} + \alpha^{110} x^{19} + \alpha^{86} x^{18} + \alpha^{239} x^{17} + \alpha^{96} x^{16} + \alpha^{222} x^{15} + \alpha^{125} x^{14} + \alpha^{42} x^{13} + \alpha^{173} x^{12} + \alpha^{226} x^{11} + \alpha^{193} x^{10} + \alpha^{224} x^9 + \alpha^{130} x^8 + \alpha^{156} x^7 + \alpha^{37} x^6 + \alpha^{251} x^5 + \alpha^{216} x^4 + \alpha^{238} x^3 + \alpha^{40} x^2 + \alpha^{192} x + \alpha^{180}$                                  |
| 32 | $x^{32} + \alpha^{10} x^{31} + \alpha^6 x^{30} + \alpha^{106} x^{29} + \alpha^{190} x^{28} + \alpha^{249} x^{27} + \alpha^{167} x^{26} + \alpha^4 x^{25} + \alpha^{67} x^{24} + \alpha^{209} x^{23} + \alpha^{138} x^{22} + \alpha^{138} x^{21} + \alpha^{32} x^{20} + \alpha^{242} x^{19} + \alpha^{123} x^{18} + \alpha^{89} x^{17} + \alpha^{27} x^{16} + \alpha^{120} x^{15} + \alpha^{185} x^{14} + \alpha^{80} x^{13} + \alpha^{156} x^{12} + \alpha^{38} x^{11} + \alpha^{69} x^{10} + \alpha^{171} x^9 + \alpha^{60} x^8 + \alpha^{28} x^7 + \alpha^{222} x^6 + \alpha^{80} x^5 + \alpha^{52} x^4 + \alpha^{254} x^3 + \alpha^{185} x^2 + \alpha^{220} x + \alpha^{241}$ |
| 34 | $x^{34} + \alpha^{111} x^{33} + \alpha^{77} x^{32} + \alpha^{146} x^{31} + \alpha^{94} x^{30} + \alpha^{26} x^{29} + \alpha^{21} x^{28} + \alpha^{108} x^{27}$   |

|    |  |
|----|--|
|    | $ \begin{aligned} & + \alpha^{19} x^{26} + \alpha^{105} x^{25} + \alpha^{94} x^{24} + \alpha^{113} x^{23} + \alpha^{193} x^{22} + \alpha^{86} x^{21} + \alpha^{140} x^{20} \\ & + \alpha^{163} x^{19} + \alpha^{125} x^{18} + \alpha^{58} x^{17} + \alpha^{158} x^{16} + \alpha^{229} x^{15} + \alpha^{239} x^{14} + \alpha^{218} x^{13} \\ & + \alpha^{103} x^{12} + \alpha^{56} x^{11} + \alpha^{70} x^{10} + \alpha^{114} x^9 + \alpha^{61} x^8 + \alpha^{183} x^7 + \alpha^{129} x^6 \\ & + \alpha^{167} x^5 + \alpha^{13} x^4 + \alpha^{98} x^3 + \alpha^{62} x^2 + \alpha^{129} x + \alpha^{51} \end{aligned} $  |
| 36 | $ \begin{aligned} & x^{36} + \alpha^{200} x^{35} + \alpha^{183} x^{34} + \alpha^{98} x^{33} + \alpha^{16} x^{32} + \alpha^{172} x^{31} + \alpha^{31} x^{30} + \alpha^{246} x^{29} \\ & + \alpha^{234} x^{28} + \alpha^{60} x^{27} + \alpha^{152} x^{26} + \alpha^{115} x^{25} + x^{24} + \alpha^{167} x^{23} + \alpha^{152} x^{22} \\ & + \alpha^{113} x^{21} + \alpha^{248} x^{20} + \alpha^{238} x^{19} + \alpha^{107} x^{18} + \alpha^{18} x^{17} + \alpha^{63} x^{16} + \alpha^{218} x^{15} \\ & + \alpha^{37} x^{14} + \alpha^{87} x^{13} + \alpha^{210} x^{12} + \alpha^{105} x^{11} + \alpha^{177} x^{10} + \alpha^{120} x^9 + \alpha^{74} x^8 \\ & + \alpha^{121} x^7 + \alpha^{196} x^6 + \alpha^{117} x^5 + \alpha^{251} x^4 + \alpha^{113} x^3 + \alpha^{233} x^2 + \alpha^{30} x + \alpha^{120} \end{aligned} $  |
| 40 | $ \begin{aligned} & x^{40} + \alpha^{59} x^{39} + \alpha^{116} x^{38} + \alpha^{79} x^{37} + \alpha^{161} x^{36} + \alpha^{252} x^{35} + \alpha^{98} x^{34} + \alpha^{128} x^{33} \\ & + \alpha^{205} x^{32} + \alpha^{128} x^{31} + \alpha^{161} x^{30} + \alpha^{247} x^{29} + \alpha^{57} x^{28} + \alpha^{163} x^{27} + \alpha^{56} x^{26} \\ & + \alpha^{235} x^{25} + \alpha^{106} x^{24} + \alpha^{53} x^{23} + \alpha^{26} x^{22} + \alpha^{187} x^{21} + \alpha^{174} x^{20} + \alpha^{226} x^{19} \\ & + \alpha^{104} x^{18} + \alpha^{170} x^{17} + \alpha^7 x^{16} + \alpha^{175} x^{15} + \alpha^{35} x^{14} + \alpha^{181} x^{13} + \alpha^{114} x^{12} \\ & + \alpha^{88} x^{11} + \alpha^{41} x^{10} + \alpha^{47} x^9 + \alpha^{163} x^8 + \alpha^{125} x^7 + \alpha^{134} x^6 + \alpha^{72} x^5 + \alpha^{20} x^4 \\ & + \alpha^{232} x^3 + \alpha^{53} x^2 + \alpha^{35} x + \alpha^{15} \end{aligned} $  |
| 42 | $ \begin{aligned} & x^{42} + \alpha^{250} x^{41} + \alpha^{103} x^{40} + \alpha^{221} x^{39} + \alpha^{230} x^{38} + \alpha^{25} x^{37} + \alpha^{18} x^{36} + \alpha^{137} x^{35} \\ & + \alpha^{231} x^{34} + x^{33} + \alpha^3 x^{32} + \alpha^{58} x^{31} + \alpha^{242} x^{30} + \alpha^{221} x^{29} + \alpha^{191} x^{28} + \alpha^{110} x^{27} \\ & + \alpha^{84} x^{26} + \alpha^{230} x^{25} + \alpha^8 x^{24} + \alpha^{188} x^{23} + \alpha^{106} x^{22} + \alpha^{96} x^{21} + \alpha^{147} x^{20} + \\ & \alpha^{15} x^{19} + \alpha^{131} x^{18} + \alpha^{139} x^{17} + \alpha^{34} x^{16} + \alpha^{101} x^{15} + \alpha^{223} x^{14} + \alpha^{39} x^{13} + \alpha^{101} x^{12} \\ & + \alpha^{213} x^{11} + \alpha^{199} x^{10} + \alpha^{237} x^9 + \alpha^{254} x^8 + \alpha^{201} x^7 + \alpha^{123} x^6 + \alpha^{171} x^5 + \\ & \alpha^{162} x^4 + \alpha^{194} x^3 + \alpha^{117} x^2 + \alpha^{50} x + \alpha^{96} \end{aligned} $   |
| 44 | $ \begin{aligned} & x^{44} + \alpha^{190} x^{43} + \alpha^7 x^{42} + \alpha^{61} x^{41} + \alpha^{121} x^{40} + \alpha^{71} x^{39} + \alpha^{246} x^{38} + \alpha^{69} x^{37} + \\ & \alpha^{55} x^{36} + \alpha^{168} x^{35} + \alpha^{188} x^{34} + \alpha^{89} x^{33} + \alpha^{243} x^{32} + \alpha^{191} x^{31} + \alpha^{25} x^{30} + \alpha^{72} x^{29} \\ & + \alpha^{123} x^{28} + \alpha^9 x^{27} + \alpha^{145} x^{26} + \alpha^{14} x^{25} + \alpha^{247} x^{24} + \alpha x^{23} + \alpha^{238} x^{22} + \alpha^{44} x^{21} \\ & + \alpha^{78} x^{20} + \alpha^{143} x^{19} + \alpha^{62} x^{18} + \alpha^{224} x^{17} + \alpha^{126} x^{16} + \alpha^{118} x^{15} + \alpha^{114} x^{14} + \\ & \alpha^{68} x^{13} + \alpha^{163} x^{12} + \alpha^{52} x^{11} + \alpha^{194} x^{10} + \alpha^{217} x^9 + \alpha^{147} x^8 + \alpha^{204} x^7 + \alpha^{169} x^6 + \\ & \alpha^{37} x^5 + \alpha^{130} x^4 + \alpha^{113} x^3 + \alpha^{102} x^2 + \alpha^{73} x + \alpha^{181} \end{aligned} $ |
| 46 | $ \begin{aligned} & x^{46} + \alpha^{112} x^{45} + \alpha^{94} x^{44} + \alpha^{88} x^{43} + \alpha^{112} x^{42} + \alpha^{253} x^{41} + \alpha^{224} x^{40} + \alpha^{202} x^{39} + \\ & \alpha^{115} x^{38} + \alpha^{187} x^{37} + \alpha^{99} x^{36} + \alpha^{89} x^{35} + \alpha^5 x^{34} + \alpha^{54} x^{33} + \alpha^{113} x^{32} + \alpha^{129} x^{31} \end{aligned} $   |



|    |  |
|----|--|
|    | $ \begin{aligned} & + \alpha^{44} x^{30} + \alpha^{58} x^{29} + \alpha^{16} x^{28} + \alpha^{135} x^{27} + \alpha^{216} x^{26} + \alpha^{169} x^{25} + \alpha^{211} x^{24} + \\ & \alpha^{36} x^{23} + \alpha x^{22} + \alpha^4 x^{21} + \alpha^{96} x^{20} + \alpha^{60} x^{19} + \alpha^{241} x^{18} + \alpha^{73} x^{17} + \alpha^{104} x^{16} + \\ & \alpha^{234} x^{15} + \alpha^8 x^{14} + \alpha^{249} x^{13} + \alpha^{245} x^{12} + \alpha^{119} x^{11} + \alpha^{174} x^{10} + \alpha^{52} x^9 + \alpha^{25} x^8 + \\ & \alpha^{157} x^7 + \alpha^{224} x^6 + \alpha^{43} x^5 + \alpha^{202} x^4 + \alpha^{223} x^3 + \alpha^{19} x^2 + \alpha^{82} x + \alpha^{15} \end{aligned} $  |
| 48 | $ \begin{aligned} & x^{48} + \alpha^{228} x^{47} + \alpha^{25} x^{46} + \alpha^{196} x^{45} + \alpha^{130} x^{44} + \alpha^{211} x^{43} + \alpha^{146} x^{42} + \alpha^{60} x^{41} + \\ & \alpha^{24} x^{40} + \alpha^{251} x^{39} + \alpha^{90} x^{38} + \alpha^{39} x^{37} + \alpha^{102} x^{36} + \alpha^{240} x^{35} + \alpha^{61} x^{34} + \alpha^{178} x^{33} + \\ & \alpha^{63} x^{32} + \alpha^{46} x^{31} + \alpha^{123} x^{30} + \alpha^{115} x^{29} + \alpha^{18} x^{28} + \alpha^{221} x^{27} + \alpha^{111} x^{26} + \\ & \alpha^{135} x^{25} + \alpha^{160} x^{24} + \alpha^{182} x^{23} + \alpha^{205} x^{22} + \alpha^{107} x^{21} + \alpha^{206} x^{20} + \alpha^{95} x^{19} + \\ & \alpha^{150} x^{18} + \alpha^{120} x^{17} + \alpha^{184} x^{16} + \alpha^{91} x^{15} + \alpha^{21} x^{14} + \alpha^{247} x^{13} + \alpha^{156} x^{12} + \\ & \alpha^{140} x^{11} + \alpha^{238} x^{10} + \alpha^{191} x^9 + \alpha^{11} x^8 + \alpha^{94} x^7 + \alpha^{227} x^6 + \alpha^{84} x^5 + \alpha^{50} x^4 + \\ & \alpha^{163} x^3 + \alpha^{39} x^2 + \alpha^{34} x + \alpha^{108} \end{aligned} $   |
| 50 | $ \begin{aligned} & x^{50} + \alpha^{232} x^{49} + \alpha^{125} x^{48} + \alpha^{157} x^{47} + \alpha^{161} x^{46} + \alpha^{164} x^{45} + \alpha^9 x^{44} + \alpha^{118} x^{43} + \\ & \alpha^{46} x^{42} + \alpha^{209} x^{41} + \alpha^{99} x^{40} + \alpha^{203} x^{39} + \alpha^{193} x^{38} + \alpha^{35} x^{37} + \alpha^3 x^{36} + \alpha^{209} x^{35} + \\ & \alpha^{111} x^{34} + \alpha^{195} x^{33} + \alpha^{242} x^{32} + \alpha^{203} x^{31} + \alpha^{225} x^{30} + \alpha^{46} x^{29} + \alpha^{13} x^{28} + \\ & \alpha^{32} x^{27} + \alpha^{160} x^{26} + \alpha^{126} x^{25} + \alpha^{209} x^{24} + \alpha^{130} x^{23} + \alpha^{160} x^{22} + \alpha^{242} x^{21} + \\ & \alpha^{215} x^{20} + \alpha^{242} x^{19} + \alpha^{75} x^{18} + \alpha^{77} x^{17} + \alpha^{42} x^{16} + \alpha^{189} x^{15} + \alpha^{32} x^{14} + \alpha^{113} x^{13} + \\ & \alpha^{65} x^{12} + \alpha^{124} x^{11} + \alpha^{69} x^{10} + \alpha^{228} x^9 + \alpha^{114} x^8 + \alpha^{235} x^7 + \alpha^{175} x^6 + \alpha^{124} x^5 + \\ & \alpha^{170} x^4 + \alpha^{215} x^3 + \alpha^{232} x^2 + \alpha^{133} x + \alpha^{205} \end{aligned} $   |
| 52 | $ \begin{aligned} & x^{52} + \alpha^{116} x^{51} + \alpha^{50} x^{50} + \alpha^{86} x^{49} + \alpha^{186} x^{48} + \alpha^{50} x^{47} + \alpha^{220} x^{46} + \alpha^{251} x^{45} + \\ & \alpha^{89} x^{44} + \alpha^{192} x^{43} + \alpha^{46} x^{42} + \alpha^{86} x^{41} + \alpha^{127} x^{40} + \alpha^{124} x^{39} + \alpha^{19} x^{38} + \alpha^{184} x^{37} + \\ & \alpha^{233} x^{36} + \alpha^{151} x^{35} + \alpha^{215} x^{34} + \alpha^{22} x^{33} + \alpha^{14} x^{32} + \alpha^{59} x^{31} + \alpha^{145} x^{30} + \\ & \alpha^{37} x^{29} + \alpha^{242} x^{28} + \alpha^{203} x^{27} + \alpha^{134} x^{26} + \alpha^{254} x^{25} + \alpha^{89} x^{24} + \alpha^{190} x^{23} + \alpha^{94} x^{22} + \\ & \alpha^{59} x^{21} + \alpha^{65} x^{20} + \alpha^{124} x^{19} + \alpha^{113} x^{18} + \alpha^{100} x^{17} + \alpha^{233} x^{16} + \alpha^{235} x^{15} + \\ & \alpha^{121} x^{14} + \alpha^{22} x^{13} + \alpha^{76} x^{12} + \alpha^{86} x^{11} + \alpha^{97} x^{10} + \alpha^{39} x^9 + \alpha^{242} x^8 + \alpha^{200} x^7 + \\ & \alpha^{220} x^6 + \alpha^{101} x^5 + \alpha^{33} x^4 + \alpha^{239} x^3 + \alpha^{254} x^2 + \alpha^{116} x + \alpha^{51} \end{aligned} $ |
| 54 | $ \begin{aligned} & x^{54} + \alpha^{183} x^{53} + \alpha^{26} x^{52} + \alpha^{201} x^{51} + \alpha^{87} x^{50} + \alpha^{210} x^{49} + \alpha^{221} x^{48} + \alpha^{113} x^{47} + \\ & \alpha^{21} x^{46} + \alpha^{46} x^{45} + \alpha^{65} x^{44} + \alpha^{45} x^{43} + \alpha^{50} x^{42} + \alpha^{238} x^{41} + \alpha^{184} x^{40} + \alpha^{249} x^{39} + \\ & \alpha^{225} x^{38} + \alpha^{102} x^{37} + \alpha^{58} x^{36} + \alpha^{209} x^{35} + \alpha^{218} x^{34} + \alpha^{109} x^{33} + \alpha^{165} x^{32} + \\ & \alpha^{26} x^{31} + \alpha^{95} x^{30} + \alpha^{184} x^{29} + \alpha^{192} x^{28} + \alpha^{52} x^{27} + \alpha^{245} x^{26} + \alpha^{35} x^{25} + \alpha^{254} x^{24} \end{aligned} $  |

|    |  |
|----|--|
|    | $ \begin{aligned} & + \alpha^{238} x^{23} + \alpha^{175} x^{22} + \alpha^{172} x^{21} + \alpha^{79} x^{20} + \alpha^{123} x^{19} + \alpha^{25} x^{18} + \alpha^{122} x^{17} + \\ & \alpha^{43} x^{16} + \alpha^{120} x^{15} + \alpha^{108} x^{14} + \alpha^{215} x^{13} + \alpha^{80} x^{12} + \alpha^{128} x^{11} + \alpha^{201} x^{10} + \alpha^{235} x^9 \\ & + \alpha^8 x^8 + \alpha^{153} x^7 + \alpha^{59} x^6 + \alpha^{101} x^5 + \alpha^{31} x^4 + \alpha^{198} x^3 + \alpha^{76} x^2 + \alpha^{31} x + \alpha^{156} \end{aligned} $  |
| 56 | $ \begin{aligned} & x^{56} + \alpha^{106} x^{55} + \alpha^{120} x^{54} + \alpha^{107} x^{53} + \alpha^{157} x^{52} + \alpha^{164} x^{51} + \alpha^{216} x^{50} + \alpha^{112} x^{49} \\ & + \alpha^{116} x^{48} + \alpha^2 x^{47} + \alpha^{91} x^{46} + \alpha^{248} x^{45} + \alpha^{163} x^{44} + \alpha^{36} x^{43} + \alpha^{201} x^{42} + \\ & \alpha^{202} x^{41} + \alpha^{229} x^{40} + \alpha^6 x^{39} + \alpha^{144} x^{38} + \alpha^{254} x^{37} + \alpha^{155} x^{36} + \alpha^{135} x^{35} + \\ & \alpha^{208} x^{34} + \alpha^{170} x^{33} + \alpha^{209} x^{32} + \alpha^{12} x^{31} + \alpha^{139} x^{30} + \alpha^{127} x^{29} + \alpha^{142} x^{28} + \\ & \alpha^{182} x^{27} + \alpha^{249} x^{26} + \alpha^{177} x^{25} + \alpha^{174} x^{24} + \alpha^{190} x^{23} + \alpha^{28} x^{22} + \alpha^{10} x^{21} + \alpha^{85} x^{20} \\ & + \alpha^{239} x^{19} + \alpha^{184} x^{18} + \alpha^{101} x^{17} + \alpha^{124} x^{16} + \alpha^{152} x^{15} + \alpha^{206} x^{14} + \alpha^{96} x^{13} + \\ & \alpha^{23} x^{12} + \alpha^{163} x^{11} + \alpha^{61} x^{10} + \alpha^{27} x^9 + \alpha^{196} x^8 + \alpha^{247} x^7 + \alpha^{151} x^6 + \alpha^{154} x^5 + \\ & \alpha^{202} x^4 + \alpha^{207} x^3 + \alpha^{20} x^2 + \alpha^{61} x + \alpha^{10} \end{aligned} $   |
| 58 | $ \begin{aligned} & x^{58} + \alpha^{82} x^{57} + \alpha^{116} x^{56} + \alpha^{26} x^{55} + \alpha^{247} x^{54} + \alpha^{66} x^{53} + \alpha^{27} x^{52} + \alpha^{62} x^{51} + \\ & \alpha^{107} x^{50} + \alpha^{252} x^{49} + \alpha^{182} x^{48} + \alpha^{200} x^{47} + \alpha^{185} x^{46} + \alpha^{235} x^{45} + \alpha^{55} x^{44} + \\ & \alpha^{251} x^{43} + \alpha^{242} x^{42} + \alpha^{210} x^{41} + \alpha^{144} x^{40} + \alpha^{154} x^{39} + \alpha^{237} x^{38} + \alpha^{176} x^{37} + \\ & \alpha^{141} x^{36} + \alpha^{192} x^{35} + \alpha^{248} x^{34} + \alpha^{152} x^{33} + \alpha^{249} x^{32} + \alpha^{206} x^{31} + \alpha^{85} x^{30} + \\ & \alpha^{253} x^{29} + \alpha^{142} x^{28} + \alpha^{65} x^{27} + \alpha^{165} x^{26} + \alpha^{125} x^{25} + \alpha^{23} x^{24} + \alpha^{24} x^{23} + \alpha^{30} x^{22} \\ & + \alpha^{122} x^{21} + \alpha^{240} x^{20} + \alpha^{214} x^{19} + \alpha^6 x^{18} + \alpha^{129} x^{17} + \alpha^{218} x^{16} + \alpha^{29} x^{15} + \\ & \alpha^{145} x^{14} + \alpha^{127} x^{13} + \alpha^{134} x^{12} + \alpha^{206} x^{11} + \alpha^{245} x^{10} + \alpha^{117} x^9 + \alpha^{29} x^8 + \alpha^{41} x^7 \\ & + \alpha^{63} x^6 + \alpha^{159} x^5 + \alpha^{142} x^4 + \alpha^{233} x^3 + \alpha^{125} x^2 + \alpha^{148} x + \alpha^{123} \end{aligned} $                           |
| 60 | $ \begin{aligned} & x^{60} + \alpha^{107} x^{59} + \alpha^{140} x^{58} + \alpha^{26} x^{57} + \alpha^{12} x^{56} + \alpha^9 x^{55} + \alpha^{141} x^{54} + \alpha^{243} x^{53} + \\ & \alpha^{197} x^{52} + \alpha^{226} x^{51} + \alpha^{197} x^{50} + \alpha^{219} x^{49} + \alpha^{45} x^{48} + \alpha^{211} x^{47} + \alpha^{101} x^{46} + \\ & \alpha^{219} x^{45} + \alpha^{120} x^{44} + \alpha^{28} x^{43} + \alpha^{181} x^{42} + \alpha^{127} x^{41} + \alpha^6 x^{40} + \alpha^{100} x^{39} + \alpha^{247} x^{38} \\ & + \alpha^2 x^{37} + \alpha^{205} x^{36} + \alpha^{198} x^{35} + \alpha^{57} x^{34} + \alpha^{115} x^{33} + \alpha^{219} x^{32} + \alpha^{101} x^{31} + \\ & \alpha^{109} x^{30} + \alpha^{160} x^{29} + \alpha^{82} x^{28} + \alpha^{37} x^{27} + \alpha^{38} x^{26} + \alpha^{238} x^{25} + \alpha^{49} x^{24} + \alpha^{160} x^{23} \\ & + \alpha^{209} x^{22} + \alpha^{121} x^{21} + \alpha^{86} x^{20} + \alpha^{11} x^{19} + \alpha^{124} x^{18} + \alpha^{30} x^{17} + \alpha^{181} x^{16} + \\ & \alpha^{84} x^{15} + \alpha^{25} x^{14} + \alpha^{194} x^{13} + \alpha^{87} x^{12} + \alpha^{65} x^{11} + \alpha^{102} x^{10} + \alpha^{190} x^9 + \alpha^{220} x^8 + \\ & \alpha^{70} x^7 + \alpha^{27} x^6 + \alpha^{209} x^5 + \alpha^{16} x^4 + \alpha^{89} x^3 + \alpha^7 x^2 + \alpha^{33} x + \alpha^{240} \end{aligned} $ |
| 62 | $ \begin{aligned} & x^{62} + \alpha^{65} x^{61} + \alpha^{202} x^{60} + \alpha^{113} x^{59} + \alpha^{98} x^{58} + \alpha^{71} x^{57} + \alpha^{223} x^{56} + \alpha^{248} x^{55} + \\ & \alpha^{118} x^{54} + \alpha^{214} x^{53} + \alpha^{94} x^{52} + x^{51} + \alpha^{122} x^{50} + \alpha^{37} x^{49} + \alpha^{23} x^{48} + \alpha^2 x^{47} + \end{aligned} $   |

|    |   |
|----|---|
|    | $\begin{aligned} & \alpha^{228} x^{46} + \alpha^{58} x^{45} + \alpha^{121} x^{44} + \alpha^7 x^{43} + \alpha^{105} x^{42} + \alpha^{135} x^{41} + \alpha^{78} x^{40} + \alpha^{243} x^{39} \\ & + \alpha^{118} x^{38} + \alpha^{70} x^{37} + \alpha^{76} x^{36} + \alpha^{223} x^{35} + \alpha^{89} x^{34} + \alpha^{72} x^{33} + \alpha^{50} x^{32} + \alpha^{70} x^{31} \\ & + \alpha^{111} x^{30} + \alpha^{194} x^{29} + \alpha^{17} x^{28} + \alpha^{212} x^{27} + \alpha^{126} x^{26} + \alpha^{181} x^{25} + \alpha^{35} x^{24} + \\ & \alpha^{221} x^{23} + \alpha^{117} x^{22} + \alpha^{235} x^{21} + \alpha^{11} x^{20} + \alpha^{229} x^{19} + \alpha^{149} x^{18} + \alpha^{147} x^{17} + \\ & \alpha^{123} x^{16} + \alpha^{213} x^{15} + \alpha^{40} x^{14} + \alpha^{115} x^{13} + \alpha^6 x^{12} + \alpha^{200} x^{11} + \alpha^{100} x^{10} + \alpha^{26} x^9 \\ & + \alpha^{246} x^8 + \alpha^{182} x^7 + \alpha^{218} x^6 + \alpha^{127} x^5 + \alpha^{215} x^4 + \alpha^{36} x^3 + \alpha^{186} x^2 + \alpha^{110} x + \\ & \alpha^{106} \end{aligned}$   |
| 64 | $\begin{aligned} & x^{64} + \alpha^{45} x^{63} + \alpha^{51} x^{62} + \alpha^{175} x^{61} + \alpha^9 x^{60} + \alpha^7 x^{59} + \alpha^{158} x^{58} + \alpha^{159} x^{57} + \\ & \alpha^{49} x^{56} + \alpha^{68} x^{55} + \alpha^{119} x^{54} + \alpha^{92} x^{53} + \alpha^{123} x^{52} + \alpha^{177} x^{51} + \alpha^{204} x^{50} + \alpha^{187} x^{49} \\ & + \alpha^{254} x^{48} + \alpha^{200} x^{47} + \alpha^{78} x^{46} + \alpha^{141} x^{45} + \alpha^{149} x^{44} + \alpha^{119} x^{43} + \alpha^{26} x^{42} + \\ & \alpha^{127} x^{41} + \alpha^{53} x^{40} + \alpha^{160} x^{39} + \alpha^{93} x^{38} + \alpha^{199} x^{37} + \alpha^{212} x^{36} + \alpha^{29} x^{35} + \alpha^{24} x^{34} \\ & + \alpha^{145} x^{33} + \alpha^{156} x^{32} + \alpha^{208} x^{31} + \alpha^{150} x^{30} + \alpha^{218} x^{29} + \alpha^{209} x^{28} + \alpha^4 x^{27} + \\ & \alpha^{216} x^{26} + \alpha^{91} x^{25} + \alpha^{47} x^{24} + \alpha^{184} x^{23} + \alpha^{146} x^{22} + \alpha^{47} x^{21} + \alpha^{140} x^{20} + \alpha^{195} x^{19} \\ & + \alpha^{195} x^{18} + \alpha^{125} x^{17} + \alpha^{242} x^{16} + \alpha^{238} x^{15} + \alpha^{63} x^{14} + \alpha^{99} x^{13} + \alpha^{108} x^{12} + \\ & \alpha^{140} x^{11} + \alpha^{230} x^{10} + \alpha^{242} x^9 + \alpha^{31} x^8 + \alpha^{204} x^7 + \alpha^{11} x^6 + \alpha^{178} x^5 + \alpha^{243} x^4 + \\ & \alpha^{217} x^3 + \alpha^{156} x^2 + \alpha^{213} x + \alpha^{231} \end{aligned}$  |
| 66 | $\begin{aligned} & x^{66} + \alpha^5 x^{65} + \alpha^{118} x^{64} + \alpha^{222} x^{63} + \alpha^{180} x^{62} + \alpha^{136} x^{61} + \alpha^{136} x^{60} + \alpha^{162} x^{59} + \\ & \alpha^{51} x^{58} + \alpha^{46} x^{57} + \alpha^{117} x^{56} + \alpha^{13} x^{55} + \alpha^{215} x^{54} + \alpha^{81} x^{53} + \alpha^{17} x^{52} + \alpha^{139} x^{51} \\ & + \alpha^{247} x^{50} + \alpha^{197} x^{49} + \alpha^{171} x^{48} + \alpha^{95} x^{47} + \alpha^{173} x^{46} + \alpha^{65} x^{45} + \alpha^{137} x^{44} + \\ & \alpha^{178} x^{43} + \alpha^{68} x^{42} + \alpha^{111} x^{41} + \alpha^{95} x^{40} + \alpha^{101} x^{39} + \alpha^{41} x^{38} + \alpha^{72} x^{37} + \alpha^{214} x^{36} \\ & + \alpha^{169} x^{35} + \alpha^{197} x^{34} + \alpha^{95} x^{33} + \alpha^7 x^{32} + \alpha^{44} x^{31} + \alpha^{154} x^{30} + \alpha^{77} x^{29} + \\ & \alpha^{111} x^{28} + \alpha^{236} x^{27} + \alpha^{40} x^{26} + \alpha^{121} x^{25} + \alpha^{143} x^{24} + \alpha^{63} x^{23} + \alpha^{87} x^{22} + \alpha^{80} x^{21} \\ & + \alpha^{253} x^{20} + \alpha^{240} x^{19} + \alpha^{126} x^{18} + \alpha^{217} x^{17} + \alpha^{77} x^{16} + \alpha^{34} x^{15} + \alpha^{232} x^{14} + \\ & \alpha^{106} x^{13} + \alpha^{50} x^{12} + \alpha^{168} x^{11} + \alpha^{82} x^{10} + \alpha^{76} x^9 + \alpha^{146} x^8 + \alpha^{67} x^7 + \alpha^{106} x^6 + \\ & \alpha^{171} x^5 + \alpha^{25} x^4 + \alpha^{132} x^3 + \alpha^{93} x^2 + \alpha^{45} x + \alpha^{105} \end{aligned}$ |
| 68 | $\begin{aligned} & x^{68} + \alpha^{247} x^{67} + \alpha^{159} x^{66} + \alpha^{223} x^{65} + \alpha^{33} x^{64} + \alpha^{224} x^{63} + \alpha^{93} x^{62} + \alpha^{77} x^{61} + \\ & \alpha^{70} x^{60} + \alpha^{90} x^{59} + \alpha^{160} x^{58} + \alpha^{32} x^{57} + \alpha^{254} x^{56} + \alpha^{43} x^{55} + \alpha^{150} x^{54} + \alpha^{84} x^{53} \\ & + \alpha^{101} x^{52} + \alpha^{190} x^{51} + \alpha^{205} x^{50} + \alpha^{133} x^{49} + \alpha^{52} x^{48} + \alpha^{60} x^{47} + \alpha^{202} x^{46} + \\ & \alpha^{165} x^{45} + \alpha^{220} x^{44} + \alpha^{203} x^{43} + \alpha^{151} x^{42} + \alpha^{93} x^{41} + \alpha^{84} x^{40} + \alpha^{15} x^{39} + \end{aligned}$  |

|  |   |
|--|---|
|  | $ \begin{aligned} & \alpha^{84} x^{38} + \alpha^{253} x^{37} + \alpha^{173} x^{36} + \alpha^{160} x^{35} + \alpha^{89} x^{34} + \alpha^{227} x^{33} + \alpha^{52} x^{32} + \alpha^{199} x^{31} \\ & + \alpha^{97} x^{30} + \alpha^{95} x^{29} + \alpha^{231} x^{28} + \alpha^{52} x^{27} + \alpha^{177} x^{26} + \alpha^{41} x^{25} + \alpha^{125} x^{24} + \\ & \alpha^{137} x^{23} + \alpha^{241} x^{22} + \alpha^{166} x^{21} + \alpha^{225} x^{20} + \alpha^{118} x^{19} + \alpha^2 x^{18} + \alpha^{54} x^{17} + \alpha^{32} x^{16} \\ & + \alpha^{82} x^{15} + \alpha^{215} x^{14} + \alpha^{175} x^{13} + \alpha^{198} x^{12} + \alpha^{43} x^{11} + \alpha^{238} x^{10} + \alpha^{235} x^9 + \\ & \alpha^{27} x^8 + \alpha^{101} x^7 + \alpha^{184} x^6 + \alpha^{127} x^5 + \alpha^3 x^4 + \alpha^5 x^3 + \alpha^8 x^2 + \alpha^{163} x + \alpha^{238} \end{aligned} $ |
|--|---|

## ภาคผนวก จ

## ตารางกำหนดพหุนามการคำนวณ Error Correction Codewords

เลขชี้กำลังของ  $\alpha$  เป็น primitive element ของ GF(2,8) ซึ่งลักษณะของ GF(2,8) มีดังนี้

1.  $\alpha^{255} = 1$
2. เราสามารถแปลงไปกลับระหว่างค่า exponential ใน  $\alpha$  ไปเป็นจำนวนเต็มได้ โดยใช้ตารางต่อไปนี้เพื่อแปลงค่าระหว่างจำนวนเต็มและ exponential ของ  $\alpha$

| Exponent of $\alpha$ | Integer | Integer | Exponent of $\alpha$ |
|----------------------|---------|---------|----------------------|
| 0                    | 1       |         |                      |
| 1                    | 2       | 1       | 0                    |
| 2                    | 4       | 2       | 1                    |
| 3                    | 8       | 3       | 25                   |
| 4                    | 16      | 4       | 2                    |
| 5                    | 32      | 5       | 50                   |
| 6                    | 64      | 6       | 26                   |
| 7                    | 128     | 7       | 198                  |
| 8                    | 29      | 8       | 3                    |
| 9                    | 58      | 9       | 223                  |
| 10                   | 116     | 10      | 51                   |
| 11                   | 232     | 11      | 238                  |
| 12                   | 205     | 12      | 27                   |
| 13                   | 135     | 13      | 104                  |
| 14                   | 19      | 14      | 199                  |
| 15                   | 38      | 15      | 75                   |
| 16                   | 76      | 16      | 4                    |
| 17                   | 152     | 17      | 100                  |
| 18                   | 45      | 18      | 224                  |
| 19                   | 90      | 19      | 14                   |

|    |     |    |     |
|----|-----|----|-----|
| 20 | 180 | 20 | 52  |
| 21 | 117 | 21 | 141 |
| 22 | 234 | 22 | 239 |
| 23 | 201 | 23 | 129 |
| 24 | 143 | 24 | 28  |
| 25 | 3   | 25 | 193 |
| 26 | 6   | 26 | 105 |
| 27 | 12  | 27 | 248 |
| 28 | 24  | 28 | 200 |
| 29 | 48  | 29 | 8   |
| 30 | 96  | 30 | 76  |
| 31 | 192 | 31 | 113 |
| 32 | 157 | 32 | 5   |
| 33 | 39  | 33 | 138 |
| 34 | 78  | 34 | 101 |
| 35 | 156 | 35 | 47  |
| 36 | 37  | 36 | 225 |
| 37 | 74  | 37 | 36  |
| 38 | 148 | 38 | 15  |
| 39 | 53  | 39 | 33  |
| 40 | 106 | 40 | 53  |
| 41 | 212 | 41 | 147 |
| 42 | 181 | 42 | 142 |
| 43 | 119 | 43 | 218 |
| 44 | 238 | 44 | 240 |
| 45 | 193 | 45 | 18  |
| 46 | 159 | 46 | 130 |
| 47 | 35  | 47 | 69  |
| 48 | 70  | 48 | 29  |

|    |     |    |     |
|----|-----|----|-----|
| 49 | 140 | 49 | 181 |
| 50 | 5   | 50 | 194 |
| 51 | 10  | 51 | 125 |
| 52 | 20  | 52 | 106 |
| 53 | 40  | 53 | 39  |
| 54 | 80  | 54 | 249 |
| 55 | 160 | 55 | 185 |
| 56 | 93  | 56 | 201 |
| 57 | 186 | 57 | 154 |
| 58 | 105 | 58 | 9   |
| 59 | 210 | 59 | 120 |
| 60 | 185 | 60 | 77  |
| 61 | 111 | 61 | 228 |
| 62 | 222 | 62 | 114 |
| 63 | 161 | 63 | 166 |
| 64 | 95  | 64 | 6   |
| 65 | 190 | 65 | 191 |
| 66 | 97  | 66 | 139 |
| 67 | 194 | 67 | 98  |
| 68 | 153 | 68 | 102 |
| 69 | 47  | 69 | 221 |
| 70 | 94  | 70 | 48  |
| 71 | 188 | 71 | 253 |
| 72 | 101 | 72 | 226 |
| 73 | 202 | 73 | 152 |
| 74 | 137 | 74 | 37  |
| 75 | 15  | 75 | 179 |
| 76 | 30  | 76 | 16  |
| 77 | 60  | 77 | 145 |

|     |     |     |     |
|-----|-----|-----|-----|
| 78  | 120 | 78  | 34  |
| 79  | 240 | 79  | 136 |
| 80  | 253 | 80  | 54  |
| 81  | 231 | 81  | 208 |
| 82  | 211 | 82  | 148 |
| 83  | 187 | 83  | 206 |
| 84  | 107 | 84  | 143 |
| 85  | 214 | 85  | 150 |
| 86  | 177 | 86  | 219 |
| 87  | 127 | 87  | 189 |
| 88  | 254 | 88  | 241 |
| 89  | 225 | 89  | 210 |
| 90  | 223 | 90  | 19  |
| 91  | 163 | 91  | 92  |
| 92  | 91  | 92  | 131 |
| 93  | 182 | 93  | 56  |
| 94  | 113 | 94  | 70  |
| 95  | 226 | 95  | 64  |
| 96  | 217 | 96  | 30  |
| 97  | 175 | 97  | 66  |
| 98  | 67  | 98  | 182 |
| 99  | 134 | 99  | 163 |
| 100 | 17  | 100 | 195 |
| 101 | 34  | 101 | 72  |
| 102 | 68  | 102 | 126 |
| 103 | 136 | 103 | 110 |
| 104 | 13  | 104 | 107 |
| 105 | 26  | 105 | 58  |
| 106 | 52  | 106 | 40  |



|     |     |     |     |
|-----|-----|-----|-----|
| 107 | 104 | 107 | 84  |
| 108 | 208 | 108 | 250 |
| 109 | 189 | 109 | 133 |
| 110 | 103 | 110 | 186 |
| 111 | 206 | 111 | 61  |
| 112 | 129 | 112 | 202 |
| 113 | 31  | 113 | 94  |
| 114 | 62  | 114 | 155 |
| 115 | 124 | 115 | 159 |
| 116 | 248 | 116 | 10  |
| 117 | 237 | 117 | 21  |
| 118 | 199 | 118 | 121 |
| 119 | 147 | 119 | 43  |
| 120 | 59  | 120 | 78  |
| 121 | 118 | 121 | 212 |
| 122 | 236 | 122 | 229 |
| 123 | 197 | 123 | 172 |
| 124 | 151 | 124 | 115 |
| 125 | 51  | 125 | 243 |
| 126 | 102 | 126 | 167 |
| 127 | 204 | 127 | 87  |
| 128 | 133 | 128 | 7   |
| 129 | 23  | 129 | 112 |
| 130 | 46  | 130 | 192 |
| 131 | 92  | 131 | 247 |
| 132 | 184 | 132 | 140 |
| 133 | 109 | 133 | 128 |
| 134 | 218 | 134 | 99  |
| 135 | 169 | 135 | 13  |

|     |     |     |     |
|-----|-----|-----|-----|
| 136 | 79  | 136 | 103 |
| 137 | 158 | 137 | 74  |
| 138 | 33  | 138 | 222 |
| 139 | 66  | 139 | 237 |
| 140 | 132 | 140 | 49  |
| 141 | 21  | 141 | 197 |
| 142 | 42  | 142 | 254 |
| 143 | 84  | 143 | 24  |
| 144 | 168 | 144 | 227 |
| 145 | 77  | 145 | 165 |
| 146 | 154 | 146 | 153 |
| 147 | 41  | 147 | 119 |
| 148 | 82  | 148 | 38  |
| 149 | 164 | 149 | 184 |
| 150 | 85  | 150 | 180 |
| 151 | 170 | 151 | 124 |
| 152 | 73  | 152 | 17  |
| 153 | 146 | 153 | 68  |
| 154 | 57  | 154 | 146 |
| 155 | 114 | 155 | 217 |
| 156 | 228 | 156 | 35  |
| 157 | 213 | 157 | 32  |
| 158 | 183 | 158 | 137 |
| 159 | 115 | 159 | 46  |
| 160 | 230 | 160 | 55  |
| 161 | 209 | 161 | 63  |
| 162 | 191 | 162 | 209 |
| 163 | 99  | 163 | 91  |
| 164 | 198 | 164 | 149 |

|     |     |     |     |
|-----|-----|-----|-----|
| 165 | 145 | 165 | 188 |
| 166 | 63  | 166 | 207 |
| 167 | 126 | 167 | 205 |
| 168 | 252 | 168 | 144 |
| 169 | 229 | 169 | 135 |
| 170 | 215 | 170 | 151 |
| 171 | 179 | 171 | 178 |
| 172 | 123 | 172 | 220 |
| 173 | 246 | 173 | 252 |
| 174 | 241 | 174 | 190 |
| 175 | 255 | 175 | 97  |
| 176 | 227 | 176 | 242 |
| 177 | 219 | 177 | 86  |
| 178 | 171 | 178 | 211 |
| 179 | 75  | 179 | 171 |
| 180 | 150 | 180 | 20  |
| 181 | 49  | 181 | 42  |
| 182 | 98  | 182 | 93  |
| 183 | 196 | 183 | 158 |
| 184 | 149 | 184 | 132 |
| 185 | 55  | 185 | 60  |
| 186 | 110 | 186 | 57  |
| 187 | 220 | 187 | 83  |
| 188 | 165 | 188 | 71  |
| 189 | 87  | 189 | 109 |
| 190 | 174 | 190 | 65  |
| 191 | 65  | 191 | 162 |
| 192 | 130 | 192 | 31  |
| 193 | 25  | 193 | 45  |

|     |     |     |     |
|-----|-----|-----|-----|
| 194 | 50  | 194 | 67  |
| 195 | 100 | 195 | 216 |
| 196 | 200 | 196 | 183 |
| 197 | 141 | 197 | 123 |
| 198 | 7   | 198 | 164 |
| 199 | 14  | 199 | 118 |
| 200 | 28  | 200 | 196 |
| 201 | 56  | 201 | 23  |
| 202 | 112 | 202 | 73  |
| 203 | 224 | 203 | 236 |
| 204 | 221 | 204 | 127 |
| 205 | 167 | 205 | 12  |
| 206 | 83  | 206 | 111 |
| 207 | 166 | 207 | 246 |
| 208 | 81  | 208 | 108 |
| 209 | 162 | 209 | 161 |
| 210 | 89  | 210 | 59  |
| 211 | 178 | 211 | 82  |
| 212 | 121 | 212 | 41  |
| 213 | 242 | 213 | 157 |
| 214 | 249 | 214 | 85  |
| 215 | 239 | 215 | 170 |
| 216 | 195 | 216 | 251 |
| 217 | 155 | 217 | 96  |
| 218 | 43  | 218 | 134 |
| 219 | 86  | 219 | 177 |
| 220 | 172 | 220 | 187 |
| 221 | 69  | 221 | 204 |
| 222 | 138 | 222 | 62  |

|     |     |     |     |
|-----|-----|-----|-----|
| 223 | 9   | 223 | 90  |
| 224 | 18  | 224 | 203 |
| 225 | 36  | 225 | 89  |
| 226 | 72  | 226 | 95  |
| 227 | 144 | 227 | 176 |
| 228 | 61  | 228 | 156 |
| 229 | 122 | 229 | 169 |
| 230 | 244 | 230 | 160 |
| 231 | 245 | 231 | 81  |
| 232 | 247 | 232 | 11  |
| 233 | 243 | 233 | 245 |
| 234 | 251 | 234 | 22  |
| 235 | 235 | 235 | 235 |
| 236 | 203 | 236 | 122 |
| 237 | 139 | 237 | 117 |
| 238 | 11  | 238 | 44  |
| 239 | 22  | 239 | 215 |
| 240 | 44  | 240 | 79  |
| 241 | 88  | 241 | 174 |
| 242 | 176 | 242 | 213 |
| 243 | 125 | 243 | 233 |
| 244 | 250 | 244 | 230 |
| 245 | 233 | 245 | 231 |
| 246 | 207 | 246 | 173 |
| 247 | 131 | 247 | 232 |
| 248 | 27  | 248 | 116 |
| 249 | 54  | 249 | 214 |
| 250 | 108 | 250 | 244 |
| 251 | 216 | 251 | 234 |

|     |     |     |     |
|-----|-----|-----|-----|
| 252 | 173 | 252 | 168 |
| 253 | 71  | 253 | 80  |
| 254 | 142 | 254 | 88  |
| 255 | 1   | 255 | 175 |

### ประวัติผู้เขียนวิทยานิพนธ์

สุพัต รุ่งเรืองศิลป์ เกิดวันที่ 20 พฤศจิกายน พ.ศ. 2528 มีภูมิลำเนาอยู่ที่จังหวัดนนทบุรี เป็นบุตรคนเดียวของดร.สุรสิทธิ์ รุ่งเรืองศิลป์ และนางสมทรง รุ่งเรืองศิลป์ เข้ารับการศึกษาในระดับประถมศึกษาถึงมัธยมศึกษาตอนต้นที่โรงเรียนสาธิตมหาวิทยาลัยราชภัฏสวนสุนันทาและมัธยมศึกษาตอนปลายที่โรงเรียนสตรีวิทยา

ในปีการศึกษา 2548 เข้าศึกษาในระดับปริญญาบัณฑิตที่มหาวิทยาลัยเทคโนโลยีพระจอมเกล้าพระนครเหนือ คณะวิศวกรรมศาสตร์ ภาควิชาวิศวกรรมไฟฟ้า สาขาวิศวกรรมคอมพิวเตอร์ และสำเร็จการศึกษาในปีการศึกษา 2551

ในปีการศึกษา 2553 เข้าศึกษาในระดับปริญญาโทที่จุฬาลงกรณ์มหาวิทยาลัย คณะวิศวกรรมศาสตร์ ภาควิชาวิศวกรรมคอมพิวเตอร์ สาขาวิศวกรรมคอมพิวเตอร์